

INSTITUTUL POLITEHNIC "TRAIAN VUIA" TIMISOARA
FACULTATEA DE ELECTROTEHNICA

Ing. SILVIA DOBRE

CONTRIBUTII LA STUDIUL GENERATORULUI HALL
CA ELEMENT DE CIRCUIT

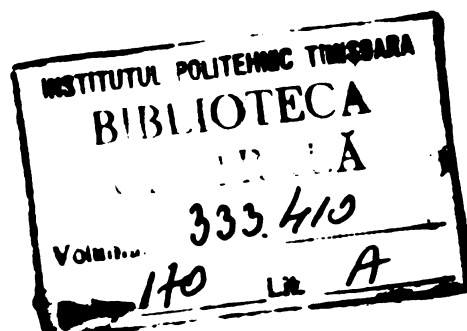
T e z ă d e d o c t o r a t

Conducător științific:

Prof.dr.ing.CONSTANTIN SORA

BIBLIOTECA CENTRALĂ
UNIVERSITATEA "POLITEHNICA"
TIMISOARA

- 1977 -



INTRODUCERE

Efectele galvanomagnetice ocupă un loc important în literatura de specialitate, atât în ceea ce privește cercetările cu caracter teoretic, cât și aplicațiile lor tehnice, sub formă de dispozitive galvanomagnetice. După cum se știe, principalele efecte galvanomagnetice sînt efectul Hall și efectul magnetorezistiv. Deși efectele galvanomagnetice sînt cunoscute de foarte multă vreme (efectul Hall a fost descoperit în 1879 de către F.H.Hall), aplicațiile tehnice ale acestor efecte au apărut de abia în urmă cu aproximativ 20-25 de ani, relevîndu-se în mod deosebit aplicațiile din domeniul măsurilor și în automatizări. Apariția în tehnică a dispozitivelor galvanomagnetice a fost strîns legată de dezvoltarea cercetărilor în domeniul materialelor semiconductoare, respectiv realizarea de materiale semiconductoare, la care efectele galvanomagnetice sînt mult mai pronunțate decît la metale. De altfel, elaborarea de noi materiale semiconductoare cu proprietăți superioare din punct de vedere al utilizării efectelor galvanomagnetice (cum sînt aliajele InSb, InAs, InAsP și altele) a condus la o rapidă dezvoltare și extindere a dispozitivelor galvanomagnetice.

Din punct de vedere al studiului generatorului Hall, problemele care se ridică se pot clasifica în două categorii mari, după cum se referă la cîmpul din placa semiconductoare sau la comportarea ca element de circuit. Este important însă să se sublinieze că, între cele două aspecte există

o strînsă legătură, fiind evident faptul că la baza comportării ca element de circuit stau fenomenele ce se petrec în placă. Ca urmare, rezolvarea unora dintre problemele de circuit, necesită și abordarea problemei câmpului din placa Hall, sub aspectele ce interesează.

La considerarea generatorului Hall ca element de circuit se are în vedere structura sa cuadripolară, bornele de intrare fiind ale circuitului de comandă, iar bornele de ieșire ale circuitului Hall. O caracteristică importantă a generatorului Hall o constituie faptul că, deși este un element de circuit cuadripolar pasiv, el este în general nerez reciproc, iar în anumite condiții este antirez reciproc [135,145,148,104, 107]. Un circuit cuadripolar este antirez reciproc dacă impedanțele (rezistențele) de transfer în gol sau în scurtcircuit sînt egale și de semn contrar, spre deosebire de circuitele rez reciproce la care aceste impedanțe sînt egale și de același semn. Circuitele antirez reciproce se numesc și giratoare. Deoarece este vorba numai de semnul cu care intervin impedanțele de transfer, se vorbește și de circuite cu nerez reciprocitate de fază. Se cunosc și alte tipuri de circuite pasive care se comportă ca girator, funcționarea acestora bazîndu-se pe utilizarea unor efecte, cum sînt efectul giromagnetic [119], efectul Faraday [48, 78] sau cu transformatoare electromecanice [94]. Trebuie menționat faptul că există și giratoare active, cu tranzistoare [27, 105]. Noțiunea de girator a fost introdusă pentru prima dată în literatură de către Tellegen [151]. El s-a referit la giratorul ideal, respectiv fără pierderi. Giratoarele reale sînt desigur cu pierderi. Referindu-ne la giratoare, în general, se relevă interesul.

pe care-l prezintă în teoria circuitelor electrice, îndeosebi în probleme de sinteză [20 , 52 , 110 , 105]. Din punct de vedere aplicativ, se relevă aplicațiile tehnice bazate pe proprietatea giratoarelor de inversare a impedanțelor [72, 83] , în ultimul timp putându-se menționa giratoarele realizate sub formă de circuite integrate active RC, pentru simularea inductivităților [105] . De asemenea, giratoarele pot constitui elemente componente de bază ale unor scheme unidirecționale [94, 57, 154, 137, 142], posibilitate care va fi analizată detaliat și în această lucrare pentru giratorul Hall.

În teza de doctorat autoarea și-a propus să aducă unele contribuții la studiul comportării generatorului Hall ca element de circuit. Principalele obiective urmărite în lucrare au fost următoarele:

- Stabilirea condițiilor în care un generator Hall se comportă ca un element de circuit neregiproc, antireciproc sau reciproc. Criteriul stabilit, care permite încadrarea diferitelor cazuri ce pot interveni în practică, se bazează pe descompunerea parametrilor de transfer în câte două componente, în funcție de sensul inducției magnetice.

- Studiul sistematic al parametrilor cuadripolari care definesc comportarea generatorului Hall și elaborarea unor noi scheme echivalente pe baza acestora.

- Aplicarea teoriei cuadripolului general în studiul generatorului Hall, în scopul rezolvării unor probleme mai complexe (scheme unidirecționale).

- Rezolvarea unor probleme de câmp din placa Hall, în legătură cu cunoașterea comportării generatorului Hall.

- Studiul și dimensionarea unor scheme unidirecțio-

nale, avind ca element component generatorul Hall.

Problemele abordate în lucrare se referă la aspecte mai puțin sau chiar de loc menționate în literatura de specialitate. Studiul întreprins este susținut și de încercări experimentale sistematice, necesare verificării rezultatelor teoretice prezentate.

Problemele studiate în teza de doctorat sînt cuprinse în patru capitole principale.

În capitolul 1 se analizează comportarea generatorului Hall ca element de circuit neregiproc, antireciproc sau reciproc, în orice regim de funcționare, pe baza studierii următorilor parametri cuadripolari mai reprezentativi: impedanțele (rezistențele) de transfer în gol, admitanțele de transfer în scurtcircuit și parametrii introduși prin alimentarea pe la ambele perechi de borne. Acest deziderat și-a găsit o rezolvare satisfăcătoare plecînd de la faptul demonstrat [145] că în tensiunile de ieșire ale generatorului Hall la mersul în gol sînt prezente în general două componente, separarea componentelor fiind făcută funcție de dependența față de sensul inducției magnetice.

Pe baza constatării menționate a fost posibil să se treacă la un studiu sistematic al comportării generatorului Hall, prin analiza teoretică și experimentală efectuată asupra parametrilor de transfer și componentelor acestora, pe baza căroră condiția de neregiprocitate a fost formulată în modul cel mai general.

Avînd în vedere că, în general, în studiul comportării generatorului Hall ca element de circuit este necesar să se folosească scheme echivalente cu o structură corespunzătoare scopului urmărit, în cel de al doilea capitol se elaborează noi scheme echivalente ale generatorului Hall, în cadrul teoriei cuadripolului diport. Schemele echivalente prezentate corespund

- matricei impedanță sau admitanță și au ca element caracteristic și faptul că conțin explicit componentele parametrilor de transfer. Unele din aceste scheme echivalente se vor folosi la studiul și dimensionarea schemelor unidirecționale cu generator Hall (cap.3).

Dat fiind faptul că teoria cuadripolului diport nu dă rezultate corecte în cele mai generale condiții de interconexiune ale unui element de circuit, la sugestia tovarășului profesor Constantin Șora, în cel de al treilea capitol s-a aplicat pentru prima dată în literatura de specialitate teoria cuadripolului general [138] la studiul generatorului Hall. Astfel, a existat posibilitatea de a se elabora o schemă echivalentă a generatorului Hall în cadrul teoriei cuadripolului general și care reprezintă cea mai generală schemă a acestui dispozitiv. După aplicarea și dezvoltarea teoriei cuadripolului general la studiul generatorului Hall, se trece la analiza sistematică și dimensionarea schemelor unidirecționale care au în componența lor giratoare Hall.

Se precizează faptul că aplicarea teoriei cuadripolului general constituie singura metodă posibilă pentru soluționarea problemelor cuprinse în cel de al treilea capitol.

În capitolul 4 se prezintă unele rezultate obținute referitoare la câmpul electric din plăcile Hall, rezultate importante pentru cunoașterea comportării generatorului Hall ca element de circuit. În acest scop s-au aplicat următoarele două metode: o metodă experimentală și anume metoda modelizării electrocinetice, iar ca metodă analitică, metoda reprezentărilor conforme.

Literatura de specialitate tratează problema potențialului

pe fețele libere ale plăcii Hall dreptunghiulare, prezentându-se numai soluții aproximative obținute atât prin metoda reprezentărilor conforme cât și prin metode de iterație rezolvate prin calcul numeric cu ajutorul calculatoarelor electronice [155, 63, 65, 69, 6, 7].

În teza de doctorat, în cadrul celui de al patrulea capitol, se reușește să se stabilească soluția exactă a potențialului pe fețele libere ale unei plăci Hall dreptunghiulare, în regim staționar al mărimilor de comandă. Aceasta presupune deci și cunoașterea exactă a factorului tensiunii Hall pentru orice poziție a electrozilor Hall.

Soluția stabilită a permis calculul distribuției potențialului pe fețele libere ale unei plăci Hall dreptunghiulare, pentru mai multe valori ale raportului dintre laturi și la diferite unghiuri Hall. Rezultatele obținute s-au verificat cu metoda modelizării electrocinetice. Se menționează faptul că aceste rezultate sînt importante și pentru realizarea circuitelor unidirecționale din plăci Hall cu electrozii Hall deplasați.

X X X

Doresc să aduc cele mai respectuoase mulțumiri tovarășului profesor dr.doc.ing. Constantin Șora, sub a cărui permanentă îndrumare și coordonare științifică mi-am desăvîrșit pregătirea, pentru sprijinul generos acordat la întocmirea acestei lucrări. Doamnei-Sale îi datoresc formarea și orientarea mea profesională, încadrată în Școala de prestigiu pe care a creat-o la Politehnica din Timișoara.

Mulțumesc, de asemenea, colectivului Catedrei de Bazele electrotehnicii care în diferite ocazii m-a sprijinit, sub diverse forme, pentru a putea duce la bun sfîrșit această lucrare.

CAPITOLUL 1

. RELATII GENERALE PRIVIND COMPORTAREA GENERATORULUI HALL CA ELEMENT DE CIRCUIT PASIV NERECIPROC.

În acest capitol se face o analiză sistematică a situațiilor în care generatorul Hall se comportă ca element de circuit neregiproc, reciproc sau antireciproc (girator). Placa Hall reprezentînd un mediu masiv parcurs de curent, este natural ca studiul să înceapă prin formularea condiției de neregiprocitate în formă locală, deci într-un punct din placă și apoi să se stabilească relații privind comportarea globală a plăcii față de electrozi. O atenție deosebită este acordată în continuare exprimării relațiilor de bază cu ajutorul parametrilor cuadripolari: impedanțele (rezistențele) de transfer în gol, admitanțele de transfer în scurtcircuit și parametrii introduși prin alimentarea plăcii Hall pe la ambele capete.

1.1. Forma locală și integrală a condiției de neregiprocitate.

Relații de bază.

Se consideră cazul general al unei plăci Hall de formă oarecare (fig.1.1). Materialul semiconductor al plăcii este presupus omogen, izotrop, iar placa de grosime constantă. Se consideră de asemenea că placa este plasată într-un câmp magnetic transversal \vec{B} uniform și constant în timp. Acestea sînt de altfel ipoteze de studiu uzuale în studiul efectelor galvanomagnetice. [69, 142].

Din motive de simetrie în ceea ce privește relațiile ce se scriu, pentru ambele perechi de borne s-a adoptat regula de asociație a sensurilor de referință de la receptoare.

Intr-un punct oarecare din placă și la inducții magnetice relativ mici, legea conducției electrice se scrie

în forma [53]

$$\frac{\bar{J}}{\sigma(B)} = \bar{E} + C_H \cdot \bar{J} \times \bar{B} \quad (1.1)$$

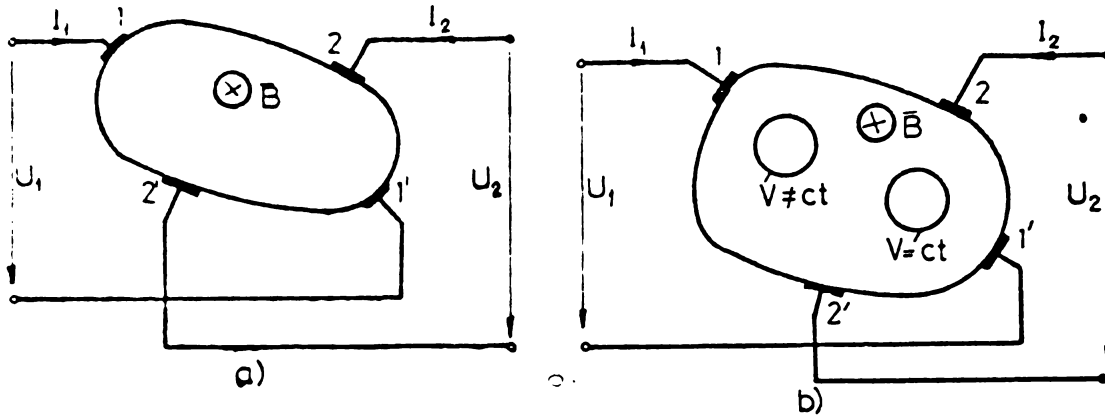


Fig.1.1 Placă Hall de formă oarecare

- a) - corespunzătoare unui domeniu simplu conex
- b) - corespunzătoare unui domeniu multiplu conex

unde: \bar{J} - este densitatea de curent; \bar{E} - intensitatea câmpului electric; C_H - coeficientul Hall ; $\sigma(B)$ - conductivitatea electrică a materialului semiconductor la inducția magnetică considerată.

Se presupune acum că în placă se stabilesc, la aceeași inducție magnetică, două regimuri electrocinetice caracterizate într-un punct oarecare prin mărimile \bar{E}' , \bar{J}' și respectiv \bar{E}'' , \bar{J}'' .

Se știe că într-un punct dintr-un mediu masiv în care nu există câmp imprimat și care se găsește în regim electrocinetic este valabilă relația

$$\bar{E}' \cdot \bar{J}'' = \bar{E}'' \cdot \bar{J}' \quad (1.2)$$

reprezentînd forma locală a teoremei reciprocității în medii conductoare masive.

Pentru placa Hall considerată se calculează expresiile

$$\bar{E}' \cdot \bar{J}'' = \frac{\bar{J}' \cdot \bar{J}''}{\sigma(B)} - C_H \cdot \bar{J}' \times \bar{B} \cdot \bar{J}'' = \frac{\bar{J}' \cdot \bar{J}''}{\sigma(B)} + C_H \cdot \bar{J}'' \times \bar{B} \cdot \bar{J}' \quad (1.3)$$

$$\bar{E}'' \cdot \bar{J}' = \frac{\bar{J}' \cdot \bar{J}''}{\sigma(B)} + C_H \cdot \bar{J}' \times \bar{B} \cdot \bar{J}'' = \frac{\bar{J}' \cdot \bar{J}''}{\sigma(B)} - C_H \cdot \bar{J}'' \times \bar{B} \cdot \bar{J}'$$

Se observă din relațiile (1.3) că, în general, în placa Hall în prezența câmpului magnetic nu este îndeplinită condiția de reciprocitate (1.2) și deci

$$\bar{E}'(B) \bar{J}''(B) \neq \bar{E}''(B) \bar{J}'(B) \quad (1.4)$$

reprezentînd forma locală a condiției de nereziprocitate pentru placa Hall (cazul general).

Se fac următoarele notații:

$$\bar{E}'_a = \frac{\bar{J}'}{\sigma(B)} \quad ; \quad \bar{E}'_b = C_H \cdot \bar{J}' \times \bar{B} \quad (1.5)$$

$$\bar{E}''_a = \frac{\bar{J}''}{\sigma(B)} \quad ; \quad \bar{E}''_b = C_H \cdot \bar{J}'' \times \bar{B}$$

Se poate observa că la schimbarea sensului inducției magnetice \bar{B} se schimbă sensul componentelor \bar{E}'_b și \bar{E}''_b în timp ce componentele \bar{E}'_a și \bar{E}''_a rămîn neschimbate.

Cu aceste notații (rel.1.5), expresiile (1.3) devin

$$\bar{E}' \cdot \bar{J}'' = \{ \bar{E}'_a - \bar{E}'_b \} \cdot \bar{J}'' = \{ \bar{E}''_a + \bar{E}''_b \} \cdot \bar{J}' \quad (1.6)$$

$$\bar{E}'' \cdot \bar{J}' = \{ \bar{E}'_a + \bar{E}'_b \} \cdot \bar{J}'' = \{ \bar{E}''_a - \bar{E}''_b \} \cdot \bar{J}'$$

în care:

$$\begin{aligned} \bar{E}' &= \bar{E}'_a - \bar{E}'_b \\ \bar{E}'' &= \bar{E}''_a - \bar{E}''_b \end{aligned} \quad (1.7)$$

În condițiile considerate și anume: câmp magnetic uniform și câmpul electrocinetic din placă staționar și plan-parallel, componentele câmpurilor \bar{E}' și \bar{E}'' din relațiile(1.7)cores-

pund unor cimpuri potențiale. Se poate scrie deci:

$$\bar{E}' = -\nabla V', \quad \bar{E}'' = -\nabla V'', \quad \bar{E}'_a = -\nabla V'_a, \quad \bar{E}''_b = -\nabla V''_b, \quad \bar{E}''_a = -\nabla V''_a$$

și $\bar{E}''_b = -\nabla V''_b$.

Urmează că relațiile(1.6) se pot scrie în forma

$$\nabla V' \cdot \bar{J}'' = \left\{ \nabla V'_a - \nabla V'_b \right\} \cdot \bar{J}'' = \left\{ \nabla V''_a + \nabla V''_b \right\} \cdot \bar{J}' \quad (1.8)$$

$$\nabla V'' \cdot \bar{J}' = \left\{ \nabla V''_a + \nabla V''_b \right\} \cdot \bar{J}'' = \left\{ \nabla V''_a - \nabla V''_b \right\} \cdot \bar{J}'$$

Deoarece în regim staționar $\nabla \bar{J}' = \nabla \bar{J}'' = 0$, relațiile (1.8) devin :

$$\nabla(V' \bar{J}'') = \nabla(V'_a \bar{J}'') - \nabla(V'_b \bar{J}'') = \nabla(V''_a \bar{J}') + \nabla(V''_b \bar{J}') \quad (1.9)$$

$$\nabla(V'' \bar{J}') = \nabla(V''_a \bar{J}'') + \nabla(V''_b \bar{J}'') = \nabla(V''_a \bar{J}') - \nabla(V''_b \bar{J}')$$

Intrucît interesează comportarea plăcii față de electrozi se integrează ecuațiile (1.9) pentru întregul volum al plăcii semiconductoare și se obține

$$\int V' \bar{J}'' \cdot d\bar{s} = \int V'_a \bar{J}'' \cdot d\bar{s} - \int V'_b \bar{J}'' \cdot d\bar{s} = \int V''_a \bar{J}' \cdot d\bar{s} + \int V''_b \bar{J}' \cdot d\bar{s} \quad (1.10)$$

$$\int V'' \bar{J}' \cdot d\bar{s} = \int V''_a \bar{J}'' \cdot d\bar{s} + \int V''_b \bar{J}'' \cdot d\bar{s} = \int V''_a \bar{J}' \cdot d\bar{s} - \int V''_b \bar{J}' \cdot d\bar{s}$$

Desigur că integralele din relațiile (1.10) se efectuează pe toate suprafețele care mărginesc placa semiconductoare. Pe suprafețele libere, respectiv neacoperite de electrozi parcurși de curenți, densitatea de curent avînd numai componentă tangențială, integralele sînt nule.

Din acest motiv valorile integralelor (1.10) nu se schimbă chiar dacă placa corespunde unui domeniu multiplu conex avînd

frontierele caracterizate prin $V = \text{const.}$ sau $V \neq \text{const.}$ (fig.1.lb

Efectuind integralele pentru suprafețele acoperite de n electrozi ($n = 4$) parcurși de curenți se poate scrie

$$\sum_{i=1}^n V_i' I_i'' = \sum_{i=1}^n \{V_a' - V_b'\}_i I_i'' = \sum_{i=1}^n \{V_a'' + V_b''\}_i I_i' \quad (1.11)$$

$$\sum_{i=1}^n V_i'' I_i' = \sum_{i=1}^n \{V_a' + V_b'\}_i I_i' = \sum_{i=1}^n \{V_a'' - V_b''\}_i I_i''$$

Deoarece placa Hall are două perechi de borne, în relațiile (1.11) se poate trece de la potențialele electrozilor la tensiunile corespunzătoare celor două perechi de borne, astfel

$$\sum_{i=1}^2 U_i' I_i'' = \sum_{i=1}^2 \{U_a' - U_b'\}_i I_i'' = \sum_{i=1}^2 \{U_a'' + U_b''\} \cdot I_i' \quad (1.12)$$

$$\sum_{i=1}^2 U_i'' I_i' = \sum_{i=1}^2 \{U_a' + U_b'\}_i I_i' = \sum_{i=1}^2 \{U_a'' - U_b''\} \cdot I_i''$$

Relațiile (1.12) se particularizează pentru regimurile de funcționare în gol. Astfel, dacă alimentarea se face la bornele 1-1' (fig.1.1) se poate scrie : $U_1' = U_1$; $U_2' = U_{20}$; $I_1' = I_1$; $I_2' = 0$. Dacă alimentarea se face la bornele 2-2' rezultă: $U_2'' = U_2$; $U_1'' = U_{10}$; $I_2'' = I_2$; $I_1'' = 0$.

În acest fel relațiile (1.12) devin

$$\begin{aligned} U_{20} \cdot I_2 &= \{U_a' - U_b'\} I_2 = \{U_a'' + U_b''\} I_1 \\ U_{10} I_1 &= \{U_a' + U_b'\} I_1 = \{U_a'' - U_b''\} I_2 \end{aligned} \quad (1.13)$$

Este evident că analiza generatorului Hall se poate face în funcție de componentele U_a' , U_b' sau de U_a'' , U_b'' , cele patru componente nefiind independente.

Din relațiile (1.13) rezultă expresiile tensiunilor în gol.

$$\begin{cases} U_{20} = U'_a - U'_b \\ U_{10} \frac{I_1}{I_2} = U'_a + U'_b \end{cases} \quad \begin{cases} U_{20} \frac{I_2}{I_1} = U''_a + U''_b \\ U_{10} = U''_a - U''_b \end{cases}$$

din care se pot obține și expresiile componentelor

$$\begin{cases} U'_a = \frac{1}{2} \left(U_{10} \frac{I_1}{I_2} + U_{20} \right) \\ U'_b = \frac{1}{2} \left(U_{10} \frac{I_1}{I_2} - U_{20} \right) \end{cases} \quad \text{și} \quad \begin{cases} U''_a = \frac{1}{2} \frac{I_2}{I_1} \left(U_{10} \frac{I_1}{I_2} + U_{20} \right) \\ U''_b = \frac{1}{2} \frac{I_2}{I_1} \left(U_{20} - U_{10} \frac{I_1}{I_2} \right) \end{cases}$$

Dacă pentru simplitate se consideră că la ambele regiuri de funcționare în gol curenții sînt egali, adică: $I_1 = I_2 = I$, rezultă

$$U'_a = U''_a = U_a \tag{1.14}$$

$$U'_b = - U''_b = U_b$$

Se remarcă faptul că la schimbarea sensului de alimentare, la același \bar{B} , se schimbă semnul componentei U_b .

În ipoteza precizată mai sus ($I_2 = I_1$) pentru un anumit sens al inducției magnetice \bar{B} se obțin deci relațiile :

$$U_{20}(B) = U_a(B) - U_b(B) \tag{1.15}$$

$$U_{10}(B) = U_a(B) + U_b(B)$$

din care rezultă:

$$U_a(B) = \frac{1}{2} [U_{10}(B) + U_{20}(B)] \tag{1.16}$$

$$U_b(B) = \frac{1}{2} [U_{10}(B) - U_{20}(B)]$$

Relațiile (1.15) arată că în tensiunile de ieșire apare fie suma, fie diferența aceluiași componente U_a și U_b , aceasta depinzând de sensul inducției magnetice, deoarece :

$$U_a(B) = U_a(-B) \quad (1.17)$$

$$U_b(B) = -U_b(-B)$$

Componentele U_a și U_b corespund componentelor \vec{E}'_a și \vec{E}'_b ale câmpului electric (relațiile 1.5).

Tinând seama de relațiile (1.17) se poate scrie

$$U_{20}(B) = U_a(B) - U_b(B)$$

$$U_{20}(-B) = U_a(B) + U_b(B)$$

din care rezultă

$$U_a(B) = \frac{1}{2} [U_{20}(B) + U_{20}(-B)] \quad (1.18)$$

$$U_b(B) = \frac{1}{2} [U_{20}(-B) - U_{20}(B)]$$

Descompunerea tensiunilor de ieșire la mersul în gol U_{10} și U_{20} în cele două componente este valabilă pentru plăci Hall de formă oarecare corespunzătoare unui domeniu simplu conex (fig.1.1a) sau multiplu conex (fig.1.1b) și avînd electrozi de întindere arbitrară. Dimensiunile electrozilor pot fi oricît de mici, însă finite (electrozi practic punctiformi). Demonstrația nu se referă și la cazul unor electrozi teoretic punctiformi, care de fapt nici nu intervin în construcțiile reale.

Faptul că în tensiunile de ieșire la mersul în gol, U_{10} și U_{20} , se identifică două componente U_a și U_b , avînd caracteristicile menționate, este elementul teoretic de bază pentru analiza comportării globale a generatorului Hall ca element de circuit [145, 148]. Această descompunere matematică prezintă

un interes deosebit în întreg studiul efectuat. Plecând de la acest rezultat se poate exprima convenabil condiția de nerez reciprocitate, respectiv antireciprocitate în formă globală, în funcție de diferite sisteme de parametri cuadripolari. Se mai poate de asemenea menționa că descompunerea în componente se dovedește utilă în legătură și cu alte aspecte, respectiv probleme privind efectele galvanomagnetice [147].

1.2. Componentele impedanțelor (rezistențelor) de transfer în gol, în funcție de inducția magnetică.

Ecuațiile cuadripolare ale generatorului Hall în sarcină, în funcție de parametri Z , se pot scrie în cazul general sub forma

$$\underline{U}_1 = \underline{Z}_{11}\underline{I}_1 + \underline{Z}_{12}\underline{I}_2 \quad (1.19)$$

$$\underline{U}_2 = \underline{Z}_{21}\underline{I}_1 + \underline{Z}_{22}\underline{I}_2$$

Inducția magnetică fiind presupusă constantă în timp, parametrii sînt de asemenea constanți, respectiv generatorul Hall reprezintă în acest caz un cuadripol liniar. Ținînd seama de faptul că parametrii generatorului Hall au un caracter rezistiv pînă la frecvențe înalte [134], în locul impedanțelor se pot considera rezistențele respective. Ecuațiile (1.19) se scriu sub forma

$$U_1 = R_{11}(B)I_1 + R_{12}(B)I_2 \quad (1.20)$$

$$U_2 = R_{21}(B)I_1 + R_{22}(B)I_2$$

corespunzătoare unei anumite inducții magnetice. De sigur că aceste ecuații sînt valabile pentru o geometrie oarecare a plăcii Hall. Semnificația fizică a parametrilor cuadripolari care intervin în ecuațiile (1.20) este :

$$R_{11} = R_{10} = \left(\frac{U_1}{I_1} \right)_{I_2=0} \quad - \text{rezistența în gol corespunzătoare circuitului de comandă 11'}$$

$$R_{22} = R_{20} = \left(\frac{U_2}{I_2} \right)_{I_1=0} \quad - \text{rezistența în gol corespunzătoare circuitului Hall 22'}$$

$$R_{21} = \left(\frac{U_2}{I_1} \right)_{I_2=0} \quad - \text{rezistența de transfer în gol, cu alimentare la bornele 11'}$$

$$R_{12} = \left(\frac{U_1}{I_2} \right)_{I_1=0} \quad - \text{rezistența de transfer în gol, cu alimentare la bornele 22'}$$

Studiul comportării generatorului Hall presupune deci determinarea acestor parametri cuadripolari la o anumită inducție magnetică, iar în cazul general în funcție de inducția magnetică. Parametrii cuadripolari depind de material, de geometria plăcii Hall și a electrozilor și de asemenea de inducția magnetică. Se poate menționa însă că, în timp ce rezistențele proprii R_{11} și R_{22} depind de inducția magnetică datorită efectului magnetorezistiv fizic și geometric, fiind independenți de sensul inducției magnetice, rezistențele de transfer depind și de sensul inducției magnetice. Pentru o anumită valoare a inducției magnetice parametrii cuadripolari sînt constanți.

Se știe că, în general, generatorul Hall reprezintă un circuit pasiv neregiproc, întrucît rezistențele de transfer în gol nu sînt egale, adică

$$R_{12}(B) \neq R_{21}(B) \quad (1.21)$$

În anumite condiții generatorul Hall se comportă ca un girator, în care caz rezistențele de transfer în gol sînt egale și de semn contrar.

$$R_{12}(B) = - R_{21}(B) \quad (1.22)$$

In acest caz se spune că generatorul Hall este antireciproc, iar relația (1.22) reprezintă condiția de antireciprocitate a unui girator.

In absența unui câmp magnetic exterior, placa Hall satisface condiția de reciprocitate exprimată prin relația

$$R_{12}(0) = R_{21}(0)$$

In toate cazurile însă, experiența arată că sînt verificate relațiile de reciprocitate ale lui Onsager-Casimir [21] și anume:

$$R_{12}(B) = R_{21}(-B) \quad (1.23)$$

$$R_{21}(B) = R_{12}(-B)$$

Tinînd seama de semnificația fizică a rezistențelor de transfer și de relațiile (1.15) se poate scrie

$$R_{21}(B) = \frac{U_{20}(B)}{I_1} = \frac{U_a(B) - U_b(B)}{I}$$

$$R_{12}(B) = \frac{U_{10}(B)}{I_2} = \frac{U_a(B) + U_b(B)}{I}$$

Dacă se notează

$$R_a(B) = \frac{U_a(B)}{I} \quad (1.24)$$

$$R_b(B) = \frac{U_b(B)}{I}$$

rezultă

$$R_{21}(B) = R_a(B) - R_b(B) \quad (1.25)$$

$$R_{12}(B) = R_a(B) + R_b(B)$$

Din relațiile (1.17) și (1.24) se obține

$$R_a(B) = R_a(-B) \quad (1.26)$$

$$R_b(B) = - R_b(-B)$$

Se observă deci că componenta R_a din expresiile rezistențelor de transfer (1.25) nu se modifică cu sensul inducției magnetice, fiind deci o funcție pară de B , spre deosebire de componenta R_b care își schimbă semnul atunci când se schimbă sensul inducției magnetice, fiind o funcție impară de B .

Pe baza relațiilor (1.25) și (1.26) se poate scrie

$$R_{21}(-B) = R_a(B) + R_b(B) \quad (1.27)$$

$$R_{12}(-B) = R_a(B) - R_b(B)$$

Relațiile (1.25) și (1.27) arată că rezistențele de transfer ale plăcii Hall se pot descompune în două componente R_a și R_b și că în funcție de sensul inducției magnetice dacă în una din cele două rezistențe de transfer intervine suma celor două componente, în cealaltă intervine diferența lor. Acest rezultat este o consecință a relațiilor generale (1.15)

Pe de altă parte relațiile (1.25) și (1.27) constituie implicit și o demonstrație pentru relațiile de reciprocitate ale lui Onsager-Casimir (relațiile 1.23)

Pentru componentele R_a și R_b , din relațiile (1.25) și (1.27), se obțin expresiile :

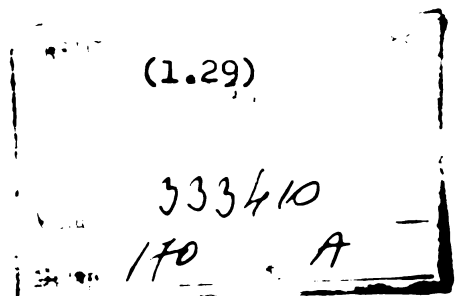
$$R_a(B) = \frac{1}{2} \left[R_{21}(B) + R_{12}(B) \right] \quad (1.28)$$

$$R_b(B) = \frac{1}{2} \left[R_{12}(B) - R_{21}(B) \right]$$

sau

$$R_a(B) = \frac{1}{2} \left[R_{21}(B) + R_{21}(-B) \right] \quad (1.29)$$

$$R_b(B) = \frac{1}{2} \left[R_{21}(-B) - R_{21}(B) \right]$$



Descompunerea rezistențelor de transfer în două componente este semnificativă dacă ne referim la condiția de reciprocitate pe care nu o satisface generatorul Hall, și anume: $R_{21}(B) \neq R_{12}(B)$.

Urmează că dacă în rezistențele de transfer intervin ambele componente generatorul Hall este nereciprocal.

Se pot distinge următoarele cazuri particulare, când în rezistențele de transfer intervin numai una din cele două componente:

a) Placă Hall în absența câmpului magnetic.

Din relațiile (1.18) rezultă pentru $B = 0$ următoarele: $U_a(0) = U_{20}(0)$; $U_b(0) = 0$.

Componenta U_a pentru $B = 0$ corespunde tensiunii de zero a generatorului Hall.

Deoarece: $R_b(0) = 0$ și $R_{21}(0) = R_{12}(0) = R_a(0)$ placa Hall în absența câmpului magnetic este un circuit reciproc.

b) Placă Hall fără tensiune de zero.

În acest caz : $U_{20}(0) = 0$ și $U_{20}(B) = -U_{20}(-B)$. Componentele U_a și U_b exprimate de relațiile (1.18) obțin valorile: $U_a(B) = 0$; $U_b(B) = -U_{20}(B) = U_{20}(-B)$.

$$\text{Deci : } R_a(B) = 0$$

$$R_{21}(B) = -R_b(B)$$

$$R_{12}(B) = R_b(B)$$

În această situație generatorul Hall se comportă ca un girator, fiind satisfăcută condiția de antireciprocitate:

$$R_{21}(B) = -R_{12}(B)$$

c) Placă semiconductoare cuprinsă în întregime între electrozi (fig.1.2).

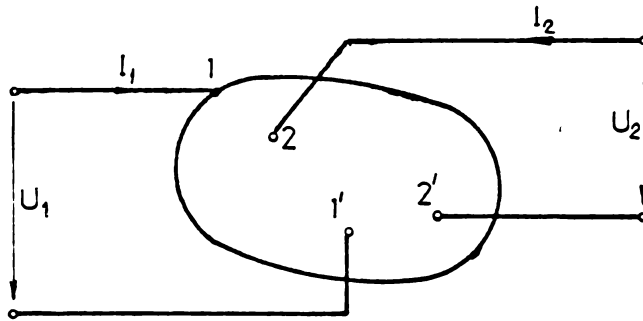


Fig.1.2 Placă semiconductoră cuprinsă în întregime între electrozi

Intrucât la asemenea plăci nu se modifică spectrul câmpului electric cu sensul inducției magnetice, tensiunea de ieșire nu depinde de sensul câmpului magnetic, deci:

$$U_{20}(B) = U_{20}(-B).$$

Din relațiile (1.18) se obține: $U_a(B) = U_{20}(B)$ și $U_b(B) = 0$.

Deoarece: $R_b(B) = 0$ și $R_{21}(B) = R_{12}(B) = R_a(B)$ placa semiconductoră cuprinsă în întregime între electrozi este un circuit reciproc. Acest rezultat poate fi demonstrat și pe altă cale [37].

1.3. Componentele admitanțelor de transfer în scurtcircuit, în funcție de inducția magnetică.

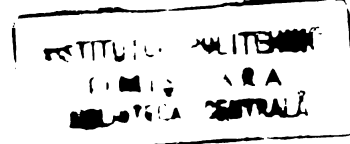
Comportarea generatorului Hall în sarcină se poate studia și pe baza ecuațiilor cuadripolare

$$\underline{I}_1 = Y_{11}(B) \underline{U}_1 + Y_{12}(B) \underline{U}_2 \tag{1.30}$$

$$\underline{I}_2 = Y_{21}(B) \underline{U}_1 + Y_{22}(B) \underline{U}_2$$

Semnificația fizică a parametrilor Y din ecuațiile(1.30) rezultă din regimurile de scurtcircuit reprezentate în fig.1.3 și este următoarea:

$$Y_{11} = \left(\frac{I_1}{U_1} \right)_{U_2=0} = Y_{1k} - \text{admitanța în scurtcircuit corespunzătoare circuitului de comandă } 11'.$$



$$Y_{22} = \left(\frac{I_2''}{U_2''} \right)_{U_1'' = 0} = Y_{2k} \text{ - admitanța în scurtcircuit cînd alimentarea se face la bornele } 22'$$

$$Y_{21} = \left(\frac{I_2'}{U_1'} \right)_{U_2' = 0} \text{ - admitanța de transfer în scurtcircuit cu alimentare la bornele } 11'$$

$$Y_{12} = \left(\frac{I_1''}{U_2''} \right)_{U_1'' = 0} \text{ - admitanța de transfer în scurtcircuit cu alimentare la bornele } 22'$$

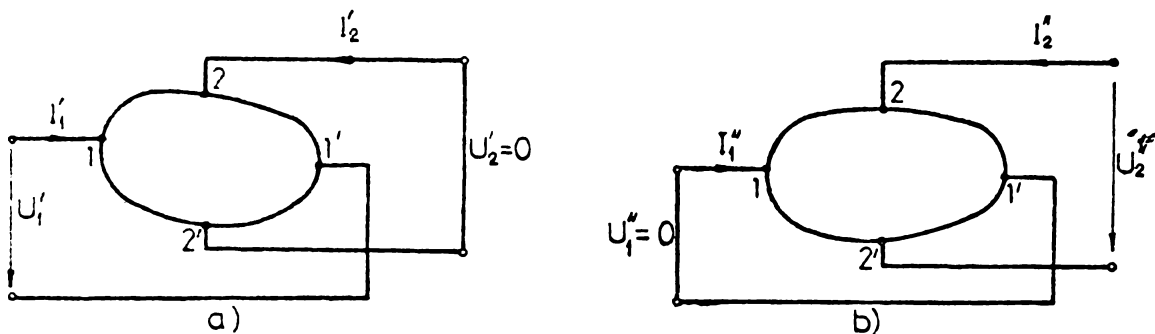


Fig.1.3 Regimurile de funcționare ale plăcii Hall care definesc parametrii Y

Pentru cele două regimuri considerate în fig.1.3, relațiile (1.12) devin

$$U_1' I_1'' = (U_a - U_b) (I_1'' + I_2'')$$

$$U_2'' I_2' = (U_a + U_b) (I_1'' + I_2'')$$

Dacă se consideră aceleași tensiuni de alimentare :

$$U_1' = U_2'' = U$$

pentru admitanțele de transfer în scurtcircuit rezultă expresiile:

$$Y_{12}(B) = \frac{I_1''}{U} = (U_a - U_b) \frac{I_1'' + I_2''}{U^2}$$

$$Y_{21}(B) = \frac{I_2'}{U} = (U_a + U_b) \frac{I_1'' + I_2''}{U^2}$$

Se fac următoarele notații :

$$Y_a(B) = \frac{I_1'' + I_2''}{U^2} U_a(B) \quad ; \quad Y_b(B) = \frac{I_1'' + I_2''}{U^2} U_b(B) \quad (1.31)$$

Rezultă:

$$Y_{12}(B) = Y_a(B) - Y_b(B) \quad (1.32)$$

$$Y_{21}(B) = Y_a(B) + Y_b(B)$$

Relațiile (1.32) exprimă faptul că și admitanțele de transfer în scurtcircuit se pot descompune în suma și respectiv diferența aceluiași componente, dintre care o componentă Y_a care nu se modifică cu sensul inducției magnetice și o componentă Y_b care-și schimbă semnul cu sensul inducției magnetice. Se poate scrie deci:

$$Y_a(B) = Y_a(-B) \quad (1.33)$$

$$Y_b(B) = -Y_b(-B)$$

Dacă se schimbă sensul inducției magnetice admitanțele de transfer în scurtcircuit devin:

$$Y_{12}(-B) = Y_a(B) + Y_b(B) \quad (1.34)$$

$$Y_{21}(-B) = Y_a(B) - Y_b(B)$$

Din relațiile (1.32) și (1.34) rezultă

$$Y_{12}(B) = Y_{21}(-B) \quad (1.35)$$

$$Y_{21}(B) = Y_{12}(-B)$$

Intrucât componentele Y_a și Y_b sînt exprimate funcție de componentele U_a și U_b , cazurile în care placa Hall se comportă ca un element de circuit nereciproci, antireciproci sau reciproci se pot analiza asemănător cu cele prezentate la punctul 1.2.

1.4. Studiul comportării generatorului Hall pe baza parametrilor introduși prin alimentarea pe la ambele perechi de borne.

1.4.1. Sistemul de parametri considerat.

Comportarea generatorului Hall ca element de circuit se poate analiza și cu ajutorul parametrilor definiți pe baza alimentării pe la ambele capete [136, 142, 149]. După cum se va arăta acești parametri pot prezenta unele avantaje în scopurile urmărite.

Ecuațiile cuadripolului alimentat pe la ambele capete, în funcție de parametri Y sînt

$$\underline{I}_1 = \underline{Y}_{11}\underline{U}_1 + \underline{Y}_{12}\underline{U}_2 \quad (1.36)$$

$$\underline{I}_2 = \underline{Y}_{21}\underline{U}_1 + \underline{Y}_{22}\underline{U}_2$$

la ambele perechi de borne considerîndu-se regula de la receptoare, rezultînd semnificații corespunzătoare pentru parametri.

Folosind raportul tensiunilor de alimentare

$$\underline{k}_U = \frac{\underline{U}_2}{\underline{U}_1} = k_U e^{j\alpha}$$

se pot scrie admitanțele echivalente la cele două perechi de borne în forma

$$\underline{Y}_1 = \frac{\underline{I}_1}{\underline{U}_1} = \underline{Y}_{11} + \underline{Y}_{12} \underline{k}_U$$

$$\underline{Y}_2 = \frac{\underline{I}_2}{\underline{U}_2} = \underline{Y}_{22} + \underline{Y}_{21} \frac{1}{\underline{k}_U}$$

Dacă se notează prin $(\underline{Y}_1)_1$ și $(\underline{Y}_2)_1$ - admitanțele echivalente la cele două perechi de borne, cînd se alimentează cu tensiuni egale și în fază ($k_U = 1, \alpha = 0$) și prin $(\underline{Y}_1)_{-1}$ și $(\underline{Y}_2)_{-1}$ - admitanțele echivalente la cele două capete pentru tensiuni de

alimentare egale și în opoziție ($k_U = 1$, $\alpha = \pi$), rezultă

$$\begin{aligned} (\underline{Y}_1)_1 &= \underline{Y}_{11} + \underline{Y}_{12} \\ (\underline{Y}_2)_1 &= \underline{Y}_{22} + \underline{Y}_{21} \\ (\underline{Y}_1)_{-1} &= \underline{Y}_{11} - \underline{Y}_{12} \\ (\underline{Y}_2)_{-1} &= \underline{Y}_{22} - \underline{Y}_{21} \end{aligned} \quad (1.37)$$

Din relațiile (1.37) se pot exprima cu ușurință parametrii \underline{Y} , astfel încât pentru matricele admitanță și impedanță se obțin expresiile

$$\|\underline{Y}\| = \frac{1}{2} \begin{vmatrix} (\underline{Y}_1)_1 + (\underline{Y}_1)_{-1} & (\underline{Y}_1)_1 - (\underline{Y}_1)_{-1} \\ (\underline{Y}_2)_1 - (\underline{Y}_2)_{-1} & (\underline{Y}_2)_1 + (\underline{Y}_2)_{-1} \end{vmatrix} \quad (1.38)$$

$$\|\underline{Z}\| = \frac{1}{\underline{F}(\underline{Y})} \begin{vmatrix} (\underline{Y}_2)_1 + (\underline{Y}_2)_{-1} & (\underline{Y}_1)_{-1} - (\underline{Y}_1)_1 \\ (\underline{Y}_2)_{-1} - (\underline{Y}_2)_1 & (\underline{Y}_1)_{-1} + (\underline{Y}_1)_1 \end{vmatrix} \quad (1.39)$$

în care:

$$\underline{F}(\underline{Y}) = (\underline{Y}_1)_1 (\underline{Y}_2)_{-1} + (\underline{Y}_1)_{-1} (\underline{Y}_2)_1$$

Condiția de reciprocitate pentru un circuit cuadripolar exprimată în funcție de parametrii introduși prin alimentarea la ambele capete rezultă din matricea (1.38) în forma

$$(\underline{Y}_1)_1 - (\underline{Y}_1)_{-1} = (\underline{Y}_2)_1 - (\underline{Y}_2)_{-1} \quad (1.40)$$

iar condiția de antireciprocitate a unui girator este

$$(\underline{Y}_1)_1 - (\underline{Y}_1)_{-1} = (\underline{Y}_2)_{-1} - (\underline{Y}_2)_1 \quad (1.41)$$

Tinând seama de relațiile (1.37), (1.40) și (1.41) în fig. 1.4a s-au reprezentat locurile geometrice ale parametrilor cu alimentare la ambele capete pentru un cuadripol reciproc, iar în fig. 1.4b pentru un girator.

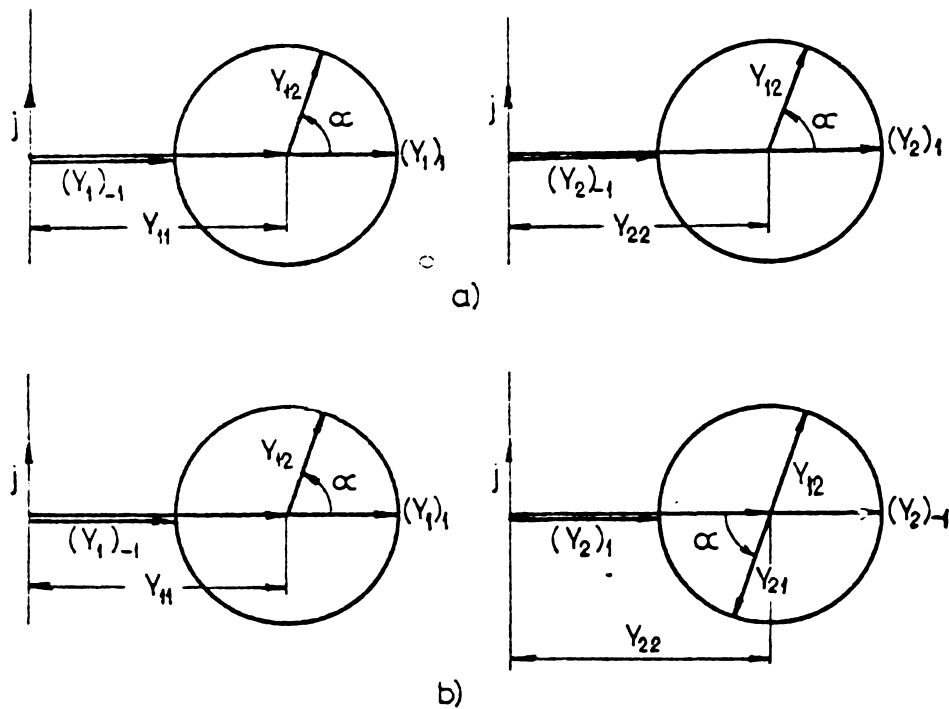


Fig.1.4 Locurile geometrice ale parametrilor cu alimentare la ambele capete.

a) - cuadripol reciproc; b) - girator

Pe baza relațiilor (1.40) și (1.41) rezultă un criteriu simplu și util de stabilire a reciprocității sau a antireciprocității unui circuit cuadripolar [142] și anume :

În cazul unui circuit reciproc admitanțele corespondente la cele două perechi de borne $(Y_1)_1$, $(Y_2)_1$ și respectiv $(Y_1)_{-1}$, $(Y_2)_{-1}$ trec prin valori extreme de același sens (fig.1.4a) în timp ce la un girator trec prin valori extreme de sens contrar (Fig.1.4b)

Avantajul acestui criteriu constă în faptul că identificarea unui cuadripol reciproc și a unui girator se face pe baza valorilor numerice ale parametrilor considerați. Determinarea reciprocității sau a antireciprocității pe baza impedanțelor sau a admitanțelor de transfer presupune determinarea atât a modulelor cât și a argumentelor parametrilor respectivi. Rezultatele experimentale privind studiul pe baza acestor parametri sînt cuprinse

la partea experimentală (punctul 1.6).

1.4.2. Exprimarea sistemului de parametri considerat
în funcție de parametrii Y

Avînd în vedere relațiile (1.32) și (1.37) pentru parametrii introduși prin alimentarea la ambele capete rezultă expresiile

$$\begin{aligned}(Y_1)_1 &= Y_{11} + (Y_a - Y_b) \\(Y_1)_{-1} &= Y_{11} + (Y_a - Y_b) \\(Y_2)_1 &= Y_{22} + (Y_a + Y_b) \\(Y_2)_{-1} &= Y_{22} - (Y_a + Y_b)\end{aligned}\tag{1.42}$$

Relațiile (1.42) se pot particulariza pentru următoarele cazuri:

a) Placă Hall în absența cîmpului magnetic.

Intrucît: $U_b(0) = 0$ și $Y_b(0) = 0$, iar $U_a(0)$ corespunde tensiunii de zero a generatorului Hall, relațiile (1.42) devin

$$\begin{aligned}(Y_1)_1 &= Y_{11} + Y_a & (Y_2)_1 &= Y_{22} + Y_a \\(Y_1)_{-1} &= Y_{11} - Y_a & (Y_2)_{-1} &= Y_{22} - Y_a\end{aligned}$$

verificîndu-se condiția de reciprocitate (1.40).

b) Placă Hall fără tensiune de zero.

Deoarece $U_a(B) = 0$ și $Y_a(B) = 0$ relațiile (1.42) obțin expresiile

$$\begin{aligned}(Y_1)_1 &= Y_{11} - Y_b & (Y_2)_1 &= Y_{22} + Y_b \\(Y_1)_{-1} &= Y_{11} + Y_b & (Y_2)_{-1} &= Y_{22} - Y_b\end{aligned}$$

Se remarcă faptul că se verifică condiția de antireciprocitate (1.41), iar dacă se ține seama de relațiile (1.33) se constată că parametrii introduși prin alimentarea la ambele capete depind de sensul inducției magnetice, satisfăcînd în cazul unui girator următoarele relații

$$(Y_1)_1(B) = (Y_1)_{-1}(-B)$$

$$(Y_2)_1(B) = (Y_2)_{-1}(-B)$$

$$(Y_1)_{-1}(B) = (Y_1)_1(-B) \quad (1.43)$$

$$(Y_2)_{-1}(B) = (Y_2)_1(-B)$$

c) Placă semiconductoare cuprinsă în întregime între electrozi.

Intrucît: $U_b(B) = 0$ și $Y_b = 0$, placa semiconductoare în acest caz reprezintă un circuit reciproc.

1.5. Relații între componentele parametrilor de transfer și diferitele sisteme de parametri ai cuadripolului.

Deoarece studiul generatorului Hall ca element de circuit cuadripolar se poate face cu ajutorul mai multor sisteme de parametri (parametrii Z, parametrii Y, parametrii introduși prin alimentarea la ambele capete etc), între care există relații de legătură, în tabela 1.1 diferitele sisteme de parametri ai cuadripolului se exprimă în funcție de componentele parametrilor de transfer (R_a , R_b și Y_a , Y_b). Tabela 1.2 centralizează relațiile de legătură între componentele parametrilor de transfer și diferitele sisteme de parametri ai cuadripolului, precum și relațiile dintre componentele rezistențelor de transfer în gol și componentele admitanțelor de transfer în scurt-circuit.

Se remarcă faptul că dacă se consideră pozitiv sensul inducției magnetice pentru care componentele R_a și R_b sînt de același semn, pentru același sens al inducției magnetice componentele Y_a și Y_b rezultă de semne contrare și invers. Aceeași observație va rezulta și din datele experimentale (punctul 1.6).

Introducerea în studiu a celor două sisteme de componente ale parametrilor de transfer: R_a , R_b și Y_a , Y_b pe lîngă

Tabela 1.1

	R_a, R_b	Y_a, Y_b
$\ Z \ $	$\begin{array}{c} R_{10} \\ R_a + R_b \\ R_a - R_b \\ R_{20} \end{array}$	$\begin{array}{c} \frac{Y_{2K}}{Y_{1K} Y_{2K} - Y_a^2 + Y_b^2} - \frac{Y_a - Y_b}{Y_{1K} Y_{2K} - Y_a^2 + Y_b^2} \\ \frac{Y_a + Y_b}{Y_{1K} Y_{2K} - Y_a^2 + Y_b^2} \\ \frac{Y_{1K}}{Y_{1K} Y_{2K} - Y_a^2 + Y_b^2} \end{array}$
$\ Y \ $	$\begin{array}{c} \frac{R_{20}}{R_{10} R_{20} - R_a^2 + R_b^2} - \frac{R_a + R_b}{R_{10} R_{20} - R_a^2 + R_b^2} \\ \frac{R_a - R_b}{R_{10} R_{20} - R_a^2 + R_b^2} \\ \frac{R_{10}}{R_{10} R_{20} - R_a^2 + R_b^2} \end{array}$	$\begin{array}{c} Y_{1K} \\ Y_a - Y_b \\ Y_a + Y_b \\ Y_{2K} \end{array}$
Parametrii introdusi prin alimentare la ambele capete	$(Y_1)_1$	$Y_{1K} + Y_a - Y_b$
	$(Y_2)_1$	$Y_{2K} + Y_a + Y_b$
	$(Y_1)_{-1}$	$Y_{1K} - Y_a + Y_b$
	$(Y_2)_{-1}$	$Y_{2K} - Y_a - Y_b$

Tabela 1.2

	Parametrii Z	Parametrii Y	Parametrii introdusi prin alimentarea la ambele capete	R_a, R_b	Y_a, Y_b
R_a	$\frac{1}{2}(R_{12} + R_{21})$	$-\frac{Y_{12} + Y_{21}}{2(Y_{1K}Y_{2K} - Y_{12}Y_{21})}$	$\frac{1}{2} \frac{(Y_2)_{-1} - (Y_1)_1 + (Y_2)_{-1} - (Y_2)_1}{(Y_1)_1 \cdot (Y_2)_{-1} + (Y_1)_{-1} \cdot (Y_2)_1}$	R_a	$-\frac{Y_a}{Y_{1K}Y_{2K} - Y_a^2 + Y_b^2}$
R_b	$\frac{1}{2}(R_{12} - R_{21})$	$\frac{Y_{21} - Y_{12}}{2(Y_{1K}Y_{2K} - Y_{12}Y_{21})}$	$\frac{1}{2} \frac{(Y_1)_{-1} - (Y_1)_1 - (Y_2)_{-1} + (Y_2)_1}{(Y_1)_1 \cdot (Y_2)_{-1} + (Y_1)_{-1} \cdot (Y_2)_1}$	R_b	$-\frac{Y_b}{Y_{1K}Y_{2K} - Y_b^2 + Y_a^2}$
Y_a	$-\frac{R_{12} + R_{21}}{2(R_{10}R_{20} - R_{12}R_{21})}$	$\frac{1}{2}(Y_{12} + Y_{21})$	$\frac{1}{4} [(Y_1)_1 - (Y_1)_{-1} + (Y_2)_1 - (Y_2)_{-1}]$	$-\frac{R_a}{R_{10}R_{20} - R_a^2 + R_b^2}$	Y_a
Y_b	$\frac{R_{12} - R_{21}}{2(R_{10}R_{20} - R_{12}R_{21})}$	$\frac{1}{2}(Y_{21} - Y_{12})$	$\frac{1}{4} [(Y_2)_1 - (Y_2)_{-1} - (Y_1)_1 + (Y_1)_{-1}]$	$\frac{R_b}{R_{10}R_{20} - R_b^2 + R_a^2}$	Y_b

faptul că lămurește pe deplin problema nerez reciprocității generatorului Hall, permite stabilirea unor scheme echivalente ale generatorului Hall utile în studiu (capitolul 2 și 3).

Situațiile în care cele două componente R_a și R_b , respectiv Y_a și Y_b sînt egale și de același semn, sau egale și de semne contrare stau la baza alcătuirii circuitelor unidirecționale într-un sens sau altul (cap.3). De asemenea, situațiile în care cele două componente R_a și R_b , respectiv Y_a și Y_b sînt de același semn sau de semne contrare pot determina circuite unidirecționale într-un anumit sens, alcătuite dintr-un generator Hall cu elemente de circuit suplimentare, în funcție de modul de conectare al rezistențelor suplimentare (cap.3).

1.6. Rezultate experimentale.

La acest punct se prezintă principalele încercări experimentale în legătură cu verificarea rezultatelor teoretice prezentate la cap.1. Aceste încercări se referă la determinarea componentelor rezistențelor de transfer în gol și componentelor admitanțelor de transfer în scurtcircuit, luînd în considerare diferitele sisteme de parametri ai cuadripolului. Se consideră de asemenea geometrii ale plăcii Hall și materialele semiconductoare diferite.

1.6.1. Rezistențele de transfer în gol și componentele acestora.

Pentru a obține rezistențele de transfer în gol au fost determinate în prealabil pe cale experimentală tensiunile Hall în gol. Au fost luate în considerare plăci Hall din materiale semiconductoare diferite avînd geometriile reprezentate schematic în fig.1.7.

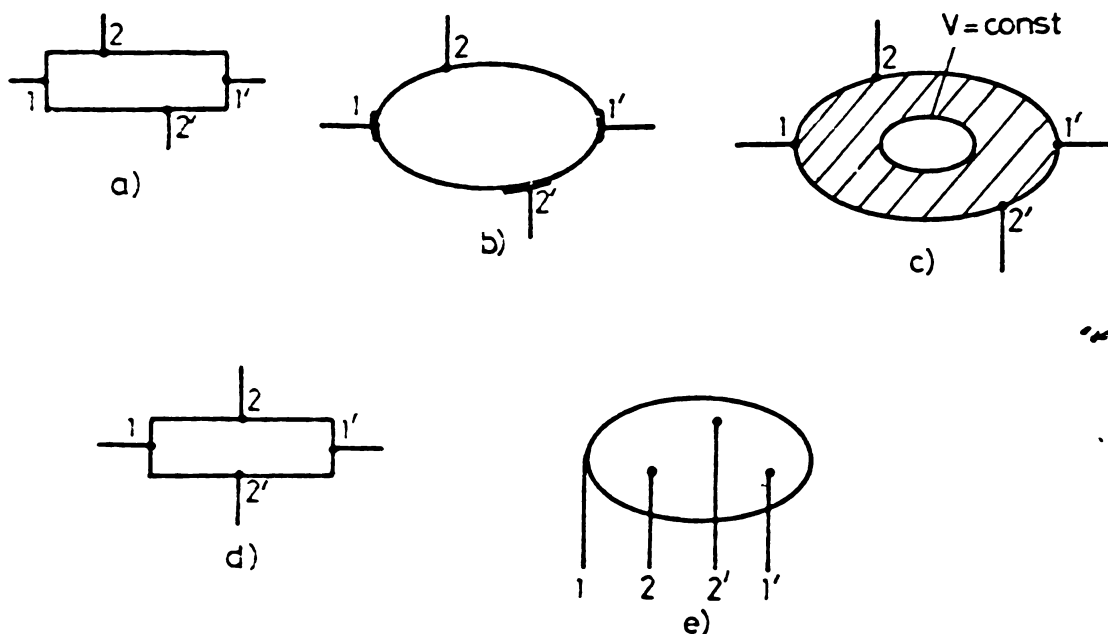


Fig.1.5. Plăci Hall de diferite forme

- a - Placă dreptunghiulară cu tensiune de zero; b - placă de formă oarecare ; c - placă corespunzătoare unui domeniu dublu conex; d - placă dreptunghiulară fără tensiune de zero (girator); e- placă cuprinsă în întregime între electrozi.

Rezultatele experimentale obținute sînt cuprinse în tabelele 1.3 - 1.8.

Tabela 1.3 se referă la o placă din germaniu dreptunghiulară cu electrozii practic punctiformi (fig.1.5a). Tabela 1.4 cuprinde rezultatele obținute la o placă din InSb de formă oarecare cu electrozi de întindere arbitrară (fig.1.5b). Pentru aceeași placă alimentată însă la electrozii alăturați 1-2' și respectiv 2-1' s-au obținut rezultatele din tabela 1.5. În tabela 1.6 sînt trecute determinările experimentale pentru o placă din InSb avînd o formă corespunzînd unui domeniu dublu conex (fig.1.5 c) . Rezultatele din tabela 1.7 s-au obținut la o placă din InSb de formă dreptunghiulară și fără tensiune de zero (fig.1.5d), iar rezultatele din tabela 1.8 se referă la o placă din InSb cuprinsă în întregime între electrozi (fig.1.5e).

Avînd tensiunile Hall în gol s-au calculat rezistențele de transfer în gol, iar pe baza relațiilor(1.28) s-au determi-

Tabela 1.3.

B	$U_{20}(+B)$	$U_{10}(+B)$	$U_{20}(-B)$	$U_{10}(-B)$	I
T	mV	mV	mV	mV	mA
0	0,3	0,3	0,3	0,3	1
0,1	0,16	0,45	0,45	0,158	
0,2	-0,001	0,595	0,6	-0,001	
0,4	-0,285	0,88	0,885	-0,285	
0,6	-0,6	1,188	1,19	-0,595	
0,8	-0,915	1,485	1,485	-0,9	
1	-1,26	1,84	1,845	-1,25	
1,2	-1,615	2,185	2,195	-1,6	
1,4	-1,965	2,515	2,525	-1,95	

Tabela 1.4

B	$U_{20}(+B)$	$U_{10}(+B)$	$U_{20}(-B)$	$U_{10}(-B)$	I
T	mV	mV	mV	mV	mA
0	0,324	0,324	0,324	0,324	10
0,2	-0,702	1,471	1,471	-0,702	
0,4	-1,822	2,619	2,619	-1,822	
0,6	-2,983	3,888	3,888	-2,97	
0,8	-4,131	5,13	5,116	-4,117	
1	-5,359	6,574	6,561	-5,346	
1,2	-6,574	7,938	7,911	-6,547	
1,4	-7,749	9,288	9,247	-7,708	
1,5	-8,235	9,99	9,95	-8,194	

Tabela 1.5

B	$U_{20}(+B)$	$U_{10}(+B)$	$U_{20}(-B)$	$U_{10}(-B)$	I
T	mV	mV	mV	mV	mA
0	0,84	0,84	0,84	0,84	20
0,3	0,855	1,15	1,15	0,855	
0,5	0,94	1,335	1,34	0,94	
0,7	1,05	1,555	1,57	1,065	
0,9	1,225	1,865	1,89	1,25	
1	1,335	2,05	2,07	1,355	
1,2	1,595	2,455	2,505	1,655	
1,4	1,91	2,91	2,99	1,985	
1,5	2,05	3,15	3,215	2,14	

Tabela 1.6

B	$U_{20}(+B)$	$U_{10}(+B)$	$U_{20}(-B)$	$U_{10}(-B)$	I
T	mV	mV	mV	mV	mA
0	0,688	0,688	0,688	0,688	20
0,2	-0,081	1,755	1,755	-0,081	
0,4	-0,877	2,808	2,794	-0,877	
0,6	-1,741	3,928	3,91	-1,728	
0,8	-2,524	5,049	4,942	-2,511	
1	-3,402	6,372	6,358	-3,388	
1,2	-4,225	7,608	7,627	-4,198	
1,4	-4,981	8,977	8,937	-4,954	
1,6	-5,629	10,26	10,206	-5,602	

Tabela 1.7

B	T	$U_{20}(+B)$ mV	$U_{10}(+B)$ mV	$U_{20}(-B)$ mV	$U_{10}(-B)$ mV	I mA
0		0	0	0	0	15
0,2		-1,194	1,215	1,215	-1,188	
0,4		-2,376	2,43	2,43	-2,376	
0,6		-3,672	3,712	3,753	-3,658	
0,8		-4,914	4,995	5,028	-4,9	
1		-6,311	6,453	6,493	-6,304	
1,2		-7,762	7,83	7,87	-7,722	
1,4		-9,085	9,18	9,247	-9,045	
1,5		-9,693	9,888	9,949	-9,639	

Tabela 1.8

B	T	$U_{20}(\pm B)$ mV	$U_{10}(\pm B)$ mV	I mA
0		0,81	0,81	150
0,2		1,161	1,242	
0,4		1,917	1,998	
0,6		2,9295	2,997	
0,8		4,131	4,185	
1		5,319	5,3595	
1,2		6,588	6,588	
1,4		7,5735	7,533	
1,6		8,57	8,2755	
1,7		8,7075	8,7075	

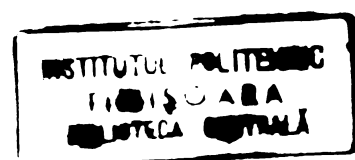
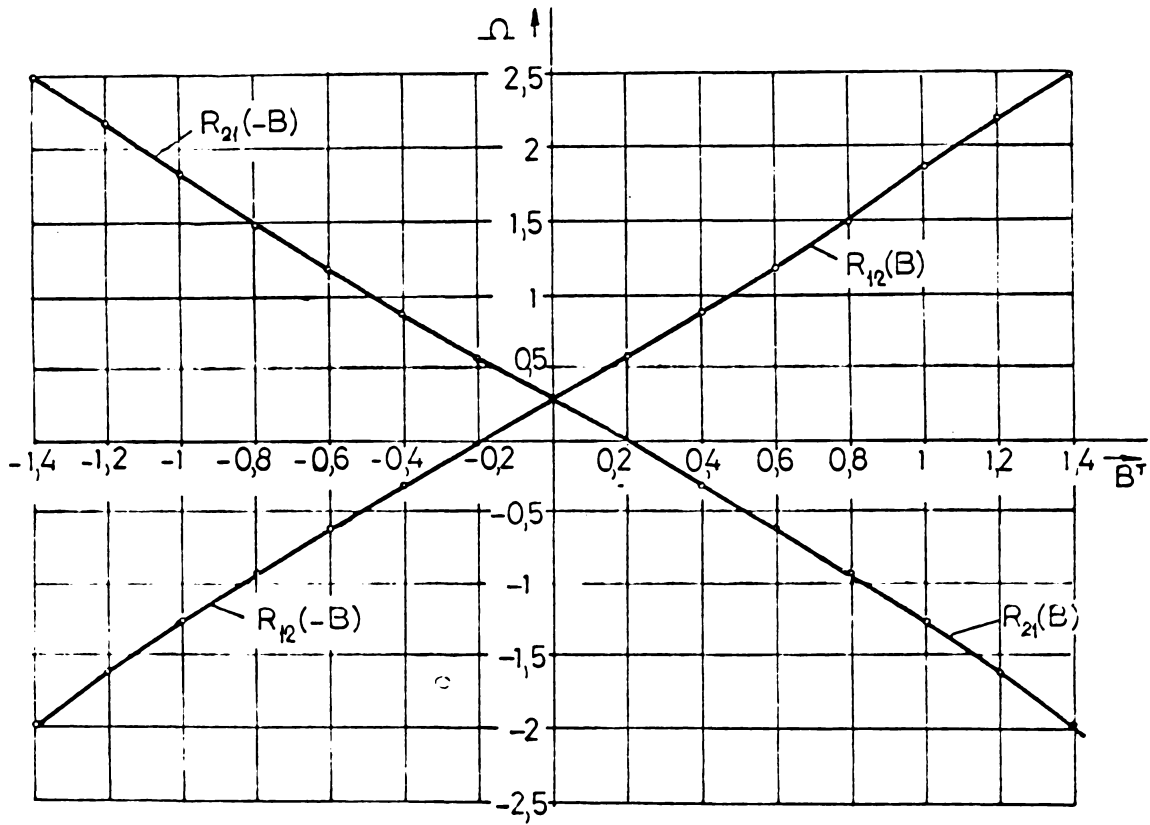


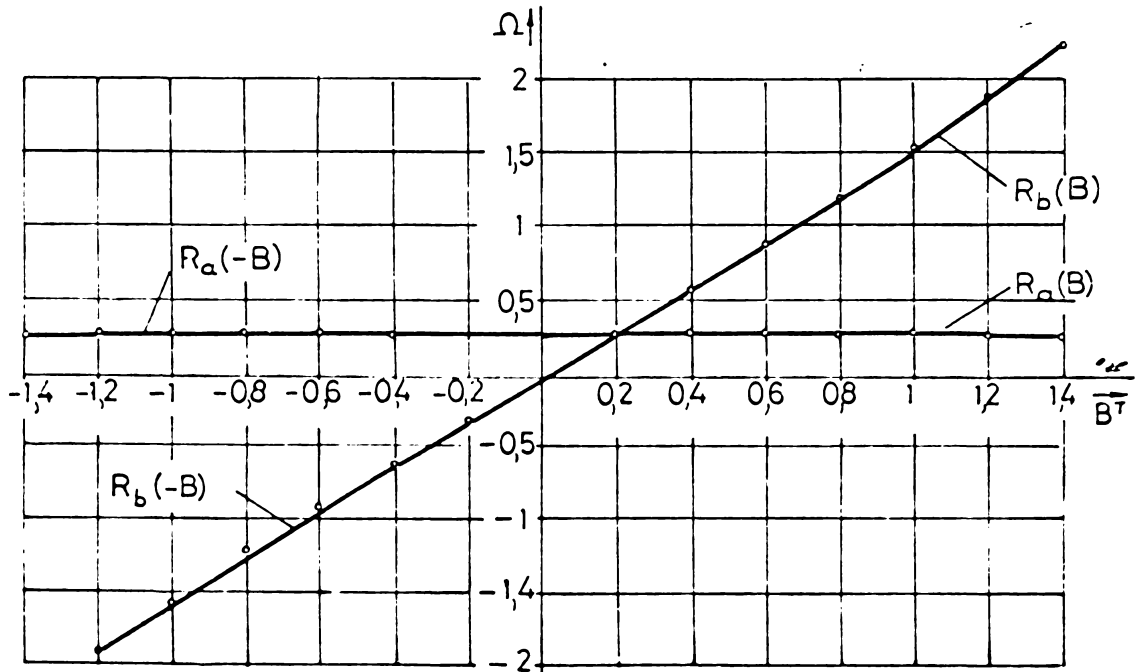
Tabela 1.9

B	Pentru +B				Pentru -B				Pentru +B				Pentru -B			
	$(Y_1)_1$	$(Y_2)_1$	$(Y_1)_{-1}$	$(Y_2)_{-1}$	$(Y_1)_1$	$(Y_2)_1$	$(Y_1)_{-1}$	$(Y_2)_{-1}$	$(Y_1)_1$	$(Y_2)_1$	$(Y_1)_{-1}$	$(Y_2)_{-1}$	$(Y_1)_1$	$(Y_2)_1$	$(Y_1)_{-1}$	$(Y_2)_{-1}$
0	1,092	1,006	1,179	1,086	1,092	1,006	1,179	1,086	1,087	1,087	1,087	1,087	1,087	1,087	1,087	1,087
0,5	0,824	0,932	1,129	0,824	1,029	0,728	0,918	1,03	0,305	0,305	0,108	0,111	0,111	0,111	0,111	0,302
1	0,604	0,833	1	0,635	0,907	0,54	0,703	0,928	0,396	0,396	0,198	0,204	0,204	0,204	0,204	0,388
1,5	0,45	0,734	0,87	0,512	0,771	0,38	0,555	0,783	0,42	0,42	0,222	0,216	0,216	0,216	0,216	0,403
1,7	0,407	0,648	0,814	0,435	0,722	0,339	0,506	0,746	0,407	0,407	0,213	0,216	0,216	0,216	0,216	0,407

B	Pentru +B				Pentru -B				Pentru +B				Pentru -B	
	R_{11}	R_{12}	R_{21}	R_{22}	R_{11}	R_{12}	R_{21}	R_{22}	R_{11}	R_{12}	R_{21}	R_{22}	R_{21}	R_{22}
0	0,8819	0,0366	0,0337	0,9574	0,8819	0,0366	0,0337	0,9574	0,8819	0,0366	0,0337	0,9574	0,0337	0,9574
0,5	1,0143	0,1761	-0,0623	1,1281	1,0173	-0,0642	1,1281	1,0173	-0,0642	1,1281	1,0173	1,1281	0,1747	1,1266
1	1,2067	0,3255	-0,1627	1,3185	1,202	-0,167	1,3185	1,202	-0,167	1,3185	1,202	1,3185	0,3177	1,3183
1,5	1,4339	0,4833	-0,2554	1,5191	1,4278	-0,2651	1,5191	1,4278	-0,2651	1,5191	1,4278	1,5191	0,4947	1,6279
1,7	1,5374	0,582	-0,3023	1,7333	1,5279	-0,3041	1,7333	1,5279	-0,3041	1,7333	1,5279	1,7333	0,5731	1,7293



a)



b)

Fig.1.6. Variația rezistențelor de transfer în gol și componentelor acestora cu inducția magnetică pentru o placă din germaniu reprezentată în fig.1.5a.

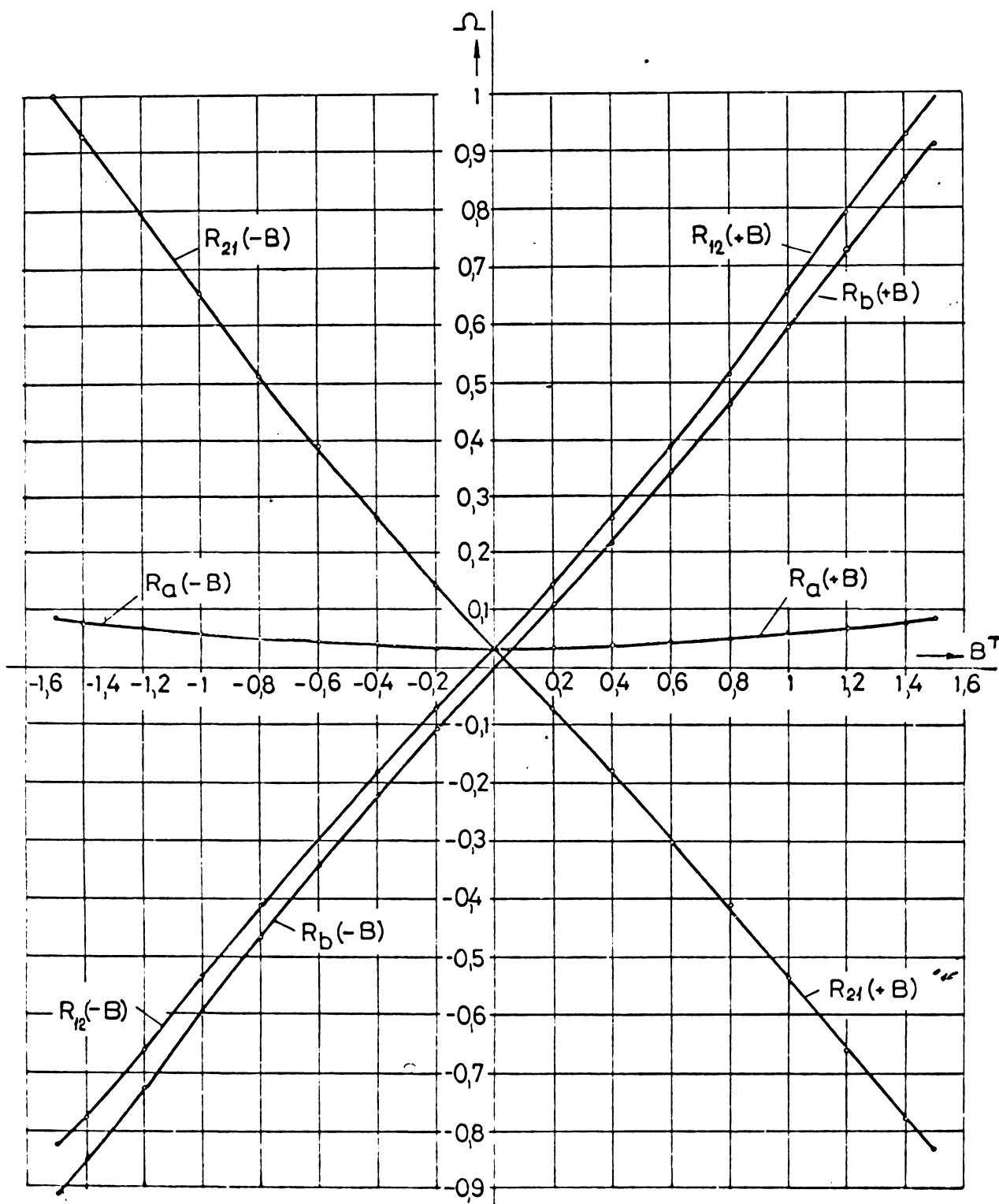


Fig.1.7. Variația rezistențelor de transfer în gol și componentelor acestora cu inducția magnetică pentru o placă din InSb reprezentată în fig. 1.5b.

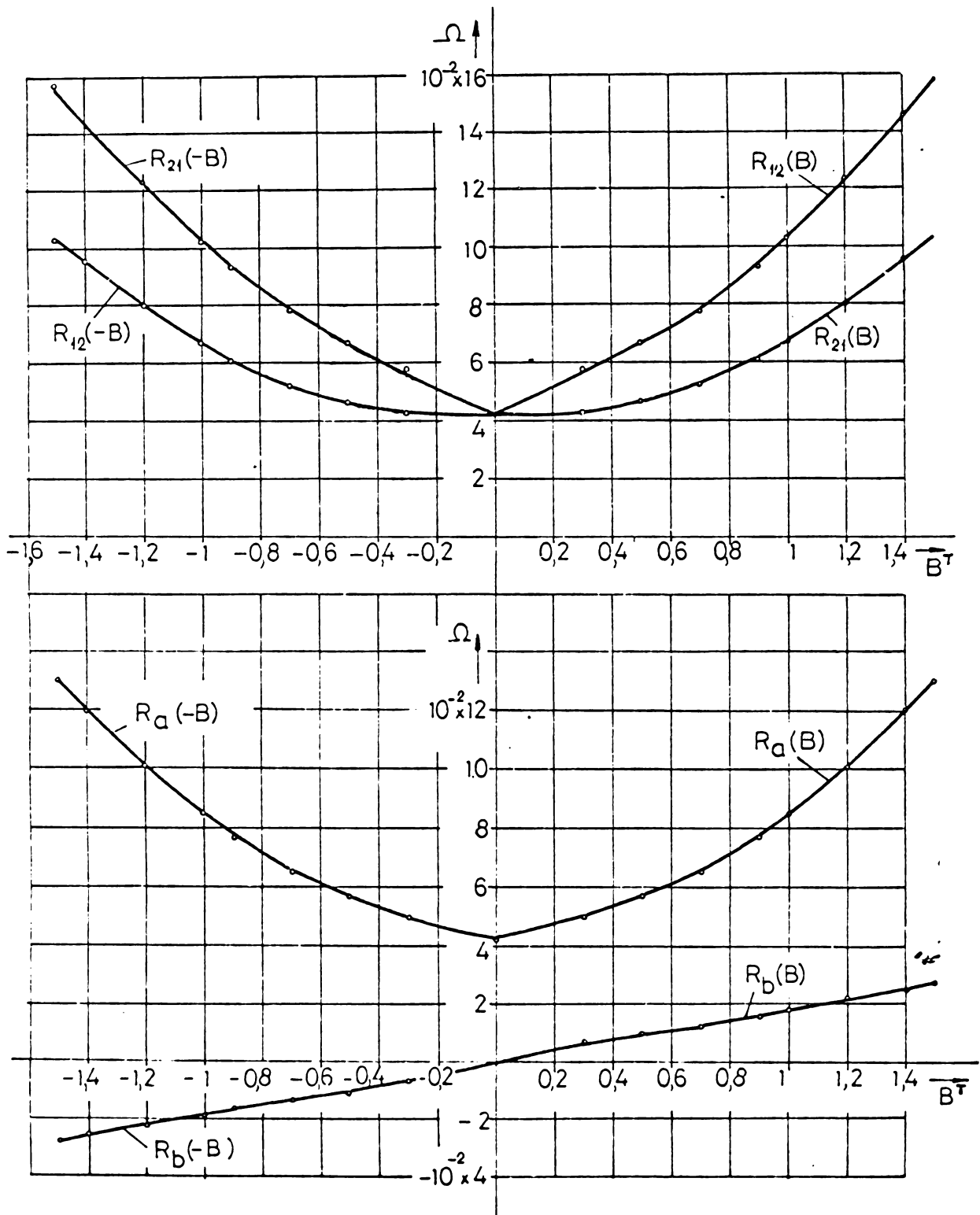


Fig.1.8. Variația rezistențelor de transfer în gol și componentelor acestora cu inducția magnetică pentru placa din fig.1.5b alimentată la electrozi alăturați, bornele de intrare fiind 1-2', iar bornele de ieșire 2-1'.

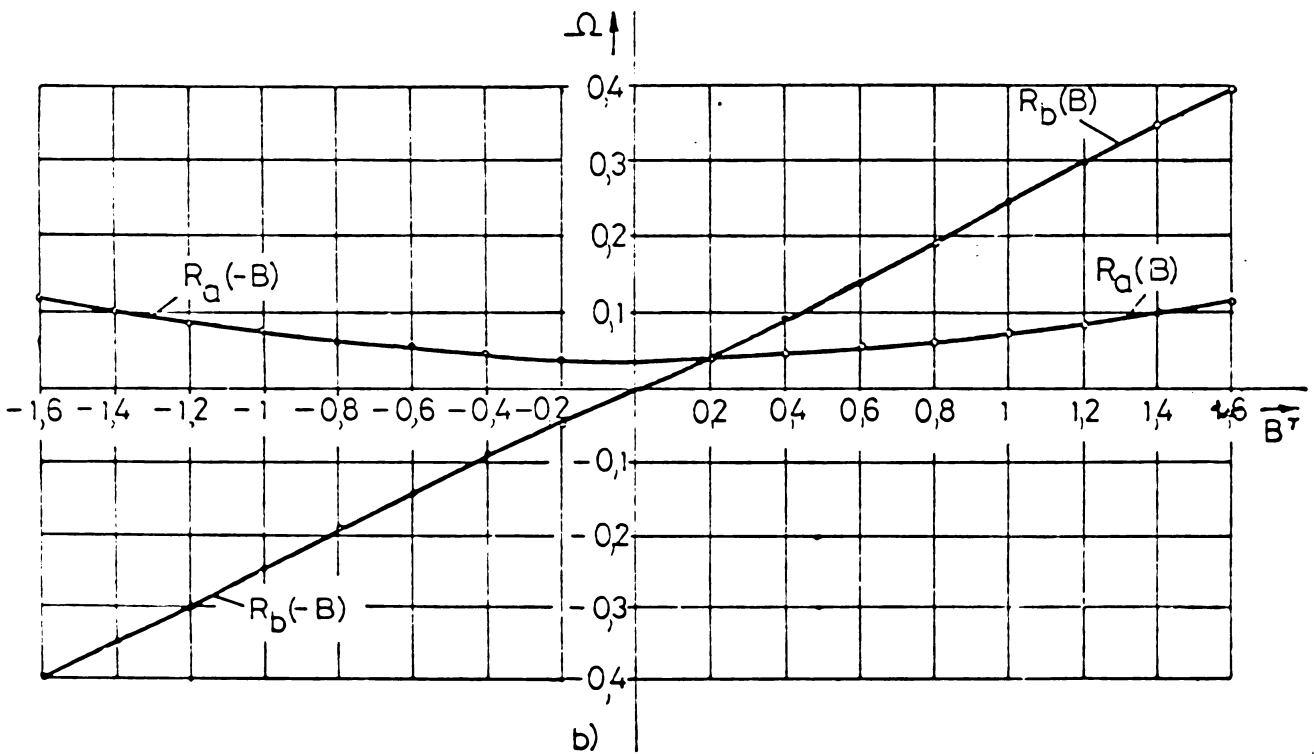
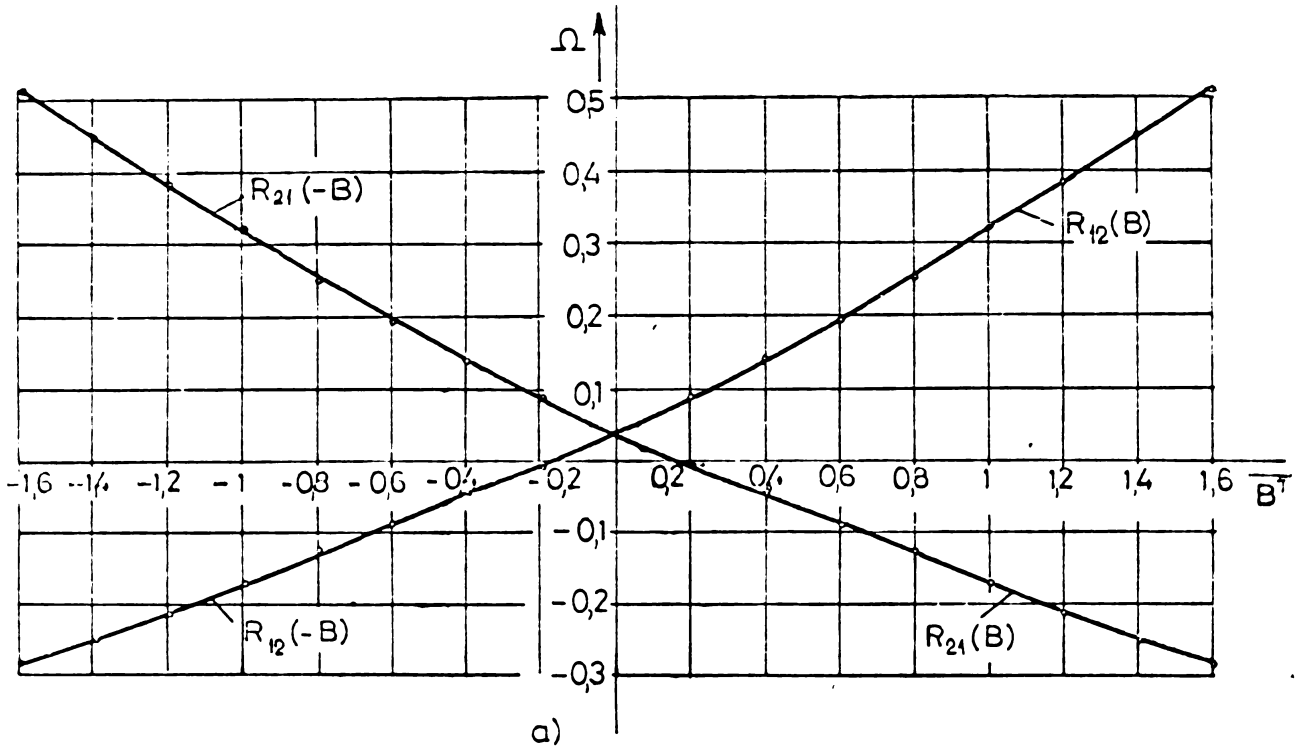


Fig.1.9. Variația rezistențelor de transfer în gol(a) și componentelor acestora(b) cu inducția magnetică pentru o placă din InSb reprezentată în fig.1.5c.

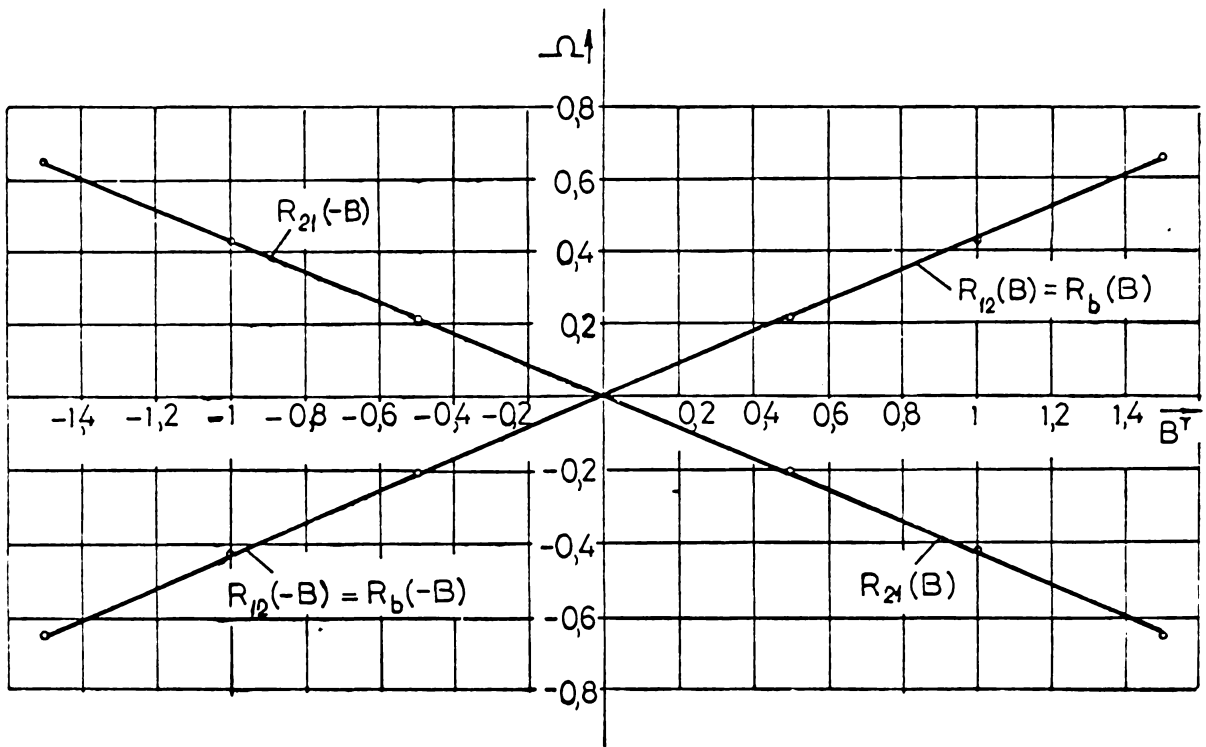


Fig.1.10. Variația rezistențelor de transfer în gol cu inducția magnetică pentru o placă din InSb fără tensiune de zero, reprezentată în fig.1.5d

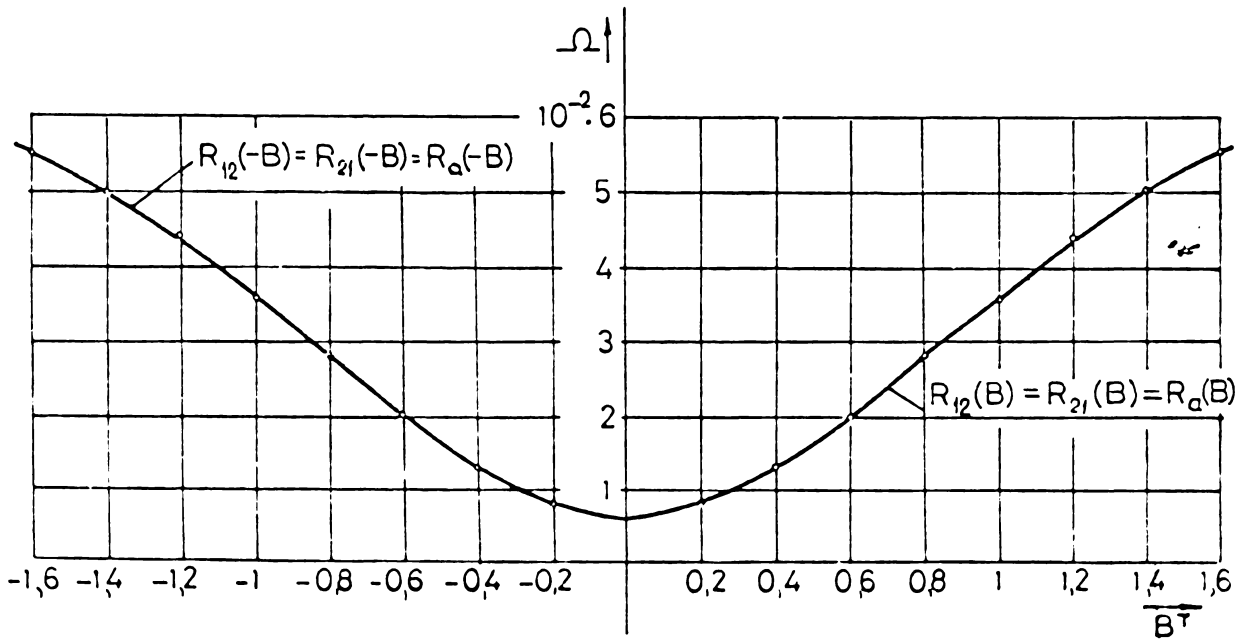


Fig.1.11. Variația rezistențelor de transfer în gol cu inducția magnetică pentru o placă din InSb cuprinsă în întregime între electrozi și reprezentată în fig.1.5e.

nat componentele acestora R_a și R_b . Rezultatele obținute sînt trecute în diagramele reprezentate în fig.1.6 - 1.11, confirmîndu-se considerațiile teoretice prezentate pentru plăcile Hall de orice formă.

Astfel, în fig.1.6a s-a reprezentat variația rezistențelor de transfer în gol cu inducția magnetică pentru ambele sensuri ale acesteia, iar în fig.1.6b variația celor două componente R_a și R_b pentru placa din fig.1.5a. Se constată o variație pronunțată a componentei R_b cu inducția magnetică, în timp ce componenta R_a este aproape constantă. Acest fapt poate fi explicat prin aceea că electrozii fiind practic punctiformi efectul magnetorezistiv e neglijabil.

Pentru placa Hall din fig.1.5b s-au reprezentat în fig.1.7 variațiile rezistențelor de transfer în gol și componentelor acestora cu inducția magnetică. În acest caz datorită prezenței efectului magnetorezistiv geometric componenta R_a are o variație importantă. Astfel, de exemplu, la inducția de 1,5T creșterea este aproximativ de 2,7 ori față de valoarea acesteia în absența cîmpului magnetic.

Sînt interesante rezultatele obținute pentru aceeași placă semiconductoare (fig.1.5b) alimentată la electrozi alăturați, bornele de intrare fiind 1-2', iar bornele de ieșire 2-1'. În fig.1.8 a și b s-au reprezentat variațiile rezistențelor de transfer în gol și componentelor acestora cu inducția magnetică. Se constată că pentru acest caz de alimentare rezistențele de transfer în gol nu-și schimbă semnul la schimbarea sensului inducției magnetice întrucît $R_a > R_b$.

Curbele din fig.1.9 s-au determinat pentru placa Hall din fig.1.5c.

În cazul plăcii Hall din fig.1.5d la care nu există tensiune de zero curbele sînt redată în fig.1.10. Se constată că valorile obținute verifică condiția de antireciprocitate.

Pentru placa semiconductoare cuprinsă în întregime între electrozi (fig.1.5e), curbele sînt reprezentate în fig.1.11. Se poate constata pe de o parte faptul că sistemul e reciproc, iar pe de altă parte se poate releva variația pronunțată a componentei R_a cu inducția magnetică ca urmare a efectului magnetorezistiv.

1.6.2. Admitanțele de transfer în scurtcircuit și componentele corespunzătoare.

Justețea relațiilor 1.32 - 1.35 a fost verificată experimental pe placa din fig.1.5c, pentru care admitanțele de transfer în scurtcircuit și componentele acestora în funcție de inducția magnetică s-au reprezentat în fig.1.12.

Fig.1.13 se referă la o placă Hall fără tensiune de zero (fig.1.5d), verificîndu-se condiția de antireciprocitate: $Y_{21}(B) = -Y_{12}(B)$, fiind prezentă în acest caz numai componenta Y_b .

Admitanțele de transfer în scurtcircuit funcție de inducția magnetică reprezentate în fig.1.14 corespund plăcii semiconductoare cuprinsă în întregime între electrozi (fig.1.5e). Egalitatea: $Y_{12}(B) = Y_{21}(B)$ datorită faptului că $Y_b = 0$, confirmă reciprocitatea în acest caz.

1.6.3. Parametrii determinați prin alimentarea pe la ambele perechi de borne.

În tabela 1.9 și fig.1.15 s-au determinat parametrii $(Y_1)_1$, $(Y_2)_1$, $(Y_1)_{-1}$ și $(Y_2)_{-1}$ pentru placa Hall cu tensiune de zero din fig.1.5c funcție de inducția magnetică și sensul

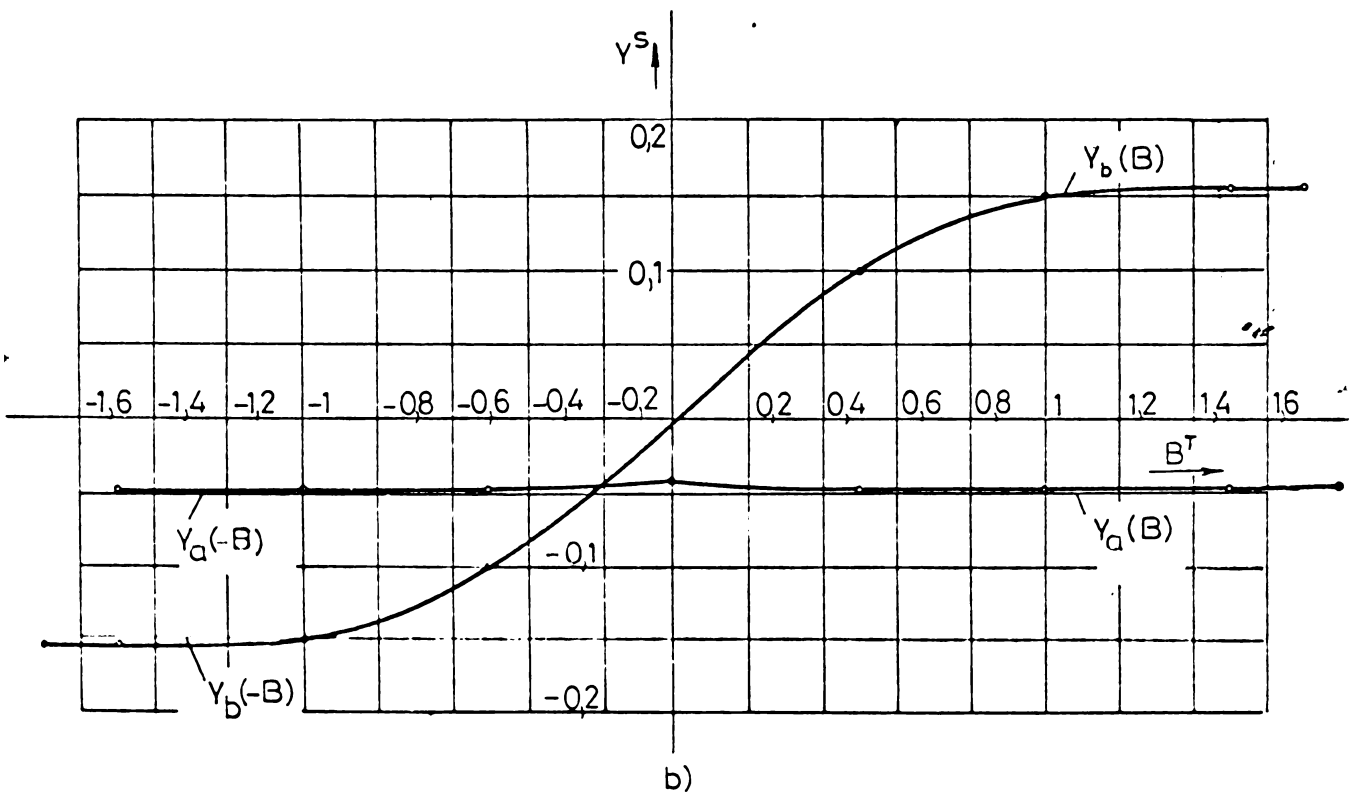
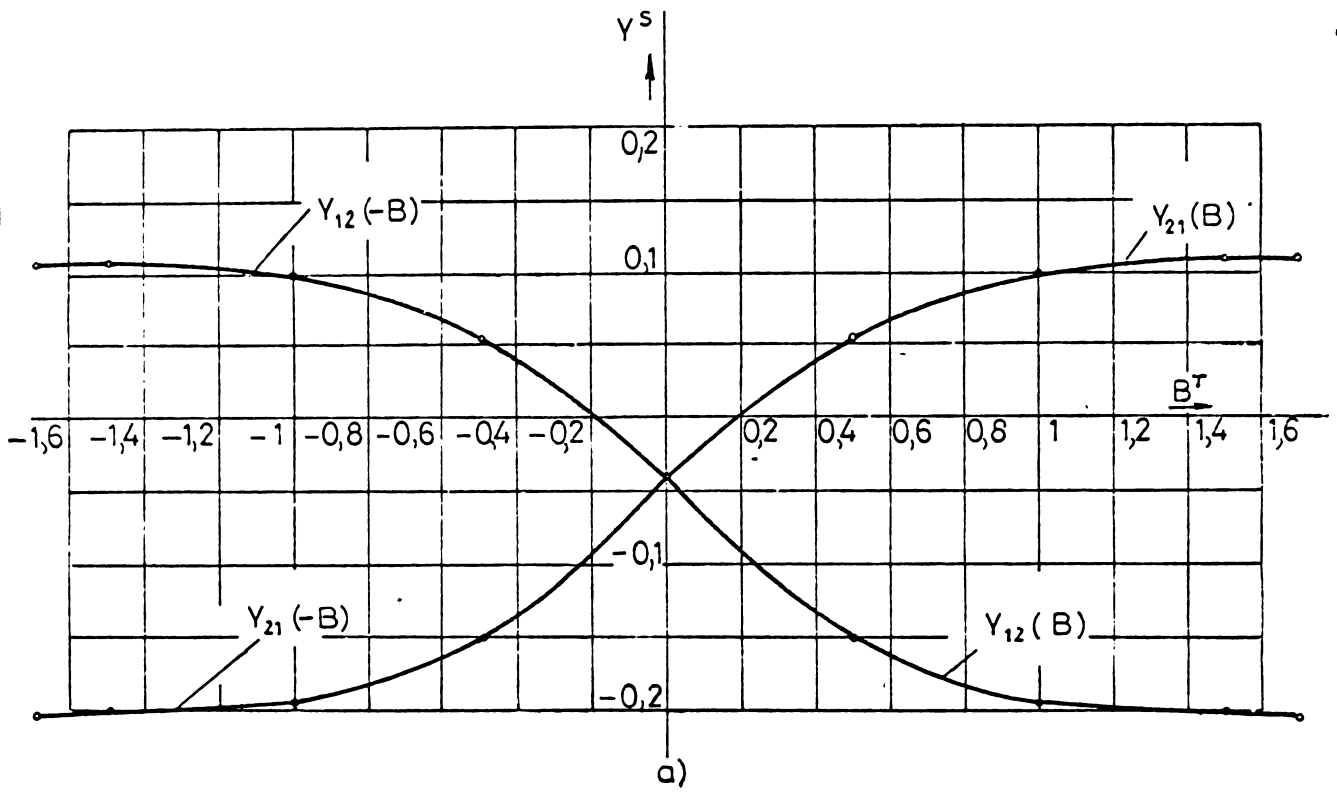


Fig.1.12. Variația admitanțelor de transfer în scurtcircuit și componentelor acestora cu inducția magnetică pentru o placă din InSb reprezentată în fig.1.5c.

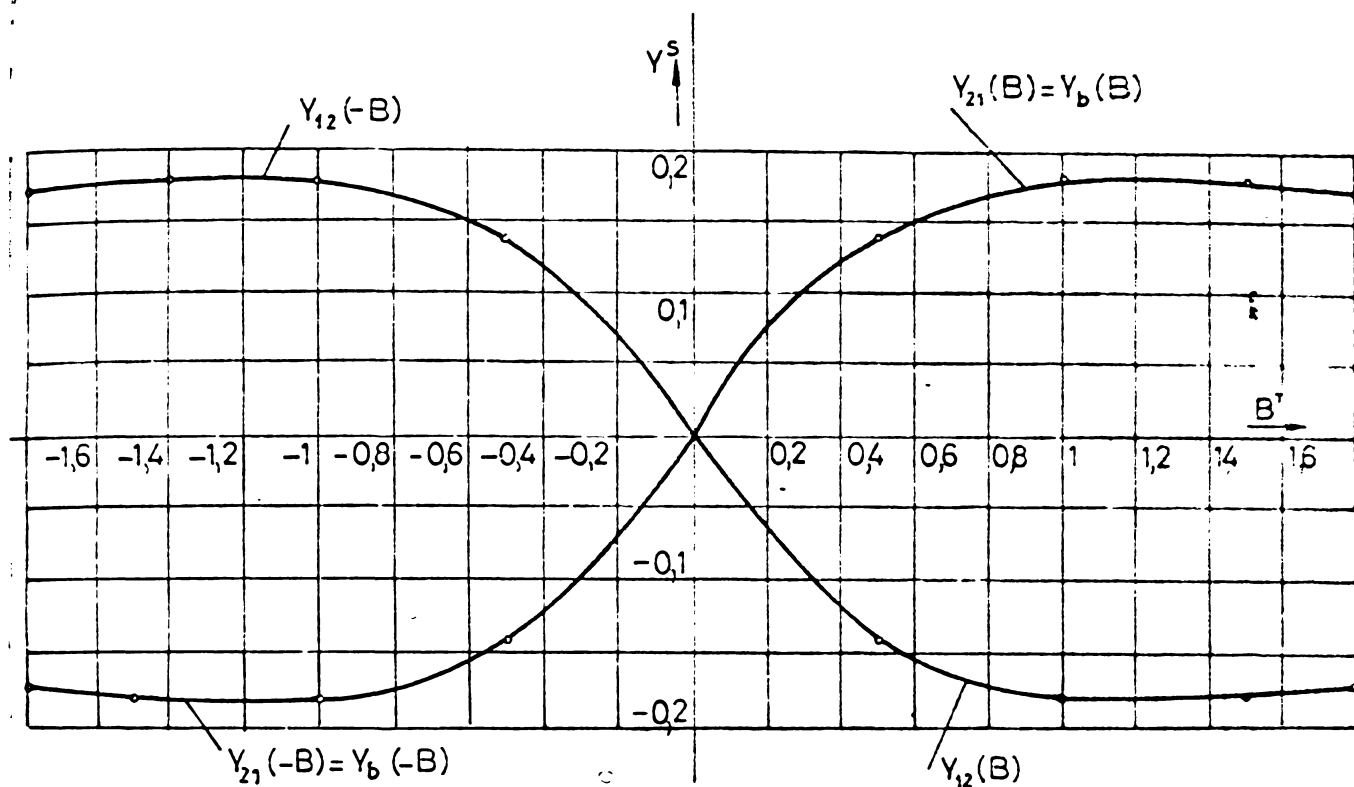


Fig.1.13. Variația admitanțelor de transfer în scurtcircuit cu inducția magnetică pentru o placă din InSb fără tensiune de zero, reprezentată în fig.1.5d.

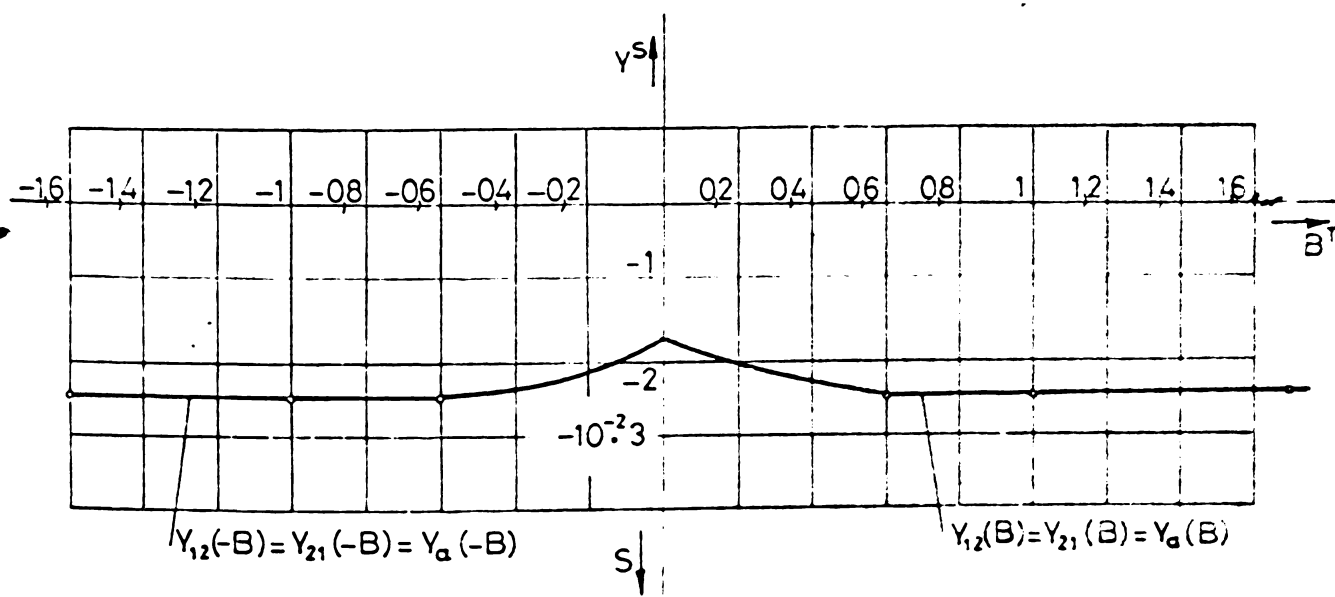


Fig.1.14. Variația admitanțelor de transfer în scurtcircuit cu inducția magnetică pentru o placă din InSb cuprinsă în întregime între electrozi și reprezentată în fig.1.5e.

Tabela 1.10

B	Pentru +B				Pentru -B				Pentru +B				Pentru -B			
	$(Y_1)_1$	$(Y_2)_1$	$(Y_1)_{-1}$	$(Y_2)_{-1}$	$(Y_1)_1$	$(Y_2)_1$	$(Y_1)_{-1}$	$(Y_2)_{-1}$	$(Y_1)_1$	$(Y_2)_1$	$(Y_1)_{-1}$	$(Y_2)_{-1}$	$(Y_1)_1$	$(Y_2)_1$	$(Y_1)_{-1}$	$(Y_2)_{-1}$
T	S	S	S	S	S	S	S	S	S	S	S	S	S	S	S	S
0	0,962	1,024	0,962	1,024	0,962	1,024	0,962	1,024	0,962	1,024	0,962	1,024	0	0	0	0
0,5	0,649	0,975	0,926	0,691	0,925	0,691	0,641	0,975	0,641	0,975	0,641	0,975	-0,277	0,284	0,284	-0,284
1	0,419	0,827	0,777	0,469	0,777	0,469	0,419	0,827	0,419	0,827	0,419	0,827	-0,358	0,358	0,358	-0,358
1,5	0,288	0,698	0,641	0,338	0,641	0,335	0,283	0,698	0,283	0,698	0,283	0,698	-0,353	0,36	0,358	-0,363
1,8	0,246	0,649	0,592	0,303	0,592	0,303	0,246	0,649	0,246	0,649	0,246	0,649	-0,346	0,346	0,346	-0,346

B	Pentru +B				Pentru -B			
	R_{11}	R_{12}	R_{21}	R_{22}	R_{11}	R_{12}	R_{21}	R_{22}
T	Ω	Ω	Ω	Ω	Ω	Ω	Ω	Ω
0	1,039	0	0	0,976	1,039	0	0	0,976
0,5	1,234	0,204	-0,21	1,165	1,234	-0,21	+0,21	1,16
1	1,544	0,426	-0,426	1,425	1,544	-0,426	0,426	1,425
1,5	1,904	0,648	-0,601	1,707	1,899	-0,658	0,667	1,698
1,8	2,0754	0,7543	-0,7543	1,8269	1,8269	-0,7543	0,667	1,698

Tabela 1.11

B T	$(Y_1)_1$ s	$(Y_2)_1$ s	$(Y_1)_{-1}$ s	$(Y_2)_{-1}$ s	$(Y_1)_{-1}$ $-(Y_1)_1$	$(Y_2)_{-1}$ $-(Y_2)_1$	R_{11} Ω	R_{12} Ω	R_{21} Ω	R_{22} Ω
0	1,9506	1,4888	1,9827	1,5259	0,0321	0,0371	0,5085	0,00054	0,0062	0,6634
0,6	1,3703	0,9432	1,4197	0,995	0,0494	0,0518	0,7172	0,0182	0,0191	1,0324
1	1,0123	0,6641	1,0617	0,716	0,0494	0,0519	0,9652	0,0345	0,0362	1,4505
1,4	0,8222	0,5259	0,8641	0,5728	0,0419	0,0469	1,1873	0,0452	0,0506	1,8224
1,7	0,7407	0,4691	0,7901	0,5185	0,0494	0,0494	1,3087	0,0654	0,0654	2,0286

! 5 !

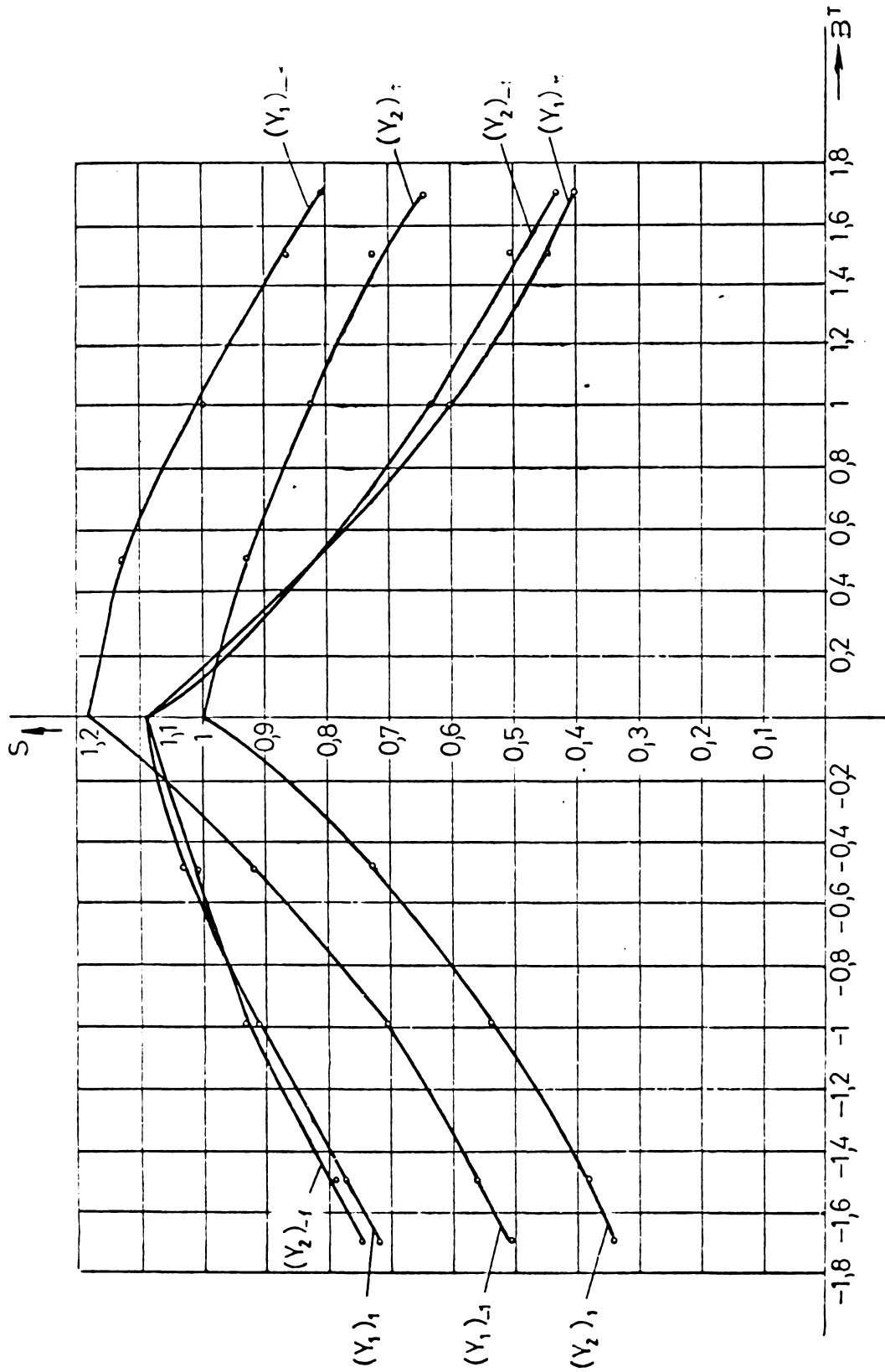


Fig.1.15. Variația parametrilor introduși prin alimentarea pe la ambele perechi de borne cu inducția magnetică pentru o placă din InSb cu tensiune de zero, reprezentată în fig.1.5c.

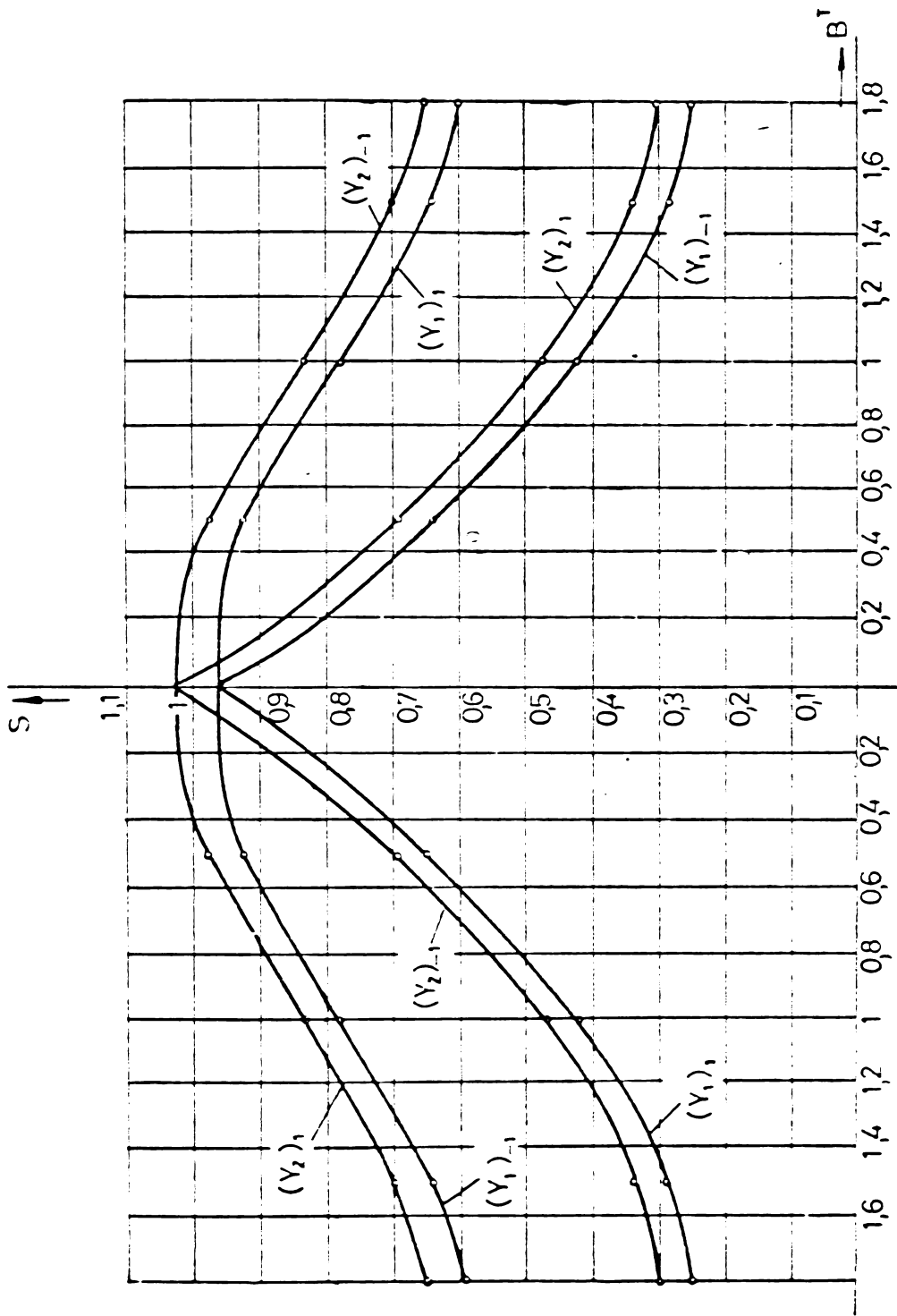


Fig.1.16. Variația parametrilor introduși prin alimentarea pe la ambele perechi de borne cu inducția magnetică pentru o placă din InSb fără tensiune de zero și reprezentată în fig.1.5d.

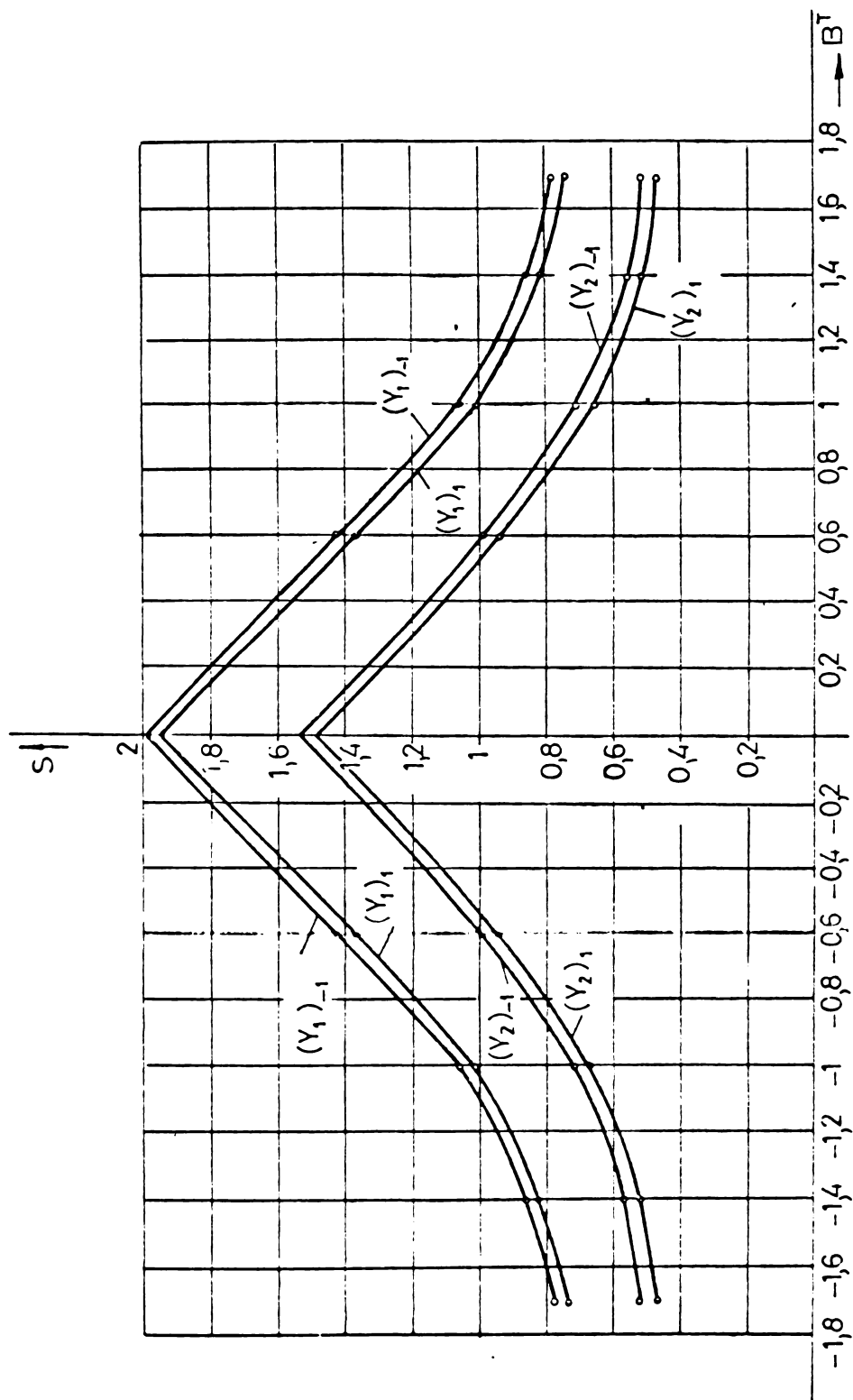


Fig.1.17. Variația parametrilor introduși prin alimentarea pe la ambele perechi de borne cu înălțimea magnetică pentru o placă din InSb cuprinsă în întregime între electrozi și reprezentată în fig.1.5e.

8.

acesteia. Se remarcă faptul că cei patru parametri sînt independenți, placa Hall reprezentînd un circuit nerez reciproc.

Variația parametrilor menționați cu inducția magnetică pentru un generator Hall fără tensiune de zero (fig.1.5d) este redată în tabela 1.10 și fig.1.16. Verificarea condiției de anti-reciprocitate (1.41) face ca numai trei parametri să fie independenți.

Din punct de vedere teoretic și practic prezintă importanță modul în care parametrii studiați depind de sensul inducției magnetice. Din datele experimentale se observă verificarea relațiilor (1.43).

În tabela 1.11 și fig.1.17 s-a redat variația aceluiași parametri cu inducția magnetică pentru placa semiconductoare cuprinsă în întregime între electrozi. Verificarea relației (1.40) atestă reciprocitatea în acest caz.

În toate cele trei cazuri s-au determinat și variațiile parametrilor cuadripolari R_{11} , R_{12} , R_{21} , R_{22} cu inducția magnetică cu ajutorul expresiei (1.39).

Se precizează faptul că s-a obținut o concordanță deplină între valorile parametrilor cuadripolari obținuți în acest fel și valorile obținute din regimurile de mers în gol (fig.1.9, 1.10 și 1.11).

CAPITOLUL 2

. NOI SCHEME ECHIVALENTE ALE GENERATORULUI HALL

După cum s-a văzut (cap.1) descompunerea rezistențelor de transfer în gol și a admitanțelor de transfer în scurtcircuit în câte două componente (rel.1.25 și 1.32) permite o mai bună analiză a comportării unei plăci Hall în funcție de inducția magnetică și sensul acesteia. Pe baza descompunerii în componente a parametrilor de transfer se pot elabora noi scheme echivalente, față de cele cunoscute în literatură, care au avantajul că permit un studiu riguros al generatorului Hall ca element de circuit, a cărui funcționare este dependentă de inducția magnetică ca valoare și sens. În acest scop, unele din schemele echivalente stabilite vor servi la analiza generală a posibilităților de realizare a schemelor unidirecționale având ca element component generatorul Hall (cap.3). În continuare se prezintă aceste scheme.

2.1. Scheme echivalente corespunzătoare matricei impedanță.

2.1.1. Matricea impedanță a generatorului Hall, reprezentând în cazul general un cuadripol neregiproc, se poate descompune într-o sumă de două matrice astfel

$$\|Z\| = \begin{vmatrix} R_{10} & R_a+R_b \\ R_a-R_b & R_{20} \end{vmatrix} = \begin{vmatrix} R_{10} & R_a+R_b \\ R_a+R_b & R_{20} \end{vmatrix} + \begin{vmatrix} 0 & 0 \\ -2R_b & 0 \end{vmatrix} \quad (2.1)$$

În acest fel schema echivalentă a generatorului Hall se obține din conectarea în serie a doi cuadripoli. Prima matrice din relația (2.1) corespunde unui cuadripol reciproc în T. Celei de a doua matrice îi corespunde o sursă de tensiune comandată de curent având tensiunea electromotoare $2R_b I_1$. Se obține astfel schema din fig.2.1.

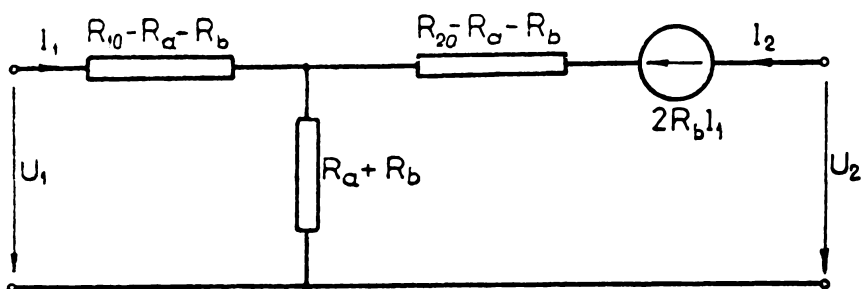


Fig.2.1. Schemă echivalentă corespunzătoare matricii impedanță

2.1.2. Matricea impedanță descompusă conform relației (2.2) determină schema echivalentă din fig.2.2.

$$|Z| = \begin{vmatrix} R_{10} & R_a - R_b \\ R_a - R_b & R_{20} \end{vmatrix} + \begin{vmatrix} 0 & 2R_b \\ 0 & 0 \end{vmatrix} \quad (2.2)$$

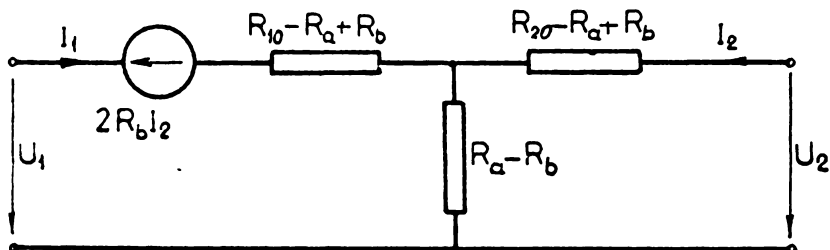


Fig. 2.2 Schemă echivalentă corespunzătoare matricii impedanță

2.1.3. O altă schemă echivalentă se obține dacă matricea impedanță se scrie în forma

$$|Z| = \begin{vmatrix} R_{10} & 0 \\ 0 & R_{20} \end{vmatrix} + \begin{vmatrix} 0 & R_a R_b \\ R_a - R_b & 0 \end{vmatrix} \quad (2.3)$$

Prima matrice din rel.(2.3) corespunde unui cuadripol reciproc în T cu ramură transversală de impedanță nulă, iar cea de a doua matrice corespunde unui cuadripol la care tensiunea de intrare U_1^i și tensiunea de ieșire U_2^i se obține astfel

$$\begin{bmatrix} U_1' \\ U_2' \end{bmatrix} = \begin{bmatrix} 0 & R_a + R_b \\ R_a - R_b & 0 \end{bmatrix} \cdot \begin{bmatrix} I_1 \\ I_2 \end{bmatrix} = \begin{bmatrix} (R_a + R_b) I_2 & 0 \\ (R_a - R_b) I_1 & 0 \end{bmatrix} \quad (2.4)$$

Schema echivalentă care satisface relațiile (2.3) și (2.4) este redată în fig.2.3.

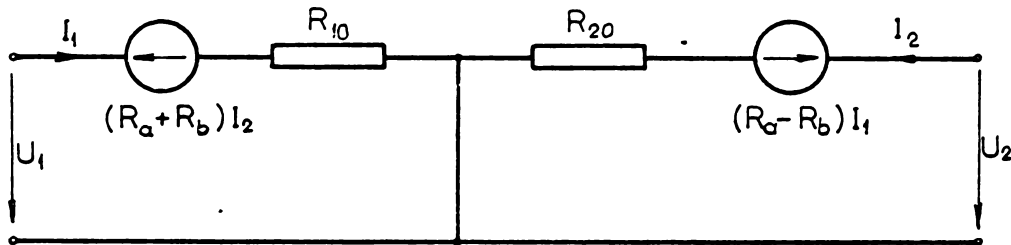


Fig.2.3. Schemă echivalentă corespunzătoare matricei impedanță.

2.1.4. O schemă echivalentă care prezintă interes prin faptul că componenta R_b , care determină nerez reciprocitatea generatorului Hall, apare numai în valorile tensiunilor electromotoare ale surselor comandate, este obținută pe baza relației matriciale

$$|Z| = \begin{bmatrix} R_{10} & R_a \\ R_a & R_{20} \end{bmatrix} + \begin{bmatrix} 0 & R_b \\ -R_b & 0 \end{bmatrix} \quad (2.5)$$

Relația (2.5) exprimă faptul că schema echivalentă se obține din conectarea unui cuadripol reciproc în T în serie cu un cuadripol a cărui tensiune de intrare este $R_b I_2$ și avînd tensiunea la ieșire $-R_b I_1$. Schema echivalentă corespunzătoare este reprezentată în fig.2.4.

2.1.5. Dacă matricea impedanță se descompune conform relației (2.6), se obține schema echivalentă reprezentată în fig.2.5

$$|Z| = \begin{bmatrix} R_{10} & R_b \\ R_b & R_{20} \end{bmatrix} + \begin{bmatrix} 0 & R_a \\ R_a - 2R_b & 0 \end{bmatrix} \quad (2.6)$$

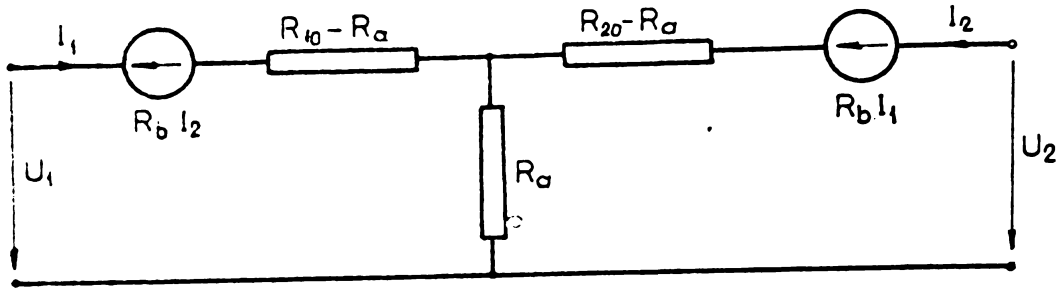


Fig.2.4. Schemă echivalentă corespunzătoare matricii impedanță

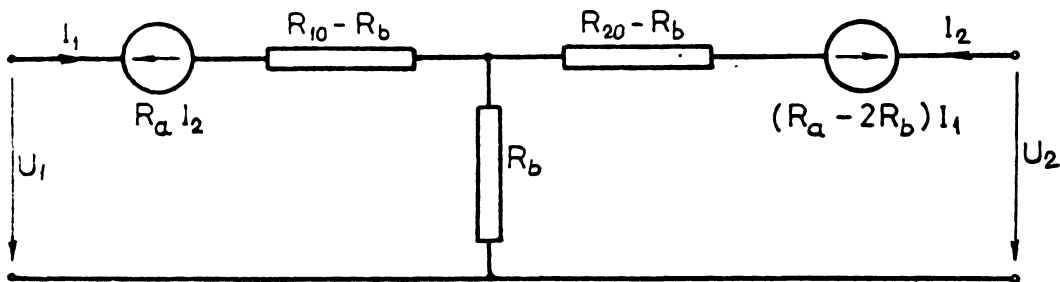


Fig.2.5. Schemă echivalentă corespunzătoare matricii impedanță

2.2. Scheme echivalente corespunzătoare matricii admitanță.

2.2.1. Matricea admitanță a generatorului Hall se poate descompune într-o sumă de două matrice în felul următor

$$\|Y\| = \begin{vmatrix} Y_{1k} & Y_a - Y_b \\ Y_a + Y_b & Y_{2k} \end{vmatrix} = \begin{vmatrix} Y_{1k} & Y_a - Y_b \\ Y_a - Y_b & Y_{2k} \end{vmatrix} + \begin{vmatrix} 0 & 0 \\ 2Y_b & 0 \end{vmatrix} \quad (2.7)$$

Relația matricială (2.7) arată că schema echivalentă se obține din conectarea în paralel a doi cuadripoli. Prima matrice corespunde unui cuadripol reciproc în Π , iar a doua matrice corespunde unei surse de curent comandată de tensiune conectată la bornele de ieșire și avînd curentul de scurtcircuit $I_k = Y_4 U_1$. Schemele echivalente corespunzătoare relației (2.7) sînt reprezentate în fig.2.6 în care:

$$\begin{aligned} Y_1 &= Y_{1k} + Y_a - Y_b & Y_3 &= Y_{2k} + Y_a - Y_b \\ Y_2 &= -Y_a + Y_b & Y_4 &= 2Y_b \end{aligned} \quad ; \quad (2.8)$$

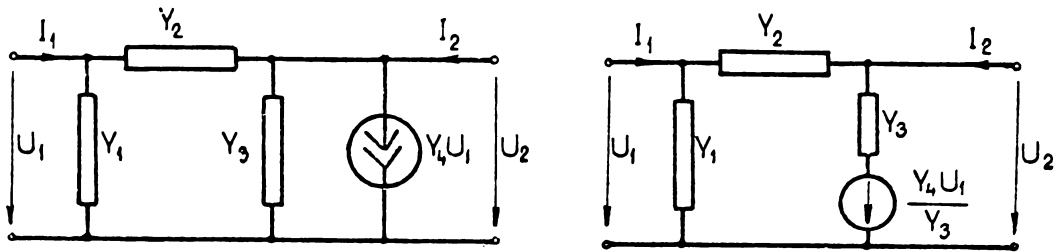


Fig.2.6 Schemă echivalentă corespunzătoare matricei admitanță.

Admitanțele cuprinse în schemele echivalente din fig.2.6 pot fi exprimate și în funcție de parametrii introduși prin alimentarea pe la ambele perechi de borne astfel:

$$\begin{aligned}
 Y_1 &= (Y_1)_1 & ; & \quad Y_2 = \frac{(Y_1)_{-1} - (Y_1)_1}{2} \\
 Y_3 &= \frac{(Y_2)_1 + (Y_2)_{-1}}{2} + \frac{(Y_1)_1 - (Y_1)_{-1}}{2} & (2.9) \\
 Y_4 &= \frac{(Y_2)_1 - (Y_2)_{-1}}{2} - \frac{(Y_1)_1 - (Y_1)_{-1}}{2}
 \end{aligned}$$

2.2.2. Pentru matricea admitanță descompusă ca în relația (2.10) se stabilește schema echivalentă din fig.2.7.

$$\mathbf{Y} = \begin{vmatrix} Y_{1k} & Y_a + Y_b \\ Y_a + Y_b & Y_{2k} \end{vmatrix} + \begin{vmatrix} 0 & -2Y_b \\ 0 & 0 \end{vmatrix} \quad (2.10)$$

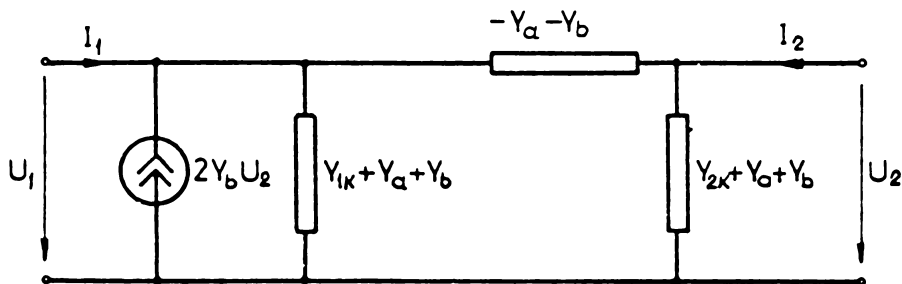


Fig.2.7 Schemă echivalentă corespunzătoare matricei admitanță.

2.2.3. O altă schemă echivalentă a generatorului Hall se poate stabili dacă matricea admitanță se descompune în felul următor

$$\mathbf{Y} = \begin{vmatrix} Y_{1k} & 0 \\ 0 & Y_{2k} \end{vmatrix} + \begin{vmatrix} 0 & Y_a - Y_b \\ Y_a + Y_b & 0 \end{vmatrix} \quad (2.11)$$

Prima matrice din relația(2.11) corespunde unui cuadripol reciproc în \mathcal{T} , cu ramura longitudinală avînd admitanța nulă, iar a doua matrice corespunde unui cuadripol la care curentul de intrare I_1^i și curentul de ieșire I_2^i se obțin din relația matricială

$$\begin{vmatrix} I_1^i \\ I_2^i \end{vmatrix} = \begin{vmatrix} 0 & Y_a - Y_b \\ Y_a + Y_b & 0 \end{vmatrix} \cdot \begin{vmatrix} U_1 \\ U_2 \end{vmatrix} = \begin{vmatrix} (Y_a - Y_b)U_2 & 0 \\ (Y_a + Y_b)U_1 & 0 \end{vmatrix} \quad (2.12)$$

Rezultă astfel schema echivalentă reprezentată în fig.2.8.

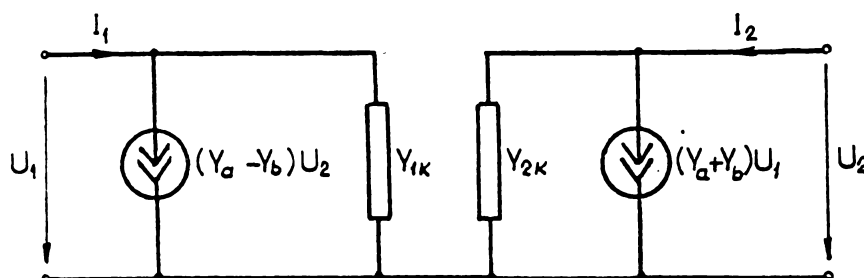


Fig.2.8 Schemă echivalentă corespunzătoare matricei admitanță

2.2.4. O schemă echivalentă în care componenta Y_b , care determină nerez reciprocitatea generatorului Hall, intervine numai în expresiile curenților de scurtcircuit ale surselor de curent comandate (fig.2.9) se obține descompunînd matricea admitanță în felul următor

$$\mathbf{Y} = \begin{vmatrix} Y_{1k} & Y_a \\ Y_a & Y_{2k} \end{vmatrix} + \begin{vmatrix} 0 & -Y_b \\ Y_b & 0 \end{vmatrix} \quad (2.13)$$

2.2.5. Pe baza relației matriciale (2.14) rezultă schema echivalentă reprezentată în fig.(2.10).

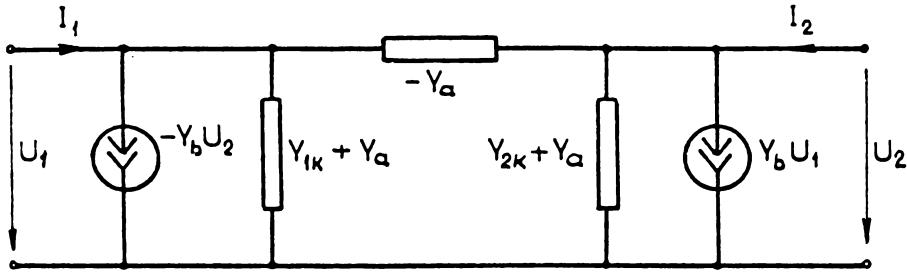


Fig.2.9 Schemă echivalentă corespunzătoare matricii admitanță

$$\|Y\| = \begin{vmatrix} Y_{1k} & Y_b \\ Y_b & Y_{2k} \end{vmatrix} + \begin{vmatrix} 0 & Y_a - 2Y_b \\ Y_a & 0 \end{vmatrix} \quad (2.14)$$

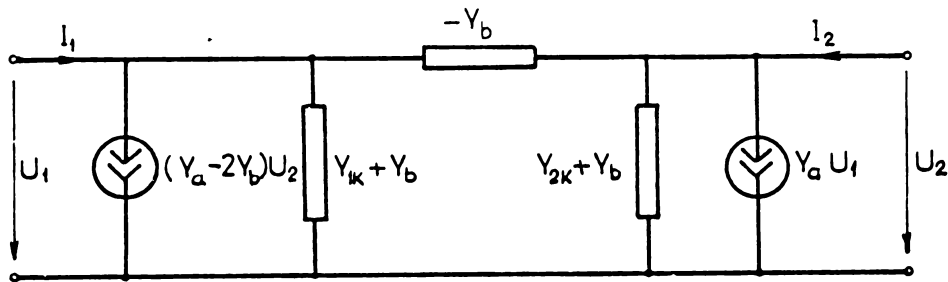


Fig.2.10 Schemă echivalentă corespunzătoare matricii admitanță

2.2.6. Folosind matricea admitanță a generatorului Hall se mai poate stabili o schemă echivalentă în punte avantajoasă în unele aplicații. În acest scop se face următoarea descompunere

$$\|Y\| = \begin{vmatrix} \frac{Y_1 + Y_2}{2} & \frac{Y_2 - Y_1}{2} \\ \frac{Y_2 - Y_1}{2} & \frac{Y_1 + Y_2}{2} \end{vmatrix} + \begin{vmatrix} 0 & 0 \\ 0 & Y_3 \end{vmatrix} + \begin{vmatrix} 0 & 0 \\ 0 & Y_4 \end{vmatrix} + \begin{vmatrix} 0 & 0 \\ 0 & 0 \end{vmatrix} \quad (2.15)$$

în care s-au făcut notațiile

$$\begin{aligned} Y_1 &= Y_{1k} - Y_a + Y_b & Y_3 &= Y_{2k} - Y_{1k} \\ Y_2 &= Y_{1k} + Y_a - Y_b & Y_4 &= 2Y_b \end{aligned} \quad ; \quad (2.16)$$

Relația matricială (2.15) exprimă faptul că generatorul Hall poate fi reprezentat printr-o schemă echivalentă realizată prin conectarea în paralel a trei cuadripoli și anume :un quadri-

pol reciproc și simetric în punte, o admitanță Y_3 și o sursă de curent comandată de tensiune avînd curentul de scurtcircuit $Y_4 U_1$ conectate la bornele de ieșire (fig.2.11)

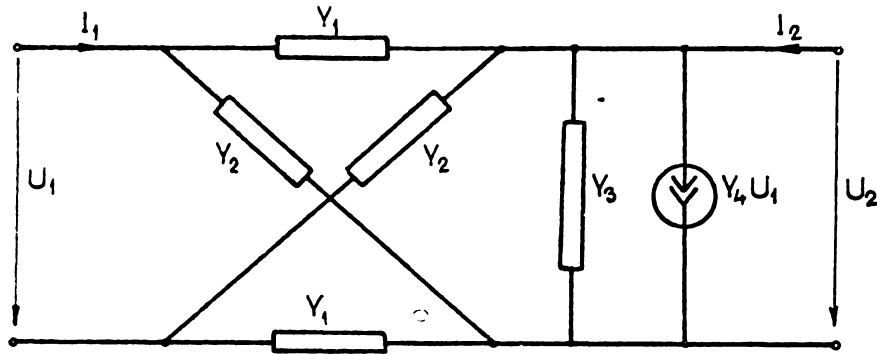


Fig.2.11 Schema echivalentă corespunzătoare matricei admitanță
 Expresiile admitanțelor din schema reprezentată în fig. 2.11 funcție de parametrii introduși prin alimentarea la ambele capete sînt următoarele

$$\begin{aligned}
 Y_1 &= (Y_1)_{-1} & ; & & Y_2 &= (Y_1)_1 \\
 Y_3 &= \frac{(Y_2)_1 + (Y_2)_{-1}}{2} - \frac{(Y_1)_1 + (Y_1)_{-1}}{2} & (2.17) \\
 Y_4 &= \frac{(Y_1)_{-1} + (Y_2)_1}{2} - \frac{(Y_1)_1 + (Y_2)_{-1}}{2}
 \end{aligned}$$

2.2.7. O schemă echivalentă în punte la care sursa de curent comandată să fie la bornele de intrare (fig.2.12) se obține prin descompunerea matricei admitanță în felul următor

$$\|Y\| = \begin{vmatrix} \frac{Y_1+Y_2}{2} & \frac{Y_2-Y_1}{2} \\ \frac{Y_2-Y_1}{2} & \frac{Y_1+Y_2}{2} \end{vmatrix} + \begin{vmatrix} Y_3 & 0 \\ 0 & 0 \end{vmatrix} + \begin{vmatrix} 0 & Y_4 \\ 0 & 0 \end{vmatrix} \quad (2.18)$$

Admitanțele cuprinse în rel.(2.18) au expresiile

$$\begin{aligned}
 Y_1 &= Y_{2k} - Y_a - Y_b & ; & & Y_3 &= Y_{1k} - Y_{2k} \\
 Y_2 &= Y_{2k} + Y_a + Y_b & & & Y_4 &= -2Y_b
 \end{aligned} \quad (2.19)$$

- sau

$$Y_1 = (Y_2)_{-1} \quad ; \quad Y_2 = (Y_2)_1$$

$$Y_3 = \frac{(Y_1)_1 + (Y_1)_{-1}}{2} - \frac{(Y_2)_1 + (Y_2)_{-1}}{2} \quad (2.20)$$

$$Y_4 = \frac{(Y_1)_1 + (Y_2)_1}{2} - \frac{(Y_1)_{-1} + (Y_2)_{-1}}{2}$$

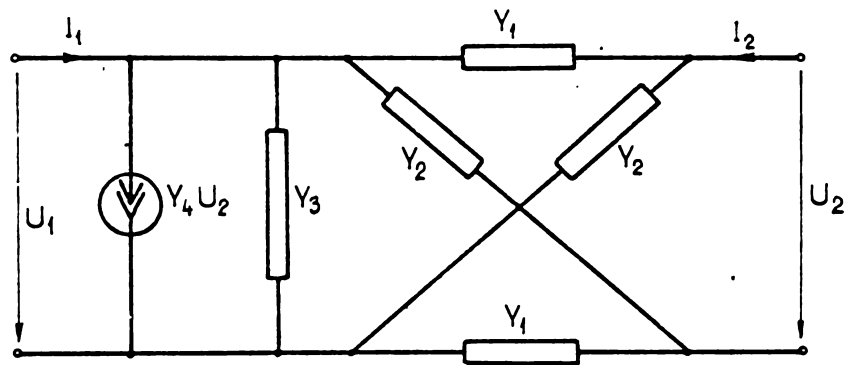


Fig.2.12 Schemă echivalentă corespunzătoare matricei admitanță

2.2.8. O altă schemă echivalentă în punte rezultă dacă matricea admitanță se scrie în forma

$$\|Y\| = \begin{vmatrix} Y_1 & 0 \\ 0 & Y_1 \end{vmatrix} + \begin{vmatrix} 0 & Y_3 \\ Y_4 & 0 \end{vmatrix} + \begin{vmatrix} Y_5 & 0 \\ 0 & Y_6 \end{vmatrix} \quad (2.21)$$

în care s-au făcut notațiile

$$Y_1 = Y_{1k} + Y_{2k} = \frac{1}{2} \left[(Y_1)_1 + (Y_1)_{-1} + (Y_2)_1 + (Y_2)_{-1} \right] \quad (2.22)$$

$$Y_3 = Y_a - Y_b = \frac{(Y_1)_1 - (Y_1)_{-1}}{2}$$

$$Y_4 = Y_a + Y_b = \frac{(Y_2)_1 - (Y_2)_{-1}}{2} \quad ; \quad Y_6 = -Y_{1k} = \frac{-(Y_1)_1 - (Y_1)_{-1}}{2}$$

$$Y_5 = -Y_{2k} = -\frac{(Y_2)_1 + (Y_2)_{-1}}{2}$$

Prima matrice din rel.(2.21) corespunde unui cuadripel reciproc și simetric în punte. Cea de a doua și a treia matrice corespund unor cuadripoli, în paralel cu cuadripolul reciproc în punte (fig.2.13), pentru care curenții de intrare I_1' și I_1'' și curenții de ieșire I_2' și I_2'' rezultă din ecuațiile matriciale

$$\begin{pmatrix} I_1' \\ I_2' \end{pmatrix} = \begin{pmatrix} 0 & Y_3 \\ Y_4 & 0 \end{pmatrix} \cdot \begin{pmatrix} U_1 \\ U_2 \end{pmatrix} = \begin{pmatrix} Y_3 U_2 & 0 \\ Y_4 U_1 & 0 \end{pmatrix} \quad (2.23)$$

$$\begin{pmatrix} I_1'' \\ I_2'' \end{pmatrix} = \begin{pmatrix} Y_5 & 0 \\ 0 & Y_6 \end{pmatrix} \cdot \begin{pmatrix} U_1 \\ U_2 \end{pmatrix} = \begin{pmatrix} Y_5 U_1 & 0 \\ Y_6 U_2 & 0 \end{pmatrix} \quad (2.24)$$

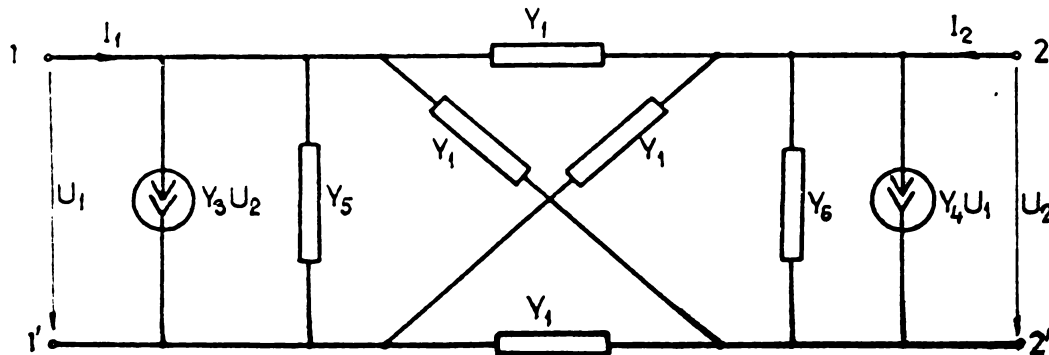


Fig.2.13 Schemă echivalentă corespunzătoare matricei admitanță

Schema din fig.(2.13) prezintă interes prin faptul că cuadripolul reciproc în punte nu are transfer de la bornele de intrare la bornele de ieșire, iar componenta Y_b , care determină caracterul neregreciproc al generatorului Hall, intervine numai în curenții de scurtcircuit ai surselor de curent.

Descompunerea matricei admitanță pe baza rel.(2.21) permite și stabilirea schemei echivalente reprezentată în fig.2.14.

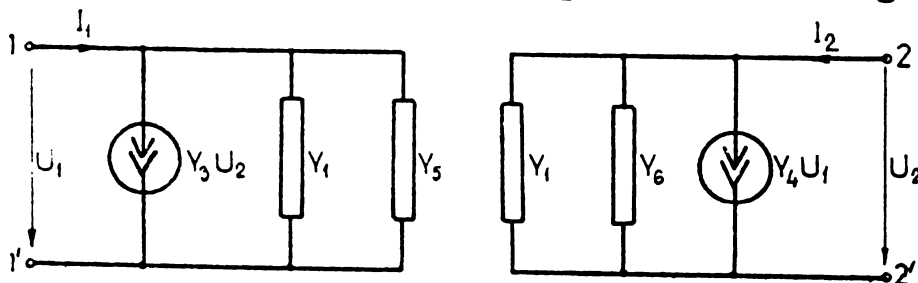


Fig.2.14 Schemă echivalentă corespunzătoare matricei admitanță.

CAPITOLUL 3

STUDIUL SCHEMELOR UNIDIRECTIONALE CU GENERATOR HALL PE BAZA TEORIEI CUADRIPOULUI GENERAL.

3.1. Unele considerații generale.

α . Circuitele cuadripolare la care transferul de energie are loc numai într-un singur sens, respectiv numai de la o pereche de borne spre cealaltă și nu invers se numesc circuite unidirecționale. O astfel de schemă se numește în literatură și „izolator”. Schemele unidirecționale prezintă un interes deosebit mai ales în telecomunicații. Condiția necesară pentru ca o schemă să fie unidirecțională este ca una dintre impedanțele de transfer în gol (sau admitanța de transfer în scurtcircuit) să fie nulă. Dacă, spre exemplu, $Z_{12} = 0$ transferul de energie are loc de la poarta 1-1' la poarta 2-2', iar dacă $Z_{21} = 0$ transferul de energie are loc de la poarta 2-2' la poarta 1-1' a schemei. Simbolic, comportarea unei scheme unidirecționale, în cele două situații, se poate exprima sub forma

$$\begin{array}{l} 1^* \rightarrow 2 \\ 1^* \not\rightarrow 2 \text{ (pentru } Z_{12}=0) \end{array} \quad \text{și} \quad \begin{array}{l} 1 \leftarrow 2^* \\ 1 \not\leftarrow 2^* \text{ (pentru } Z_{21}=0) \end{array}$$

asteriscul indicând circuitul alimentat.

O caracteristică a schemelor unidirecționale o constituie și faptul că impedanța de intrare nu depinde de mărimile de la ieșire. Este ușor de arătat că impedanțele în gol (Z_{10}) și în scurtcircuit (Z_{1k}) față de bornele de alimentare în sensul direct sînt egale între ele, deci $Z_{10} = Z_{1k}$. În adevăr, referindu-ne de exemplu la expresia impedanței de scurtcircuit a unui cuadripol, în cadrul teoriei cuadripolului diport

$$Z_{1k} = Z_{10} + \frac{Z_{12} \cdot Z_{21}}{Z_{20}}$$

cunoscută din literatura de specialitate [138], rezultă în mod simplu că dacă $Z_{12} = 0$, se obține $Z_{1k} = Z_{10}$. Cunoașterea acestui rezultat este importantă atât pentru verificarea diferitelor expresii stabilite, cât și la încercările experimentale efectuate asupra schemelor unidirecționale.

β. Schemele unidirecționale pasive au în componența lor giratoare. După tipul giratorului, se cunosc, de exemplu, scheme cu girator pe bază de efect Faraday [119, 94] și scheme cu girator pe bază de efect Hall. [104, 57, 94, 154, 137, 142, 51]. Primele și-au găsit deja aplicații tehnice interesante în domeniul microundelor. Schemele unidirecționale cu giratoare Hall sînt de dată mai recentă atât ca studiu cât și ca aplicații. Ele prezintă avantajul de a avea caracter rezistiv într-un domeniu larg de frecvență, fiind potrivite pentru o bandă largă de transmisie. Dezavantajul principal îl constituie randamentul scăzut al sistemului. Un progres important, în legătură cu acest aspect, s-a realizat prin aplicarea soluției cu electrozi de comandă și Hall multipli, care conduce la un randament mărit [62, 63, 154, 4, 5]. O schemă cu proprietăți interesante rezultă prin combinația dintre un izolator Hall și un amplificator cu diode tunel. [89, 154]. O realizare importantă în acest domeniu este și circulatorul Hall, constituit obișnuit dintr-o placă Hall simetrică cu trei porți [155, 57, 70], la care, pentru o anumită inducție magnetică transmiterea semnalului se face într-un anumit sens.

γ. Posibilitățile cunoscute de a obține scheme unidirecționale, avînd ca element component generatorul Hall, sînt în principal următoarele:

- conectarea unor rezistențe (r' , r'') în paralel cu generatorul Hall [10, 94, 57, 142], așa cum este arătat în fig.3.1a

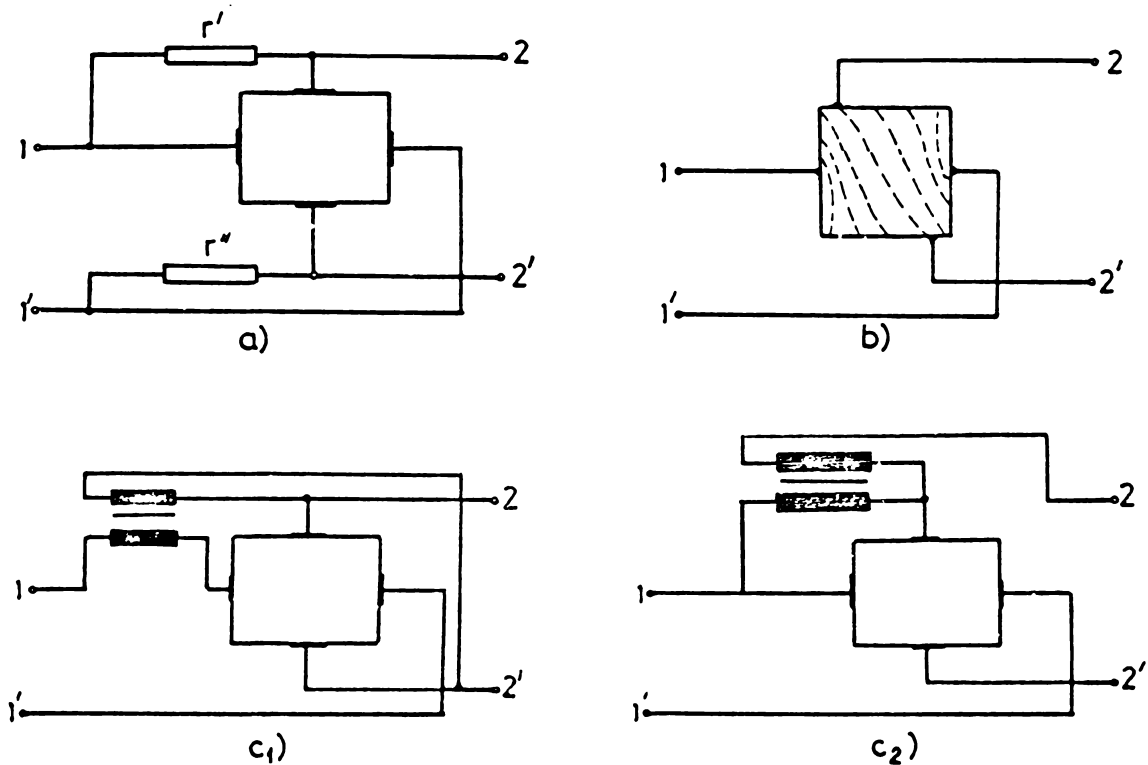


Fig.3.1 Scheme unidirectionale avînd ca element component generatorul Hall: a - cu rezistențe în paralel ; b - cu electrozi deplasați ; c₁-c₂- prin conectarea în serie paralel și paralel serie a generatorului Hall și transformatorului.

- așezarea nesimetrică a electrozilor plăcii Hall, fără elemente de circuit suplimentare [155,57,142], cum este indicat de exemplu în fig.3.1b. Se poate considera și o placă Hall în formă de paralelogram [155,63] .

- conectarea în serie-paralel sau paralel-serie a generatorului Hall cu un transformator [63,142,154] , ca și în fig.3.1 c₁,c₂.

Dacă se introduce și transformator de decuplare a circuitelor de comandă și Hall, se pot concepe și alte scheme [63,142,154]

∫. In acest capitol ne vom referi, în mod deosebit, la calculul schemei unidirectionale cu rezistențe conectate în paralel (fig.3.1a), care este printre cele mai des citate în literatura de specialitate. Unele probleme de câmp în legătură cu schema unidirecțională cu electrozi deplasați (fig.3.1b), se vor

prezenta în capitolul 4 al lucrării.

Referirile din literatura de specialitate privind calculul schemei unidirecționale cu elemente suplimentare (fig.3.1a) sînt puține, incomplete și se referă la cazuri particulare. Astfel, rezultatele cunoscute privind condiția de unidirecționalitate se referă numai pentru : plăci Hall simetrice, rezistențe suplimentare egale ($r' = r''$) și absența tensiunii de zero la placa Hall, ceea ce în mod evident reprezintă o restrîngere a condițiilor reale ce pot interveni în practică. Ținînd seama de această situație, în teza de doctorat mi-am propus să abordez calculul schemei unidirecționale cu rezistențe suplimentare (fig.3.1a) în condițiile cele mai generale.

Posibilitatea rezolvării acestei probleme se bazează în principal pe aplicarea teoriei cuadripolului general, singura cale rațională de luat în considerare. Schema din fig.3.1a corespunde de fapt conectării în paralel a giratorului Hall și a cuadripolului constituit din cele două rezistențe longitudinale r' și r'' . În condițiile mai generale de studiu, menționate anterior, pentru calculul parametrilor schemei în ansamblu, nu se poate însă aplica teoria cuadripolului diport, pentru că în schemă cuadripolii componenți nu mai sînt diporți. Aplicarea acestei teorii, în acest caz mai general, ar conduce la rezultate eronate. Datorită acestui fapt apare în mod evident, necesitatea aplicării teoriei cuadripolului general [138, 133]. Aplicarea teoriei cuadripolului diport la calculul schemei ar fi posibilă numai dacă s-ar introduce transformatoare de decuplare galvanică a celor doi cuadripoli. Atît aplicarea teoriei cuadripolului general cît și rezultatele obținute pentru cazul studiat sînt originale, ne fiind întîlnite în literatura de specialitate. Rezultatele cunoscute se pot obține prin particularizarea expresiilor generale stabilite.

3.2. Ecuatiile generatorului Hall și schemele echivalente în cadrul teoriei cuadripolului general.

Cunoașterea comportării generatorului Hall considerat ca un cuadripol general (fig.3.2) presupune determinarea parametrilor necesari scrierii ecuațiilor cuadripolare și stabilirii schemelor echivalente corespunzătoare.

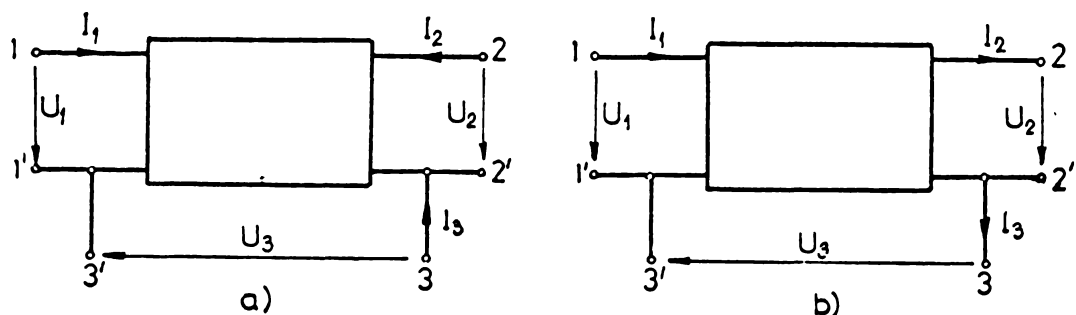


Fig.3.2 Cuadripoli generali

Din motive de simetrie, pentru cele trei perechi de borne 1-1', 2-2', 3-3' ale cuadripolului general se adoptă regula de asociere a sensurilor de referință de la receptoare (fig.3.2a). Uneori însă, pentru bornele de intrare 1-1' se poate considera regula de asociere a sensurilor de referință de la receptoare, iar pentru bornele 2-2' și 3-3' regula de asociere a sensurilor de referință de la generatoare (fig.3.2b)

α. Ecuatiile cuadripolare ale generatorului Hall, considerat un cuadripol general, pot fi scrise în următoarele forme care vor fi folosite în acest capitol:

$$\begin{pmatrix} U_1 \\ U_2 \\ U_3 \end{pmatrix} = \begin{pmatrix} Z_{11} & Z_{12} & Z_{13} \\ Z_{21} & Z_{22} & Z_{23} \\ Z_{31} & Z_{32} & Z_{33} \end{pmatrix} \cdot \begin{pmatrix} I_1 \\ I_2 \\ I_3 \end{pmatrix} \quad (3.1)$$

$$\begin{pmatrix} I_1 \\ I_2 \\ I_3 \end{pmatrix} = \begin{pmatrix} Y_{11} & Y_{12} & Y_{13} \\ Y_{21} & Y_{22} & Y_{23} \\ Y_{31} & Y_{32} & Y_{33} \end{pmatrix} \cdot \begin{pmatrix} U_1 \\ U_2 \\ U_3 \end{pmatrix} \quad (3.2)$$

Elementele matricii $\|Z\|$ din ecuațiile (3.1) se determină cu ușurință experimental din regimurile particulare de mers în gol și au următoarele semnificații, având în vedere caracterul rezistiv al generatorului Hall:

$$\begin{aligned} Z_{11} = R_{10} &= \left(\frac{U_1}{I_1} \right)_{I_2=I_3=0} & ; & \quad Z_{31} = R_{31} = \left(\frac{U_3}{I_1} \right)_{I_2=I_3=0} \\ Z_{21} = R_{21} &= \left(\frac{U_2}{I_1} \right)_{I_2=I_3=0} \\ Z_{12} = R_{12} &= \left(\frac{U_1}{I_2} \right)_{I_1=I_3=0} & ; & \quad Z_{32} = R_{32} = \left(\frac{U_3}{I_2} \right)_{I_1=I_3=0} \\ Z_{22} = R_{20} &= \left(\frac{U_2}{I_2} \right)_{I_1=I_3=0} & & \quad (3.3) \\ Z_{13} = R_{13} &= \left(\frac{U_1}{I_3} \right)_{I_1=I_2=0} \\ Z_{23} = R_{23} &= \left(\frac{U_2}{I_3} \right)_{I_1=I_2=0} & ; & \quad Z_{33} = R_{30} = \left(\frac{U_3}{I_3} \right)_{I_1=I_2=0} \end{aligned}$$

Presupunând parametrii Z ai cuadripolului general cunoscuți, parametrii Y pot fi calculați rezolvând sistemul de ecuații în raport cu curenții I_1, I_2, I_3 . Pentru matricea admitanță $\|Y\|$ a generatorului Hall, în cadrul teoriei cuadripolului general, se obține astfel expresia

$$\begin{aligned} \|Y\| &= \begin{vmatrix} Y_{11} & Y_{12} & Y_{13} \\ Y_{21} & Y_{22} & Y_{23} \\ Y_{31} & Y_{32} & Y_{33} \end{vmatrix} = \\ &= \frac{1}{|Z|} \begin{vmatrix} \begin{vmatrix} R_{20} & R_{23} \\ R_{32} & R_{30} \end{vmatrix} & - \begin{vmatrix} R_{12} & R_{13} \\ R_{32} & R_{30} \end{vmatrix} & \begin{vmatrix} R_{12} & R_{13} \\ R_{20} & R_{23} \end{vmatrix} \\ - \begin{vmatrix} R_{21} & R_{23} \\ R_{31} & R_{30} \end{vmatrix} & \begin{vmatrix} R_{10} & R_{13} \\ R_{31} & R_{30} \end{vmatrix} & - \begin{vmatrix} R_{10} & R_{13} \\ R_{21} & R_{23} \end{vmatrix} \\ \begin{vmatrix} R_{21} & R_{20} \\ R_{31} & R_{32} \end{vmatrix} & - \begin{vmatrix} R_{10} & R_{12} \\ R_{31} & R_{32} \end{vmatrix} & \begin{vmatrix} R_{10} & R_{12} \\ R_{21} & R_{20} \end{vmatrix} \end{vmatrix} \quad (3.4) \end{aligned}$$

În scopul elaborării unei scheme echivalente valabilă în cadrul teoriei cuadripolului general, matricea admitanță a generatorului Hall se descompune în felul următor:

$$\begin{aligned} \|Y\| &= \begin{vmatrix} Y_1 & -Y_1 & -Y_1 \\ -Y_1 & Y_1 & Y_1 \\ -Y_1 & Y_1 & Y_1+Y_2 \end{vmatrix} + \begin{vmatrix} Y_3 & 0 & -Y_3 \\ 0 & Y_2 & Y_2 \\ -Y_3 & Y_2 & Y_2+Y_3 \end{vmatrix} + \\ &+ \begin{vmatrix} Y_4 & 0 & 0 \\ 0 & Y_5 & 0 \\ 0 & 0 & 0 \end{vmatrix} + \begin{vmatrix} 0 & Y_6 & 0 \\ Y_7 & 0 & 0 \\ Y_8 & Y_9 & 0 \end{vmatrix} \quad (3.5) \end{aligned}$$

Primele trei matrice din relația matricială (3.5) corespund, în ordinea descompunerii, celor trei cuadripoli reprezentați în fig.3.3. Cea de a patra matrice din relația (3.5) corespunde unor surse de curent comandate de tensiune, conectate corespunzător la cele trei perechi de borne și ai căror curenți

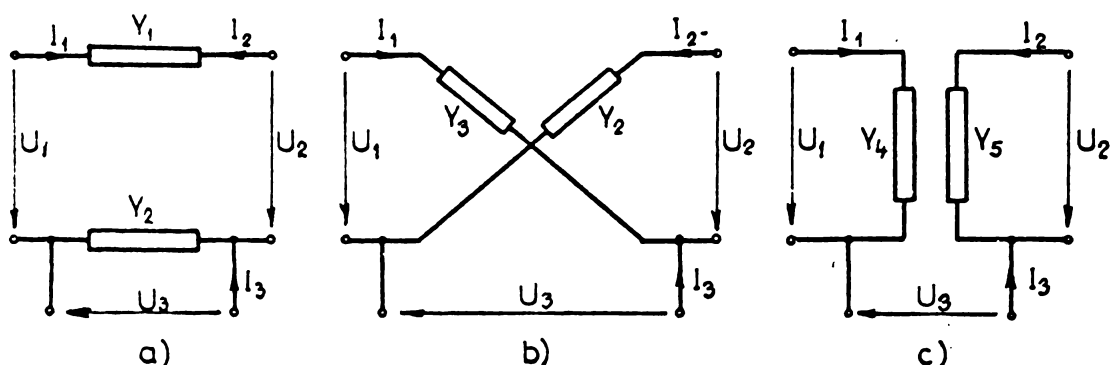


Fig.3.3 Cuadripoli componenți corespunzători relației matriciale (3.5)

de scurtcircuit I_{k1} , I_{k2} și I_{k3} se obțin din următoarea relație matricială

$$\begin{pmatrix} I_{k1} \\ I_{k2} \\ I_{k3} \end{pmatrix} = \begin{pmatrix} 0 & Y_6 & 0 \\ Y_7 & 0 & 0 \\ Y_8 & Y_9 & 0 \end{pmatrix} \cdot \begin{pmatrix} U_1 \\ U_2 \\ U_3 \end{pmatrix} = \begin{pmatrix} Y_6 U_2 \\ Y_7 U_1 \\ Y_8 U_1 + Y_9 U_2 \end{pmatrix} \quad (3.6)$$

Schema echivalentă a generatorului Hall, considerat cuadripol general, pe baza relațiilor (3.5) și (3.6), s-a reprezentat în fig.3.4 în care s-au făcut notațiile

$$\begin{aligned} Y_1 &= \frac{1}{2} (2Y_{23} - Y_{13} - Y_{33}) & Y_6 &= Y_{12} + \frac{1}{2} (2Y_{23} - Y_{13} - Y_{33}) \\ Y_2 &= \frac{1}{2} (Y_{13} + Y_{33}) & Y_7 &= Y_{21} + \frac{1}{2} (2Y_{23} - Y_{13} - Y_{33}) \\ Y_3 &= \frac{1}{2} (Y_{33} - 2Y_{23} - Y_{13}) & Y_8 &= Y_{31} - Y_{13} \\ Y_4 &= Y_{11} + Y_{13} & Y_9 &= Y_{32} - Y_{23} \\ Y_5 &= Y_{22} - Y_{23} \end{aligned} \quad (3.7)$$

Pentru verificarea rezultatului obținut, plecând de la schema echivalentă din fig.3.4 se determină parametrii Y ținând seama de semnificațiile fizice ale acestora. Într-adevăr, cei

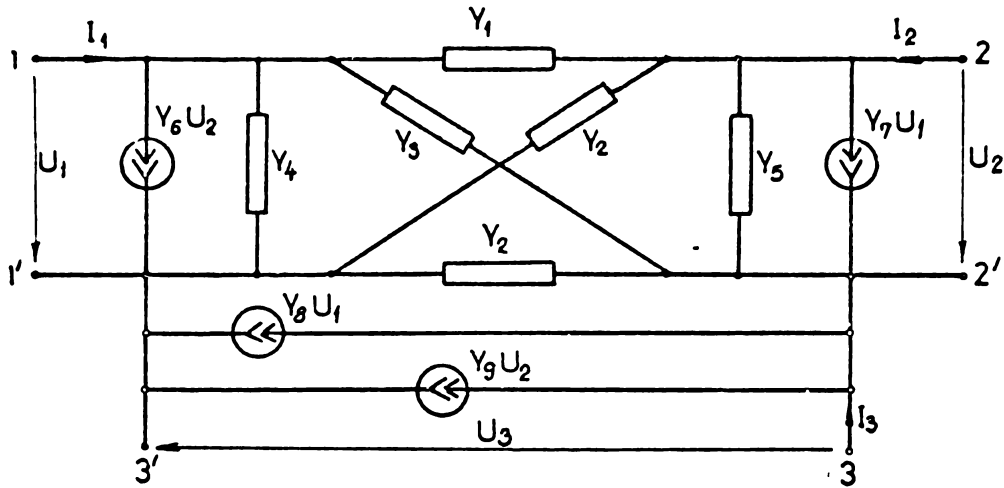


Fig.3.4 Schema echivalentă a generatorului Hall în cadrul teoriei cuadripolului general

nouă parametri Y definiți din regimurile de funcționare în scurtcircuit, reprezentate prin schemele din fig.3.5a,b și c sînt

$$\begin{aligned}
 Y_{11} &= \left(\frac{I_1}{U_1} \right)_{U_2=U_3=0} = Y_1+Y_3+Y_4 & Y_{32} &= \left(\frac{I_3}{U_2} \right)_{U_1=U_3=0} = Y_1+Y_2+Y_9 \\
 Y_{21} &= \left(\frac{I_2}{U_1} \right)_{U_2=U_3=0} = -Y_1+Y_7 & Y_{13} &= \left(\frac{I_1}{U_3} \right)_{U_1=U_2=0} = -(Y_1+Y_3) \quad (3.8) \\
 Y_{31} &= \left(\frac{I_3}{U_1} \right)_{U_2=U_3=0} = -Y_1-Y_3+Y_8 & Y_{23} &= \left(\frac{I_2}{U_3} \right)_{U_1=U_2=0} = Y_1+Y_2 \\
 Y_{12} &= \left(\frac{I_1}{U_2} \right)_{U_1=U_3=0} = -Y_1+Y_6 & Y_{33} &= \left(\frac{I_3}{U_3} \right)_{U_1=U_2=0} = Y_1+2Y_2+Y_3 \\
 Y_{22} &= \left(\frac{I_2}{U_2} \right)_{U_1=U_3=0} = Y_1+Y_2+Y_5
 \end{aligned}$$

expresii care sînt în concordanță cu relațiile (3.7)

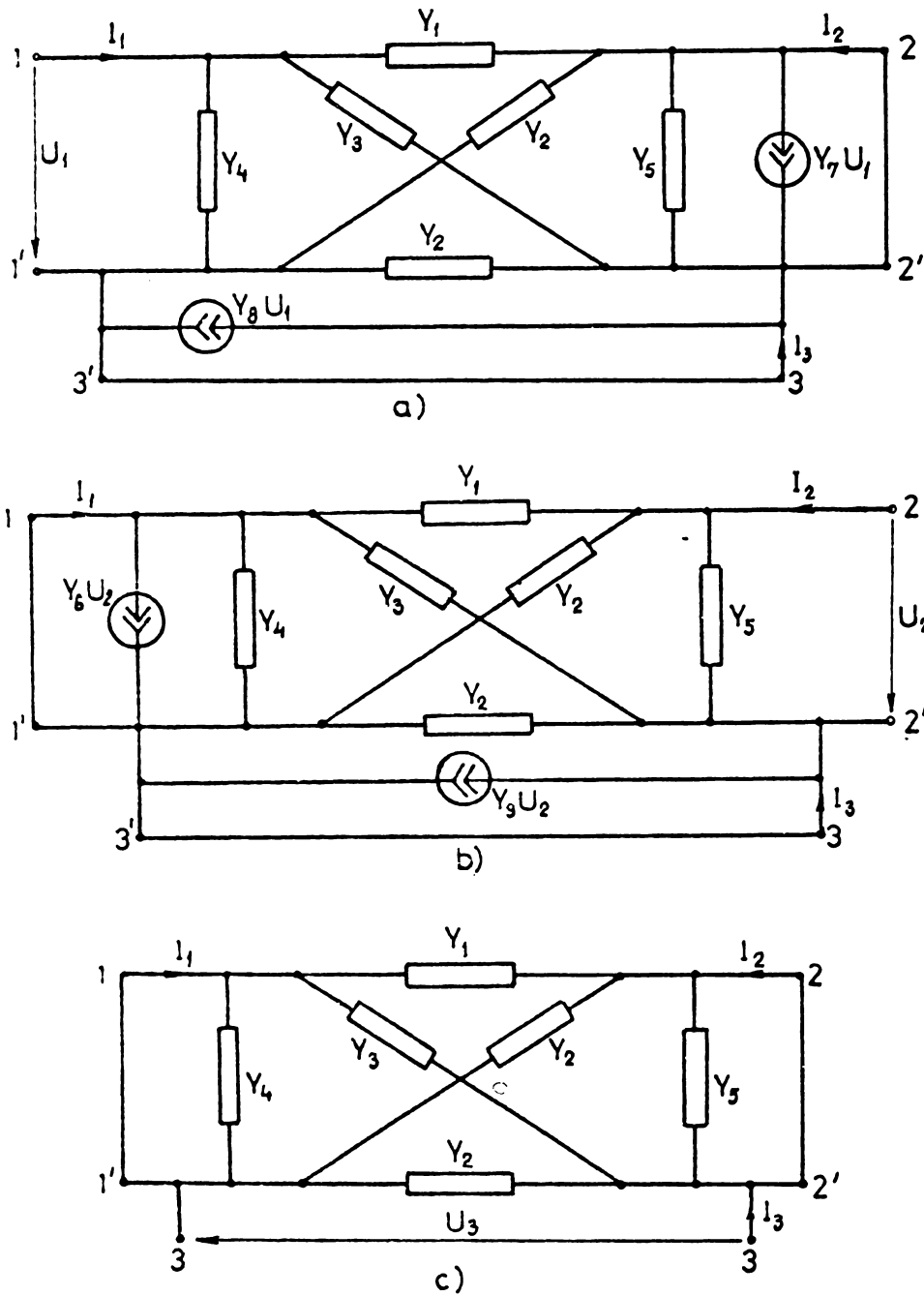


Fig.3.5 Regimurile de funcționare care definesc cei nouă parametri ai cuadripolului general.

Schema echivalentă a generatorului Hall reprezentată în fig.3.4 și caracterizată prin nouă parametri independenți, este schema echivalentă cea mai generală a acestui dispozitiv. Schema este originală, nefiind întâlnită în literatura de specialitate. Pe baza acestei scheme echivalente se poate ține seama de comportarea reală a generatorului Hall în cele mai generale condiții de

interconexiune, cum sînt cele în care el funcționează ca un cuadripol general, deci are loc un schimb de energie cu exteriorul pe la cele trei porți.

β . În unele situații de studiu prezintă interes și anumite scheme echivalente ale generatorului Hall stabilite în cadrul teoriei cuadripolului diport, care necesită cunoașterea a numai patru parametri ai generatorului Hall (punctul 3.5).

În fig.3.6 s-a reprezentat o schemă echivalentă a generatorului Hall, stabilită la capitolul 2. Admitanțele Y_1, Y_2, Y_3 și Y_4 sînt date de relațiile (2.16).

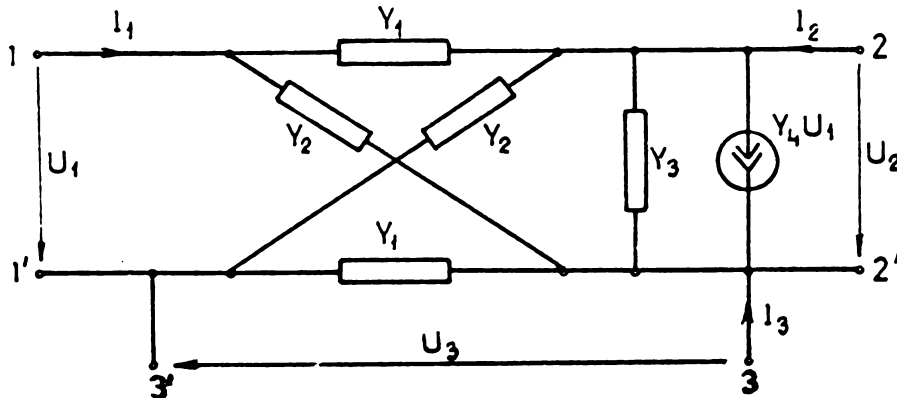


Fig.3.6 Schemă echivalentă a generatorului Hall obținută în cadrul teoriei cuadripolului diport

Elementele matricei $\|Y\|$ în cadrul teoriei cuadripolului general se determină aplicînd schemei din fig.3.6 regimurile de scurtcircuit corespunzătoare. Astfel rezultă

$$\|Y\| = \begin{vmatrix} Y_1 + Y_2 & -Y_1 & -(Y_1 + Y_2) \\ Y_4 - Y_1 & Y_1 + Y_2 + Y_3 & Y_1 + Y_2 \\ -(Y_1 + Y_2) & Y_1 + Y_2 & 2(Y_1 + Y_2) \end{vmatrix} \quad (3.9)$$

Folosind rel.(2.16) și tabelele 1.1 și 1.2 pentru matricea admitanță se mai poate scrie următoarea formă

$$|Y| = \frac{1}{R_{10}R_{20} - R_a^2 + R_b^2} \begin{vmatrix} 2R_{20} & -(R_{20} + R_a + R_b) & -2R_{20} \\ -(R_{20} + R_a - R_b) & R_{10} + R_{20} & 2R_{20} \\ -2R_{20} & 2R_{20} & 4R_{20} \end{vmatrix} \quad (3.10)$$

Effectuând trecerea de la matricea $\|Y\|$ (rel.3.10) la matricea $\|Z\|$ corespunzătoare schemei echivalente din fig.3.6, se obține

$$|Z| = \begin{vmatrix} R_{10} & R_a + R_b & \frac{1}{2}(R_{10} - R_a - R_b) \\ R_a - R_b & R_{20} & -\frac{1}{2}(R_{20} - R_a + R_b) \\ \frac{1}{2}(R_{10} - R_a + R_b) & -\frac{1}{2}(R_{20} - R_a - R_b) & Z_{33} \end{vmatrix} \quad (3.11)$$

$$\text{în care: } Z_{33} = \frac{1}{2}(R_{10} - R_a) + \frac{R_{20}^2 - R_a^2 + R_b^2}{4R_{20}}$$

Dacă pentru schema din fig.3.6 se consideră regula de asociație a sensurilor de referință ca în fig.3.2b, matricea admitanță are următoarea expresie

$$\|Y\| = \begin{vmatrix} Y_1 + Y_2 & -Y_1 & -(Y_1 + Y_2) \\ Y_1 + Y_4 & -(Y_1 + Y_2 + Y_3) & -(Y_1 + Y_2) \\ Y_1 + Y_2 & -(Y_1 + Y_2) & -2(Y_1 + Y_2) \end{vmatrix} = \quad (3.12)$$

$$= \frac{1}{R_{10}R_{20} - R_a^2 + R_b^2} \begin{vmatrix} 2R_{20} & -(R_{20} + R_a + R_b) & -2R_{20} \\ R_{20} + R_a - R_b & -(R_{10} + R_{20}) & -2R_{20} \\ 2R_{20} & -2R_{20} & -4R_{20} \end{vmatrix}$$

În fig.3.7 s-a reprezentat o altă schemă echivalentă a generatorului Hall, stabilită la capitolul 2 și în care admitan-

țele Y_1, Y_3, Y_4, Y_5 și Y_6 sînt date de rel.(2.22).

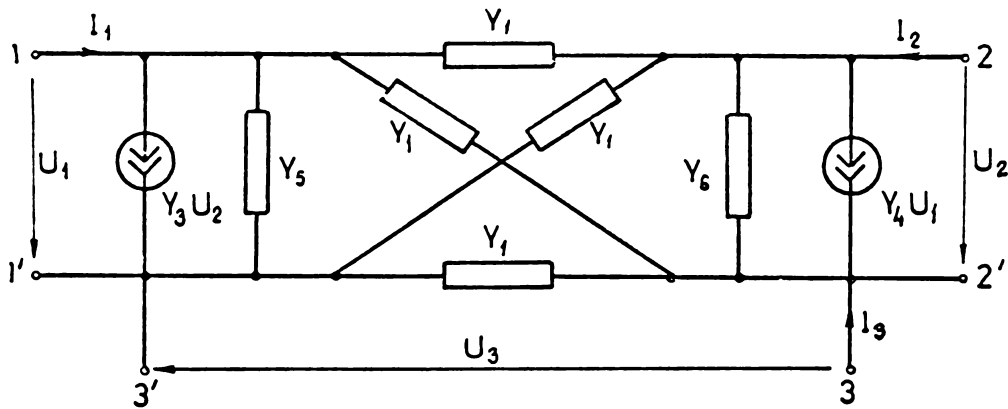


Fig.3.7 Schemă echivalentă a generatorului Hall

Matricea admitanță a generatorului Hall, considerat cuadripol general, pentru schema din fig.3.7 este

$$\|Y\| = \begin{vmatrix} 2Y_1+Y_5 & -Y_1+Y_3 & -2Y_1 \\ -Y_1+Y_4 & 2Y_1+Y_6 & 2Y_1 \\ -2Y_1 & 2Y_1 & 4Y_1 \end{vmatrix} = \quad (3.13)$$

$$= \frac{1}{R_{10}R_{20}-R_a^2+R_b^2} \begin{vmatrix} R_{10}+2R_{20} & -(R_{10}+R_{20}+R_a+R_b) & -2(R_{10}+R_{20}) \\ -R_{10}-R_{20}+R_b-R_a & 2R_{10}+R_{20} & 2(R_{10}+R_{20}) \\ -2(R_{10}+R_{20}) & 2(R_{10}+R_{20}) & 4(R_{10}+R_{20}) \end{vmatrix}$$

Matricea impedanță corespunzătoare aceleiași scheme are expresia

$$\|Z\| = \begin{vmatrix} R_{10} & R_a+R_b & \frac{1}{2}(R_{10}-R_a-R_b) \\ R_a-R_b & R_{20} & -\frac{1}{2}(R_{20}-R_a+R_b) \\ \frac{1}{2}(R_{10}-R_a+R_b) & -\frac{1}{2}(R_{20}-R_a-R_b) & Z_{33} \end{vmatrix} \quad (3.14)$$

în care:

$$Z_{33} = \frac{1}{4}(R_{10}+R_{20}-2R_a) + \frac{1}{4} \cdot \frac{R_{10}R_{20}-R_a^2+R_b^2}{R_{10}+R_{20}}$$

Dacă ne referim la una din schemele echivalente ale generatorului Hall corespunzătoare matricii impedanță stabilită în capitolul 2, de exemplu cea din fig.2.1 și care mai poate fi reprezentată și ca în fig.3.8, pentru matricia impedanță a generatorului Hall considerat cuadripol general se găsește următoarea formă

$$\|Z\| = \begin{vmatrix} R_{10} & R_a+R_b & \frac{1}{2}(R_{10}-R_a-R_b) \\ R_a-R_b & R_{20} & -\frac{1}{2}(R_{20}-R_a-R_b) \\ \frac{1}{2}(R_{10}-R_a-R_b) & -\frac{1}{2}(R_{20}-R_a-R_b) & \frac{1}{2}(R_{10}+R_{20}-2R_a-2R_b) \end{vmatrix} \quad (3.15)$$

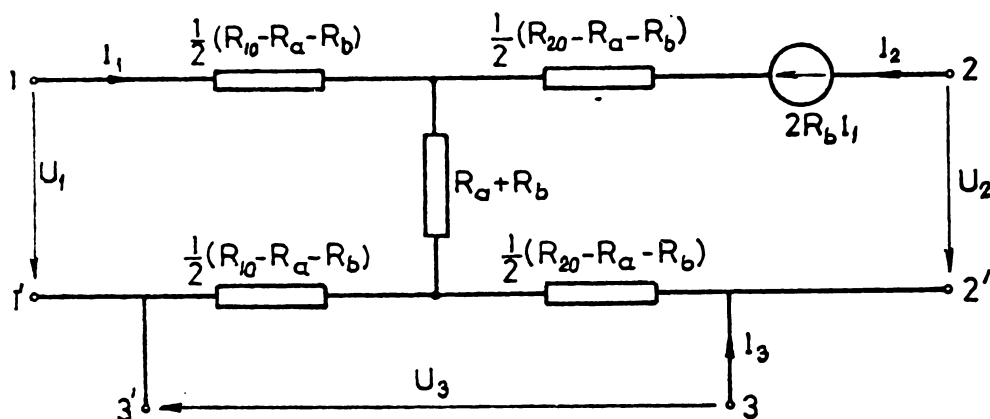


Fig.3.8 Schema echivalentă a generatorului Hall

Se constată faptul că valorile elementelor matricelor admitanță ale schemelor prezentate sînt diferite deoarece valorile parametrilor Z care se referă la perechea de borne 3-3' și anume: Z_{13} , Z_{23} , Z_{31} , Z_{32} , Z_{33} depind de schema echivalentă care s-a considerat pentru generatorul Hall (rel.3.11), (3.14 și 3.15). Acești parametri calculați, pentru o anumită schemă echivalentă a generatorului Hall, nu au semnificația unor impedanțe respectivi admitanțe de transfer ale generatorului Hall față de bornele 3-3', la care se conectează alte elemente de circuit din schema mai

complexă în care funcționează acesta, ceea ce este evident întru cât schemele echivalente respective au fost stabilite în cadrul teoriei cuadripolului diport (cap.2), ci sînt numai elementele matricei impedanță, respectiv admitanță, corespunzătoare unei anumite scheme echivalente a generatorului Hall.

Introducerea în studiu a acestor matrice, ale căror elemente au semnificația precizată mai sus, este justificată în situațiile particulare în care deși generatorul Hall reprezintă un cuadripol general, schema echivalentă care s-a adoptat pentru acesta împreună cu elementele de circuit care se conectează la bornele 3-3' îndeplinesc condițiile de interconectare ale cuadripolilor diporți (punctul 3.5)

3.3. Ecuațiile giratorului Hall dreptunghiular cu electrozii Hall situați simetric față de electrozii de comandă, în cadrul teoriei cuadripolului general.

Deoarece în practică multe plăci Hall au formă dreptunghiulară și cu electrozii Hall așezați simetric față de electrozii de comandă, pentru a se obține tensiune Hall cît mai mare, prezintă interes determinarea ecuațiilor cuadripolare în cadrul teoriei cuadripolului general, întrucît pentru acest caz ecuațiile cuadripolare necesită determinarea a numai patru parametri.

Avînd în vedere că la un cuadripol general curenții prin borne sînt diferiți, ecuațiile cuadripolare pentru placa Hall reprezentată în fig.3.9 sînt

$$\begin{aligned}V_1 &= Z_{11}i_1 + Z_{12}i_2 + Z_{13}i_1, \\V_2 &= Z_{21}i_1 + Z_{22}i_2 + Z_{23}i_1, \\V_{1'} &= Z_{31}i_1 + Z_{32}i_2 + Z_{33}i_1.\end{aligned}\tag{3.16}$$

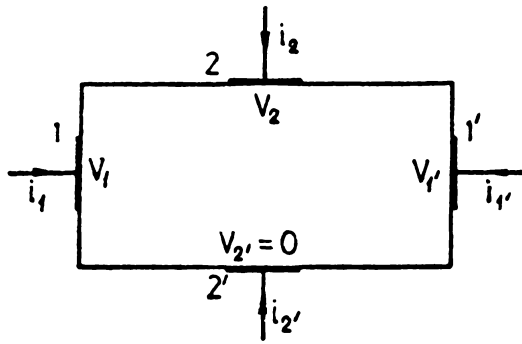


Fig.3.9 Giratorul Hall dreptunghiular

Cei patru parametri folosiți pentru descrierea comportării plăcii Hall din fig.3.9 sînt următorii:

R_{10} - rezistența între electrozii 1 și 1', electrozii 2 și 2' fiind în gol.

R_{20} - rezistența între electrozii 2 și 2', electrozii 1 și 1' fiind în gol.

R_{30} - rezistența între doi electrozi alăturați, ceilalți electrozi fiind în gol.

R_{21} - Rezistența de transfer de la electrozii 2-2' la electrozii 1-1', ultimii fiind în gol (rezistența de transfer de la 1 - 1' la electrozii 2-2' care sînt în gol, pentru sensurile curenților considerate în fig.3.9 este $R_{12} = -R_{21}$)

Semnificația fizică a celor nouă parametri Z din ecuațiile (3.16) este următoarea

$$Z_{11} = \left(\frac{V_1}{i_1} \right)_{i_2=i_1,=0} = \frac{V_1 - V_{2'}}{i_1} = R_{30}$$

$$Z_{21} = \left(\frac{V_2}{i_1} \right)_{i_2=i_1,=0} = \frac{V_2 - V_{2'}}{i_1} = \frac{R_{20} + R_{12}}{2}$$

$$Z_{31} = \left(\frac{V_{1'}}{i_1} \right)_{i_2=i_1,=0} = \frac{V_{1'} - V_1}{i_1} + \frac{V_1 - V_{2'}}{i_1} = - \left(\frac{R_{10} + R_{21}}{2} \right) + R_{30}$$

$$Z_{12} = \left(\frac{V_1}{i_2} \right)_{i_1=i_1,=0} = \frac{R_{20} + R_{21}}{2}$$

(3.17)

$$Z_{22} = \left(\frac{V_2}{i_2} \right)_{i_1=i_1'=0} = R_{20}$$

$$Z_{32} = \left(\frac{V_1'}{i_2} \right)_{i_1=i_1'=0} = \frac{V_1'-V_1}{i_2} + \frac{V_1-V_2'}{i_2} = -R_{21} + \frac{R_{20}+R_{21}}{2} = \frac{R_{20}-R_{21}}{2}$$

$$Z_{13} = \left(\frac{V_1}{i_1'} \right)_{i_1=i_2=0} = \frac{V_1-V_1'}{i_1'} + \frac{V_1'-V_2'}{i_1'} = -\frac{R_{10}}{2} + \frac{R_{21}}{2} + R_{30}$$

$$Z_{23} = \left(\frac{V_2}{i_1'} \right)_{i_1=i_2=0} = \frac{R_{20}-R_{12}}{2}$$

$$Z_{33} = \left(\frac{V_1'}{i_1'} \right)_{i_1=i_2=0} = R_{30}$$

Dacă în ecuațiile (3.16) se trece de la potențialele electrice la cele trei tensiuni considerate pentru cuadripolul general (fig.3.2) și anume: $U_1 = V_1 - V_1'$; $U_2 = V_2 - V_2'$ și $U_3 = V_2' - V_1'$ se obține:

$$U_1 = \frac{1}{2} (R_{10}+R_{21})i_1 + R_{21}i_2 + \frac{1}{2} (R_{21}-R_{10})i_1'$$

$$U_2 = \frac{1}{2} (R_{20}+R_{12})i_1 + R_{20}i_2 + \frac{1}{2} (R_{20}-R_{12})i_1' \quad (3.18)$$

$$U_3 = \left(\frac{R_{10}+R_{21}}{2} - R_{30} \right) i_1 + \frac{1}{2} (R_{21}-R_{20})i_2 - R_{30}i_1'$$

Particularizînd relațiile (3.18) pentru giratorul Hall considerat cuadripol diport la care $i_1' = i_1$ se obțin ecuațiile cunoscute și anume

$$U_1 = R_{10}i_1 + R_{21}i_2$$

$$U_2 = -R_{21}i_1 + R_{20}i_2$$

$$\begin{aligned}
\|Y\| &= \frac{1}{|Z|} \left[\begin{array}{l} R_{20}R_{30} + \frac{1}{4}(R_{21}^2 - R_{20}^2) \\ R_{21}R_{30} - \frac{1}{4}(R_{10} + R_{21})(R_{20} + R_{21}) \\ - \frac{1}{2}(R_{10}R_{20} + R_{21}^2) \end{array} \right. \\
&\quad \left. - \frac{1}{4}(R_{10} - R_{21})(R_{21} - R_{20}) - R_{21}R_{30} \right. \\
&\quad \left. - \frac{1}{2}(R_{10}R_{20} + R_{21}^2) \right] \\
&= \frac{1}{|Z|} \left[\begin{array}{l} R_{10}R_{30} - \frac{1}{4}(R_{21}^2 - R_{20}^2) \\ \frac{1}{2}(R_{10}R_{20} + R_{21}^2) \end{array} \right] \\
&= R_{10}R_{20} + R_{21}^2
\end{aligned}
\tag{3.20}$$

Dacă ne referim la sistemul de curenți independenți ai cuadripolului general i_1, i_2 și $i_3 = -i_1 - i_2$ precum și la sensurile de referință pentru tensiuni și curenți adoptate în fig.3.2a pentru matricea impedanță a giratorului Hall considerat cuadripol general rezultă expresia

$$\|Z\| = \begin{vmatrix} R_{10} & R_{21} & \frac{1}{2}(R_{10}-R_{21}) \\ -R_{21} & R_{20} & -\frac{1}{2}(R_{20}+R_{21}) \\ \frac{1}{2}(R_{10}+R_{21}) & \frac{1}{2}(R_{21}-R_{20}) & R_{30} \end{vmatrix} \quad (3.19)$$

Pentru matricea admitanță se obține expresia (3.20) în care

$$|Z| = (R_{10}R_{20} + R_{21}^2)(R_{30} - \frac{R_{10}+R_{20}}{4}) \quad (3.21)$$

O schemă echivalentă^a giratorului Hall avînd electrozii Hall simetric așezați față de electrozii de comandă poate fi cea din fig.3.7 în care

$$Y_1 = \frac{1}{4}(R_{10}R_{20} + R_{21}^2)$$

$$Y_3 = \frac{1}{4} R_{21}(R_{10}+R_{20}) - R_{21}R_{30}$$

$$Y_4 = R_{21}R_{30} - \frac{1}{4} (R_{10}+R_{20})R_{21} \quad (3.22)$$

$$Y_5 = R_{20}R_{30} - \frac{1}{4}(R_{21}^2 + R_{20}^2) - \frac{1}{2}R_{10}R_{20}$$

$$Y_6 = R_{10}R_{30} - \frac{1}{4}(R_{21}^2 + R_{10}^2) - \frac{1}{2}R_{10}R_{20}$$

3.4. Condiția de unidirecționalitate în cadrul teoriei cuadripolului general.

În cele ce urmează se determină condiția pe care trebuie să o îndeplinească parametrii unui circuit cuadripolar în cadrul teoriei cuadripolului general, pentru ca acesta să permită transferul energiei electrice numai într-un singur sens. Se folosesc ecuațiile cuadripolului general (fig.3.2a) în funcție de parametrii Y și anume

$$I_1 = Y_{11}U_1 + Y_{12}U_2 + Y_{13}U_3 \quad (3.23)$$

$$I_2 = Y_{21}U_1 + Y_{22}U_2 + Y_{23}U_3 \quad (3.24)$$

$$I_3 = Y_{31}U_1 + Y_{32}U_2 + Y_{33}U_3 \quad (3.25)$$

Ne propunem să determinăm relația pe care trebuie să o îndeplinească parametrii Y ai cuadripolului general, alcătuit dintr-un element de circuit nerez reciproc și elemente de circuit suplimentare corespunzător conectate, pentru ca transferul de putere să aibă loc numai de la bornele de intrare 1-1' la bornele de ieșire 2-2'. Aceasta presupune că tensiunea la bornele de intrare U_1 și curentul I_1 să nu fie influențate de variațiile curentului I_2 , deci să fie independente de impedanța receptorului. Altfel spus, admitanța de intrare trebuie să fie aceeași indiferent de regimul de funcționare la bornele 2-2'. Pe de altă parte curentul prin bornele 3-3' trebuie să fie nul. Aceste condiții se scriu astfel

$$Y_{1k} = Y_{10} \quad (3.26)$$

$$I_3 = 0 \quad (3.27)$$

în care :

Y_{1k} = admitanța de intrare pentru regimul de scurtcircuit la bornele 2-2'

Y_{10} - admitanța de intrare pentru mersul în gol la bornele 2-2'

Din relația (3.23) se obține

$$Y_{1k} = \left(\frac{I_1}{U_1} \right)_{U_2=0} = Y_{11} + Y_{13} \left(\frac{U_3}{U_1} \right)_{U_2=0}$$

Din relația (3.25) rezultă

$$\left(\frac{U_3}{U_1} \right)_{U_2=0} = - \frac{Y_{31}}{Y_{33}}$$

Se obține deci pentru admitanța de intrare la scurtcircuit expresia

$$Y_{1k} = Y_{11} - Y_{13} \frac{Y_{31}}{Y_{33}} \quad (3.28)$$

Admitanța de intrare la mersul în gol este

$$\begin{aligned} Y_{10} &= \left(\frac{I_1}{U_1} \right)_{I_2=0} = \frac{1}{U_1} \left[Y_{11} U_1 - Y_{12} \frac{Y_{21} U_1 + Y_{23} U_3}{Y_{22}} + Y_{13} U_3 \right] = \\ &= Y_{11} - \frac{Y_{12} Y_{21}}{Y_{22}} - \frac{Y_{12} Y_{23}}{Y_{22}} \left(\frac{U_3}{U_1} \right)_{I_2=0} + Y_{13} \left(\frac{U_3}{U_1} \right)_{I_2=0} \end{aligned}$$

Valoarea raportului $\left(\frac{U_3}{U_1} \right)_{I_2=0}$ se obține din rel.(3.25)

și (3.27) în felul următor

$$Y_{31} U_1 - Y_{32} \frac{Y_{21} U_1 + Y_{23} U_3}{Y_{22}} + Y_{33} U_3 = 0$$

$$\left(\frac{U_3}{U_1} \right)_{I_2=0} = \frac{Y_{32} Y_{21} - Y_{31} Y_{22}}{Y_{22} Y_{33} - Y_{23} Y_{32}}$$

Pentru admitanța de intrare la mersul în gol rezultă deci expresia

$$Y_{10} = Y_{11} - \frac{Y_{12}Y_{21}}{Y_{22}} + \frac{Y_{21}Y_{32} - Y_{22}Y_{31}}{Y_{22}Y_{33} - Y_{23}Y_{32}} \left(Y_{13} - \frac{Y_{12}Y_{23}}{Y_{22}} \right) \quad (3.29)$$

Din relațiile (3.26), (3.28) și (3.29) se obține relația pe care trebuie să o îndeplinească parametrii Y pentru ca un circuit cuadripolar să devină unidirecțional și anume

$$Y_{22}(Y_{13}Y_{32} - Y_{12}Y_{33})(Y_{23}Y_{31} - Y_{21}Y_{33}) = 0 \quad (3.30)$$

Relația (3.30) presupune că la un circuit unidirecțional este satisfăcută una din următoarele condiții

$$Y_{13}Y_{32} - Y_{12}Y_{33} = 0 \quad (3.31)$$

pentru

$$Y_{23}Y_{31} - Y_{21}Y_{33} \neq 0 \text{ și } Y_{22} \neq 0$$

sau

$$Y_{23}Y_{31} - Y_{21}Y_{33} = 0 \quad (3.32)$$

pentru

$$Y_{13}Y_{32} - Y_{12}Y_{33} \neq 0 \text{ și } Y_{22} \neq 0$$

3.5. Scheme unidirecționale cu generator Hall.

3.5.1. Scheme unidirecționale obținute prin conectarea unor rezistențe neegale în paralel cu generatorul Hall.

Așa cum s-a menționat (punctul 3.1), generatorul Hall având orice configurație pentru placa semiconductoră și pentru cei patru electrozi permite să se realizeze scheme unidirecționale, dacă în paralel cu acesta se conectează rezistențele r' și r'' , longitudinal sau în X, ca în fig.3.10a și b.

În continuare se determină relațiile de legătură ce trebuie să existe între rezistențele r' și r'' pentru ca schema să devină unidirecțională, rezolvarea problemei nefiind posibilă decât în cadrul teoriei cuadripolului general.

Astfel generatorul Hall considerat cuadripol general și reprezentat prin schema din fig.3.4 este în paralel cu câte unul din

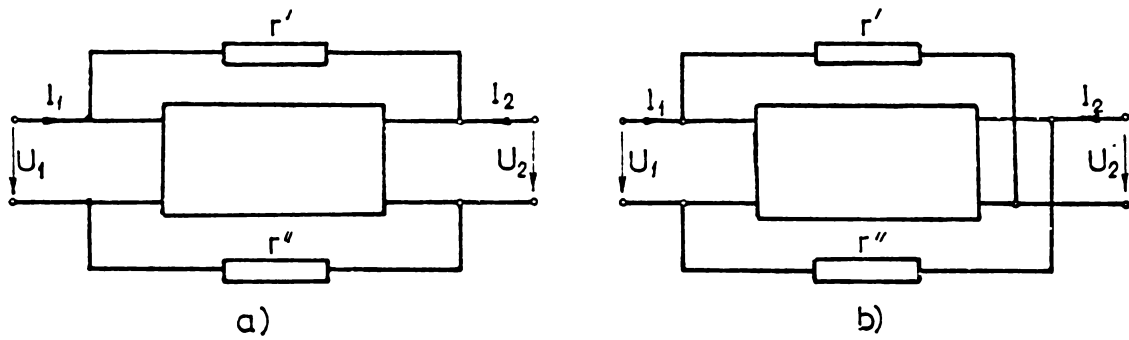


Fig.3.10 Scheme unidirectionale

- a) - prin conectarea rezistențelor r', r'' longitudinal în paralel cu generatorul Hall
- b) - prin conectarea rezistențelor r', r'' în X în paralel cu generatorul Hall.

cuadripolii generali reprezentați în fig.3.11a sau 3.11b.

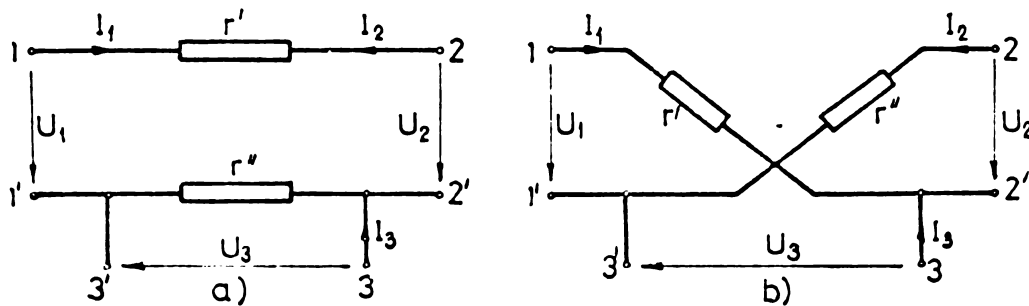


Fig.3.11 Cuadripolii generali care conectați în paralel cu generatorul Hall realizează scheme unidirectionale.

Pentru cuadripolul din fig.3.11a la care s-a notat:

$Y' = \frac{1}{r'}$ și $Y'' = \frac{1}{r''}$ matricea admitanță este

$$\|Y\| = \begin{vmatrix} Y' & -Y' & -Y' \\ -Y' & Y' & Y' \\ -Y' & Y' & Y'+Y'' \end{vmatrix} \quad (3.33)$$

iar pentru cuadripolul din fig.3.11b se obține pentru matricea admitanță expresia

$$\|Y\| = \begin{vmatrix} Y' & 0 & -Y' \\ 0 & Y'' & Y'' \\ -Y' & Y'' & Y'+Y'' \end{vmatrix} \quad (3.34)$$

Matricea admitanță echivalentă Y_e a schemei din fig.3.10a se obține din însumarea matricei admitanță a generatorului Hall (rel.3.4) cu matricea dată de relația (3.33). Rezultă :

$$|Y_e| = \begin{vmatrix} Y_{11}+Y' & Y_{12}-Y' & Y_{13}-Y' \\ Y_{21}-Y' & Y_{22}+Y' & Y_{23}+Y' \\ Y_{31}-Y' & Y_{32}+Y' & Y_{33}+Y'+Y'' \end{vmatrix} \quad (3.35)$$

Relația între admitanțele Y' și Y'' pentru care schema din fig.3.10a devine unidirecțională se obține din condiția(3.31)aplicată matricei admitanței echivalente (3.35) și este următoarea

$$Y'Y''+(Y_{13}-Y_{32}-Y_{12}+Y_{33})Y' - Y_{12}Y'' = Y_{12}Y_{33}- Y_{13}Y_{32} \quad (3.36)$$

Se menționează faptul că poziția rezistențelor r' și r'' față de perechea de borne 3-3' este precizată prin fig.3.10a.

In cazul giratorului dreptunghiular cu electrozii Hall așezați simetric față de electrozii de comandă, deoarece elementele matricei admitanță (3.20) satisfac relația : $Y_{13}=-Y_{32} = -\frac{Y_{33}}{2}$ condiția (3.36) pe care trebuie să o îndeplinească admitanțele Y' și Y'' obține forma

$$Y'Y'' - Y_{12}(Y'+Y'') = Y_{12}Y_{33}- Y_{13}Y_{32} \quad (3.37)$$

In acest caz datorită simetriei este indiferentă așezarea rezistențelor r' și r'' față de bornele 3-3', rezultat obținut și prin rel.(3.37).

Dacă ne referim la schema din fig.3.10b, matricea admitanță echivalentă corespunzătoare este

$$|Y_e| = \begin{vmatrix} Y_{11}+Y' & Y_{12} & Y_{13}-Y' \\ Y_{21} & Y_{22}+Y'' & Y_{23}+Y'' \\ Y_{31}-Y' & Y_{32}+Y'' & Y_{33}+Y'+Y'' \end{vmatrix} \quad (3.38)$$

Aplicînd condiția de unidirecționalitate (3.31) matricei (3.38) se obține următoarea relație între admitanțele Y' și Y'' .

$$Y'Y'' + (Y_{12}+Y_{32})Y' + (Y_{12}-Y_{13})Y'' = Y_{13}Y_{32} - Y_{12}Y_{33} \quad (3.39)$$

Pentru cazul particular al giratorului dreptunghiular cu electrozii Hall simetric așezați față de electrozii de comandă relația (3.39) devine:

$$Y'Y'' + (Y_{12}+Y_{32})(Y'+Y'') = Y_{13}Y_{32} - Y_{12}Y_{33} \quad (3.40)$$

3.5.2. Scheme unidirecționale obținute prin conectarea unor rezistențe egale în paralel cu generatorul Hall.

Stabilirea relațiilor de legătură între admitanțele Y' și Y'' , care conectate în paralel cu generatorul Hall realizează scheme unidirecționale, presupune cunoașterea celor nouă parametri cuadripolari ai generatorului Hall, considerat cuadripol general. Dacă cele două admitanțe sînt egale ($Y'=Y''=Y$) nu este avantajos rezultatul obținut prin particularizarea relațiilor (3.36) sau (3.39), deoarece se arată în cele ce urmează că în acest caz valorile rezistențelor $r' = r'' = r$ se pot obține cunoscînd numai cei patru parametri cuadripolari ai generatorului Hall, considerat cuadripol diport.

Intr-adevăr, în această situație considerînd pentru generatorul Hall o schemă echivalentă în punte simetrică, de exemplu schema din fig.3.6, prin conectarea acesteia în paralel cu rezistențele suplimentare egale se îndeplinește condiția de interconectare în paralel a cuadripolilor diporți și anume, prin aplicarea unei tensiuni la bornele de intrare ale celor doi cuadripoli conectați în paralel, între bornele de ieșire ale cuadripolilor componenți nu rezultă tensiune, în situația în care bornele de ieșire ale fiecărui cuadripol sînt în scurtcircuit(fig.3.12).

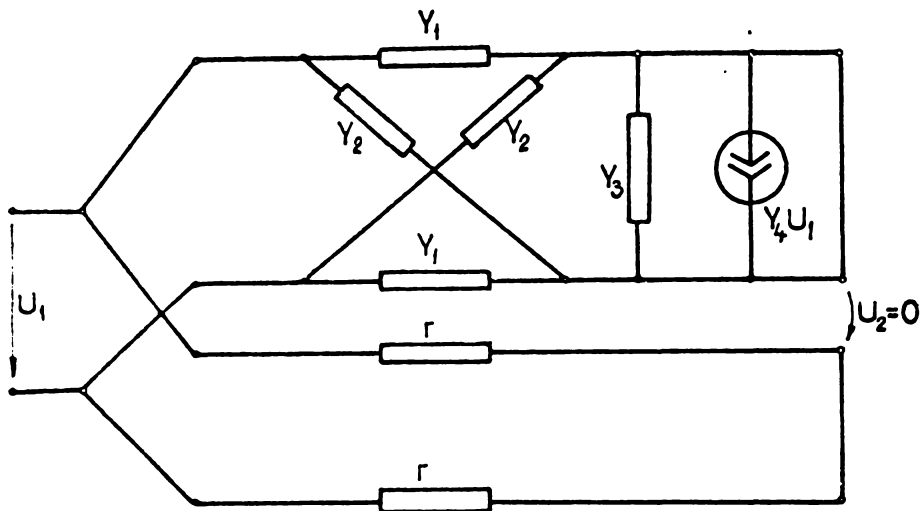
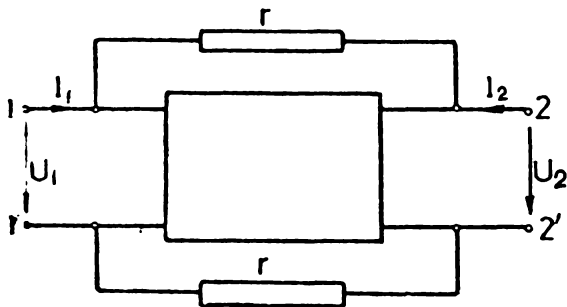


Fig.3.12 Condiția de interconectare în paralel a doi cuadri-
poli diporți

α. Cu toate că generatorul Hall reprezintă un cuadripol general atunci când se conectează în paralel cu acesta cele două rezistențe longitudinale r pentru a obține o schemă unidirecțională (fig.3.13), dacă se consideră pentru acesta o schemă echivalentă în punte simetrică (fig.3.6), în conformitate cu cele men-



ționate anterior, valorile rezistențelor egale r se pot exprima numai în funcție de cei patru parametri ai generatorului Hall considerat cuadripol diport.

Fig.3.13 Schemă unidirecțională

Matricea admitanță echivalentă $\|Y_e\|$ a schemei din fig.3.13 se obține din însumarea matricei admitanță a generatorului Hall reprezentat prin schema din fig.3.6 (rel.3.9) cu matricea (3.33) particularizată pentru acest caz, în care s-a notat: $Y = \frac{1}{r}$.

$$\|Y_e\| = \begin{vmatrix} Y_1+Y_2+Y & -Y_1-Y & -(Y_1+Y_2+Y) \\ Y_4-Y_1-Y & Y_1+Y_2+Y_3+Y & Y_1+Y_2+Y \\ -(Y_1+Y_2+Y) & Y_1+Y_2+Y & 2(Y_1+Y_2+Y) \end{vmatrix} \quad (3.41)$$

Admitanțele care intervin în matricea (3.41), ținând seama de sensurile pozitive de referință adoptate, au următoarele valori

$$Y_1 = \frac{R_{20} + R_a - R_b}{R_{10}R_{20} - R_a^2 + R_b^2} \quad ; \quad Y_2 = \frac{R_{20} - R_a + R_b}{R_{10}R_{20} - R_a^2 + R_b^2} \quad (3.42)$$

$$Y_3 = \frac{R_{10} - R_{20}}{R_{10}R_{20} - R_a^2 + R_b^2} \quad ; \quad Y_4 = - \frac{2R_b}{R_{10}R_{20} - R_a^2 + R_b^2}$$

Aplicînd condiția de unidirecționalitate (3.31) matricei (3.41) se obține pentru admitanțele respectiv rezistențele longitudinale r expresiile următoare

$$Y = Y_2 - Y_1 \quad (3.43)$$

$$r = \frac{R_{10}R_{20} - R_a^2 + R_b^2}{2(R_b - R_a)} \quad (3.44)$$

Dacă generatorul Hall nu are tensiune de zero: $R_a = 0$ și $R_b = S_0 B$, S_0 fiind sensibilitatea în gol a generatorului Hall, rel.(3.44) devine

$$r = \frac{R_{10}R_{20} + (S_0 B)^2}{2(S_0 B)} \quad (3.45)$$

Dacă placa Hall este simetrică ($R_{10} = R_{20}$) se obține relația cunoscută

$$r = \frac{R_{10}^2 + (S_0 B)^2}{2(S_0 B)} \quad (3.46)$$

În literatură nu se fac referiri la cazul mai general cînd există tensiune de zero (rel.3.44).

Se precizează faptul că rezultatul stabilit prin rel(3.44) se obține numai cu scheme echivalente ale generatorului Hall care respectă condițiile de interconectare în paralel ale

cuadripolilor diporți (de ex. schema din fig. 3.7)

Matricea admitanță a schemei unidirecționale din fig.

3.13 este

$$\|Y_e\| = \begin{vmatrix} 2Y_2 & -Y_2 & -2Y_2 \\ Y_4 - Y_2 & 2Y_2 + Y_3 & 2Y_2 \\ -2Y_2 & 2Y_2 & 4Y_2 \end{vmatrix} \quad (3.47)$$

Matricele admitanță și impedanță ale schemei unidirecționale din fig. (3.13), considerată ca un cuadripol diport ($I_3=0$) au următoarele expresii

$$\|Y_e\| = \begin{vmatrix} \frac{R_{20} + R_b - R_a}{R_{10} R_{20} - R_a^2 + R_b^2} & 0 \\ -\frac{2R_b}{R_{10} R_{20} - R_a^2 + R_b^2} & \frac{R_{10} + R_b - R_a}{R_{10} R_{20} - R_a^2 + R_b^2} \end{vmatrix} \quad (3.48)$$

$$\|Z_e\| = \begin{vmatrix} \frac{R_{10} R_{20} - R_a^2 + R_b^2}{R_{20} + R_b - R_a} & 0 \\ \frac{2R_b (R_{10} R_{20} - R_a^2 + R_b^2)}{(R_{10} + R_b - R_a)(R_{20} + R_b - R_a)} & \frac{R_{10} R_{20} - R_a^2 + R_b^2}{R_{10} + R_b - R_a} \end{vmatrix} \quad (3.49)$$

Se observă din matricele (3.48) și (3.49) că impedanțele de intrare la mersul în gol și la mersul în scurtcircuit sînt egale. Deoarece în matricele (3.48) și (3.49) admitanța de transfer în scurtcircuit Y_{12} și impedanța de transfer în gol Z_{12} sînt egale, schema din fig. 3.13 este unidirecțională, avînd următoarea comportare: dacă se alimentează circuitul la bornele 1-1' nu are loc transfer de energie în sens invers, adică mărimile de intrare nu depind de mărimile de ieșire.

Desigur că dacă alimentarea schemei se face la bornele

2-2', comportarea schemei este asemănătoare față de aceste borne de intrare.

Expresiile constantelor de atenuare ale schemei unidirecționale se scriu ținând seama de relațiile date în teoria cuadripolului electric [138] și de semnele parametrilor Y la sensurile pozitive de referință pentru tensiuni și curenți considerate. Constantele de atenuare în sens direct ϵ_{1c} și în sens invers ϵ_{2c} sînt

$$\epsilon_{1c} = \ln \frac{2\sqrt{Y_{11}Y_{22}}}{-Y_{21}} = \ln \frac{\sqrt{(R_{10}+R_b-R_a)(R_{20}+R_b-R_a)}}{R_b} \quad (3.50)$$

$$\epsilon_{2c} = \ln \frac{2\sqrt{Y_{11}Y_{22}}}{-Y_{12}} = \infty \quad (3.51)$$

β. Dacă cele două rezistențe r se conectează în X în paralel la placa Hall (fig.3.14), matricea echivalentă a ansamblului

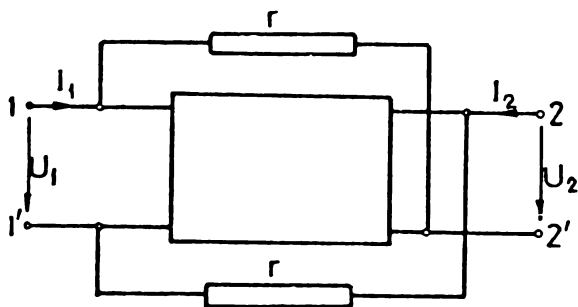


Fig.3.14 Schemă unidirecțională

format din placa Hall în paralel cu circuitul cuadripolar din fig.3.11b în care $r'=r''=r$ are expresia (3.52), dacă se notează:

$$Y = \frac{1}{r}$$

$$\|Y_{\theta}\| = \begin{vmatrix} Y_1+Y_2+Y & -Y_1 & -(Y_1+Y_2+Y) \\ Y_4-Y_1 & Y_1+Y_2+Y_3+Y & Y_1+Y_2+Y \\ -(Y_1+Y_2+Y) & Y_1+Y_2+Y & 2(Y_1+Y_2+Y) \end{vmatrix} \quad (3.52)$$

Ținând seama de sensurile pozitive de referință considerate, admitanțele care intervin în matricea (3.52) au valorile următoare

$$Y_1 = \frac{R_{20} + R_a + R_b}{R_{10} R_{20} - R_a^2 + R_b^2} \quad ; \quad Y_2 = \frac{R_{20} - R_a - R_b}{R_{10} R_{20} - R_a^2 + R_b^2} \quad (3.53)$$

$$Y_3 = \frac{R_{10} - R_{20}}{R_{10} R_{20} - R_a^2 + R_b^2} \quad ; \quad Y_4 = \frac{2R_b}{R_{10} R_{20} - R_a^2 + R_b^2}$$

Schema din fig.3.14 devine unidirecțională pentru acea valoare a admitanței Y , care se obține din aplicarea condiției de unidirecționalitate (3.31) matricii (3.52). Rezultă

$$Y = Y_1 - Y_2 \quad (3.54)$$

$$r = \frac{R_{10} R_{20} - R_a^2 + R_b^2}{2(R_a + R_b)} \quad (3.55)$$

Dacă placa Hall nu are tensiune de zero, valoarea rezistenței r devine

$$r = \frac{R_{10} R_{20} + (S_0 B)^2}{2(S_0 B)} \quad (3.56)$$

Matricea admitanță a schemei unidirecționale din fig.3.14 este deci

$$\| Y_e \| = \begin{vmatrix} 2Y_1 & -Y_1 & -2Y_1 \\ Y_4 - Y_1 & 2Y_1 + Y_3 & 2Y_1 \\ -2Y_1 & 2Y_1 & 4Y_1 \end{vmatrix} \quad (3.57)$$

Pentru schema unidirecțională din fig.3.14, considerată cuadripol diport, matricele admitanță și impedanță sînt următoarele

$$\| Y_e \| = \begin{vmatrix} \frac{R_{20} + R_a + R_b}{R_{10} R_{20} - R_a^2 + R_b^2} & 0 \\ \frac{2R_b}{R_{10} R_{20} - R_a^2 + R_b^2} & \frac{R_{10} + R_a + R_b}{R_{10} R_{20} - R_a^2 + R_b^2} \end{vmatrix} \quad (3.58)$$

$$\|Z_e\| = \begin{vmatrix} \frac{R_{10}R_{20}-R_a^2+R_b^2}{R_{20}+R_a+R_b} & 0 \\ -\frac{2R_b(R_{10}R_{20}-R_a^2+R_b^2)}{(R_{10}+R_a+R_b)(R_{20}+R_a+R_b)} & \frac{R_{10}R_{20}-R_a^2+R_b^2}{R_{10}+R_a+R_b} \end{vmatrix} \quad (3.59)$$

Intr-adevăr, comportarea acestei scheme este asemănătoare cu cea din fig.3.13, parametri sînt însă diferiți și determinați prin matricele (3.58) și (3.59).

Pentru constantele de atenuare se utilizează relațiile deduse în teoria cuadripolului [138]scrise însă corespunzător, avînd în vedere sensurile de referință pentru tensiuni și curenți adoptate, precum și semnele parametrilor Y care rezultă din semnificația lor fizică.

Constantele de atenuare în sens direct ϵ_{1c} și în sens invers ϵ_{2c} sînt

$$\epsilon_{1c} = \ln \frac{2\sqrt{Y_{11}Y_{22}}}{Y_{21}} = \ln \frac{\sqrt{(R_{10}+R_a+R_b)(R_{20}+R_a+R_b)}}{R_b} \quad (3.60)$$

$$\epsilon_{2c} = \ln \frac{2\sqrt{Y_{11}Y_{22}}}{Y_{12}} = \infty \quad (3.61)$$

3.5.3. Circuit unidirecțional realizat dintr-o placă Hall avînd electrozii Hall corespunzător deplasați.

α. Dacă electrozii Hall sînt astfel așezați pe suprafața laterală a plăcii Hall încît la o anumită inducție magnetică tensiunea de zero sa fie egală cu tensiunea Hall, atunci: $R_a(+B) = R_b(+B)$, iar din rel.(3.44) rezultă: $r = \infty$

Plecînd de la rel.(3.10) matricea admitanță în acest caz obține forma

$$\|Y(+B)\| = \frac{1}{R_{10}R_{20}} \begin{vmatrix} 2R_{20} & -(R_{20}+2R_a) & -2R_{20} \\ -R_{20} & R_{10}+R_{20} & 2R_{20} \\ -2R_{20} & 2R_{20} & 4R_{20} \end{vmatrix} \quad (3.62)$$

Se remarcă faptul că elementele matricei (3.62) satisfac condiția de unidirecționalitate (3.32).

Matricele admitanță și impedanță ale plăcii Hall considerată ca un cuadripol diport sînt

$$\|Y(+B)\| = \begin{vmatrix} \frac{1}{R_{10}} & -\frac{2R_a}{R_{10}R_{20}} \\ 0 & \frac{1}{R_{20}} \end{vmatrix} \quad (3.63)$$

$$\|Z(+B)\| = \begin{vmatrix} R_{10} & 2R_a \\ 0 & R_{20} \end{vmatrix} \quad (3.64)$$

Matricele (3.62), (3.63) și (3.64) arată că ~~într-adevăr~~ în acest caz placa Hall se comportă ca un circuit unidirecțional în următorul mod: dacă se alimentează placa Hall la bornele 2-2' are loc transfer de energie la bornele 1-1', nu însă și în sens invers. Evident însă, că datorită dispoziției particulare a electrozilor Hall, dacă se alimentează placa Hall la bornele 1-1', pentru acest sens al inducției magnetice nu se obține tensiune la bornele de ieșire 2-2'. Aseastă comportare simbolic se reprezintă astfel

$$\begin{array}{l} 2^* \longrightarrow 1 \quad \text{și} \quad 1^* \longrightarrow 2 \\ 2^* \longleftarrow 1 \end{array}$$

Constantele de atenuare în sens direct $g_{2c}(+B)$ și în sens invers $g_{1c}(+B)$ sînt

$$g_{2c}(+B) = \ln \frac{2\sqrt{Y_{11}Y_{22}}}{-Y_{12}} = \ln \frac{\sqrt{R_{10}R_{20}}}{R_a} \quad (3.65)$$

$$g_{1c}(+B) = \ln \frac{2\sqrt{Y_{11}Y_{22}}}{-Y_{21}} = \infty$$

β . Considerînd că electrozii Hall sînt astfel așezați încît să se realizeze egalitatea : $R_a(-B) = -R_b(-B)$, adică tensiunea Hall să compenseze tensiunea de zero a plăcii, din rel.(3.55) rezultă: $r = \infty$

Matricea admitanță a plăcii Hall în această situație se obține din matricea (3.10) și este

$$\|Y(-B)\| = \frac{1}{R_{10}R_{20}} \begin{vmatrix} 2R_{20} & -R_{20} & -2R_{20} \\ -(R_{20}+2R_a) & R_{10}+R_{20} & 2R_{20} \\ -2R_{20} & 2R_{20} & 4R_{20} \end{vmatrix} \quad (3.66)$$

În acest caz elementele matricei (3.66) satisfac condiția de unidirecționalitate (3.31).

Pentru matricele admitanță și impedanță ale plăcii Hall considerată ca un cuadripol-diport se obțin expresiile

$$\|Y(-B)\| = \begin{vmatrix} \frac{1}{R_{10}} & 0 \\ \frac{2R_a}{R_{10}R_{20}} & \frac{1}{R_{20}} \end{vmatrix} \quad (3.67)$$

$$\|Z(-B)\| = \begin{vmatrix} R_{10} & 0 \\ 2R_a & R_{20} \end{vmatrix} \quad (3.68)$$

Rezultă că la sensul inducției magnetice pentru care componentele R_a și R_b sînt egale și de semn contrar comportarea plăcii Hall se modifică față de cazul prezentat anterior, adică transferul de putere poate să se facă numai de la bornele 1-1' la bornele 2-2', comportare care se prezintă simbolic în felul următor

$$\begin{array}{l} 1^* \longrightarrow 2 \quad \text{și} \quad 2^* \longleftarrow 1 \\ 1^* \longleftarrow 2 \end{array}$$

Constantele de atenuare în sens direct $E_{10}(-B)$ și în sens invers $E_{20}(-B)$ sînt

$$E_{10}(-B) = \ln \frac{2\sqrt{Y_{11}Y_{22}}}{Y_{21}} = \ln \frac{\sqrt{R_{10}R_{20}}}{R_a} \quad (3-64)$$

$$E_{20}(-B) = \infty$$

3.6. Rezultate experimentale

Rezultatele experimentale efectuate au avut ca scop, pe de o parte, determinarea celor nouă parametri ai generatorului Hall care descriu comportarea acestuia ca un cuadripol general și stabilirea relațiilor pe care aceștia le îndeplinesc la cele două sensuri ale inducției magnetice, iar pe de altă parte verificarea relațiilor demonstrate la punctul 3.5 pentru rezistențele care realizează scheme unidirecționale.

3.6.1. Placă Hall din InSb de formă oarecare cu tensiune de zero.

Ținînd precizările făcute la capitolul 1 referitoare la cele două sensuri ale inducției magnetice (+B) și (-B), pentru un generator Hall cu tensiune de zero avînd o geometrie oarecare atît placa semiconductoră cît și electrozii s-au determinat experimental parametrii Z pe baza relațiilor (3.3) la inducția magnetică de 1 Tesla.

Matricea $\|Z\|$ pentru cele două sensuri ale inducției magnetice are formele următoare:

$$\|Z(+B)\| = \begin{vmatrix} 1,836 & 0,694 & 0,618 \\ -0,566 & 1,876 & -1,147 \\ 1,199 & -0,548 & 1,73 \end{vmatrix} \quad (3.70)$$

$$\|Z(-B)\| = \begin{vmatrix} 1,836 & -0,566 & 1,199 \\ 0,694 & 1,876 & -0,548 \\ 0,618 & -1,147 & 1,73 \end{vmatrix} \quad (3.71)$$

Se remarcă faptul că nu numai parametrii de transfer dintre perechile de borne 1-1' și 2-2' ci și parametrii de transfer care se referă la bornele 3-3' satisfac relații de reciprocitate la schimbarea sensului inducției magnetice și anume

$$\begin{aligned} R_{13}(+B) &= R_{31}(-B) \\ R_{23}(+B) &= R_{32}(-B) \\ R_{31}(+B) &= R_{13}(-B) \\ R_{32}(+B) &= R_{23}(-B) \end{aligned} \quad (3.72)$$

Existența relațiilor (3.72) permite să se afirme că și parametrii de transfer referitori la bornele 3-3' pot fi descompuși într-o componentă care nu depinde de sensul inducției magnetice și una dependentă de acesta.

Pentru matricea $\|Y\|$ se determină cu ajutorul rel.(3.4) următoarele forme la schimbarea sensului inducției magnetice

$$\|Y(+B)\| = \begin{vmatrix} 0,786 & -0,462 & -0,587 \\ -0,119 & 0,731 & 0,527 \\ -0,582 & 0,552 & 1,152 \end{vmatrix} \quad (3.73)$$

$$\|Y(-B)\| = \begin{vmatrix} 0,786 & -0,119 & -0,582 \\ -0,462 & 0,731 & 0,552 \\ -0,587 & 0,527 & 1,152 \end{vmatrix} \quad (3.74)$$

Se observă că egalități de forma relațiilor (3.72) sînt valabile și pentru parametrii Y .

β Calculul dependenței dintre rezistențele r' și r'' (rel.3.36), care realizează schema unidirecțională din fig. 3.10a, s-a făcut pentru sensul inducției magnetice ($-B$), întrucît acesta corespunde sensurilor de referință pozitive ($R_{21} > 0$). Această dependență s-a reprezentat în fig.3.15.

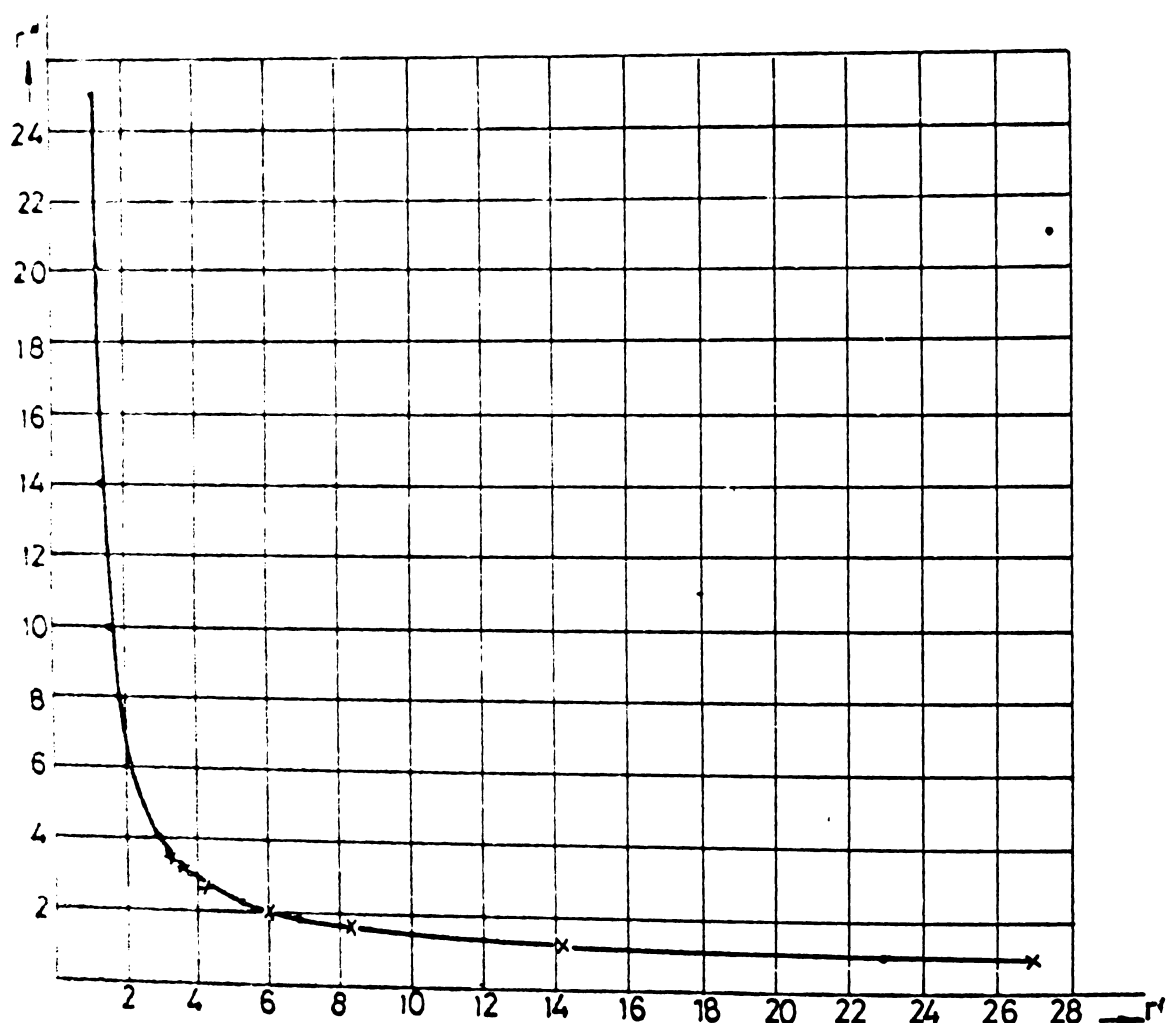


Fig.3.15 Dependența dintre rezistențele r' și r'' ale schemei unidirecționale din fig.3.10a, realizată cu o placă Hall cu tensiune cu zero.

Determinarea experimentală a rezistențelor r' și r'' pentru care schema cu generator Hall devine unidirecțională

s-a făcut cu montajul reprezentat în fig.3.16.

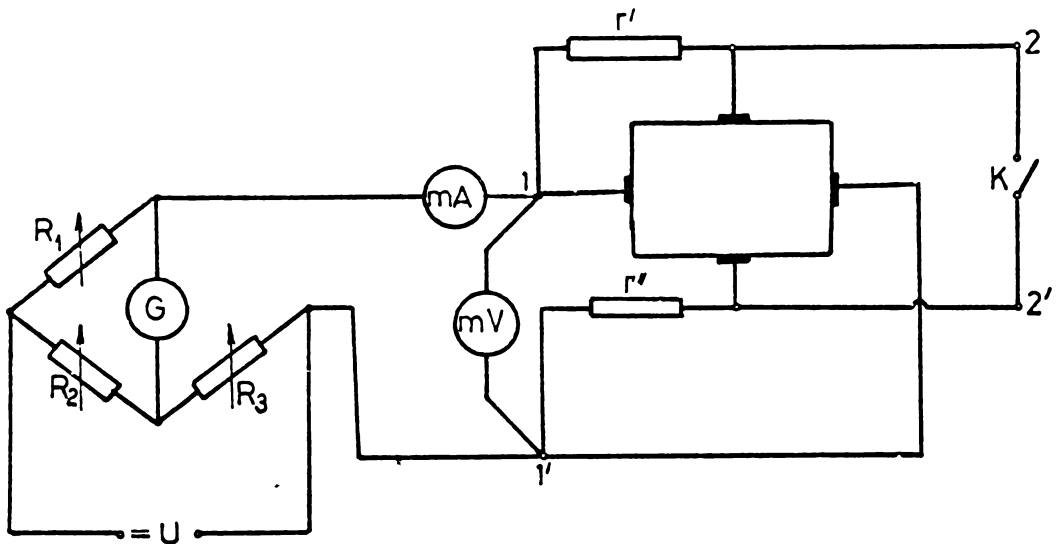


Fig.3.16 Schema electrică a montajului pentru determinarea rezistențelor r' și r'' ale schemei unidirecționale.

După cum se vede din fig.3.16 placa semiconductoare avînd conectate în paralel rezistențele r' și r'' se alimentează cu ajutorul unui montaj în punte. Montajul în punte folosit, avînd mare sensibilitate (constanta galvanometrului fiind $2,8 \cdot 10^{-7}$ A/div), a permis determinarea experimentală cu precizie a perechilor de rezistențe r' și r'' pentru care puntea nu se dezechilibrează, adică impedanța de intrare a schemei unidirecționale rămîne constantă indiferent de regimul de la bornele de ieșire 2-2' (regim de mers în gol sau scurtcircuit). Perechile de rezistențe r' și r'' determinate experimental cu montajul din fig.3.16 s-au reprezentat prin punctele notate cu (x) pe graficul din fig.3.15. Suprapunerea acestor puncte peste dependența dintre rezistențele r' și r'' determinată pe baza rel.(3.36), confirmă atît valabilitatea relației de calcul stabilite cît și sensibilitatea montajului cu care s-a experimentat.

Ţ Pentru cazul în care cele două rezistențe r' și r'' sînt egale ($r' = r'' = r$) s-a verificat experimental valabilitatea

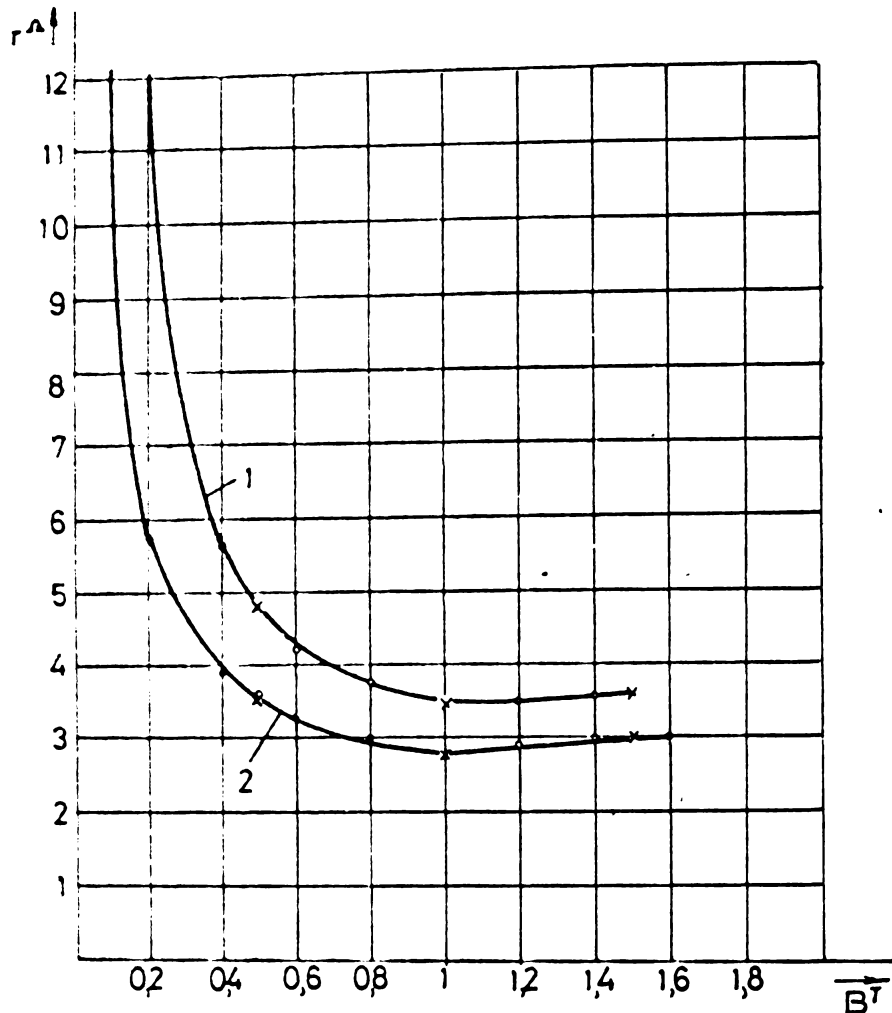


Fig.3.17 Variația rezistențelor r cu inducția magnetică în cazul unei plăci Hall cu tensiune de zero
1 - pentru schema unidirecțională din fig.3.13
2 - pentru schema unidirecțională din fig.3.14

relațiilor (3.44) și (3.55). Astfel, în fig.3.17 curba 1 reprezintă variația valorii rezistențelor r cu inducția magnetică (rel.3.44), rezistențe care realizează schema unidirecțională din fig.3.13, folosind o placă Hall pentru care s-a determinat dependența parametrilor Z cu inducția magnetică, precum și componentele rezistențelor de transfer în gol (fig.1.7). Curba 2 reprezintă variația valorii rezistențelor r cu inducția magnetică (rel.3.55), rezistențe care realizează schema unidirecțională din fig.3.14, folosind aceeași placă Hall. În această diagramă punctele notate cu (x) corespund valorilor rezistențelor obținute experimental cu montajul din fig.3.16. Într-adevăr,

valorile rezistențelor suplimentare, care realizează schemă unidirecțională cu o placă Hall de formă oarecare și cu tensiune de zero, obținute experimental sînt în deplină concordanță cu cele rezultate prin calcul pe baza relațiilor stabilite.

Variația constantei de atenuare în sens direct cu inducția magnetică pentru schema unidirecțională realizată ca în fig. 3-13 s-a reprezentat prin curba 1 din fig.3.18. Curba 2 din aceeași figură reprezintă variația constantei de atenuare în sens direct cu inducția magnetică a schemei unidirecționale realizată ca în fig.3.14.

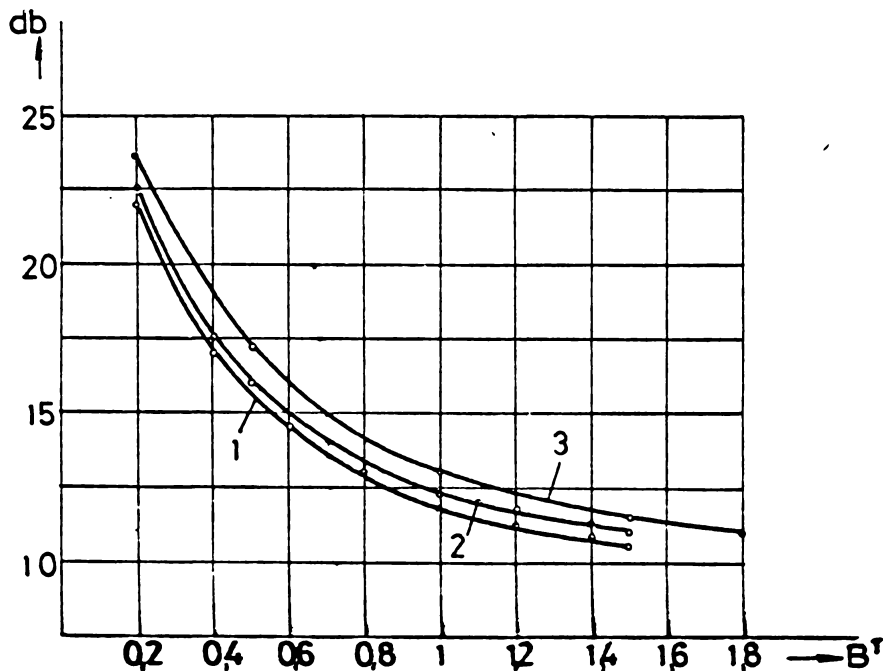


Fig.3.18 Variația constantei de atenuare în sens direct cu inducția magnetică

- 1 - pentru schema unidirecțională din fig.3.13, realizată cu o placă Hall cu tensiune de zero
- 2 - pentru schema unidirecțională din fig.3.14, realizată cu aceeași placă Hall
- 3 - pentru o schemă unidirecțională realizată cu o placă Hall fără tensiune de zero.

3.6.2. Placă Hall din Insb de formă dreptunghiulară fără tensiune de zero.

α . La inducția magnetică de 0,5T, pentru cele două sensuri

ale acesteia, matricea $|Z|$ are expresiile următoare

$$|Z(+B)| = \begin{vmatrix} 1,234 & 0,21 & 0,503 \\ -0,21 & 1,16 & -0,63 \\ 0,679 & -0,437 & 1,466 \end{vmatrix} \quad (3.75)$$

$$|Z(-B)| = \begin{vmatrix} 1,234 & -0,21 & 0,679 \\ 0,21 & 1,16 & -0,437 \\ 0,503 & -0,63 & 1,466 \end{vmatrix} \quad (3.76)$$

Si în acest caz se confirmă existența relațiilor de reciprocitate (3.72) la schimbarea sensului inducției magnetice.

Matricele admitanță corespunzătoare matricelor impedanță (3.75) și (3.76) sînt următoarele

$$|Y(+B)| = \begin{vmatrix} 1,03 & -0,381 & -0,517 \\ -0,086 & 1,06 & 0,486 \\ -0,503 & 0,493 & 1,066 \end{vmatrix} \quad (3.77)$$

$$|Y(-B)| = \begin{vmatrix} 1,03 & -0,086 & -0,503 \\ -0,381 & 1,06 & 0,493 \\ -0,517 & 0,486 & 1,066 \end{vmatrix} \quad (3.78)$$

Deoarece la această placă Hall electrozii Hall nu au fost așezați cu precizie la aceeași distanță față de electrozii de comandă, parametri Y determinați prin matricea (3.78), corespund numai cu o anumită aproximație parametrilor Y dați de matricea (3.20)

β. În acest caz, datorită simetriei plăcii Hall, cele două rezistențe care realizează schemă unidirecțională și a căror valoare este dată de rel.(3.45) pot fi conectate fie longitudinal (fig.3.13), fie în X în paralel la placa Hall (fig.3.14).

Dependența valorii celor două rezistențe funcție de inducția magnetică pentru placa Hall ai cărei parametri s-au determinat la capitolul 1 (fig.1.10 și tabela 1.10) este redată în

fig.3.19. Evident și în această situație s-a obținut o concordanță deplină între valorile rezistențelor obținute experimental cu montajul din fig.3.16 și cele obținute pe bază de calcul cunoscând parametrii cuadripolari ai plăcii Hall.

Constanta de atenuare în sens direct în funcție de inducția magnetică pentru această schemă unidirecțională s-a reprezentat prin curba 3 din fig.3.18.

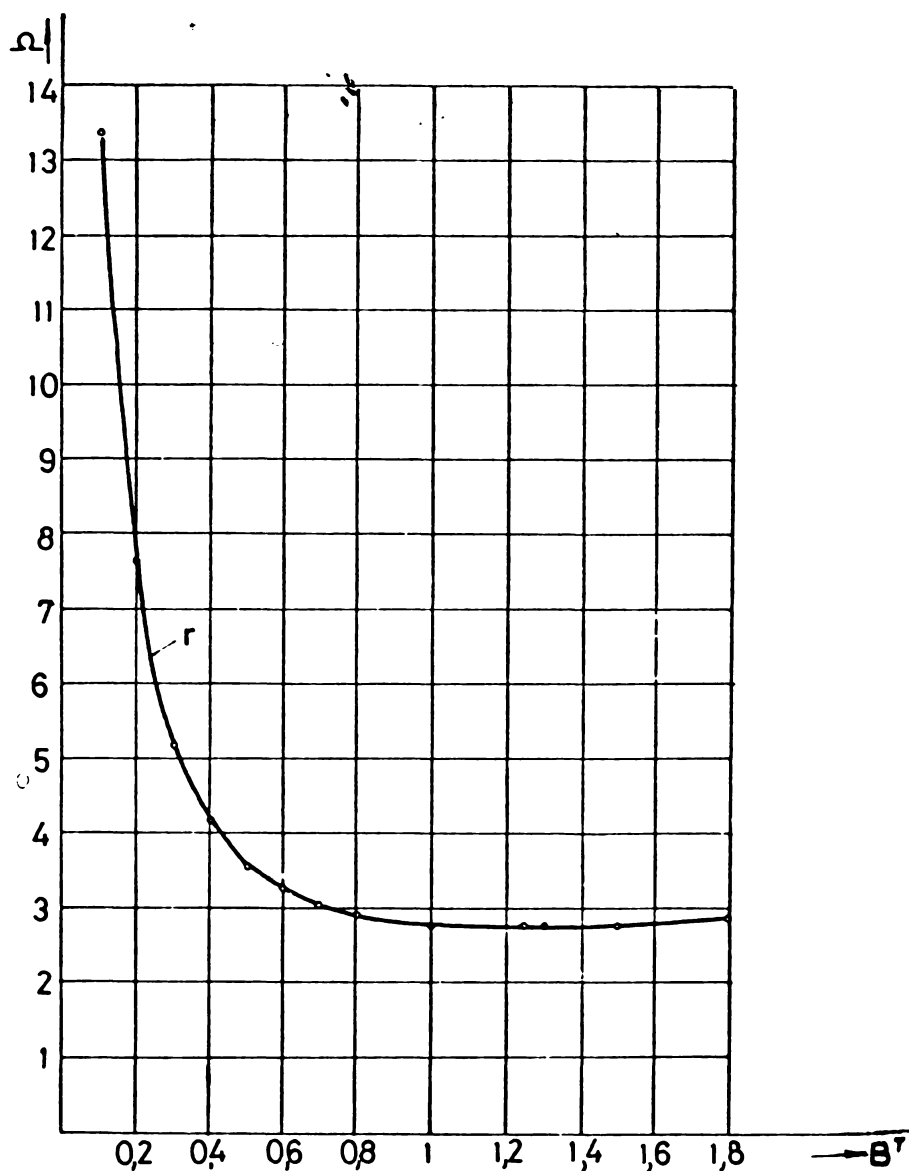
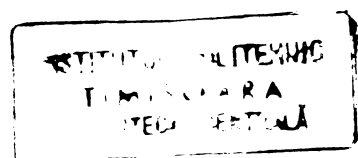


Fig.3.19 Variația rezistențelor r cu inducția magnetică în cazul unei scheme unidirecționale realizată cu o placă Hall fără tensiune de zero.



CAPITOLUL 4

UNELE PROBLEME DE CIMP IN LEGATURA CU COMPORTAREA GENERATORULUI HALL CA ELEMENT DE CIRCUIT.

4.1. Aspecte generale

Comportarea generatorului Hall ca element de circuit este determinată în ultimă instanță de câmpul electric din placa Hall, iar cunoașterea parametrilor cuadripolari ar presupune de fapt rezolvarea unor probleme de câmp.

Se precizează însă faptul că rezolvarea problemelor de câmp este dependentă atât de configurația plăcii semiconductoare și a electrozilor, cât și de regimul de funcționare al generatorului Hall. Multe dintre probleme se rezolvă considerînd generatorul Hall în regimuri particulare, cum este și regimul în gol. Se pot menționa în acest sens următoarele: determinarea factorului de creștere al rezistenței electrice a plăcii Hall în prezența câmpului magnetic, determinarea factorului de corecție al tensiunii Hall, care arată de câte ori este mai mică tensiunea Hall pentru placa Hall considerată față de tensiunea Hall corespunzătoare unei plăci de lungime infinită. Cunoașterea acestor două mărimi presupune deci determinarea parametrilor cuadripolari R_{11} și R_{21} . De asemenea tot din considerarea regimului de funcționare în gol al generatorului Hall se poate obține variația potențialului în lungul fețelor neacoperite de electrozi, în scopul realizării unor elemente de circuit unidirecționale. (punctele 4.2.1 și 4.3.3)

Referitor la rezolvarea problemelor de câmp în funcție de configurația plăcii semiconductoare și a electrozilor, deci referitor la modificarea spectrului electric din plăcile semiconductoare în prezența câmpului magnetic, se pot menționa

următoarele situații:

- modificarea spectrului câmpului electric, spectrul densității de curent fiind neschimbat.

- modificarea spectrului densității curentului electric, spectrul câmpului electric rămânând neschimbat.

- modificarea simultană a spectrului câmpului electric și spectrului densității curentului electric.

Primul caz se referă la plăcile Hall cu electrozi punctiformi și plăcile de lungime infinită. Al doilea caz se referă la plăcile semiconductoare cuprinse în întregime între electrozi. La plăcile Hall întâlnite în dispozitivele tehnice, a căror frontieră este formată atât din electrozi metalici de dimensiuni finite cât și din fețe libere, se modifică atât spectrul câmpului electric cât și spectrul densității curentului electric, problema rezolvării câmpului electric fiind suficient de complexă și dificilă.

Rezolvarea problemelor de câmp are la bază legea conducției electrice, care într-un punct din placa semiconductoare în prezența câmpului magnetic pentru cele mai multe probleme întâlnite în tehnică se scrie cu suficientă exactitate în forma [53]

$$\vec{J} = \vec{E} + C_H \cdot \vec{J} \times \vec{B} \quad (4.1)$$

Este evidentă necesitatea cunoașterii parametrilor fizici ai materialului semiconductor și anume: coeficientul Hall $C_H(B)$ și conductivitatea electrică $\sigma(B)$.

În cele ce urmează se fac următoarele ipoteze, de altfel uzuale în studiul efectelor galvanomagnetice:

- materialul semiconductor este omogen, liniar și izotrop
- placa semiconductoare are grosime constantă și foarte mică pentru a se considera câmpul plan-paralel.

- electrozii au conductivitate electrică infinită
- placa semiconductoare se află într-un câmp magnetic uniform de inducție magnetică \bar{B} perpendiculară pe suprafața plăcii.
- se consideră regimul staționar pentru mărimile de comandă (curentul de comandă I_1 și inducția magnetică \bar{B}), în care caz câmpul electric din placa Hall este laplacian.

În ipoteza unui câmp laplacian și plan-paralel metodele mai des folosite în studiu sînt: metoda reprezentării conforme, metoda modelării electrocinetice și metode bazate pe rezolvarea ecuației lui Laplace scrisă sub forma cu diferențe finite. Alegerea uneia din aceste metode depinde de cazul considerat.

Metoda reprezentărilor conforme a fost folosită în literatura de specialitate pentru rezolvarea problemelor de câmp în special la plăcile Hall dreptunghiulare [155, 99, 100, 66, 32, 68, 69, 129]. Analizarea mai amănunțită a plăcilor Hall dreptunghiulare este justificată prin faptul că în practică plăcile Hall cele mai folosite sînt de această formă. Metoda reprezentărilor conforme se poate însă aplica în general la plăcile cu contur poligonal, întrucît în acest caz funcțiile de reprezentare conformă se stabilesc cu ajutorul teoremei lui Christoffel-Schwarz. Folosirea metodei reprezentărilor conforme are avantajul că permite determinarea unor relații de calcul generale, care pot fi apoi particularizate în scopul soluționării optime a problemelor puse. Această metodă însă nu se poate aplica la plăcile Hall de formă oarecare.

În cazul plăcilor semiconductoare de formă oarecare este potrivită pentru studiu metoda modelizării electrocinetice [9, 127, 128, 141, 143, 144], care permite să se aplice principiul

reprezentării conforme prin determinarea pe cale experimentală a unor familii de curbe în domeniile care corespund reprezentării conforme, eliminându-se astfel necesitatea cunoașterii explicite a funcțiilor de reprezentare conformă. Metoda modelizării electrocinetice nu permite însă stabilirea unor relații de calcul generale, aplicându-se separat pentru fiecare caz.

Din metodele bazate pe rezolvarea ecuației lui Laplace în forma cu diferențe finite, este cunoscută metoda de iterație sau relaxare care rezolvă ecuația lui Laplace în forma cu diferențe finite prin calcul numeric cu ajutorul calculatoarelor electronice [112, 63, 65], precum și o metodă experimentală prin care ecuația cu diferențe finite se modelează prin rețele electrice numite rețele analizoare [111, 17, 6, 7].

Studiul problemelor legate de câmpul electric din plăcile Hall se referă în primul rând la cunoașterea următoarelor mărimi: factorul de creștere al rezistenței electrice a plăcii Hall în prezența câmpului magnetic și factorul de corecție al tensiunii Hall. Cele două mărimi depind atât de unghiul Hall dintre vectorii \vec{E} și \vec{J} cât și de geometria plăcii.

Referitor la determinarea celor două mărimi, în cazul plăcilor Hall dreptunghiulare cu electrozi de comandă lipiți pe întreaga lățime, pe bază de calcul fără să fie necesară trasarea prealabilă a spectrului câmpului electric, stadiul actual în literatura de specialitate este următorul: pentru factorul de creștere al rezistenței electrice se determină soluția exactă [69], însă pentru factorul tensiunii Hall rezolvarea se face numai prin metode de aproximare [69].

În lucrare la punctul 4.3.4 se dă soluția exactă pentru factorul tensiunii Hall indiferent de poziția electrozilor Hall

- față de electrozii de comandă. Desigur că aceasta presupune determinarea exactă a variației potențialului electric în lungul fețelor neacoperite de electrozi, problemă importantă și din punctul de vedere al realizării unor elemente de circuit unidirecționale. (punctul 4.3.3)

În continuare se prezintă unele rezultate obținute de autor, în legătură cu rezolvarea unor probleme de câmp la plăcile Hall, prin aplicarea metodei modelizării electrocinetice (punctul 4.2) și metodei reprezentărilor conforme (punctul 4.3)

4.2. Aplicarea metodei modelizării electrocinetice.

4.2.1. Plăci de formă oarecare și dreptunghiulare

Metoda se bazează pe principiul reprezentărilor conforme, prin care câmpul dintr-un domeniu mărginit de un contur cu condiții pe frontieră date se studiază pe un domeniu echivalent mai simplu, cu aceleași condiții de frontieră. [127, 128, 141, 142, 143, 144]. Prin modelizare electrocinetică se determină experimental familiile de curbe din domeniile care corespund reprezentării conforme. Aceste curbe se trasează pe modele din hîrtie electroconductoare în regim electrocinetic, deci în absența câmpului magnetic. Cunoscînd cele două familii de curbe se poate trasa grafic spectrul câmpului electric din placa Hall.

În fig.4.1a s-a reprezentat o placă Hall de o formă oarecare, avînd electrozii de comandă de lungime finită și electrozii Hall punctiformi. Se consideră cunoscuți parametrii fizici ai materialului semiconductor: coeficientul Hall C_H și rezistivitatea electrică a materialului semiconductor ρ . În planul complex $z = x + jy$ placa considerată are frontiera alcătuită din două linii echipotențiale care corespund electrozilor de comandă și două linii ale câmpului densității curentului

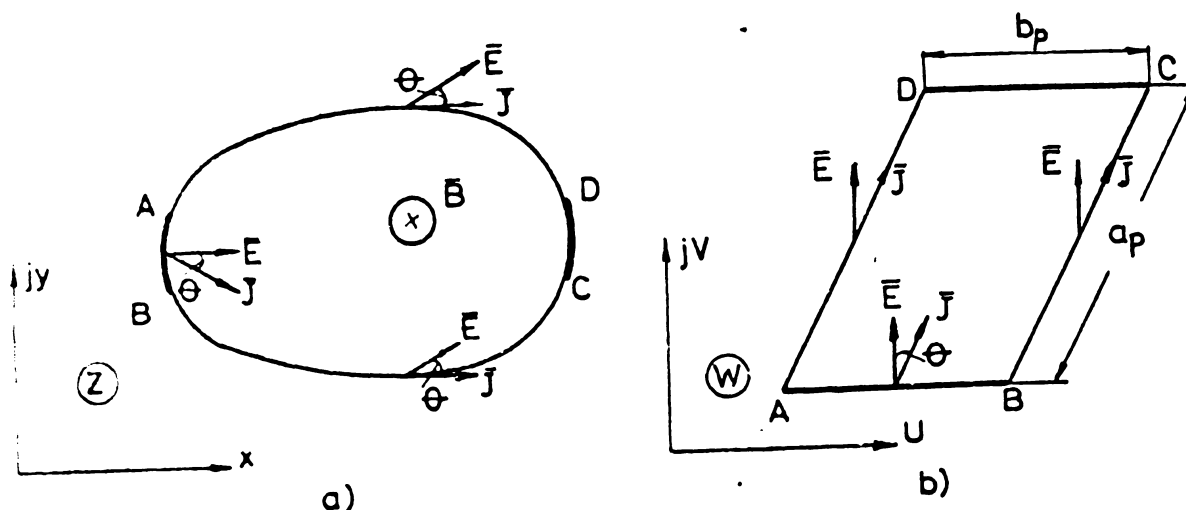


Fig.4.1 Reprezentarea conformă a unei plăci de formă oarecare
 a - planul variabilei independente z
 b - planul w

electric care corespund fețelor libere.

În fig.4.1 s-au reprezentat și condițiile pe suprafețele de frontieră ale domeniului pentru vectorii \vec{E} și \vec{J} în prezența unui câmp magnetic de inducție \vec{B} perpendiculară pe suprafața plăcii cu sensul indicat în figură. Astfel vectorul \vec{E} este perpendicular pe suprafețele electrozilor de comandă, iar vectorul \vec{J} este tangent la fețele libere care sînt linii ale cîmpului densității curentului electric \vec{J} . Între vectorii \vec{E} și \vec{J} în orice punct din placă există un unghi θ , numit unghi Hall, definit pe baza relației: $\operatorname{tg} \theta = C_H \sigma B$, în care σ este conductivitatea electrică.

Avînd în vedere principiul metodei reprezentărilor conforme, domeniul plăcii Hall din planul Z cu electrozi de comandă de o lungime oarecare, deci cu patru puncte pe frontieră se poate reprezenta conform pe un alt plan complex $w = U + jV$ printr-un paralelogram numit în literatură „paralelogramul Hall”, cu aceleași condiții pe frontieră pentru vectorii \vec{E} și \vec{J} . Dacă în noul plan complex se consideră $U = \text{const.}$ rezultă liniile cîmpului electric, iar dacă se consideră $V = \text{const.}$, rezultă liniile echipotențiale. Pe baza relației: $\operatorname{tg} \theta = C_H \sigma B$ și proprietății conservării

unghiurilor la reprezentarea conformă, liniile curentului electric sînt drepte înclinate cu unghiul θ față de axa imaginară. Într-adevăr s-a obținut în planul W un spectru electric foarte simplu.

Pentru o anumită valoare a inducției magnetice, deci pentru un anumit unghi Hall θ , paralelogramul Hall este determinat dacă se cunoaște cîtul dintre laturile sale: $\lambda_p = \frac{a_p}{b_p}$. Acest cît se determină cu ușurință experimental (prin modelizare electrocinetică) dacă se ține seama că domeniile care corespund reprezentării conforme au aceeași rezistență electrică. Se precizează faptul că paralelogramul Hall rezultă ca în fig.4.1.b pentru electrozi Hall punctiformi. În cazul electrozilor Hall de dimensiuni finite conturul paralelogramului se complică. De altfel pentru problemele care se vor prezenta în continuare, interesează cazul electrozilor Hall punctiformi.

Pentru o placă Hall avînd o formă oarecare, în fig.4.2 s-a realizat din hîrtie electroconductoare modelul plăcii Hall, iar în fig.4.3 modelul paralelogramului Hall pentru un unghi Hall $\theta = 20^\circ$ și un anumit sens al inducției magnetice.

Experimental s-au trasat în cele două modele într-un regim electrocinetic, în absența cîmpului magnetic, liniile echipotențiale $V' = \text{const}$. Cunoșcînd în paralelogramul Hall spectrul liniilor echipotențiale în prezența inducției magnetice ($V = \text{const}$), pe baza corespondenței dintre familiile de curbe din cele două domenii se pot trasa liniile echipotențiale în modelul plăcii Hall în prezența cîmpului magnetic, pentru sensul considerat al inducției magnetice(fig.4.4).

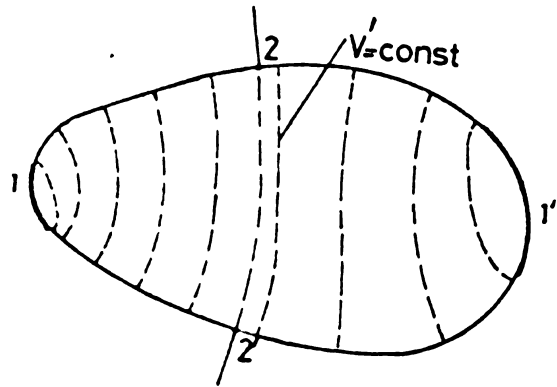


Fig.4.2 Placă Hall de formă oarecare cu electrozi Hall 2-2' punctiformi

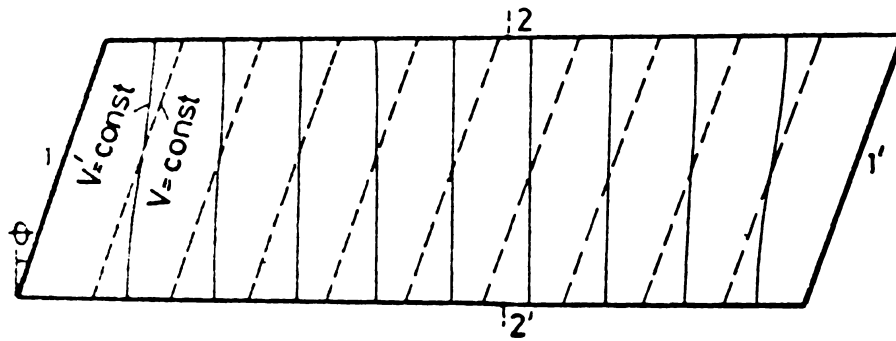


Fig.4.3 Modelul paralelogramului Hall corespunzător plăcii Hall din fig.4.2 la unghiul Hall $\theta = 20^\circ$

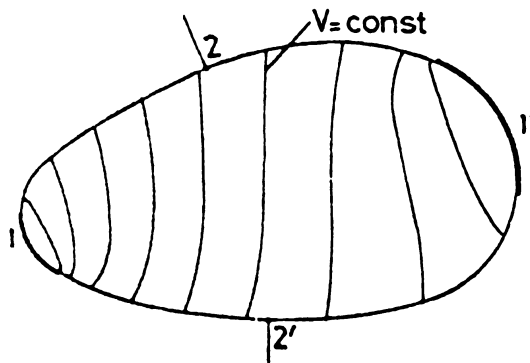


Fig.4.4 Liniiile echipotențiale ($V = \text{const.}$) în placa Hall, la $\theta = 20^\circ$.

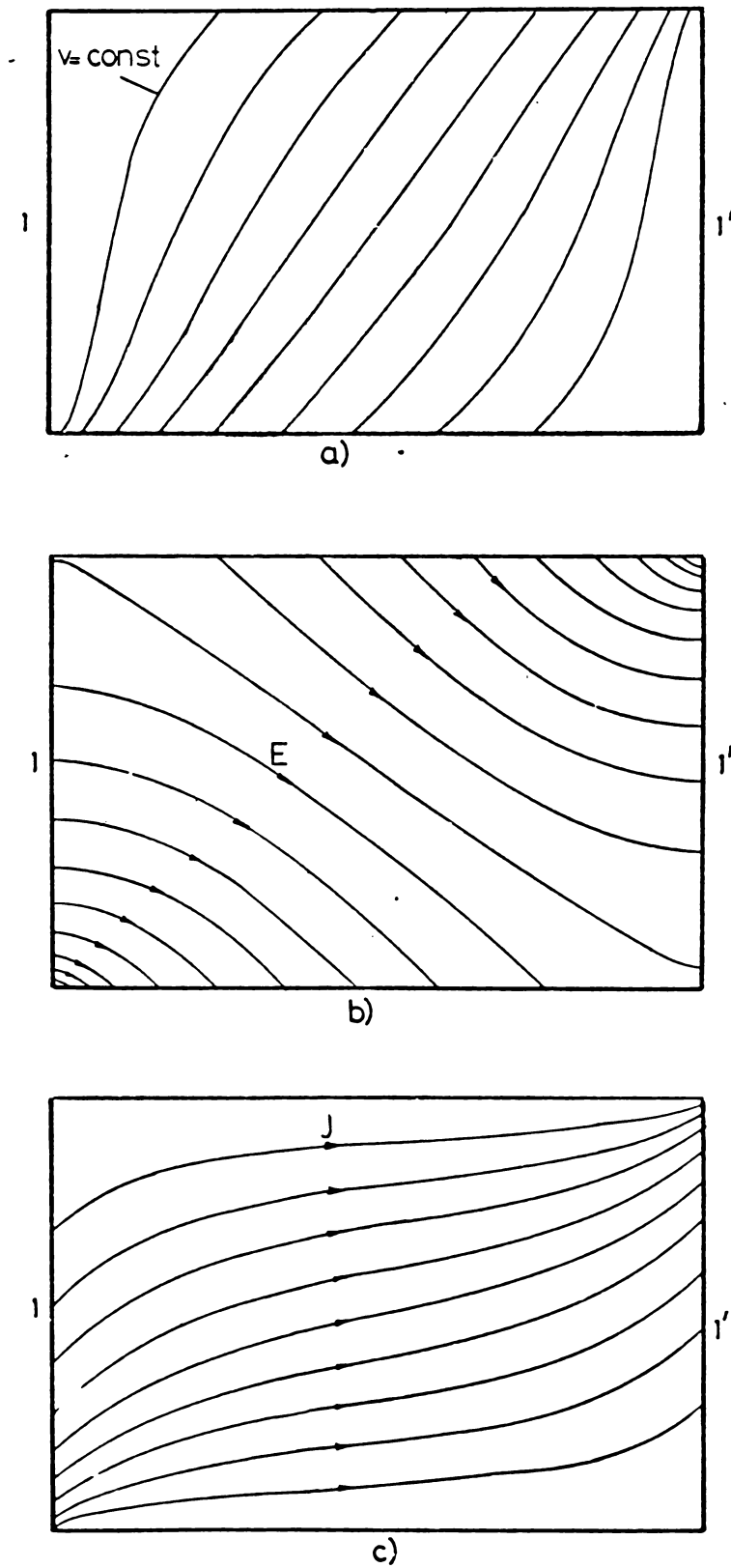


Fig.4.6. Spectrul electric din placa Hall dreptunghiulară avînd $\lambda = 1,5$, la $\theta = 45^\circ$
a)- liniile echipotențiale; b)- liniile intensității cîmpului electric; c)- liniile densității de curent.

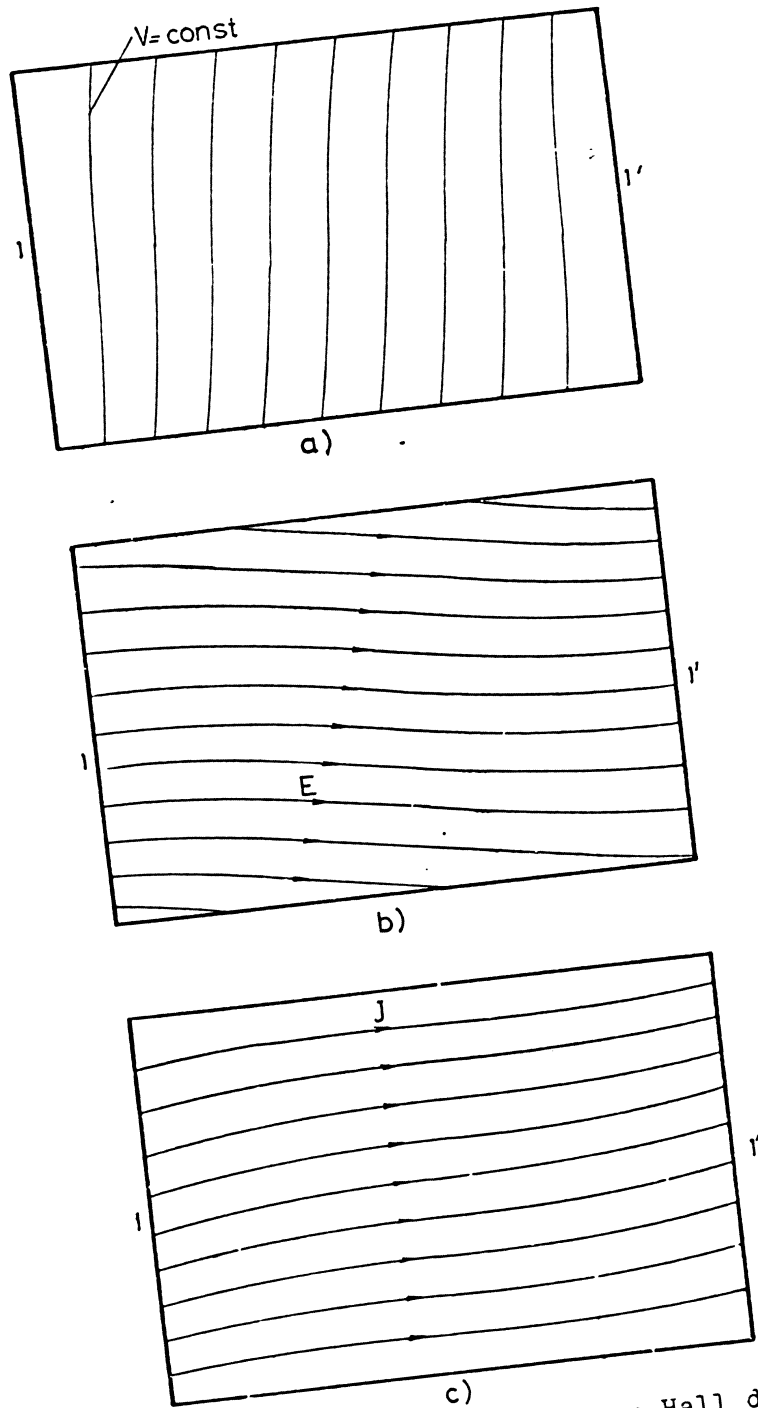


Fig.4.7. Spectrul electric din placa Hall dreptunghiulară avînd $\lambda = 1,5$, la $\theta = 10^\circ$
a)- liniile echipotențiale; b)- liniile intensității cîmpului electric; c)-liniile densității de curent.

β. Metoda modelizării electrocinetice s-a folosit și pentru o placă Hall dreptunghiulară pentru a determina variația potențialului în lungul fețelor libere în scopul verificării soluțiilor analitice obținute prin metoda reprezentărilor conforme la punctul 4.3.3.

Astfel, pentru o placă Hall dreptunghiulară cu electrozi Hall punctiformi și avînd raportul laturilor $\lambda = \frac{a}{b} = 1,5$ la unghiul Hall $\theta = \frac{\pi}{4}$ s-a stabilit experimental raportul laturilor paralelogramului Hall $\lambda_p = \frac{a_p}{b_p} = 1,4$. Pe modelul avînd conturul paralelogramului Hall s-au determinat experimental în regim electrocinetic liniile echipotențiale $V' = \text{const.}$ și familia de linii ortogonale acestora (fig.4.5).

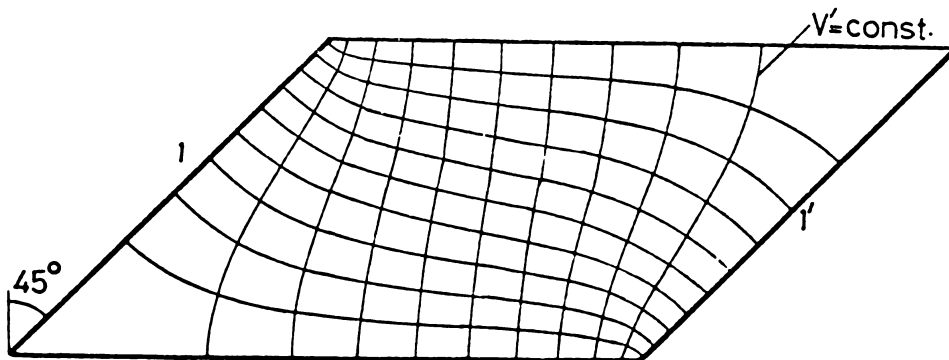


Fig.4.5 Familiile de curbe ortogonale determinate pe cale experimentală pentru modelul paralelogramului Hall, corespunzător unei plăci Hall dreptunghiulare cu $\lambda = 1,5$, la $\theta = \pi/4$.

În fig.4.6 a,b,c s-a trasat spectrul liniilor echipotențiale, liniilor intensității câmpului electric și liniilor densității de curent. Pentru aceeași placă Hall la $\theta = 10^\circ$ s-a determinat spectrul electric reprezentat în fig.4.7 a,b,c. Se constată că la unghiuri Hall mai mici de formația spectrului electric este mai mică, iar densitatea de curent \bar{J} este mai uniform repartizată la suprafața electrozilor de comandă.

4.2.2. Componentele rezistentelor de transfer în gol deduse din spectrul de câmp.

În cele ce urmează se arată că, cele două componente din rezistențele de transfer în gol se identifică și în spectrul câmpului electric din placa Hall. Pentru exemplificare s-a considerat cazul unei plăci Hall dreptunghiulare cu tensiune de zero, avînd raportul laturilor $\lambda = \frac{a}{b} = 1,5$ (fig.4.8)

În fig.4.8 s-au reprezentat liniile echipotențiale în absența câmpului magnetic și poziția electrozilor Hall 2 și 2'

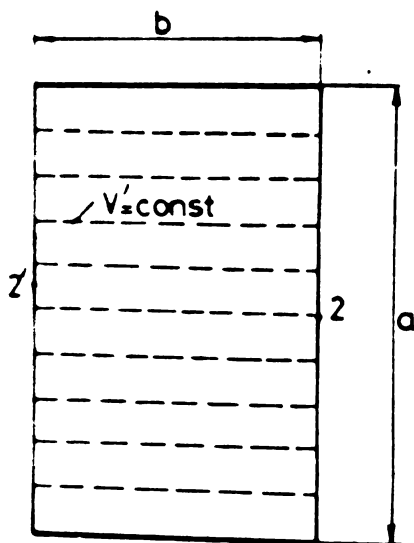


Fig.4.8 Liniile echipotențiale în absența câmpului magnetic într-o placă Hall.

În fig.4.9 și 4.10 s-a reprezentat paralelogramul Hall corespunzător unui unghi Hall $\theta = \frac{\pi}{4}$ obținut prin mode-

lizare electrocinetică pentru cele două senzori ale inducției magnetice și avînd raportul laturilor $\lambda_p = \frac{a_p}{b_p} = 1,4$

Intr-un regim electrocinetic în absența câmpului magnetic s-au trasat liniile echipotențiale ($V = \text{const.}$), precizîndu-se poziția punctelor 2 și 2' care corespund electrozilor Hall.

Fînînd seama că liniile echipotențiale în prezența câmpului magnetic în modelul paralelogramului Hall sînt dreptele paralele cu electrozii de comandă ($V = \text{const.}$), componenta R_b din rezistența de transfer în gol care corespunde tensiunii Hall se exprimă prin relația cunoscută [142]

$$R_b = \frac{1}{\sqrt{(B)h \cdot \cos \theta}} \cdot \frac{m}{b_p} \quad (4.2)$$

în care h este grosimea plăcii, iar $m = \hbar B = \hbar^0 B^0$.

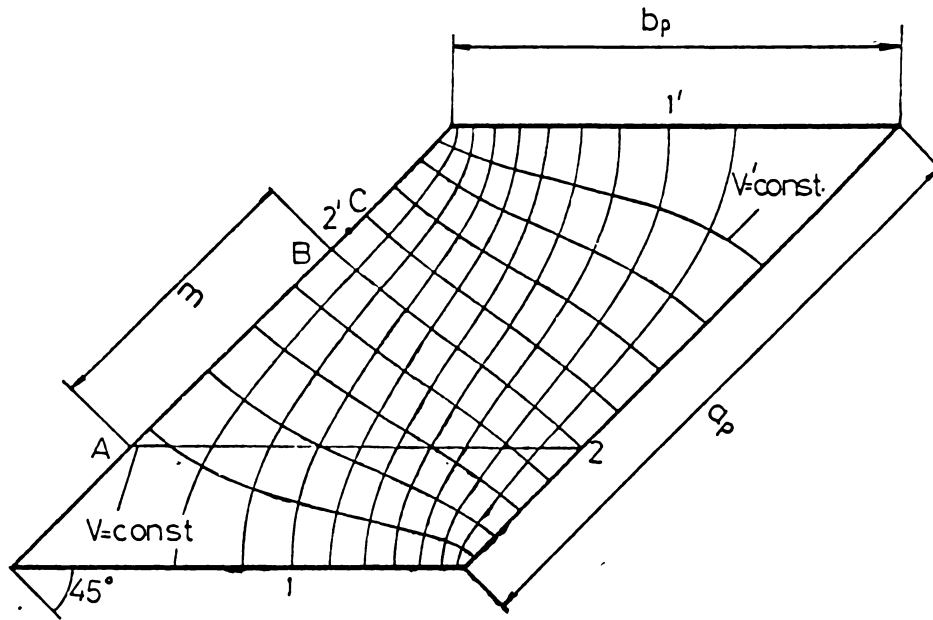


Fig.4.9. Identificarea celor două componente din rezistențele de transfer în gol în spectrul de câmp, pentru sensul inducției magnetice (+B).

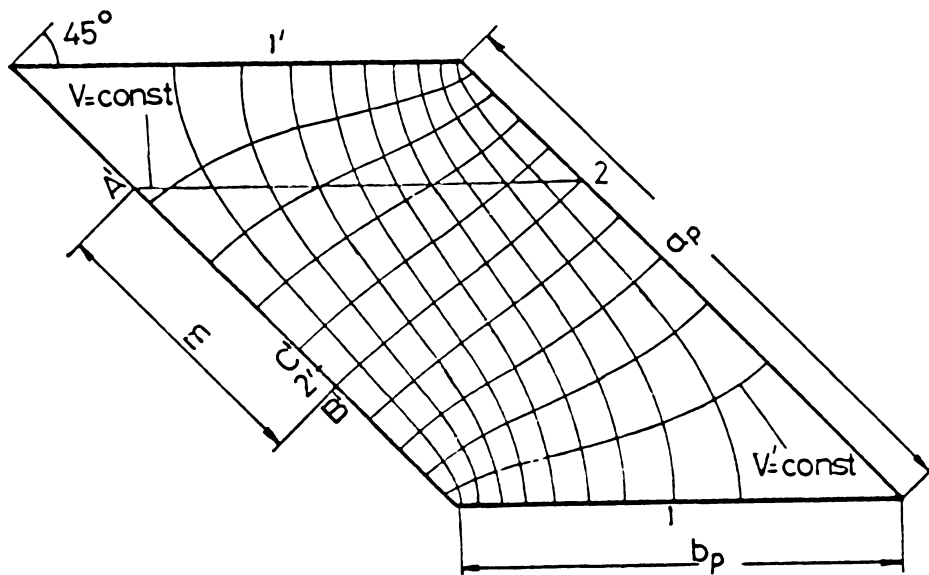


Fig.4.10. Identificarea celor două componente din rezistențele de transfer în gol în spectrul de câmp, pentru sensul inducției magnetice (-B).

Se observă din spectrul electric trasat în paralelogramul Hall(fig.4.9) că segmentul $n = \overline{B'2'}$ corespunde tensiunii de zero, deci componentei U_a din tensiunea de ieșire în gol a generatorului Hall.

Dacă U_1 este tensiunea aplicată electrozilor de comandă, iar ν - numărul liniilor echipotențiale ($V' = \text{const}$) se poate scrie

$$\frac{U_1}{(\nu + 1)U_a} = \frac{l}{n}$$

în care segmentul $l = \overline{BC}$. Se obține deci

$$\frac{R_{11}}{(\nu + 1)R_a} = \frac{l}{n}$$

Rezultă pentru componenta R_a oglindită în câmpul din paralelogramul Hall expresia

$$R_a(+B) = \frac{1}{\sigma(B) \cdot h \cos \theta} \cdot \frac{a_p}{b_p} \cdot \frac{1}{\nu + 1} \cdot \frac{n}{l} \quad (4.3)$$

în care s-a ținut seama de relația cunoscută pentru parametrul R_{11} și anume [142]

$$R_{11} = \frac{1}{\sigma(B) \cdot h \cos \theta} \cdot \lambda_p$$

Dacă ne referim la paralelogramul Hall din fig.4.10 pentru componenta R_a se obține

$$R_a(-B) = \frac{1}{\sigma(B) \cdot h \cos \theta} \cdot \frac{a_p}{b_p} \cdot \frac{1}{\nu + 1} \cdot \frac{n'}{l'} \quad (4.4)$$

în care: $n' = \overline{2'B'}$ și $l' = \overline{B'C'}$

Este evidentă egalitatea

$$\frac{n}{l} = \frac{n'}{l'}$$

Se remarcă faptul că în spectrul electric din fig.4.10 componenta R_b intervine în tensiunea de ieșire cu semn schimbat, scăzându-se din componenta R_a , față de spectrul din

fig.4.9 în care cele două componente se însumează.

Valabilitatea relațiilor : $R_a(B) = R_a(-B)$ și $R_b(B) = -R_b(-B)$ este verificată și în spectrul cîmpului electric.

Pentru rezistențele de transfer în gol exprimate în funcție de mărimi determinate din modelul paralelogramului Hall se obțin deci expresiile

$$R_{21}(B) = \frac{1}{\sqrt{(B)h \cos \theta}} \cdot \frac{1}{b_p} \left(\frac{a_p}{\gamma+1} \cdot \frac{n}{l} + m \right) \quad (4.5)$$

$$R_{12}(B) = R_{21}(-B) = \frac{1}{\sqrt{(B) \cdot h \cos \theta}} \cdot \frac{1}{b_p} \left(\frac{a_p}{\gamma+1} \cdot \frac{n}{l} - m \right) \quad (4.6)$$

4.3. Aplicarea metodei reprezentărilor conforme.

4.3.1 Unele considerații generale

Metoda reprezentărilor conforme permite studierea cîmpului electric laplacian dintr-un domeniu mărginit de un contur pe care se cunosc condițiile de frontieră, cu ajutorul unui cîmp uniform stabilit într-un domeniu echivalent cu aceleași condiții pe frontieră. Metoda este bine cunoscută în literatură [1, 2, 88, 142].

Reprezentarea conformă se face cu ajutorul unei funcții analitice $W(z)$, care este o funcție de variabilă complexă $z = x + j y$, avînd forma

$$W(z) = U(x,y) + jV(x,y)$$

Se știe că la o funcție analitică partea reală și partea imaginară satisfac ecuația lui Laplace, iar curbele $U(x,y) = \text{const.}$ și $V(x,y) = \text{const.}$, în planul variabilei independente z , reprezintă familii de curbe ortogonale. Dacă se consideră că liniile echipotențiale corespund curbelor $V(x,y) = \text{const.}$, atunci liniile de cîmp vor corespunde curbelor $U(x,y) = \text{const.}$, iar intensitatea cîmpului electric este

dată de relația

$$\underline{E} = \left(j \frac{dW}{dz} \right)^* \quad (4.7)$$

asteriscul arătînd că mărimea din paranteză este complex conjugată

Se consideră cazul plăcilor Hall dreptunghiulare avînd raportul laturilor $\lambda = \frac{a}{b}$, cu electrozi de comandă pe toată lățimea b a plăcii și electrozi Hall punctiformi, care sînt și cele mai des folosite în practică.

În fig.4.11a s-a considerat placa Hall în planul complex al variabilei independente z . Dacă se aplică electrozilor de comandă tensiunea U_1 , în cazul unui cîmp plan-paralel stabilit în placă, s-au reprezentat în fig.4.11 și condițiile pe frontieră referitoare la intensitatea cîmpului electric \bar{E} și densitatea de curent \bar{J} pentru o anumită inducție magnetică \bar{B} , deci pentru un anumit unghi Hall θ .

S-a ținut seama că suprafețele electrozilor de comandă sînt echipotențiale, iar fețele libere reprezintă linii ale densității de curent.

În acest caz condițiile de frontieră se scriu astfel

$$V(x,0) = U_1 \quad ; \quad V(x,a) = 0$$

$$- \begin{pmatrix} E_x \\ E_y \end{pmatrix}_{x=\pm \frac{b}{2}} = - \begin{pmatrix} \frac{\partial V}{\partial x} \\ \frac{\partial V}{\partial y} \end{pmatrix}_{x=\pm \frac{b}{2}} = \operatorname{tg} \theta \quad (4.8)$$

Interesează determinarea potențialului $V(\frac{b}{2}, y)$ și $V(-\frac{b}{2}, y)$ care satisface ecuația lui Laplace $\nabla^2 V = 0$ și condițiile de frontieră exprimate prin relațiile (4.8).

Pentru rezolvarea acestei probleme se folosește în afară de planul complex al variabilei independente z și planul complex

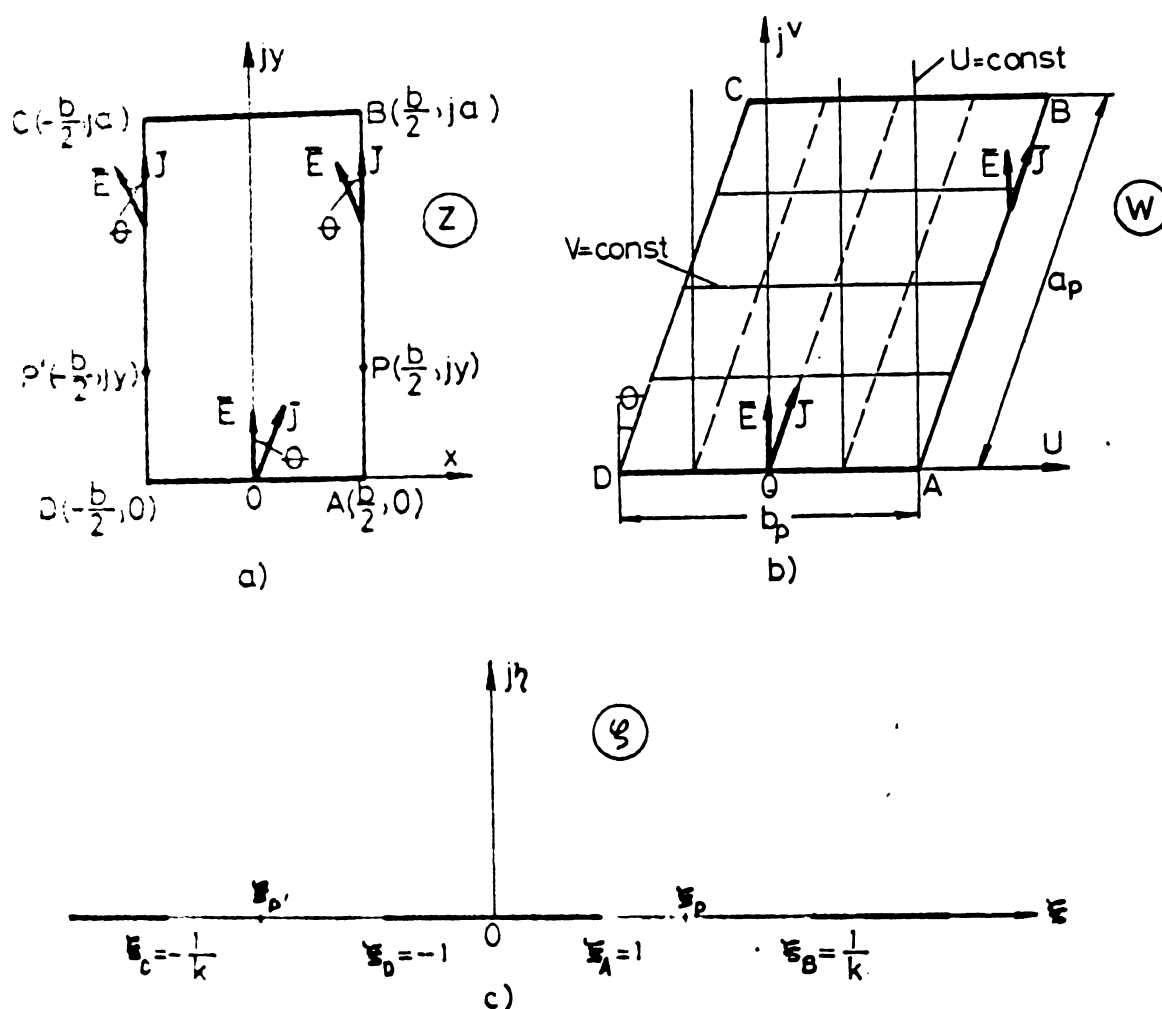


Fig.4.11 Reprezentarea conformă a plăcii Hall dreptunghiulare cu electrozi de comandă plini și electrozi Hall punctiformi; a - planul variabilei z ; b - planul W c - planul ξ .

al funcției de variabilă complexă $W(z)$, reprezentat în fig.4.11b, un plan complex intermediar $\xi = \xi + j\eta$, reprezentat în fig.4.11c.

Prin aplicarea teoremei lui Christoffel -Schwarz se obține funcția care transformă conform interiorul dreptunghiului din planul z pe semiplanul superior al planului ξ , cu următoarea formă [142]

$$\mathbf{z}(\xi) = C_1 k \int_0^\xi \frac{d\xi}{\sqrt{(1 - \xi^2)(1 - k^2 \xi^2)}} \quad (4.9)$$

Transformarea conformă s-a făcut astfel încît să existe o corespondență între punctele z_A, z_B, z_C, z_D și $\xi_A = 1, \xi_B = \frac{1}{k}$,

$\xi_C = -\frac{1}{k}$, $\xi_D = -1$, iar originile sistemelor de coordonate din cele două plane complexe sa coincidă. Din condițiile de corespondență se determină constantele C_1 și k . Se obține astfel

$$C_1 = \frac{b}{2} \cdot \frac{1}{k \cdot K(k)} \quad (4.10)$$

în care

$$K(k) = \int_0^1 \frac{d\xi}{\sqrt{(1-\xi^2)(1-k^2\xi^2)}}$$

este integrala eliptică completă de speța întâi și de modul k .

Pentru raportul laturilor plăcii Hall se obține expresia

$$\lambda = \frac{a}{b} = \frac{1}{2} \cdot \frac{K(k')}{K(k)} \quad (4.11)$$

în care $k' = \sqrt{1-k^2}$ este modulul complementar

Pe baza relației (4.11) care stabilește legătura dintre raportul laturilor plăcii Hall și modulul k care s-a introdus în planul ξ , s-a stabilit corespondența dintre contururile din cele două plane complexe z și ξ .

În planul complex $W = U + jV$ (fig.4.11b) placa Hall se reprezintă prin „paralelogramul Hall”, pentru aceleași condiții de frontieră obținându-se în acest plan un câmp electric uniform. Domeniul corespunzător interiorului paralelogramului din planul W se transformă conform în semiplanul superior al planului ξ cu ajutorul funcției [142]

$$W(\xi) = C_2 \int_0^{\xi} \frac{d\xi}{\left[(\xi-1)\left(\xi + \frac{1}{k}\right) \right]^{\frac{1}{2} - \frac{\theta}{\pi}} \cdot \left[(\xi+1)\left(\xi - \frac{1}{k}\right) \right]^{\frac{1}{2} + \frac{\theta}{\pi}}} \quad (4.12)$$

evident transformarea conformă s-a făcut pe baza corespondenței dintre punctele W_A, W_B, W_C, W_D și punctele $\xi_A, \xi_B, \xi_C, \xi_D$

Constanta C_2 se determină din expresia curentului de comandă i_1 scrisă în planul ξ și anume

$$i_1 = h \int_{-1}^1 J \cos \theta \cdot d\xi \quad (4.13)$$

h - fiind grosimea plăcii.

Dacă se ține seama de legea conducției electrice:

$J = \sigma(B) \cdot E \cos \theta$, curentul de comandă devine

$$i_1 = \sigma(B) \cdot h \cos^2 \theta \int_{-1}^1 E d\xi \quad (4.14)$$

Un rezultat important la rezolvarea unor probleme de câmp s-a obținut în [69] prin folosirea seriei hipergeometrice $F(\alpha; \beta; \gamma; z)$ definită prin expresia

$$F(\alpha; \beta; \gamma; z) = 1 + \frac{\alpha\beta}{\gamma} z + \frac{\alpha(\alpha+1)\beta(\beta+1)}{\gamma(\gamma+1) \cdot 1 \cdot 2} z^2 + \frac{\alpha(\alpha+1)(\alpha+2)\beta(\beta+1)(\beta+2)}{\gamma(\gamma+1)(\gamma+2) \cdot 1 \cdot 2 \cdot 3} z^3 + \dots \quad (4.15)$$

Astfel în [69] se obține pentru laturile paralelogramului hall din planul w (fig.4.11b) a_p și b_p , expresiile

$$a_p = \int_1^{1/k} \left[(\xi - 1) \left(\xi + \frac{1}{k} \right) \right]^{-\left(\frac{1}{2} - \frac{\theta}{\pi}\right)} \cdot \left[(\xi + 1) \left(\frac{1}{k} - \xi \right) \right]^{-\left(\frac{1}{2} + \frac{\theta}{\pi}\right)} \cdot d\xi = \frac{k}{1+k} \cdot \frac{\pi}{\cos \theta} \cdot F \left[\frac{1}{2} + \frac{\theta}{\pi}; \frac{1}{2} - \frac{\theta}{\pi}; 1; \left(\frac{1-k}{1+k} \right)^2 \right] \quad (4.16)$$

$$b_p = \int_{-1}^1 \left[(\xi - 1) \left(\xi + \frac{1}{k} \right) \right]^{-\left(\frac{1}{2} - \frac{\theta}{\pi}\right)} \cdot \left[(\xi + 1) \left(\frac{1}{k} - \xi \right) \right]^{-\left(\frac{1}{2} + \frac{\theta}{\pi}\right)} \cdot d\xi$$

$$= \frac{k}{1+k} \cdot \frac{\sqrt{\pi}}{\cos \theta} F \left[\frac{1}{2} + \frac{\theta}{\sqrt{\pi}} ; \frac{1}{2} - \frac{\theta}{\sqrt{\pi}} ; 1 ; \left(\frac{2\sqrt{k}}{1+k} \right)^2 \right] \quad (4.17)$$

Pe baza rel(4.7), (4.12) și (4.17) pentru curentul de comandă i_1 rezultă

$$i_1 = C_2 \sigma(B) \cdot h \cdot b_p \cdot \cos^2 \theta \quad (4.18)$$

Pe de altă parte, curentul de comandă i_1 se poate exprima în funcție de rezistența electrică a plăcii Hall în prezența cîmpului magnetic, $R(\lambda, \theta)$ și care este egală cu rezistența electrică a „paralelogramului Hall” din planul complex W (fig.4.11b), avînd în vedere că domeniile care corespund reprezentărilor conforme au aceeași rezistență electrică. Se obține

$$i_1 = \frac{U_1}{R(\lambda, \theta)} = \sigma(B) \cdot h \cdot \frac{b_p}{a_p} \cdot \cos \theta \cdot U_1 \quad (4.19)$$

În acest fel, constanta C_2 se determină din ultimele două relații și are următoarea valoare

$$C_2 = \frac{(1+k) U_1}{\pi k F \left[\frac{1}{2} + \frac{\theta}{\sqrt{\pi}} ; \frac{1}{2} - \frac{\theta}{\sqrt{\pi}} ; 1 ; \left(\frac{1-k}{1+k} \right)^2 \right]} \quad (4.20)$$

4.3.2. Relația de corespondență dintre punctele frontierelor neacoperite de electrozi situate în planele z și ξ .

α . Pentru a determina corespondența dintre punctele $P(\frac{b}{2}, jy)$ din planul z și abscisele corespunzătoare ξ_p din planul ξ se scrie rel.(4.9) pentru un punct oarecare P , obținîndu-se

$$y = C_1 k \int_1^{\xi_p} \frac{d\xi}{\sqrt{(\xi^2 - 1)(1 - k^2 \xi^2)}}$$

Tinând seama de rel.(4.10) se obține

$$y = \frac{b}{2} \cdot \frac{1}{k K(k)} \cdot I \quad (4.21)$$

sau

$$\frac{y}{a} = \frac{1}{2\lambda} \cdot \frac{1}{k K(k)} \cdot I \quad (4.22)$$

în care s-a făcut notația

$$I = \int_1^{\xi_p} \frac{d\xi}{\sqrt{(\xi^2 - 1) \left(\frac{1}{k^2} - \xi^2 \right)}} \quad (4.23)$$

Calculul integralei I exprimată prin rel(4.23) se face plecând de la integrala cunoscută [124]

$$\begin{aligned} & \int_{\beta}^u \frac{dx}{\sqrt{(\alpha - x)(x - \beta)(x - \gamma)(x - \delta)}} = \\ & = \frac{2}{\sqrt{(\alpha - \gamma)(\beta - \delta)}} F(\text{arc sin } A, B) \end{aligned} \quad (4.24)$$

pentru: $\delta < \gamma < \beta < \alpha$; $\alpha > u > \beta$

și în care:

$$A = \sqrt{\frac{(\alpha - \gamma)(u - \beta)}{(\alpha - \beta)(u - \gamma)}} ; \quad B = \sqrt{\frac{(\alpha - \beta)(\gamma - \delta)}{(\alpha - \gamma)(\beta - \delta)}}$$

$F(\text{arc sin } A, B)$ - fiind integrală eliptică de speța întâi.

Având în vedere inegalitățile impuse pentru integrala (4.24) se consideră

$$\alpha = \frac{1}{k} ; \beta = 1 ; \gamma = -1 ; \delta = -\frac{1}{k} ; u = \xi_p$$

Se obține

$$I = \int_1^{\xi_p} \frac{d\xi}{\sqrt{(\xi^2 - 1) \left(\frac{1}{k^2} - \xi^2 \right)}} =$$

$$= \frac{2k}{1+k} F \left(\operatorname{arc} \sin \sqrt{\frac{(1+k)(\xi_p-1)}{(1-k)(\xi_p+1)}}, \frac{1-k}{1+k} \right) \quad (4.25)$$

Cu ajutorul relațiilor (4.22) și (4.25) se determină relația de corespondență dintre punctele $P(\frac{b}{2}, jy)$ de pe fața liberă a plăcii din planul z și punctele de pe axa reală a planului ξ , în următoarea formă

$$\frac{y}{a} = \frac{1}{\lambda(1+k)} \cdot \frac{1}{K(k)} F \left(\operatorname{arc} \sin \sqrt{\frac{(1+k)(\xi_p-1)}{(1-k)(\xi_p+1)}}, \frac{1-k}{1+k} \right) \quad (4.26)$$

β . Determinarea corespondenței dintre punctele $P'(-\frac{b}{2}, jy)$ din planul z și absisele corespunzătoare ξ_p , din planul ξ se face prin scrierea rel.(4.9) pentru un punct oarecare P' , rezultînd

$$\frac{y}{a} = \frac{1}{2\lambda} \cdot \frac{1}{k K(k)} I' \quad (4.27)$$

în care

$$I' = \int_{\xi_{p'}}^{-1} \frac{d\xi}{\sqrt{(\xi^2-1)\left(\frac{1}{k^2}-\xi^2\right)}} \quad (4.28)$$

Rezolvarea integralei I' se face folosind următoarea integrală [124]

$$\int_u^{\sigma} \frac{dx}{\sqrt{(\alpha-x)(\beta-x)(\sigma-x)(x-\delta)}} =$$

$$= \frac{2}{\sqrt{(\alpha-\delta)(\beta-\delta)}} F(\operatorname{arc} \sin A', B') \quad (4.29)$$

pentru: $\delta < \sigma < \beta < \alpha$; $\delta < u < \sigma$

și în care:

$$A' = \sqrt{\frac{(\beta-\delta)(\sigma-u)}{(\sigma-\delta)(\beta-u)}} ; \quad B' = \sqrt{\frac{(\alpha-\beta)(\sigma-\delta)}{(\alpha-\sigma)(\beta-\delta)}}$$

Daca se consideră

$$\alpha = \frac{1}{k} ; \quad \beta = 1 \quad ; \quad \gamma = -1 \quad ; \quad \delta = -\frac{1}{k} \quad ; \quad u = \xi_{P'}$$

se obține

$$I' = \frac{2k}{1+k} F \left(\arcsin \sqrt{\frac{(1+k)(\xi_{P'}+1)}{(1-k)(\xi_{P'}-1)}} \right), \quad \frac{1-k}{1+k} \quad (4.30)$$

Pentru: $\xi_{P'} = -\xi_{P'}$, se obține

$$\int_{\xi_{P'}}^{-1} \frac{d\xi}{\sqrt{(\xi^2-1)\left(\frac{1}{k^2}-\xi^2\right)}} = \int_1^{\xi_{P'}} \frac{d\xi}{\sqrt{(\xi^2-1)\left(\frac{1}{k^2}-\xi^2\right)}}$$

Rezultă oă aceeași corespondență se găsește și între punctele $P' \left(-\frac{b}{2}, jy\right)$ din planul z și punctele $\xi_{P'}$ din planul ξ .

Stabilirea relației de corespondență(4.26) va permite în continuare determinarea soluțiilor exacte pentru unele mărimi care definesc comportarea generatorului Hall ca element de circuit, soluții necunoscute în literatura de specialitate. In acest sens se va determina variația potențialului pe fețele libere ale unei plăci Hall, rezultat care permite determinarea punctelor avînd același potențial, de pe cele două fețe libere ale plăcii, în scopul realizării elementelor de circuit unidirecționale, precum și determinarea exactă a factorului tensiunii Hall pentru orice poziție a electrozilor Hall considerați punctiformi.

4.3.3. Soluția exactă a potențialului pe fețele libere ale unei plăci Hall dreptunghiulare.

α. Calculul se efectuează în planul ξ în care intensitatea cîmpului electric se determină din relația

$$\underline{E} = \left(j \frac{dW}{d\xi} \right)^* \quad (4.31)$$

Tensiunea electrică între electrodul de comandă AD și

punctul P se determină ținând seama de rel.(4.12). Se obține

$$U_{AP} = \int_1^{\xi_P} R \cos \theta \cdot d\xi = C_2 \cos \theta \cdot I_1 \quad (4.32)$$

în care s-a notat prin I_1 următoarea integrală

$$I_1 = \int_1^{\xi_P} \left[(\xi - 1) \left(\xi + \frac{1}{k} \right) \right]^{-\left(\frac{1}{2} - \frac{\theta}{\mathcal{H}}\right)} \cdot \left[(\xi + 1) \left(\frac{1}{k} - \xi \right) \right]^{-\left(\frac{1}{2} + \frac{\theta}{\mathcal{H}}\right)} \cdot d\xi \quad (4.33)$$

Pentru calculul integralei I_1 se face substituția

$$u = \frac{(\xi - \xi_P)(1+k)}{k(1 - \xi_P)\left(\xi + \frac{1}{k}\right)} \quad (4.34)$$

din care rezultă

$$\xi = \frac{u(\xi_P - 1) - \xi_P(1+k)}{ku(1 - \xi_P) - (1+k)} \quad (4.35)$$

și

$$d\xi = \frac{(1 - \xi_P)(1+k)(1+k\xi_P)}{[ku(1 - \xi_P) - (1+k)]^2} du \quad (4.36)$$

Factorii din integrala (4.33) obțin următoarele expresii

$$\xi - 1 = \frac{(1+k)(1 - \xi_P)}{ku(1 - \xi_P) - (1+k)} (1-u)$$

$$\xi + \frac{1}{k} = - \frac{(1+k)(1+k\xi_P)}{k [ku(1 - \xi_P) - (1+k)]}$$

$$\xi + 1 = - \frac{(1+k)(1 + \xi_P)}{ku(1 - \xi_P) - (1+k)} \left[1 - \frac{(1-k)(\xi_P - 1)}{(1+k)(\xi_P + 1)} u \right]$$

$$\frac{1}{k} - \xi = - \frac{2k(\xi_P - 1)}{k[ku(1 - \xi_P) - (1+k)]} \left[u + \frac{(1+k)(1 - k\xi_P)}{2k(\xi_P - 1)} \right]$$

Integrala I_1 rezultă de următoarea formă

$$I_1 = kC \int_0^1 (1-u)^{-\left(\frac{1}{2} - \frac{\theta}{\mathcal{J}}\right)} \cdot (1 - zu)^{-\left(\frac{1}{2} + \frac{\theta}{\mathcal{J}}\right)} \cdot (u+a)^{-\left(\frac{1}{2} + \frac{\theta}{\mathcal{J}}\right)} \cdot du \quad (4.37)$$

în care :

$$C = (1+k\xi_P) \left[(1+k)(1+k\xi_P) \right]^{-\left(\frac{1}{2} - \frac{\theta}{\mathcal{J}}\right)} \cdot \left[2k(1+\xi_P) \right]^{-\left(\frac{1}{2} + \frac{\theta}{\mathcal{J}}\right)} \quad (4.38)$$

$$z = \frac{(1-k)(\xi_P - 1)}{(1+k)(\xi_P + 1)} \quad (4.39)$$

$$a = \frac{(1+k)(1 - k\xi_P)}{2k(\xi_P - 1)} \quad (4.40)$$

Factorul $(u + a)^{-\left(\frac{1}{2} + \frac{\theta}{\mathcal{J}}\right)}$ se dezvoltă în serie

Maclaurin astfel

$$\begin{aligned} (u+a)^{-\left(\frac{1}{2} + \frac{\theta}{\mathcal{J}}\right)} &= a^{-\left(\frac{1}{2} + \frac{\theta}{\mathcal{J}}\right)} - \frac{u}{1!} \left(\frac{1}{2} + \frac{\theta}{\mathcal{J}}\right) a^{-\left(\frac{3}{2} + \frac{\theta}{\mathcal{J}}\right)} + \\ &+ \frac{u^2}{2!} \left(\frac{1}{2} + \frac{\theta}{\mathcal{J}}\right) \left(\frac{3}{2} + \frac{\theta}{\mathcal{J}}\right) a^{-\left(\frac{5}{2} + \frac{\theta}{\mathcal{J}}\right)} - \\ &- \frac{u^3}{3!} \left(\frac{1}{2} + \frac{\theta}{\mathcal{J}}\right) \left(\frac{3}{2} + \frac{\theta}{\mathcal{J}}\right) \left(\frac{5}{2} + \frac{\theta}{\mathcal{J}}\right) a^{-\left(\frac{7}{2} + \frac{\theta}{\mathcal{J}}\right)} + \dots \end{aligned}$$

sau

$$(u + a)^{-\left(\frac{1}{2} + \frac{\theta}{\sqrt{\pi}}\right)} = a^{-\left(\frac{1}{2} + \frac{\theta}{\sqrt{\pi}}\right)} + (-1)^n \frac{u^n}{n!} \prod_{j=1}^n \left(\frac{2j-1}{2} + \frac{\theta}{\sqrt{\pi}}\right) \cdot a^{-\left(\frac{1+2n}{2} + \frac{\theta}{\sqrt{\pi}}\right)}$$

$$n \in \mathbb{N} \quad (4.41)$$

Dezvoltarea în serie dată de (4.41) permite descompunerea integralei I_1 într-o sumă de integrale de forma

$$\int_0^1 t^{\beta-1} \cdot (1-t)^{\tau-\beta-1} \cdot (1-zt)^{-\alpha} dt$$

care are următoarea valoare [124]

$$\int_0^1 t^{\beta-1} \cdot (1-t)^{\tau-\beta-1} \cdot (1-zt)^{-\alpha} dt = \beta(\beta, \tau - \beta) \cdot F(\alpha; \beta; \tau; z) =$$

$$= \frac{\Gamma(\beta) \cdot \Gamma(\tau - \beta)}{\Gamma(\tau)} \cdot F(\alpha; \beta; \tau; z) \quad (4.42)$$

În (4.42) s-a ținut seama de relația funcțională [124] între funcțiile beta și gama.

$$\beta(x, y) = \frac{\Gamma(x) \cdot \Gamma(y)}{\Gamma(x + y)}$$

Din cele de mai sus rezultă că integrala I_1 exprimată prin rel.(4.37) poate fi scrisă în forma

$$I_1 = kC (I_{11} + I_{12} + I_{13} + I_{14} + \dots) \quad (4.43)$$

În cele ce urmează se calculează fiecare din integralele componente din rel.(4.43)

$$a) I_{11} = a^{-\left(\frac{1}{2} + \frac{\theta}{\sqrt{\pi}}\right)} \int_0^1 u^0 \cdot (1-u)^{-\left(\frac{1}{2} - \frac{\theta}{\sqrt{\pi}}\right)} \cdot (1-zu)^{-\left(\frac{1}{2} + \frac{\theta}{\sqrt{\pi}}\right)} \cdot du$$

Rezultă:

$$\alpha = \frac{1}{2} + \frac{\theta}{\mathcal{J}} ; \quad \beta = 1 \quad ; \quad \gamma = \frac{3}{2} + \frac{\theta}{\mathcal{J}}$$

Deci: $\Gamma(\beta) = 1$

$$\Gamma(\gamma - \beta) = \Gamma\left(\frac{1}{2} + \frac{\theta}{\mathcal{J}}\right)$$

$$\Gamma(\gamma) = \Gamma\left(\frac{3}{2} + \frac{\theta}{\mathcal{J}}\right) = \left(\frac{1}{2} + \frac{\theta}{\mathcal{J}}\right) \Gamma\left(\frac{1}{2} + \frac{\theta}{\mathcal{J}}\right)$$

La scrierea ultimei relații s-a ținut seama de relația cunoscută [2] : $\Gamma(x + 1) = x \Gamma(x)$

Utilizând integrala (4.42), pentru integrala I_{11} se obține deci următoarea soluție

$$I_{11} = \frac{a^{-\left(\frac{1}{2} + \frac{\theta}{\mathcal{J}}\right)}}{\frac{1}{2} + \frac{\theta}{\mathcal{J}}} F\left(\frac{1}{2} + \frac{\theta}{\mathcal{J}} ; 1 ; \frac{3}{2} + \frac{\theta}{\mathcal{J}} ; z\right)$$

$$b) I_{12} = -\left(\frac{1}{2} + \frac{\theta}{\mathcal{J}}\right) a^{-\left(\frac{3}{2} + \frac{\theta}{\mathcal{J}}\right)} \int_0^1 u(1-u)^{-\left(\frac{1}{2} - \frac{\theta}{\mathcal{J}}\right)} \cdot (1-zu)^{-\left(\frac{1}{2} + \frac{\theta}{\mathcal{J}}\right)} du$$

pentru care:

$$\alpha = \frac{1}{2} + \frac{\theta}{\mathcal{J}} ; \quad \beta = 2 \quad ; \quad \gamma = \frac{5}{2} + \frac{\theta}{\mathcal{J}}$$

$$\Gamma(\beta) = 1$$

$$\Gamma(\gamma) = \left(\frac{1}{2} + \frac{\theta}{\mathcal{J}}\right) \left(\frac{3}{2} + \frac{\theta}{\mathcal{J}}\right) \Gamma\left(\frac{1}{2} + \frac{\theta}{\mathcal{J}}\right)$$

$$\Gamma(\gamma - \beta) = \Gamma\left(\frac{1}{2} + \frac{\theta}{\mathcal{J}}\right)$$

Deci

$$I_{12} = -\frac{a^{-\left(\frac{3}{2} + \frac{\theta}{\mathcal{J}}\right)}}{\frac{3}{2} + \frac{\theta}{\mathcal{J}}} F\left(\frac{1}{2} + \frac{\theta}{\mathcal{J}} ; 2 ; \frac{5}{2} + \frac{\theta}{\mathcal{J}} ; z\right)$$

$$c) \quad I_{13} =$$

$$= \frac{1}{2} \left(\frac{1}{2} + \frac{\theta}{\mathcal{H}} \right) \left(\frac{3}{2} + \frac{\theta}{\mathcal{H}} \right) a^{-\left(\frac{5}{2} + \frac{\theta}{\mathcal{H}} \right)} \int_0^1 u^2 (1-u)^{-\left(\frac{1}{2} - \frac{\theta}{\mathcal{H}} \right)} (1-zu)^{-\left(\frac{1}{2} + \frac{\theta}{\mathcal{H}} \right)} du$$

Se obțin succesiv următoarele rezultate

$$\alpha = \frac{1}{2} + \frac{\theta}{\mathcal{H}} ; \quad \beta = 3 \quad ; \quad \gamma = \frac{7}{2} + \frac{\theta}{\mathcal{H}}$$

$$\Gamma(\beta) = 2$$

$$\Gamma(\gamma - \beta) = \Gamma\left(\frac{1}{2} + \frac{\theta}{\mathcal{H}} \right)$$

$$\Gamma(\gamma) = \left(\frac{1}{2} + \frac{\theta}{\mathcal{H}} \right) \left(\frac{3}{2} + \frac{\theta}{\mathcal{H}} \right) \left(\frac{5}{2} + \frac{\theta}{\mathcal{H}} \right) \Gamma\left(\frac{1}{2} + \frac{\theta}{\mathcal{H}} \right)$$

$$I_{13} = \frac{a^{-\left(\frac{5}{2} + \frac{\theta}{\mathcal{H}} \right)}}{\frac{5}{2} + \frac{\theta}{\mathcal{H}}} F\left(\frac{1}{2} + \frac{\theta}{\mathcal{H}} ; 3 ; \frac{7}{2} + \frac{\theta}{\mathcal{H}} ; z \right)$$

$$d) \quad I_{14} = -A a^{-\left(\frac{7}{2} + \frac{\theta}{\mathcal{H}} \right)} \int_0^1 u^3 (1-u)^{-\left(\frac{1}{2} - \frac{\theta}{\mathcal{H}} \right)} (1-zu)^{-\left(\frac{1}{2} + \frac{\theta}{\mathcal{H}} \right)} du$$

în care

$$A = \frac{1}{6} \left(\frac{1}{2} + \frac{\theta}{\mathcal{H}} \right) \left(\frac{3}{2} + \frac{\theta}{\mathcal{H}} \right) \left(\frac{5}{2} + \frac{\theta}{\mathcal{H}} \right)$$

$$\text{In acest caz: } \alpha = \frac{1}{2} + \frac{\theta}{\mathcal{H}} ; \quad \beta = 4 \quad ; \quad \gamma = \frac{9}{2} + \frac{\theta}{\mathcal{H}}$$

$$\Gamma(\beta) = 6$$

$$\Gamma(\gamma - \beta) = \Gamma\left(\frac{1}{2} + \frac{\theta}{\mathcal{H}} \right)$$

$$\Gamma(\gamma) = \left(\frac{1}{2} + \frac{\theta}{\mathcal{H}} \right) \left(\frac{3}{2} + \frac{\theta}{\mathcal{H}} \right) \left(\frac{5}{2} + \frac{\theta}{\mathcal{H}} \right) \left(\frac{7}{2} + \frac{\theta}{\mathcal{H}} \right) \Gamma\left(\frac{1}{2} + \frac{\theta}{\mathcal{H}} \right)$$

$$I_{14} = - \frac{a \frac{-(\frac{1}{2} + \frac{\theta}{\sqrt{1}})}{2 + \frac{\theta}{\sqrt{1}}}}{2 + \frac{\theta}{\sqrt{1}}} F \left(\frac{1}{2} + \frac{\theta}{\sqrt{1}} ; 4 ; \frac{1}{2} + \frac{\theta}{\sqrt{1}} ; z \right)$$

Valoarea integralei (4.37) este următoarea

$$I_1 = kC \sum_{n=1}^{\infty} (-1)^{n+1} \frac{a \frac{-(\frac{2n-1}{2} + \frac{\theta}{\sqrt{1}})}{2 + \frac{\theta}{\sqrt{1}}}}{\frac{2n-1}{2} + \frac{\theta}{\sqrt{1}}} F \left(\frac{1}{2} + \frac{\theta}{\sqrt{1}} ; n ; \frac{2n+1}{2} + \frac{\theta}{\sqrt{1}} ; z \right)$$

$n \in \mathbb{N}$ (4.44)

Tensiunea electrică dintre electrodul de comandă AD și punctul $P' \left(-\frac{b}{2}, jy \right)$ de pe cealaltă față liberă a plăcii Hall este

$$U_{DP'} = \int_{-1}^{-\xi_{P'}} \xi \cos \theta \cdot d\xi = C_2 \cos \theta \cdot I_2 \quad (4.45)$$

în care prin I_2 s-a notat integrala următoare

$$I_2 = \int_{-1}^{-\xi_{P'}} \left[(\xi - 1) \left(\xi + \frac{1}{k} \right) \right]^{-\left(\frac{1}{2} - \frac{\theta}{\sqrt{1}}\right)} \cdot \left[(\xi + 1) \left(\frac{1}{k} - \xi \right) \right]^{-\left(\frac{1}{2} + \frac{\theta}{\sqrt{1}}\right)} d\xi \quad (4.46)$$

Pentru rezolvarea integralei I_2 se face substituția

$$u = \frac{(\xi_{P'} + \xi)(1 + k)}{(\xi_{P'} - 1)(1 - k\xi)} \quad (4.47)$$

Rezultă

$$\xi = \frac{u(1 - \xi_{P'}) + \xi_{P'}(1 + k)}{ku(1 - \xi_{P'}) - (1 + k)} ;$$

$$d\xi = \frac{(1+k)(\xi_{P'} - 1)(1 + k\xi_{P'})}{[ku(1 - \xi_{P'}) - (1+k)]^2} du$$

Pentru factorii din integrala I_2 rezultă expresiile următoare

$$\xi_{-1} = \frac{(1+k)(1+\xi_{P,1})}{k u(1-\xi_{P,1})-(1+k)} \left[1 - \frac{(1-k)(\xi_{P,-1})}{(1+k)(\xi_{P,+1})} u \right]$$

$$\xi_{+1} = -\frac{2k(\xi_{P,-1})}{k[ku(1-\xi_{P,1})-(1+k)]} \left[u + \frac{(1+k)(1-k\xi_{P,1})}{2k(\xi_{P,-1})} \right]$$

$$\xi_{+1} = \frac{(1+k)(\xi_{P,-1})}{k u(1-\xi_{P,1})-(1+k)} [1 - u]$$

$$\frac{1}{k} - \xi = -\frac{(1+k)(1+k\xi_{P,1})}{k[ku(1-\xi_{P,1})-(1+k)]}$$

Integrala I_2 devine

$$I_2 = k C' \int_0^1 (1-u)^{-\left(\frac{1}{2} + \frac{\theta}{\mathcal{J}}\right)} (1-zu)^{-\left(\frac{1}{2} - \frac{\theta}{\mathcal{J}}\right)} (u+a)^{-\left(\frac{1}{2} - \frac{\theta}{\mathcal{J}}\right)} du \quad (4.48)$$

în care s-au făcut următoarele notații

$$C' = (1+k\xi_{P,1}) \left[2k(\xi_{P,+1}) \right]^{-\left(\frac{1}{2} - \frac{\theta}{\mathcal{J}}\right)} \cdot \left[(1+k)(1+k\xi_{P,1}) \right]^{-\left(\frac{1}{2} + \frac{\theta}{\mathcal{J}}\right)} \quad (4.49)$$

$$z = \frac{(1-k)(\xi_{P,-1})}{(1+k)(\xi_{P,+1})} \quad (4.50)$$

$$a = \frac{(1+k)(1-k\xi_{P,1})}{2k(\xi_{P,-1})} \quad (4.51)$$

Factorul $(u + a)^{-\left(\frac{1}{2} - \frac{\theta}{\pi}\right)}$ dezvoltat în serie Maclaurin
 obține următoarea expresie generală

$$(u+a)^{-\left(\frac{1}{2} - \frac{\theta}{\pi}\right)} = a^{-\left(\frac{1}{2} - \frac{\theta}{\pi}\right)} + (-1)^n \frac{u^n}{n!} \left| \begin{matrix} n \\ 1 \end{matrix} \right| \left(\frac{2n-1}{2} - \frac{\theta}{\pi}\right) \cdot a^{-\left(\frac{1+2n}{2} - \frac{\theta}{\pi}\right)}$$

$n \in \mathbb{N}$ (4.52)

Prin dezvoltarea în serie (4.52), integrala I_2 se descompune într-o sumă de integrale de forma (4.42) în felul următor

$$I_2 = kC' (I_{21} + I_{22} + I_{23} + I_{24} + \dots) \quad (4.53)$$

Pentru exemplificare se calculează prima integrală din (4.53) și anume

$$I_{21} = a^{-\left(\frac{1}{2} - \frac{\theta}{\pi}\right)} \int_0^1 u^\alpha (1-u)^\beta (1-zu)^\gamma du$$

Deoarece: $\alpha = \frac{1}{2} - \frac{\theta}{\pi}$; $\beta = 1$; $\gamma = \frac{3}{2} - \frac{\theta}{\pi}$

se obține:

$$\Gamma(\beta) = 1$$

$$\Gamma(\gamma) = \left(\frac{1}{2} - \frac{\theta}{\pi}\right) \cdot \Gamma\left(\frac{1}{2} - \frac{\theta}{\pi}\right)$$

$$\Gamma(\gamma - \beta) = \Gamma\left(\frac{1}{2} - \frac{\theta}{\pi}\right)$$

$$I_{21} = \frac{a^{-\left(\frac{1}{2} - \frac{\theta}{\pi}\right)}}{\frac{1}{2} - \frac{\theta}{\pi}} F\left(\frac{1}{2} - \frac{\theta}{\pi} ; 1 ; \frac{3}{2} - \frac{\theta}{\pi} ; z\right)$$

efectuînd și calculul celorlalte integrale din (4.53), pentru integrala I_2 se obține următoarea valoare

$$I_2 = kC' \sum_{n=1}^{\infty} (-1)^{n+1} \frac{a^{-\left(\frac{2n-1}{2} - \frac{\theta}{\pi}\right)}}{\frac{2n-1}{2} - \frac{\theta}{\pi}} F\left(\frac{1}{2} - \frac{\theta}{\pi}; n; \frac{2n+1}{2} - \frac{\theta}{\pi}; z\right) \quad (4.54)$$

Cu alte cuvinte, valorile integralelor I_1 și I_2 date prin rel.(4.44) și (4.54) exprimă variațiile potențialelor electrice în lungul fețelor libere ale plăcii Hall. Se remarcă faptul că soluțiile integralelor I_1 și I_2 sînt convergente numai pentru $a > 1$, motiv pentru care se pot determina aceste valori numai pentru jumătate din frontiera liberă a plăcii Hall. De altfel, aceste valori sînt suficiente datorită simetriei pe care o prezintă distribuția potențialului pe cele două fețe libere.

β. Valorile integralelor I_1 și I_2 trebuie să corespundă valorii obținute prin rel.(4.16), pentru cazul limită în care $\xi_p = \frac{1}{k}$, respectiv $-\xi_p = -\frac{1}{k}$.

Intr-adevăr, în acest caz rezultă următoarele:

$$a = 0 \quad ; \quad z = \left(\frac{1-k}{1+k}\right)^2 \quad ; \quad C = C' = \frac{1}{1+k}$$

$$I_1 = \frac{k}{1+k} \int_0^1 u^{-\left(\frac{1}{2} + \frac{\theta}{\pi}\right)} (1-u)^{-\left(\frac{1}{2} - \frac{\theta}{\pi}\right)} (1-zu)^{-\left(\frac{1}{2} + \frac{\theta}{\pi}\right)} du$$

$$I_2 = \frac{k}{1+k} \int_0^1 u^{-\left(\frac{1}{2} - \frac{\theta}{\pi}\right)} (1-u)^{-\left(\frac{1}{2} + \frac{\theta}{\pi}\right)} (1-zu)^{-\left(\frac{1}{2} - \frac{\theta}{\pi}\right)} du$$

Dacă se ține seama de relația între seriile hipergeometrice: $F(\alpha; \beta; \gamma; z) = F(\beta; \alpha; \gamma; z)$ este evident următorul rezultat în concordanța cu rel.(4.16)

$$\left(I_1\right)_{\xi_p = \frac{1}{k}} = \left(I_2\right)_{-\xi_p = -\frac{1}{k}} = I \quad (4.55)$$

în care:

$$I = \frac{k}{1+k} \cdot \frac{\pi}{\cos \theta} \cdot F \left[\frac{1}{2} + \frac{\theta}{\pi} ; \frac{1}{2} - \frac{\theta}{\pi} ; 1 ; \left(\frac{1-k}{1+k} \right) \right]^2 = a_p \quad (4.56)$$

Se precizează faptul că datorită simetriei pe care o prezintă spectrul câmpului electric față de cele două fețe libere ale plăcii Hall, în punctele de la mijlocul plăcii, adică pentru $y = \frac{a}{2}$ și cărora le corespunde în planul ζ punctele $\xi_p = \frac{1}{\sqrt{k}}$ și

$-\xi_{p'}$, $= -\frac{1}{\sqrt{k}}$, trebuie să se verifice următoarea egalitate între valorile integralelor I_1 , I_2 și valoarea laturii a_p a paralelogramului Hall, adică

$$\left(I_1 \right)_{\xi_p = \frac{1}{\sqrt{k}}} + \left(I_2 \right)_{-\xi_{p'} = -\frac{1}{\sqrt{k}}} = I \quad (4.57)$$

I - fiind dat de rel.(4.56).

4.3.4. Determinarea factorului tensiunii Hall în cazul unei plăci de formă dreptunghiulară, pentru orice poziție a electrozilor Hall considerați punctiformi.

Tensiunea Hall între două puncte carecare P și P' de pe fețele libere ale plăcii, este

$$\left(U_H \right)_{PP'} = C_2 \cos \theta \cdot (I_2 - I_1) \quad (4.58)$$

Știind că tensiunea Hall în cazul plăcii de lungime infinită are valoarea

$$U_{H\infty} = C_H \frac{i_1 B}{h} = \frac{i_1 \operatorname{tg} \theta}{\sigma(B) \cdot h} \quad (4.59)$$

și înlocuind constanta C_2 în funcție de curentul de comandă i_1 din rel.(4.18), pentru factorul tensiunii Hall $F(\lambda, \theta)$ rezultă expresia

$$F(\lambda, \theta) = \frac{\left(U_H \right)_{PP'}}{U_{H\infty}} = \frac{I_2 - I_1}{b_p \cdot \sin \theta} \quad (4.60)$$

Dacă electrozii Hall sînt situați la mijlocul distanței dintre electrozii de comandă ($\xi_P = \frac{1}{\sqrt{k}}$), factorul tensiunii Hall avînd în acest caz cea mai mare valoare, pentru constantele care intervin în expresiile integralelor I_1 și I_2 se obțin valorile

$$a = \frac{1+k}{2\sqrt{k}} \quad ; \quad z = \frac{(1-k)(1-\sqrt{k})}{(1+k)(1+\sqrt{k})}$$

$$c = (1+k) \cdot \begin{matrix} -(\frac{1}{2} - \frac{\theta}{\pi}) \\ (2\sqrt{k}) \end{matrix} \quad -(\frac{1}{2} + \frac{\theta}{\pi})$$

$$c' = (2\sqrt{k}) \cdot \begin{matrix} -(\frac{1}{2} - \frac{\theta}{\pi}) \\ (1+k) \end{matrix} \quad -(\frac{1}{2} + \frac{\theta}{\pi})$$

4.3.5. Aplicații numerice. Rezultate experimentale.

Determinarea corespondenței dintre conturul plăcii Hall situată în planul z și caracterizată prin raportul λ al celor două laturi și conturul domeniului obținut prin reprezentare conformă în planul ζ se face prin stabilirea legăturii dintre raportul λ și modulul k pe baza rel.(4.11). Rezultatele obținute sînt prezentate în tabela 4.1.

Tabelele 4.2, 4.3 și 4.4 cuprind determinarea corespondenței dintre punctele $P(\frac{b}{2}, jy)$ de pe frontiera liberă a plăcii Hall și punctele corespunzătoare ξ_P din planul ζ pe baza relației de corespondență (4.26), pentru următoarele valori ale raportului λ dintre laturile plăcii Hall: 1 ; 1,5 ; 2 .

S-au considerat în planul z , pe prima jumătate a frontierei libere AB, zece puncte $P(\frac{b}{2}, jy)$ echidistante. Valoarea integralei I exprimată prin rel.(4.25) s-a determinat pe baza rel.(4.22). Cunoscînd pe bază de calcul valoarea integralei

eliptice de speța întâi $F(\text{arc sin } A, B)$ și folosind tabelele de integrale eliptice [80] pentru a calcula mărimea A , punctele ξ_P din planul ζ se determină cu următoarea relație

$$\xi_P = \frac{(1+k) + A^2(1-k)}{(1+k) - A^2(1-k)} \quad (4.61)$$

Tabelele 4.2 - 4.4 cuprind și valorile constantelor a și z date de rel.(4.39) și (4.40) necesare pentru determinarea variației potențialului în lungul frontierelor libere ale plăcii Hall. Aceste valori permit să se aprecieze numărul de termeni necesari pentru un calcul corespunzător, atât în suma din care este exprimată valoarea integralei I_1 , respectiv I_2 , cât și numărul de termeni al seriei hipergeometrice.

În continuare se prezintă schema logică și programul în limbaj FORTRAN pentru calculul valorilor soluțiilor integralelor I_1 și I_2 (rel.4.44 și 4.54). În scop de verificare (rel.4.57) s-a calculat și expresia I (rel.4.56). În sumele conținute în expresiile (4.44) și (4.54) s-au luat în considerare primii zece termeni.

Tabelele 4.5 - 4.10 cuprind valorile integralelor I_1 și I_2 pentru valorile precizate mai sus ale raportului λ și pentru următoarele unghiuri Hall: 10° , 20° , 30° , 40° , 45° , 50° , 60° și 75° . Diagramele din fig.4.12 - 4.14 exprimă variația potențialului electric pe cele două fețe libere ale plăcilor Hall dreptunghiulare considerate în calcul. Această variație s-a stabilit prin determinarea rapoartelor tensiunilor U_{AP}/U_1 și $U_{AP'}/U_1$, U_1 fiind tensiunea aplicată electrozilor de comandă, iar U_{AP} și $U_{AP'}$ fiind definite prin rel.(4.32) și (4.45). Diagramele permit stabilirea punctelor de același potențial electric de pe cele două fețe libere, la diferite unghiuri Hall, în scopul realizării elementelor de circuit unidirecționale.]

Tabela 4.1 Dependența dintre raportul laturilor plăcii Hall λ și modulul k

λ	k	λ	k
∞	0	1,38	0,0522
2,2421	0,0045	1,3401	0,0596
2,113	0,006	1,3046	0,0669
2,0213	0,0075	1,258	0,077
1,9504	0,009	1,205	0,09
1,8924	0,01	1,1592	0,1045
1,8433	0,0118	1,11	0,1218
1,8008	0,0148	1,0674	0,1391
1,7633	0,016	1,0298	0,1564
1,7298	0,017	1,0023	0,1707
1,6718	0,02	0,9513	0,1993
1,6226	0,024	0,866	0,2588
1,5802	0,0275	0,8162	0,3007
1,5426	0,0317	0,7275	0,3907
1,5091	0,0349	0,6396	0,5
1,4965	0,0363	0,5686	0,6018
1,4789	0,0376	0,5	0,7071
1,4513	0,042	0,4396	0,7986
1,4256	0,045	0,3638	0,8987
1,4018	0,0494	0	1

Tabela 4.2. Determinarea corespundenței dintre punctele frontierei noapentei de electrozi situate în planele α și ξ , pentru $\lambda = 1$

y/a	I	F(ARCSINA ,B)	B	A	ξ_P	a	z
0,05	0,027	0,09258	0,70838	0,09295	1,0122	232,5	0,0043
0,1	0,054	0,18517	0,70838	0,18224	1,048	58,65	0,0166
0,15	0,08105	0,2779	0,70838	0,27564	1,1137	24,42	0,0381
0,2	0,10807	0,3705	0,70838	0,35837	1,2	13,63	0,0644
0,25	0,13509	0,4632	0,70838	0,43837	1,315	8,442	0,0963
0,3	0,16211	0,5558	0,70838	0,51504	1,4625	5,563	0,133
0,35	0,18912	0,6485	0,70838	0,58779	1,648	3,803	0,1733
0,4	0,21614	0,74119	0,70838	0,65606	1,877	2,657	0,2159
0,45	0,24316	0,8338	0,70838	0,71325	2,1264	1,939	0,2552
0,5	0,27018	0,92647	0,70838	0,76604	2,4225	1,4137	0,2944

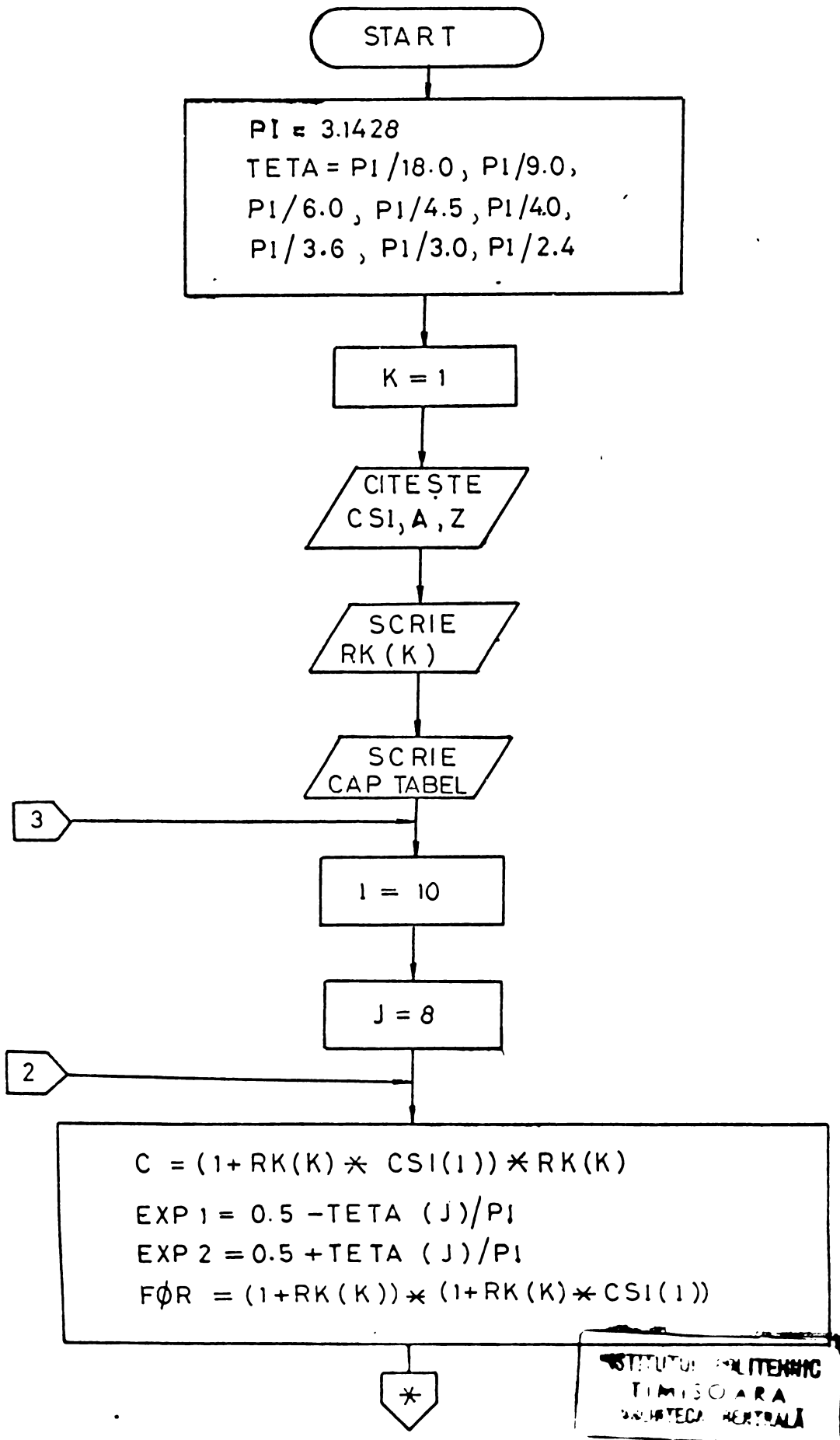
Tabela 4.3. Determinarea corespondenței dintre punctele frontierei neacoperite de electrozi situate în planele z și S , pentru $\lambda = 1,5$.

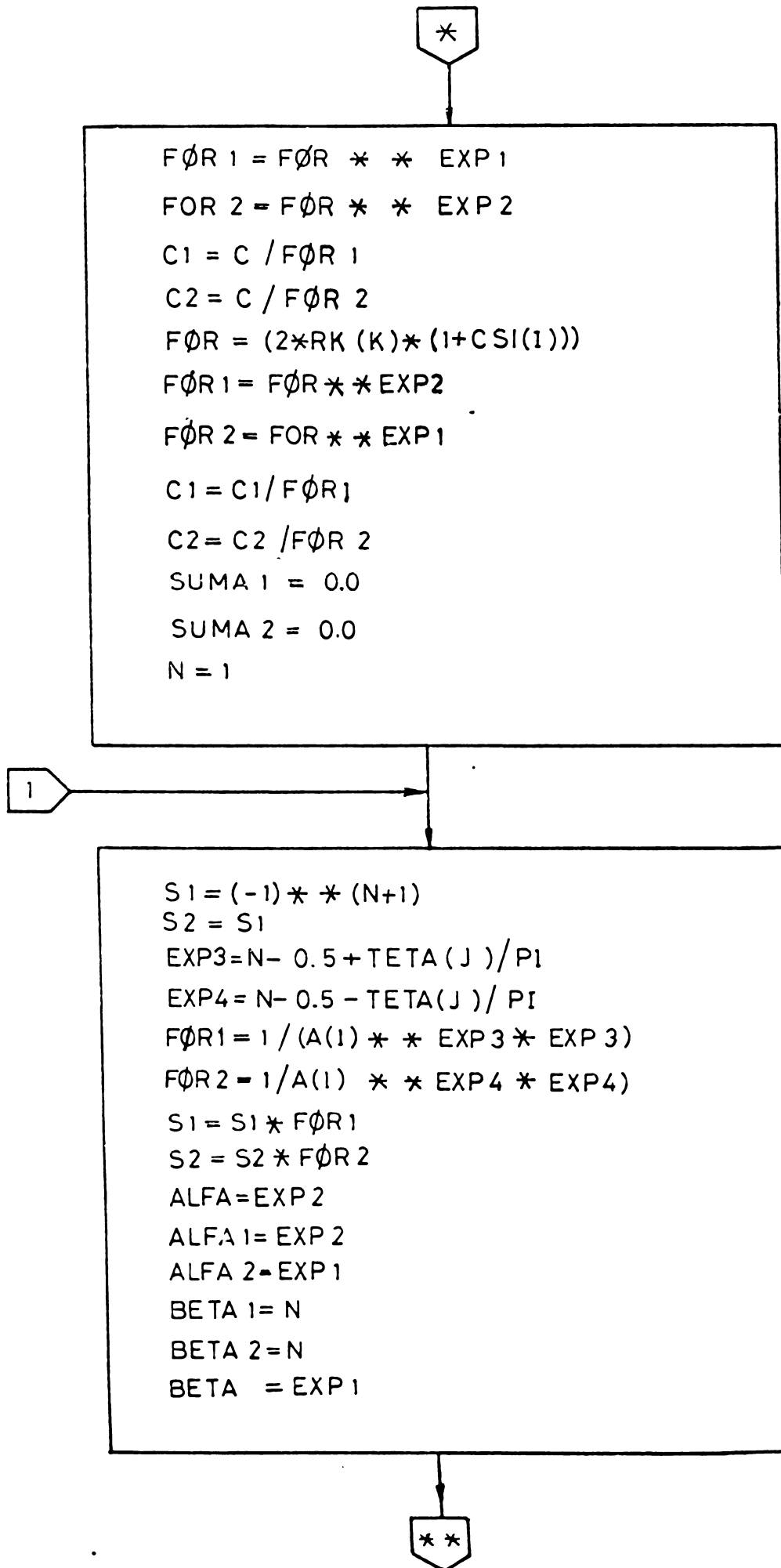
y/a	I	F(arcsinA,B)	B	A	S_p	a	z
0,05	0,00855	0,1222	0,9299	0,12187	1,0279	492,52	0,0128
0,1	0,01711	0,2444	0,9299	0,24192	1,1151	118,99	0,0506
0,15	0,02566	0,3665	0,9299	0,35021	1,2574	52,92	0,106
0,2	0,03422	0,4888	0,9299	0,45399	1,474	28,5	0,1781
0,25	0,04277	0,611	0,9299	0,548	1,775	17,23	0,2597
0,3	0,05133	0,7332	0,9299	0,62932	2,166	11,279	0,3424
0,35	0,05988	0,8554	0,9299	0,7009	2,682	7,66	0,4248
0,4	0,06844	0,9777	0,9299	0,76041	3,326	5,395	0,4999
0,45	0,077	1,1	0,9299	0,81412	4,213	3,763	0,5731
0,5	0,08555	1,2221	0,9299	0,85416	5,22	2,741	0,6308

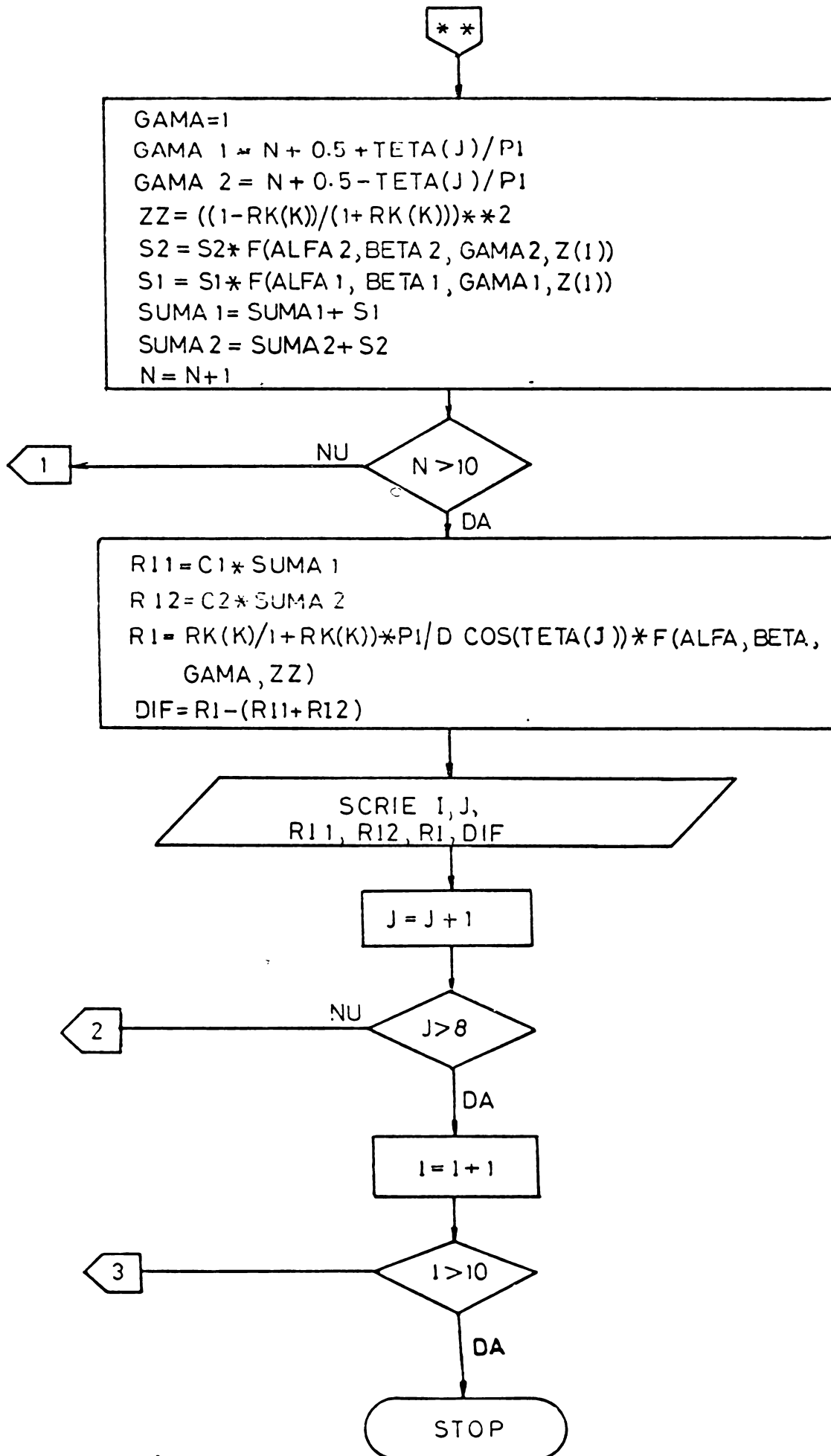
Figura 4.4. Determinarea corespundenței dintre punctele frontierei neacoperite de electrozi situate în planele z și ξ , pentru $\lambda = 2$.

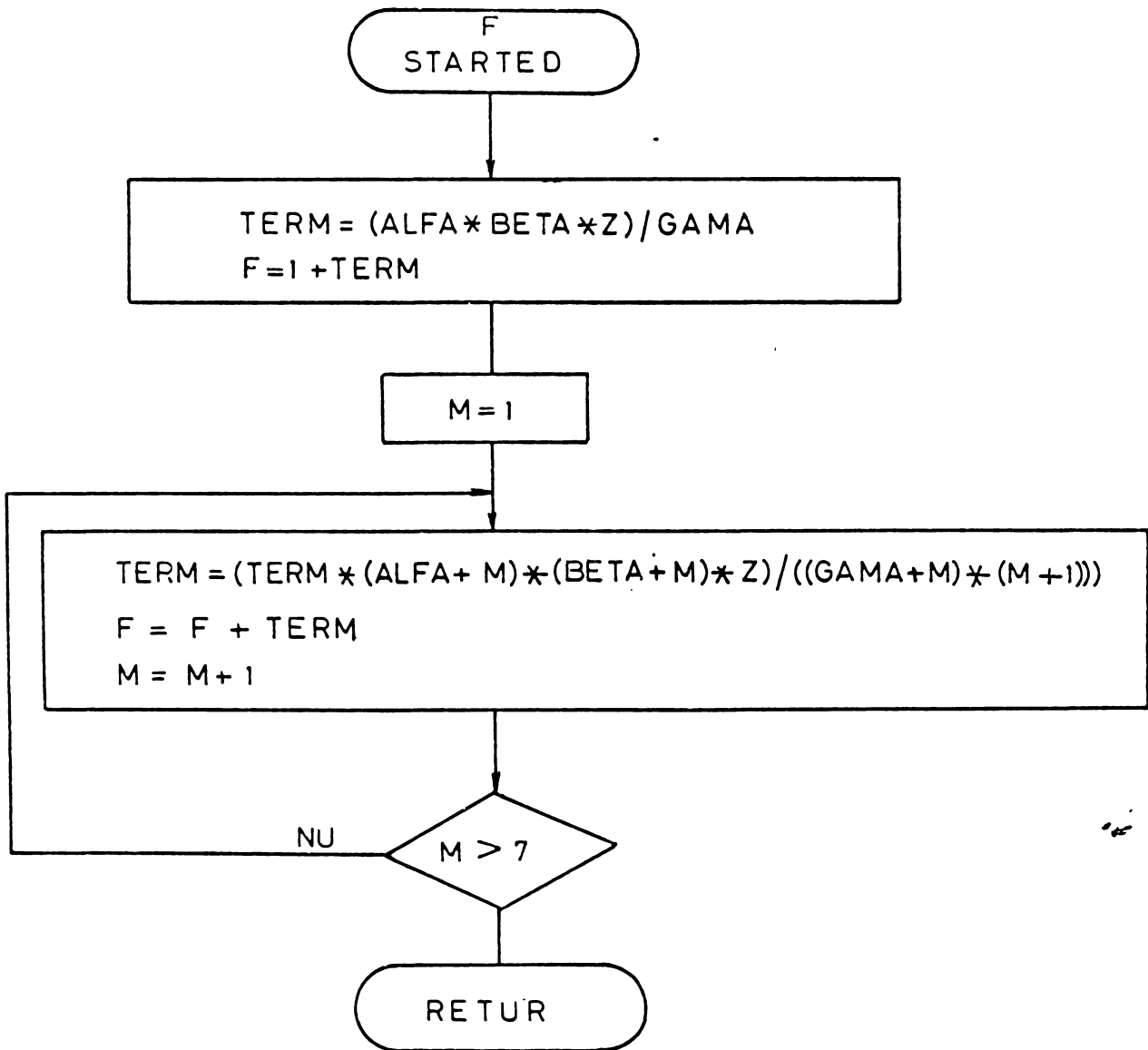
λa	I	F(arsina, B)	B	A	ξp	a	z
0,05	0,00235	0,1582	0,9851	0,15643	1,0494	1348,9	0,0237
0,1	0,00471	0,3163	0,9851	0,30902	1,207	521,53	0,0923
0,15	0,00707	0,4747	0,9851	0,43837	1,467	142,24	0,1864
0,2	0,00942	0,6330	0,9851	0,55919	1,89	74,397	0,3033
0,25	0,01178	0,7912	0,9851	0,66262	2,524	43,237	0,426
0,3	0,01413	0,9495	0,9851	0,74314	3,386	27,435	0,5359
0,35	0,01649	1,1078	0,9851	0,80902	4,63	17,86	0,6351
0,4	0,01885	1,2660	0,9851	0,85717	6,24	12,218	0,713
0,45	0,02120	1,4243	0,9851	0,89493	8,477	8,411	0,7772
0,5	0,02356	1,5826	0,9851	0,92388	11,566	5,805	0,8283

SCHEMA LOGICA PENTRU CALCULUL INTEGRALELOR I_1 SI I_2









```
1 . JOB SILVA,AN:C570,PR:DOBRE
2 . COMPILE FORTFAN,MAP,OEL
3 C *****
4 C * PROGRAMUL SILVA-HALL EFECTUEAZA CALCULUL VARIATIILOR
5 C * POTENTIALELOR PE FETELE LIBERE ALE UNEI PLACI HALL
6 C * DREPTUNGHILARE.
7 C *
8 C * VARIABILELE UTILIZATE :
9 C *
10 C * RK - MODULUL INTECPALEI ELIPTICE COMPLETE
11 C * CSI - PUNCTUL COINCIDENT IN PLANUL ZETA UNUI
12 C * PUNCT DE PE FATA LIBERA A PLACII HALL
13 C * A - REZULTATUL EXPRESIEI (4.40)
14 C * Z - REZULTATUL EXPRESIEI (4.39)
15 C * I1,I2 - SOLUTIILE INTECPALELOR CARE EXPRIMA VARIATIILE
16 C * POTENTIALELOR PE FETELE LIBERE ALE UNEI PLACI
17 C * HALL DREPTUNGHILARE
18 C *
19 C *****
20 C IMPLICIT DOUBLE PRECISION (A-H,O-Z)
21 C
22 C DEFINIREA DATELOR
23 C
24 C DIMENSION CSI(10),A(10),Z(10),TETA(8),RK(4)
25 C DATA RK/0.0075,0.0363,0.1707,0.7071/
26 C 100 FORMAT(' ',///,11X,' I ',1X,' J ',11X,' I1 ',20X,' I2 ')
27 C 101 FORMAT(8F10.5)
28 C 102 FORMAT(' ',**SOLUTIILE INTECPALIILOR PENTRU K=' ,F0.6)
29 C 103 FORMAT(' ',10X,I2,1X,I2,2X,2(E17.10,2X))
30 C 104 FORMAT(10X,I2,1X,I2,2X,2(E17.10,2X))
31 C PI=3.1428
32 C TETA(1)=PI/18.0
33 C TETA(2)=PI/9.0
34 C TETA(3)=PI/6.0
35 C TETA(4)=PI/4.5
36 C TETA(5)=PI/4.0
37 C TETA(6)=PI/3.6
38 C TETA(7)=PI/3.0
39 C TETA(8)=PI/2.4
40 C
41 C INITIALIZARE PENTRU PATRU VALORI DIFERITE ALE PARAMETRULUI FF
42 C
43 C DO 5 K=1,4
44 C READ 101,CSI,A,Z
45 C PRINT 102,RK(K)
46 C PRINT 100
47 C
48 C CALCULUL VARIATIILOR POTENTIALELOR PENTRU PATRU VALORI DE
49 C ALE PARAMETRULUI FF
50 C
51 C DO 4 I=1,10
52 C DO 3 J=1,8
53 C C=(1+RK(K)*CSI(I))*RK(K)
54 C EXP1=C.5-TETA(J)/PI
55 C EXP2=C.5+TETA(J)/PI
56 C FOF=(1+RK(K))*(1+FF(K)*CSI(I))
```

```
1      FOF1=FCF**EXP2
2      FOP2=FOE**EXP1
3      C1=C1/FCF1
4      C2=C2/FOP2
5      SUMA1=0.0
6      SUMA2=0.0
7      DO 2 N=1,10
8      S1=(-1)**(N+1)
9      S2=S1
10     EXP3=N-0.5+TETA(J)/PI
11     EXP4=N-0.5-TETA(J)/PI
12     FCF1=1/(A(I)**EXP3*EXP3)
13     FOP2=1/(A(I)**EXP4*EXP4)
14     S1=S1*FCF1
15     S2=S2*FOP2
16     ALFA1=EXP2
17     ALFA2=EXP1
18     BETA=N
19     GAMMA1=N+0.5+TETA(J)/PI
20     GAMMA2=N+0.5-TETA(J)/PI
21     TERM1=(ALFA1*BETA**Z(I))/GAMMA1
22     TERM2=(ALFA2*BETA**Z(I))/GAMMA2
23     F1=1+TERM1
24     F2=1+TERM2
25     DO 1 N=1,7
26     TERM1=(TERM1*(ALFA1+N)*(BETA+N)**Z(I))/((GAMMA1+N)*(N+1))
27     TERM2=(TERM2*(ALFA2+N)*(BETA+N)**Z(I))/((GAMMA2+N)*(N+1))
28     F1=F1+TERM1
29     F2=F2+TERM2
30     1 CONTINUE
31     S1=S1*F1
32     S2=S2*F2
33     SUMA1=SUMA1+S1
34     SUMA2=SUMA2+S2
35     2 CONTINUE
36     RI1=C1*SUMA1
37     RI2=C2*SUMA2
38     C
39     C      TIPAFIREA REZULTATELOF
40     C
41     WRITE (108,103)I,J,RI1,RI2
42     3 CONTINUE
43     4 CONTINUE
44     5 CONTINUE
45     STOP
46     END
```

LINK	RUN TIME:99,UD:CP,NL:65536	1.207	1.467	1.89	2.524	3.386	4.63	6.24
1	1.0494	11.566	1348.9	321.53	142.24	74.397	43.237	27.435
2	8.477	12.218	8.411	5.805	0.0237	0.0923	0.1864	0.3033
3	17.86	0.5359	0.6351	0.713	0.7772	0.8283		
4	0.426	1.1151	1.2574	1.474	1.775	2.166	2.682	3.326
5	1.0279	5.22	492.52	118.99	52.92	28.5	17.23	11.279
6	4.213	5.395	3.763	2.741	0.0128	0.0506	0.106	0.1781
7	7.66	0.3424	0.4248	0.4999	0.5731	0.6308		
8	0.2597	1.048	1.1137	1.2	1.315	1.4625	1.648	1.877
9	1.0122	2.4225	232.5	58.65	24.42	13.63	8.442	5.563
10	2.1264	2.657	1.939	1.4137	0.0043	0.0166	0.0381	0.0644
11	3.803	0.133	0.1733	0.2159	0.2552	0.2944		
12	0.0963	1.00842	1.01887	1.0333	1.05154	1.0733	1.10124	1.12602
13	1.00211	1.18767	166.71	41.137	17.883	9.763	6.006	3.969
14	1.15946	1.952	1.363	1.0304	1.00018	0.00072	0.0016	0.0028
15	2.638	0.006	0.0082	0.0101	0.0126	0.0147		
16	0.0043							
17								
18								
19								

EOJ

Tabela 4.5. Valorile integralei I_1 , exprimată prin rel.(4.44), pentru o placă Hall dreptunghiulară avînd $\lambda = 1$

y/a	I_1									
	$\theta = \pi/18$	$\theta = \pi/9$	$\theta = \pi/6$	$\theta = \pi/4,5$	$\theta = \pi/4$	$\theta = \pi/3,6$	$\theta = \pi/3$	$\theta = \pi/2,4$		
0,05	0,01868	0,01304	0,00917	0,00650	0,00548	0,00463	0,00332	0,00203		
0,1	0,03987	0,03002	0,02279	0,01742	0,01527	0,01340	0,01096	0,00710		
0,15	0,06405	0,05057	0,04026	0,03227	0,02896	0,02603	0,02109	0,01522		
0,2	0,08710	0,07091	0,05821	0,04813	0,04386	0,04002	0,03345	0,02578		
0,25	0,11116	0,09275	0,07803	0,06611	0,06099	0,05634	0,04826	0,03858		
0,3	0,13625	0,11603	0,09904	0,08616	0,08031	0,07497	0,06554	0,05403		
0,35	0,16247	0,14083	0,12311	0,10837	0,10192	0,09598	0,08544	0,07236		
0,4	0,18970	0,16715	0,14844	0,13278	0,12567	0,11949	0,10809	0,09577		
0,45	0,21738	0,19220	0,17297	0,15679	0,14962	0,14298	0,13108	0,11603		
0,5	0,24178	0,21841	0,19899	0,18202	0,17537	0,16862	0,15673	0,14121		

Tabela 4.6. Valorile integralei I_2 , exprimată prin rel.(4.54), pentru p placă Hall dreptunghiulară avînd $\lambda = 1$

y/a	I_2									
	$\theta = \pi/18$	$\theta = \pi/9$	$\theta = \pi/6$	$\theta = \pi/4,5$	$\theta = \pi/4$	$\theta = \pi/3,6$	$\theta = \pi/3$	$\theta = \pi/2,4$		
0,05	0,03961	0,05897	0,08960	0,14005	0,17759	0,22801	0,39596	1,17714		
0,1	0,07266	0,10025	0,14122	0,20460	0,24980	0,30879	0,49709	1,31892		
0,15	0,10616	0,13970	0,18767	0,25931	0,30918	0,37324	0,57303	1,47608		
0,2	0,13574	0,17321	0,22565	0,30235	0,35500	0,42202	0,62832	1,48281		
0,25	0,16498	0,20545	0,26118	0,34153	0,39613	0,46521	0,67594	1,53794		
0,3	0,19411	0,23684	0,29501	0,37799	0,43398	0,50451	0,71829	1,58534		
0,35	0,22336	0,26776	0,32768	0,41251	0,46947	0,54099	0,75685	1,62723		
0,4	0,25279	0,29831	0,35940	0,44545	0,50303	0,57518	0,79236	1,66480		
0,45	0,27955	0,32565	0,38735	0,47401	0,53191	0,60438	0,82219	1,69503		
0,5	0,30635	0,35265	0,41455	0,50141	0,55941	0,63198	0,85001	1,72376		

Tabela 4.2. Valorile integralei I_1 , exprimată prin rel.(4.44), pentru o placă Hall dreptunghiulară avînd $\lambda = 1,5$.

y/a	I_1									
	$\theta = \pi/18$	$\theta = \pi/9$	$\theta = \pi/6$	$\theta = \pi/4,5$	$\theta = \pi/4$	$\theta = \pi/3,6$	$\theta = \pi/3$	$\theta = \pi/2,4$	$\theta = \pi/2$	$\theta = \pi/1,8$
0,05	0,00609	0,00438	0,00218	0,00232	0,00199	0,00171	0,00126	0,00080		
0,1	0,01329	0,01033	0,00810	0,00639	0,00569	0,00507	0,00405	0,00291		
0,15	0,02051	0,01665	0,01362	0,01122	0,01021	0,00930	0,00774	0,00593		
0,2	0,02827	0,02367	0,01997	0,01697	0,01568	0,01420	0,01245	0,00999		
0,25	0,03628	0,03111	0,02688	0,02338	0,02186	0,02046	0,01798	0,01494		
0,3	0,04427	0,03866	0,03404	0,03016	0,02845	0,02687	0,02405	0,02023		
0,35	0,05220	0,04628	0,04162	0,03747	0,03562	0,03390	0,03082	0,02690		
0,4	0,06062	0,05448	0,04934	0,04497	0,04301	0,04120	0,03792	0,03375		
0,45	0,06944	0,06317	0,05790	0,05340	0,05138	0,04950	0,04610	0,04172		
0,5	0,07741	0,07110	0,06579	0,06125	0,05922	0,05732	0,05388	0,04942		

Tabola 4.8. Valorile integralei I_2 , exprimată prin rel.(4.54), pentru o placă Hall dreptunghiulară avînd $\lambda = 1,5$.

y/a	I_2									
	$\theta = \pi/18$	$\theta = \pi/9$	$\theta = \pi/6$	$\theta = \pi/4,5$	$\theta = \pi/4$	$\theta = \pi/3,6$	$\theta = \pi/3$	$\theta = \pi/2,4$		
0,05	0,01216	0,01756	0,02588	0,03923	0,04899	0,061795	0,10433	0,29617		
0,1	0,02270	0,03033	0,04135	0,05799	0,06966	0,08471	0,13195	0,33314		
0,15	0,03217	0,04116	0,05376	0,07220	0,08486	0,10097	0,15098	0,35598		
0,2	0,04164	0,05163	0,06533	0,08499	0,09830	0,11511	0,16621	0,37415		
0,25	0,05093	0,06164	0,07611	0,09660	0,11036	0,12762	0,17969	0,38923		
0,3	0,05984	0,07106	0,08606	0,10711	0,12116	0,13873	0,19142	0,40197		
0,35	0,06876	0,08033	0,09570	0,11715	0,13140	0,14917	0,20228	0,41350		
0,4	0,07732	0,08912	0,10474	0,12642	0,14080	0,15869	0,21207	0,42368		
0,45	0,08642	0,09836	0,11412	0,13595	0,15039	0,16836	0,22189	0,43373		
0,5	0,09446	0,10644	0,12224	0,14411	0,15858	0,17657	0,2301	0,44203		

Tabela 4.9. Valorile integralei I_1 , exprimată prin rel.(4.44), pentru o placă Hall dreptunghiulară avînd $\lambda = 2$.

y/a	I_1									
	$\theta = \pi/18$	$\theta = \pi/9$	$\theta = \pi/6$	$\theta = \pi/4,5$	$\theta = \pi/4$	$\theta = \pi/3,6$	$\theta = \pi/3$	$\theta = \pi/2,4$		
0,05	0,001720	0,0012673	0,000950	0,000714	0,000620	0,000539	0,000410	0,000273		
0,1	0,0003757	0,003004	0,002421	0,001965	0,001774	0,001604	0,001316	0,000986		
0,15	0,005770	0,004809	0,004040	0,003417	0,003149	0,002906	0,002484	0,001978		
0,2	0,007984	0,000600	0,005940	0,005176	0,004843	0,004536	0,003995	0,003326		
0,25	0,010304	0,009058	0,008023	0,007152	0,006760	0,006409	0,005769	0,004904		
0,3	0,012562	0,011234	0,010119	0,009171	0,008748	0,008354	0,007645	0,006736		
0,35	0,014908	0,013520	0,012348	0,011344	0,010895	0,010472	0,009708	0,008723		
0,4	0,017080	0,015000	0,014456	0,013417	0,012950	0,012512	0,011715	0,010681		
0,45	0,019228	0,017709	0,016699	0,015602	0,015025	0,014478	0,013702	0,012701		
0,5	0,021200	0,019814	0,018763	0,017622	0,017043	0,016494	0,015774	0,014706		

Tabela 4.10 Valorile integralei I_2 , exprimată prin rel.(4.54), pentru o placă Hall dreptunghiulară avînd $\lambda = 2$.

I_2									
y/a	$\theta = \pi/18$	$\theta = \pi/9$	$\theta = \pi/6$	$\theta = \pi/4,5$	$\theta = \pi/4$	$\theta = \pi/3,6$	$\theta = \pi/3$	$\theta = \pi/2,4$	
0,05	0,003243	0,004552	0,006522	0,009611	0,011833	0,014752	0,024149	0,065693	
0,1	0,006069	0,007882	0,010448	0,014243	0,016865	0,020218	0,030603	0,073982	
0,15	0,008575	0,010678	0,013569	0,017725	0,020544	0,024105	0,034943	0,079102	
0,2	0,011155	0,013465	0,016578	0,020975	0,023921	0,027614	0,038733	0,083357	
0,25	0,013737	0,016189	0,019452	0,024008	0,027036	0,030815	0,042110	0,087018	
0,3	0,016171	0,018716	0,022075	0,026731	0,029811	0,033642	0,045045	0,090123	
0,35	0,018639	0,021248	0,024673	0,029396	0,032510	0,036376	0,047850	0,093037	
0,4	0,020890	0,023536	0,026999	0,031760	0,034895	0,038780	0,050294	0,095542	
0,45	0,023071	0,025736	0,029219	0,034001	0,037145	0,041040	0,052575	0,097854	
0,5	0,025111	0,027781	0,031268	0,036053	0,039199	0,043097	0,054635	0,099920	

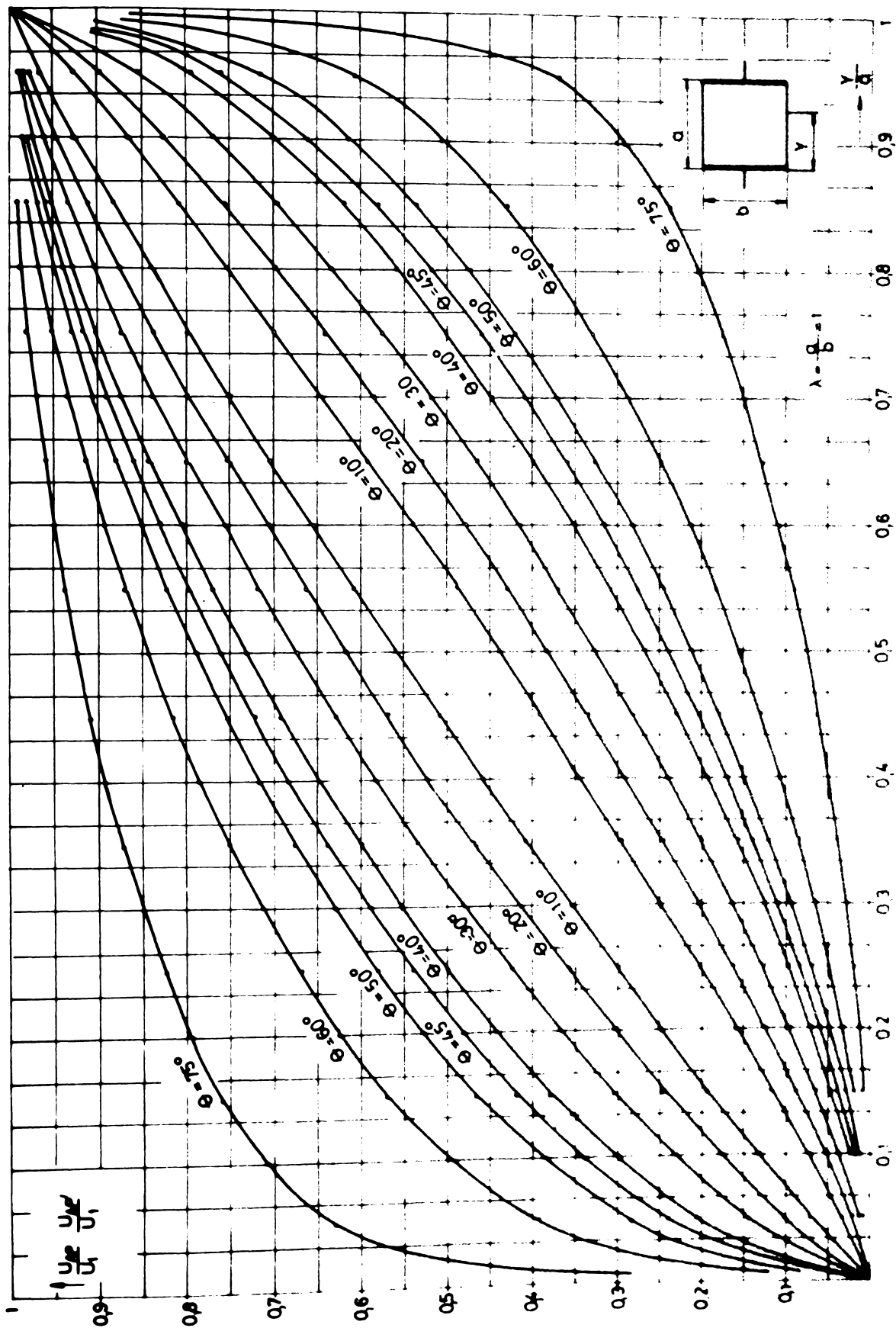


Fig.4.12 Distribuția potențialului electric pe fețele libere ale unei plăci mari dreptunghiulare avînd $\lambda = 1$

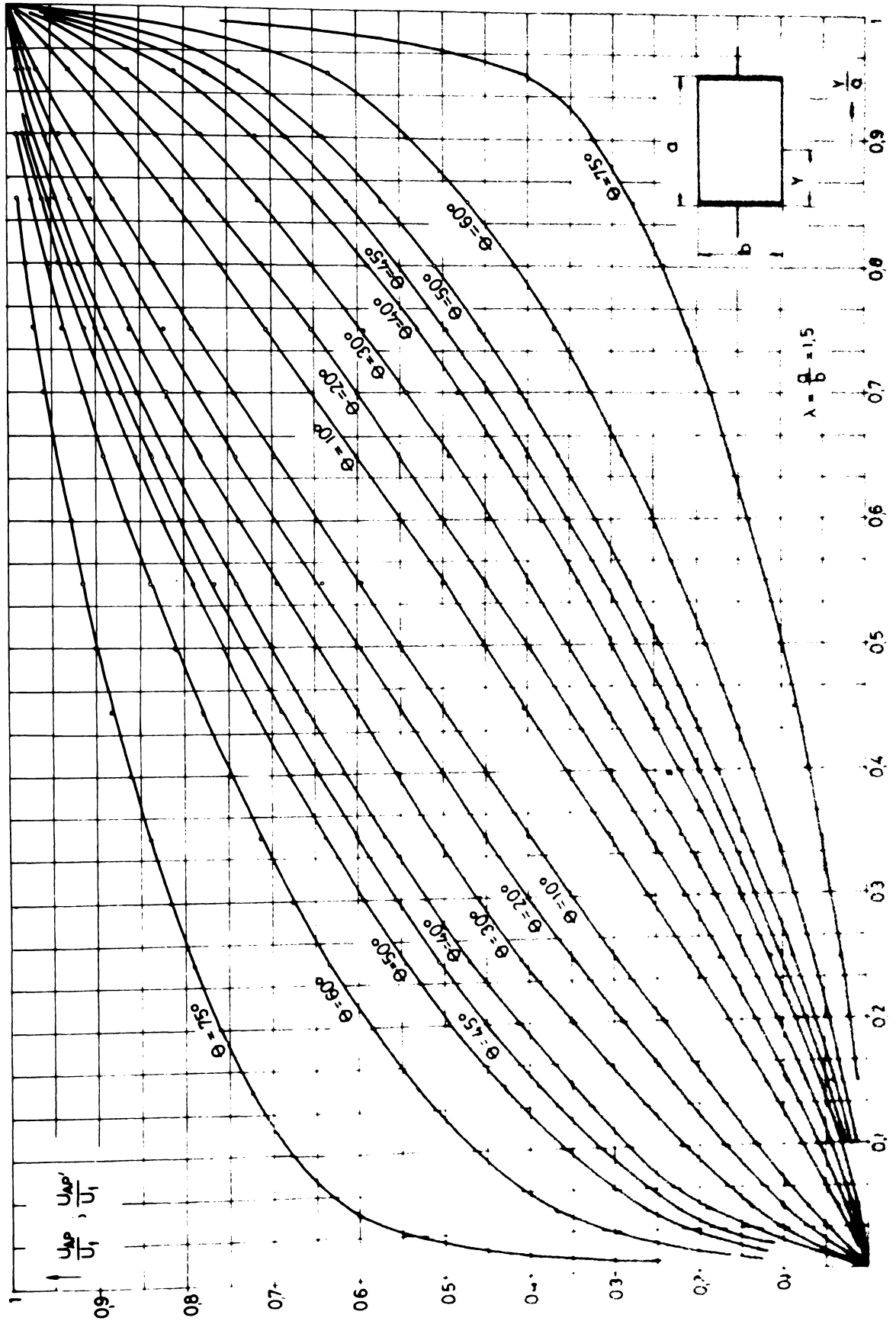


Fig.4.13. Distribuția potențialului electric pe fețele libere ale unei plăci mall dreptunghiulare avind $\lambda = 1,5$

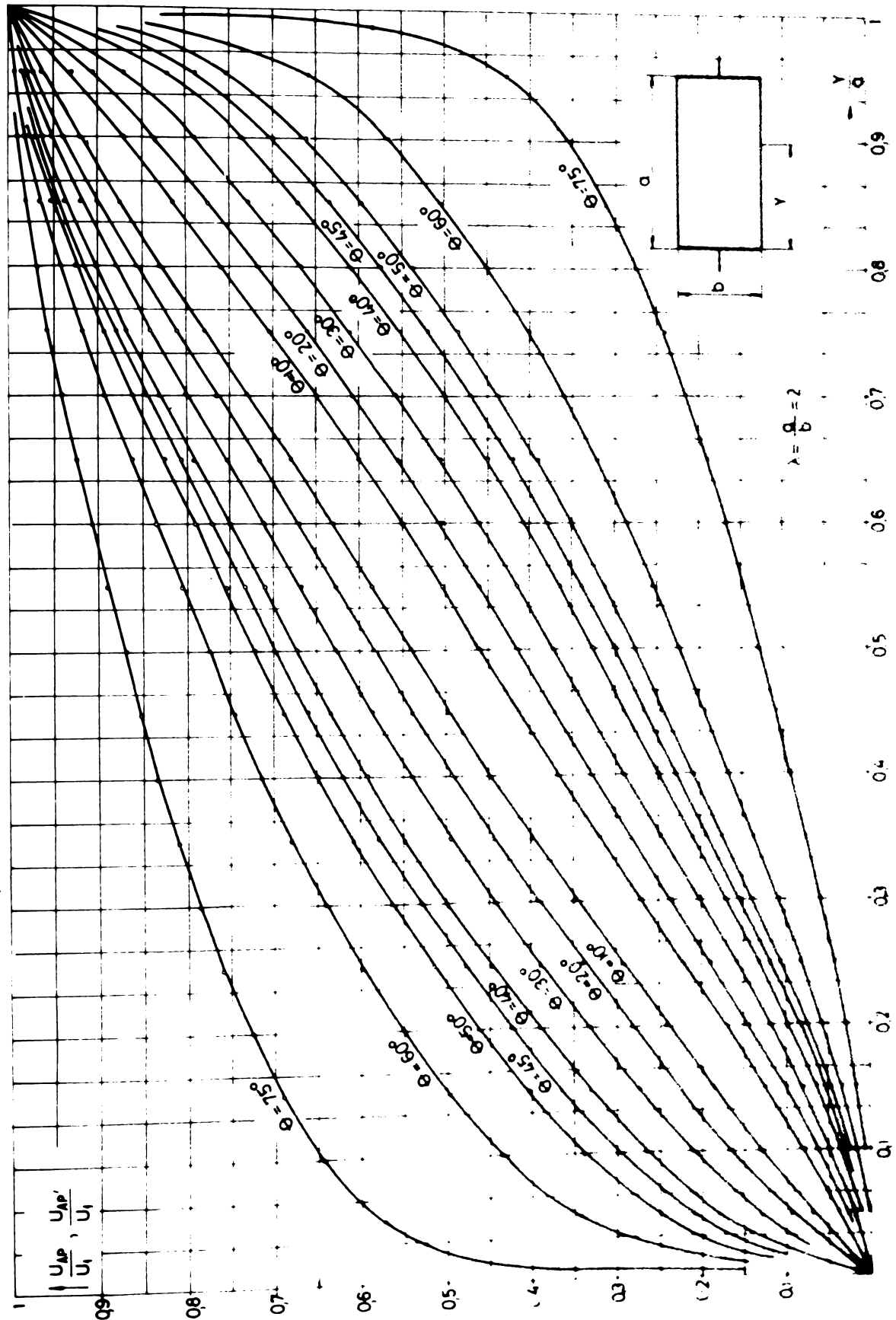


Fig.4.14. Distribuția potențialului electric pe fețele libere ale unei plăci nall dreptunghiulare avînd $\lambda = 2$

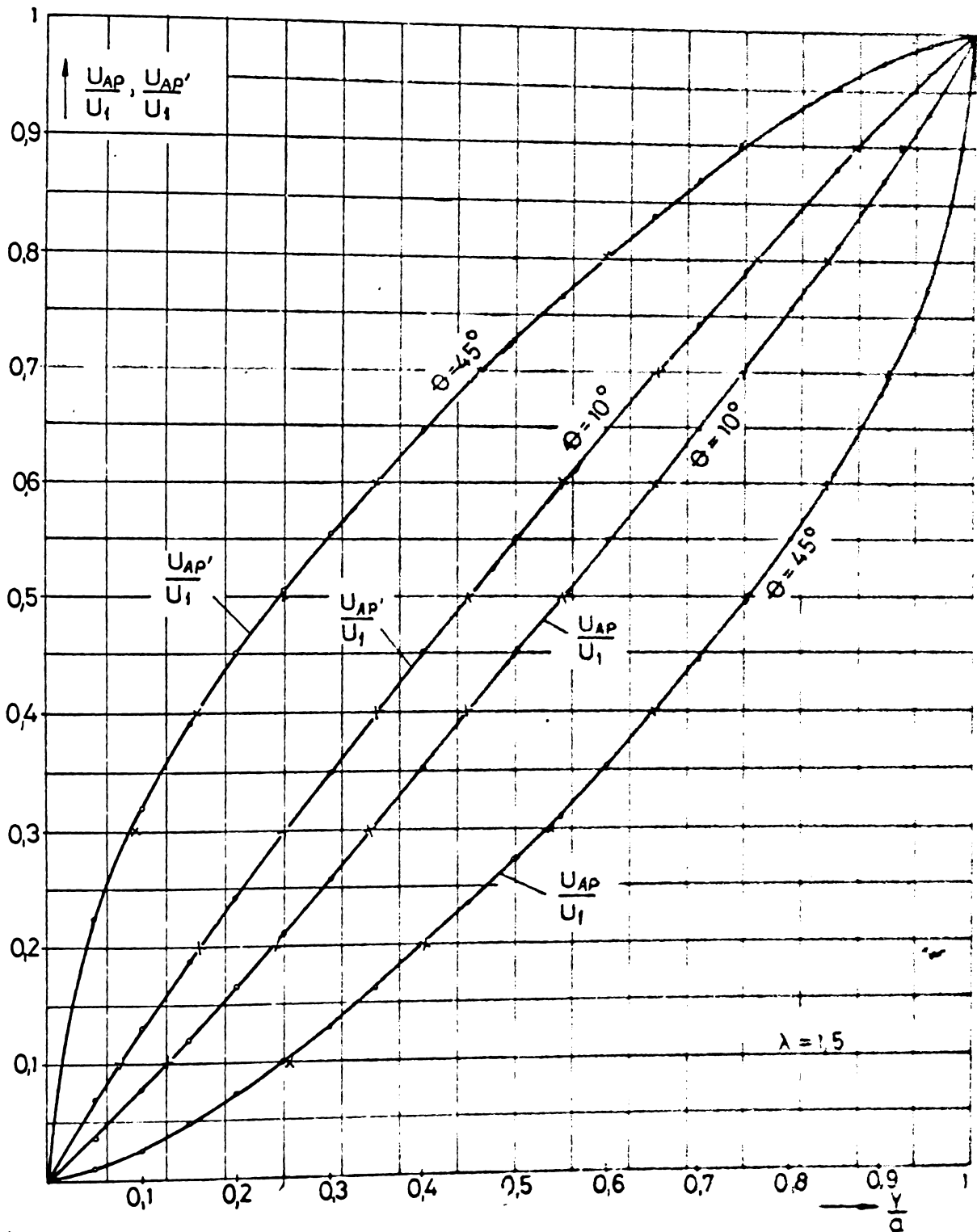


Fig.4.15. Distribuția potențialului electric pe fețele libere ale unei plăci Hall dreptunghiulare avind $\lambda = 1,5$, la $\theta = 10^\circ$ și $\theta = 45^\circ$; (o)- valori obținute prin calcul;(x)- valori obținute prin modelizare electrocinetică.

INSTITUTUL DE RESEARCH
 YIM...
 ...

Verificarea rezultatelor stabilite pentru integralele I_1 și I_2 s-a făcut prin calcul în punctele egal depărtate față de electrozii de comandă unde este valabilă rel.(4.57). Valorile obținute în acest scop sînt trecute în tabela 4.11. În aceeași tabelă s-a trecut și eroarea relativă exprimată în procente referitoare la cele două rezultate obținute și definită prin expresia

$$\Delta_r = \frac{(I_1+I_2)_{y/a=0,5} - I}{(I_1+I_2)_{y/a=0,5}} \cdot 100 \quad (\%)$$

Se constată că erorile relative sînt neglijabile în cazul plăcilor dreptunghiulare avînd $\lambda = 1$ și $\lambda = 1,5$ verificîndu-se astfel exactitatea soluțiilor obținute pentru integralele I_1, I_2 . Erorile cresc însă pentru valorile obținute în cazul plăcilor dreptunghiulare avînd $\lambda = 2$, deoarece ar fi trebuit să se considere în calcul mai mulți termeni din sumele conținute în (4.44), (4.54) și (4.56). Într-adevăr, în acest caz parametrul z avînd valori mai mari (tabela 4.4) seria hipergeometrică nu este atît de rapid convergentă.

Verificarea rezultatelor obținute pentru potențialul electric în punctele de pe fețele libere ale plăcii Hall s-a făcut și experimental prin modelizare electrocinetică pentru o placă Hall dreptunghiulară avînd $\lambda = 1,5$ la unghiul Hall $\theta = 10^\circ$ și $\theta = 45^\circ$ pentru care s-a trasat spectrul liniilor echipotențiale în fig.4.6 și 4.7.

În diagramele din fig.4.15, care exprimă variația potențialului electric pe fețele libere ale plăcii Hall menționate, s-au notat prin (o) valorile obținute prin calculul expresiilor (4.44) și (4.54) și prin (x) valorile rezultate din spectrul electric trasat prin modelizare electrocinetică. Concordanța obținută între calcul și experiment verifică exactitatea rezultatelor stabilite.

Tabola 4.11 Verificarea rezultatelor stabilite pentru intervalele I_1 și I_2 pe baza
rel. (4.57)

θ	$\pi/18$	$\pi/9$	$\pi/6$	$\pi/4,5$	$\pi/4$	$\pi/3,6$	$\pi/3$	$\pi/2,4$
(I_1+I_2) $y/u = 0,5$	0,54813	0,57106	0,61355	0,68403	0,73477	0,80061	1,00654	1,86497
I	0,54855	0,57151	0,61406	0,68465	0,73548	0,80144	1,00783	1,86940
Δr %	0,07	0,07	0,08	0,09	0,09	0,1	0,1	0,2
(I_1+I_2) $y/u = 0,5$	0,17188	0,17755	0,18804	0,20536	0,21780	0,23389	0,28401	0,49149
I	0,16746	0,17314	0,18364	0,20099	0,21344	0,22956	0,27979	0,48804
Δr %	2,5	2,4	2,3	2,1	2	1,8	1,4	0,7
(I_1+I_2) $y/u = 0,5$	0,046572	0,047595	0,049851	0,053575	0,056242	0,059691	0,070409	0,114626
I	0,039952	0,041174	0,043429	0,047151	0,049818	0,053268	0,064001	0,108369
Δr %	15,8	13,4	12,8	11,9	11,4	10,7	9,1	5,4

CONCLUZII

Lucrarea conține în principal rezultatele noi obținute de autoare în legătură cu problemele abordate.

Principalele contribuții originale cuprinse în lucrare sînt:

1. Dezvoltarea teoretică a posibilităților de descompunere în componente a parametrilor de transfer ai generatorului Hall, sub următoarele aspecte:

- Descompunerea în componente, în funcție de sensul inducției magnetice, a rezistențelor de transfer în gol, admitanțelor de transfer în scurtcircuit și a parametrilor corespunzători alimentării pe la ambele perechi de borne.

- Stabilirea relațiilor de legătură între fiecare sistem de parametri și componentele respective.

- Stabilirea relațiilor de legătură între componentele diferitelor sisteme de parametri.

- Formularea condițiilor în care un generator Hall este nereciproc, antireciproc sau reciproc în funcție de componentele sistemelor de parametri menționați, specificîndu-se și situațiile concrete care corespund fiecărui caz.

Se menționează că s-au efectuat verificări experimentale pentru diferitele rezultate teoretice privind descompunerea în componente în funcție de sensul inducției magnetice și pentru condiția de nerez reciprocitate.

2. Contribuții la studiul comportării generatorului Hall ca element de circuit pe bază de scheme echivalente.

- Elaborarea de noi scheme echivalente corespunzătoare matricei impedanță, respectiv admitanță în cadrul teoriei cu-

dripolului diport, o caracteristică a acestora fiind și faptul că conțin componentele parametrilor de transfer.

- Elaborarea unei scheme echivalente în cadrul teoriei cuadripolului general prin care se poate ține seama de cele mai generale condiții de interconexiune ale generatorului Hall.

3. Aplicarea și dezvoltarea teoriei cuadripolului general la studiul generatorului Hall.

Importanța acestei probleme consistă în faptul că în situațiile în care generatorul Hall se comportă ca un cuadripol general, deci schimbul de putere are loc pe la trei perechi de borne, cum este cazul la unele scheme unidirecționale, aplicarea teoriei cuadripolului general este singura metodă posibilă.

4. Studiul și dimensionarea schemelor unidirecționale, având ca element component generatorul Hall.

- Stabilirea condiției de unidirecționalitate în cadrul teoriei cuadripolului general în funcție de parametrii admitanță, valabilă în orice situație.

- Stabilirea relației de legătură între parametrii cuadripolari și rezistențele adiționale la schemele unidirecționale cu rezistențe longitudinale. Considerarea și cazului când rezistențele adiționale sînt în X.

- Stabilirea condițiilor de unidirecționalitate pentru schema cu rezistențe longitudinale sau în X de valori egale, în funcție de parametrii cuadripolari și componentele parametrilor de transfer. Expresiile stabilite sînt valabile pentru generatorul Hall nesimetric și cu tensiune de zero. Prin particularizarea expresiilor pentru generatorul Hall simetric și fără tensiune de

zero rezultă relația cunoscută, singura menționată în literatura de specialitate.

- Incadrarea în studiul prezentat a circuitului unidirecțional realizat cu o placă Hall având electrozii Hall deplasați.

Se precizează faptul că pentru principalele cazuri considerate s-a constatat o concordanță foarte bună între rezultatele teoretice și experimentale privind condiția de unidirecționalitate.

5. Rezolvarea unor probleme de câmp în legătură cu comportarea generatorului Hall ca element de circuit.

- Aplicarea metodei modelizării electrocinetice la plăcile dreptunghiulare și de formă oarecare pentru determinarea spectrului electric. Identificarea celor două componente din rezistențele de transfer în gol în spectrul câmpului.

- Stabilirea soluției exacte a potențialului pe rețele libere ale unei plăci Hall dreptunghiulare, aplicând metoda reprezentărilor conforme.

- Determinarea expresiei factorului tensiunii Hall pentru o poziție arbitrară a electrozilor Hall.

- Calculul distribuției potențialului electric pe rețele libere, folosind calculatorul electronic, în cazul plăcilor Hall dreptunghiulare, pentru diferite valori ale raportului dintre laturi și unghiului Hall.

Pentru verificarea valorilor calculate, acestea s-au comparat cu cele obținute pe cale experimentală prin metoda modelizării electrocinetice, găsindu-se o concordanță satisfăcătoare.

BIBLIOGRAFIE

1. AHIEZER, N.I., Elementi teorii ellipticeskih funkții, Moskva, 1970.
2. ANGOT, A., Compléments de mathématiques pour ingénierie de l'électrotechnique et de la télécommunication (traduction de l'anglais), 1965.
3. ANTONIU, I.S., Calculul matricial și tensorial în electrotehnica, București, Edit. tehnică, 1962.
4. ARTL, G., Hall-Affekt- Vierpole mit hohem Wirkungsgrad, Solid-State Electronics, 1, 75 (1960).
5. ARTL, G., Efficiency and linearity of Multicontact Hall Plates, International Solid-State Circuits Conference, Philadelphia, 1971.
6. BECQUEVORT, J.L., Étude analogique des distributions de potentiel dans différents milieux. Cas particulier des semi-conducteurs à fort coefficient de Hall, RFA 76, 3, 375 (1967).
7. BECQUEVORT, J.L., Dispositif analogique automatique pour la détermination du potentiel dans les éléments à effet Hall, Solid-State Electronics, 11, 1, 147 (1968).
8. BEER, A.C., The Hall effect and related phenomena, Solid-State Electronics, 9, 339, (1966).
9. BLAJKEVICI, B.I., Rojankovski, R.V., Modelirovanie elektriceskovo polia v datcikah Holla na provodiacei bumaghe, Avtomaticeskii kontrol i izmeritelnaia tehnika, AN SSSR, Kiev, 8, 36 (1964).
10. BOGOMOLOV, V.N., Ustroistva s datcikami Holla i datcikami magnitosoprotivlenia, Moskva, Gosenergoizdat, 1961.
11. BONNEFILLE, R., QUICHAUD, G., Multiples non réciproques, gyrateurs et moteurs à effet Hall, R.G.S., 76, 6, 656 (1967).
12. BROUDY, R.M., Galvanomagnetic coefficients for arbitrary geometry, J.appl.Phys; 29, 7, 833 (1958).
13. BRUNNER, J., The Hall effect in an inhomogeneous magnetic field, Solid-State Electronics, 1, 3, 172 (1960).
14. BUEHLER, M.C., PEARSON, G.L., Magnetoconductive correction factors for an isotropic Hall plate with point sources, Solid-State Electronics, 7, 595 (1960).
15. BULLIS, W.M., Galvanomagnetic effects in oriented single crystals of n-type germanium, Phys.Rev., 109, 2, 202 (1958).

16. BURCKHARDT, C.B., Beiträge zur Ermittlung der Felder in stromdurchflossenen Halbleiterplatten unter dem Einfluss eines transversalen statischen Magnetfeldes. Diss. S.T.H. Zürich, 1963.
17. BURCKHARDT, C.B., STRUTT, M.J.O., Ermittlung der magnetischen Widerstandsänderung und der Hallspannung mittels eines Widerstandsnetzwerkes, Z.f.Naturforschg., 18 a, 44, (1963).
18. CALLEN, H.B., Application on Onsager's reciprocal to thermomagnetic and galvanomagnetic effects, Phys.Rev., 73, 1349 (1948).
19. CAMBI, F., Nonreciprocal quadripoles and the gyrator, Ricerca sci, 26, 7, (1956).
20. CARLIN, H.J., GIORDANO, A.B., Network theory. An introduction to reciprocal and nonreciprocal circuits, Prentice-Hall, Englewood Cliffs, 1964.
21. CASIMIR, H.B.G., On Onsager's principle of microscopic reversibility. Rev.Mod.Phys., 17, 343 (1945).
22. CHAMPLIN, K.S., Hall field relaxation in semiconductors at high frequency, J.appl.Phys., 31, 10, 1770 (1960).
23. CHRISTOPH, V., MUTH, P., Bestimmung der Stromverteilung und der Hallspannung in einem kreisringförmigen Hallplättchen, Wiss.Zeitschrift der Hochschule Dresden, 14, 3, 667 (1967).
24. Clawson, A.R., Wieder, H.H., Bibliography on the Hall effect theory and applications, Solid-State Electronics, 7, 387 (1964).
25. CONDREA, S., Circuite nereciproce și elemente pasive și active, Bul.Inst.politehnic București, XIX, 3-4, 319, 1957.
26. CONDREA, S., Bazele telecomunicațiilor pe fir, Ed.Didactică, București, 1963.
27. CONDREA, S., Rețele și sisteme de telecomunicații. O introducere în teoria modernă a circuitelor, Ed.Tehnică, București, 1972.
28. DATTA, S.K., DAW, A.N., The Hall side resistance of a Hall generator. Z.f.Naturforschg, 19 a, 3, 392 (1964).
29. DE MEY, G., Field calculations in Hall samples, Solid-State Electronics, 16, 955-957 (1973).
30. DE MEY, G., Determination of the electric field in a Hall generator under influence of an alternating magnetic field, Solid-State Electronics, 17, 9, 977-979 (1974).

31. DE MEY, G., The finite element method for potential calculations in a Hall plate, *Radio and Electron. Eng.* 45, 9, 472-474 (1975)
32. DE SABATA, I., Cîmpul electric din transductoare Hall în regim cvasistaționar, *Dis. Inst. politehnic Timișoara*, 1966.
33. DE SABATA, I., HELER, A., Le comportement du transducteur Hall dans des champs magnétiques non homogènes, *R.G.A.*, 75, 5, 733 (1966).
34. DE SABATA, I., Cîmpul electric din transductoare Hall plasate în cîmpuri magnetice variabile, *Electrotehnica*, 15, 1, 33 (1967).
35. De Sabata, I., Heler, A., Der Widerstand eines rechteckförmigen Halbleiterplättchens mit einem vollen Steuerkontakt in homogenen Magnetfeld, *STZ, A*, 89, H.12, 283 (1968).
36. DE SABATA, I., LAPUSAN, V., Considerații asupra tensiunii traductoarelor Hall și a rezistenței electrice a traductoarelor magnetorezistive, *Electrotehnica*, 8, 315 (1968).
37. DE SABATA, I., LAPUSAN, V., Teorema superpoziției și reciprocității în cîmpuri Hall din sonde plasate transversal în cîmpuri magnetice omogene și invariabile, *Bul. I.P. Timișoara*, 14 (28), 1969.
38. DICKERSON, J.A., Field mapper uses Hall-effect device, *Slec. Des. News*, 7, 12, 88 (1962).
39. DOBRE, S., Unele scheme echivalente ale generatorului Hall, *Bul. Inst. politehnic Timișoara*, 21(37), 70 (1976).
40. DOBRE, S., Analiza schemelor unidirectionale avînd ca element component generatorul Hall. Comunicare la Sesiunea științifică a Facult. de Electrotehnică Craiova, Nov. 1976.
41. DOBRE, S., Schema echivalentă a generatorului Hall în cadrul teoriei cuadripolului general. *Lucrările Sesiunii științifice a Inst. politehnic Timișoara*, Mai 1977.
42. DOBRE, S., Soluția exactă a potențialului pe fețele libere ale unei plăci Hall dreptunghiulare. *Lucrările Sesiunii științifice a Inst. politehnic Timișoara*, Mai 1977.
43. DOEBKE, W., Bemerkungen zum Gyrtator-Problem, *ANJ*, 5, 197 (1954)
44. DOROSEVICI, M.N., Ekivalentnaia shema zamescenia datsika e.d.s. Holla, *Energhetika*, 12, 24 (1964).
45. ENDSLEY, D.L., Gra neman, W.S., Rosier, L.L., Fourterminal analysis of the Hall generator, *Trans. I.R.S.*, AD-8, 220 (1961).

46. EPSTEIN, M., SACHS, H., GREENSTEIN, L., Multiple element Hall-effect sensor, Proc. IRE, 47, 2014 (1957)
47. FISCHER, F., Transformatoren und Gyrotoren in Mechanik und Elektrizität, AEU, 8, 1, 25 (1954)
48. FOX, A.G., HILLER, S.S., WEISS, T., Behaviour and application of ferrites in the microwave region, Bell Syst. techn.-Journal, 34, 5 (1955)
49. FRANK, V., HOGGARD, H., Note on the reciprocity theorem for electrical systems, Appl. Sc. Research (B), 7, 2, 145 (1958)
50. FRANKEL, D., DE SABATA, I., Generatorul Hall, București, Edit. tehnică, 1968.
51. FRANKEL, D., Traductoare galvanomagnetice, Edit. Facla, 1973
52. GARG, J.M., CARLIN, H.J., Network theory of semiconductor Hall-plate circuits, IEEE, Transactions on circuit theory, 59, 1965.
53. GODEFROY, L., TAVERNIER, J., Effets magnétoélectriques et thermomagnétoélectriques dans les semiconducteurs, Journ. de Physique et le radium, 21, 249, 544 (1960).
54. GIBBONS, J.F., Hall effect in high electric fields, Proc. IRE, 47, 102 (1959).
55. GOLDBERG, C., DAVIS, R.E., New galvanomagnetic effect, Phys. New, 94, 114 (1954).
56. GRANCOIN, B., Les générateurs à effet Hall de précision, Electron. industr., 112, 203 (1968)
57. GRUBBS, W.J., Hall effect devices, Bell Syst. Techn. J., XXXVII, 3, 853 (1959)
58. GRUBBS, W.J., The Hall effect circulator- a passive transmission device, Proc. IRE, 47, 528 (1959)
59. GRÜN, U., Halleffekt in einer unendlich langen, stromdurchflossenen Halbleiterplatte in einem homogenen Magnetfeld mit beliebiger Ausrichtung zum Stromdichtevektor J , Solid-State Electronics, 13, 1375 (1970).
60. GRÜN, U., Der belastete Hallgenerator mit punktförmigen Steuer- und Hallkontakten, Revue Roumaine des Sciences techniques, Serie Electrotechnique et energetique, 15, 1970.
61. GRÜN, U., Generatorul Hall în sarcină în regim de funcționare staționar, Dis. I.P. Timișoara, 1971.
62. GRÜTZMANN, S., Hall-effect gyrators, isolators and circulators with high efficiency, Proc. of the IRE, 51, 1584 (1963).

63. GRÜTZMANN, S., Untersuchungen an Hall-effekt-Gyratoren, Isolatoren und Zirkulatoren, Diss, TH Stuttgart, 1965.
64. GRÜTZMANN, S., ^{IC} Klirrfaktor von Hallmodulatoren, Frequenz, 19, 2, 41 (1965)
65. GRÜTZMANN, S., The application of the relaxation method to the calculation of the potential distribution of the Hall plates, Solid-State Electronics, 9, 409 (1966)
66. HAEUSLER, J., Der Widerstand und das Feld eines rechteckigen Hallplättchens, Z.f.Naturforschg., 17 a, 506 (1962).
67. HAEUSLER, J., Nichtreziprozität, Spannungsübersetzung und maximaler Wirkungsgrad symmetrischer Hallproben mit drei und vier Elektroden. A&U, 20, 4, 201 (1966).
68. HAEUSLER, J., Exakte Lösungen von Potentialproblemen beim Halleffekt durch konforme Abbildung, Solid-State Electronics, 9, 417 (1966).
69. HAEUSLER, J., Die Untersuchung von Potentialproblemen bei tensorieller Leitfähigkeit der Halbleiter und Plasmen im transversalen Magnetfeld, Diss. TH Stuttgart, 1967.
70. HAEUSLER, J., Ein Zirkulator aus zwei dreielektrodigen Hallproben, A&U 21, 1 (1967).
71. HAEUSLER, J., LIPPMANN, H.J., Hallgeneratoren mit kleinem Linearisierungsfehler Solid-State Electronics, 11, 173 (1968).
72. HAEUSLER, J., Zum Halleffekt-Reaktanzkonverter mit vier Elektroden, A&U 22, 5, 258 (1968).
73. HALL, F.H., New action of the magnet on electric currents. American Journ. of Mathem., 2, 287 (1879).
74. HARTEL, W., Propriétés et applications du générateur Hall, AIM 1, 1 (1961).
75. HEINRICHSEN, B., Analis raboti nagrajennogo dateika e.d.s. Holla, Trudi Tallinskogo Pol.Inst., seria A, 213, 37; (1964).
76. HILSUM, C., Galvanomagnetic effects and their applications, Brit.J. Appl.Phys., 12, 3, 85 (1961).
77. HLASNIK, I., KOKAVEC, J., Hall generator in inhomogenous field and dipole notion of the Hall effect, Solid-State Electronics, 9, 583 (1966).
78. HOGAN, C.L., The ferromagnetic Faraday effect at microwave frequencies and its application, Bell Syst.Techn. J., 31 (1952).

79. HOMERIKI, O.K., Primenenie galvanomagnitnih datchikov v ustroistvah avtomatiki i izmerenii, Moskva, 1971.
80. JAHNKE, E., Ende, F., Funktionentafeln mit Formeln und Kurven, 1928.
81. JOHNSON, V.A., Whitesele, W.I., Theory of the magnetoresistive effect in semiconductors, Phys.Rev., 89, 941 (1953)
82. JUZE, V.P., Tehniceskie primenenia effecta Holla. Poluprovodniki v nauke i tehnike, tom.I, Izd.Akad.Nauk, SSSR, 1957.
83. KATAOKA, S., HASHIZUME, N., Variable impedance device using galvanomagnetic effects in semiconductors, Proc. Inst.Electr.Electron.Engrs., 53, 2138 (1965).
84. KOBUS, A., TUSINSKII, I., Datchiki Holla i magnitorezistori, Moskva, 1971.
85. KOCH, L., LAMBERT, G., L'effet Hall dans les semiconducteurs et ses possibilités d'application, L'onde électrique 382, 32 (1959).
86. KOKAVEC, J., Hallov generator v nehomogennom magnetickom poli, Dis., Bratislava, 1965.
87. KONCIT, I.K., Efekt asimmetrii elektrodov i ego ispolzovanie v poluprovodnikovoi tehnike, Electricestvo, 10, 84 (1962).
88. KOPPENFELS, W., Stallmann, F., Praxis der konformen Abbildung, Springer-Verlag, 1959.
89. KROEMER, H., On the theory of Hall effect isolators for tunnel diode amplifiers, Solid-State Electronics, 7, 5, 291 (1964).
90. KUERT, F., Eigenschaften der Hallgeneratoren, Siemens-Z., 28, 7, 370 (1954).
91. KUERT, F., HARTEL, W., Der Hallgenerator als Vierpol, Afz, 43, 11, (1957).
92. KUERT, F., LIPPMANN, H.J., WIEHL, K., Über das Frequenzverhalten von Hallgeneratoren, Afz, 13, 8, 341 (1959)
93. KUERT, F., Grundlagen und Eigenschaften der Hallgeneratoren, VDE Buchreihe, 7, 185, (1961).
94. KUERT, F., LIPPMANN, H.J., Hallgeneratoren. Eigenschaften und Anwendungen, Springer - Verlag, Berlin, 1968.
95. KUKK, V., ROSS, H., O konfiguracii datchika Holla, Trudi Tallinskogo Pol.Inst., seria A, 220 (1965).
96. KUKK, V., ROSS, H., Schema zameshchenia datchika Holla, Trudi Tallinskogo Pol.Inst., seria A, 220, 27 (1965).
97. LIHNITKI, M.I., Perspektivi primeneniia datchikov e.d.s. Holla, Vetrnik AN, SSSR, 6, 53, (1963).

98. LINDBERG, O. Hall Effekt, Proc.IRE, 40, 1414 (1952)
99. LIPPMANN, H.J., KUHRT, F., Der Geometrieinfluss auf den transversalen magnetischen Widerstandseffekt bei rechteckförmigen Halbleiterplatten, Z.f.Naturforsch., 13 a, 462 (1958).
100. LIPPMANN, H.J., KUHRT, F., Der Geometrieinfluss auf den Hall-Effekt bei rechteckigen Halbleiterplatten, Z.f. Naturforsch., 13 a, 474 (1958).
101. LONGHINOV, V.V., LOHCVA, G.P., SOLOVIEV, A.K., Analiz datci-cov Holla s ucistom raspredelenia koncentracii neravnovesnih nositelei zariada, Tr. Mosk.energ. in-ta, 219, 123-129 (1975).
102. MADELUNG, O., Zur Theorie der Magnetischen Effekte in isotropen Halbleitern hoher Beweglichkeit, Z.f.Naturforsch., 8 a, 781 (1953).
103. MADELUNG, O., Zur Theorie der Leitfähigkeit in isotropen Halbleitern, Z.f. Naturforsch., 9a, 667 (1954).
104. MASON, W.P., HEWITT, W.H., WICK, R.F., Hall effect modulators and gyrators employing magnetic field independent orientation in germanium, J.Appl.Phys., 24, 2, 166 (1953).
105. MATRESCU, A., Analiza și sinteza circuitelor electrice. ed. did. și ped., București, 1975.
106. MC MILLAN, E., Violation of the reciprocity theorem in linear passive electromechanical systems. J.Acoust.Soc. America, 18, 2, 344 (1946)
107. MC MILLAN, E.M., Gyrator. J.Acoust.Soc.America, 19, 1, 922 (1947)
108. MIDGLEY, D., Current distribution in a Hall plate, Industr. Electron. 1, 383 (1963).
109. MIDGLEY, D., Recent advances in the Hall effect: research and application, Adv. Electron. and Electron Phys., New York, 36, 153 - 194 (1974).
110. MITRA, S.K., Analysis and Synthesis of linear Active Networks, John Wiley, New York, 1969.
111. NEWSOME, J.P., Hall-effect analogues, Solid-State Electronics, 10, 183 (1957).
112. NEWSOME, J.P., Determination of the electrical characteristics of Hall plates, Proc. IRE, 110, 4, 673 (1963)
113. OBERHETTINGER, F., MAGNUS, W., Anwendung der elliptischen Funktionen in Physik und Technik, Springer-Verlag, 1949.

114. ONSAGER, L., Reciprocal relations in irreversible processes, Phys. Rev., 37, 405 (1931); 38, 2265 (1931).
115. OSWALD, J., Note sur la matrice de répartition d'un gyrateur, Cables et Transmission, 11, 1, 84 (1957).
116. OVCEARENKO, N.I., Galvanomagnitnye iavlenia v poluprovodnikah i ih tehničeskoe ispolzovanie, Moskva, Gos. izd. „Viššaia škola“, 1961.
117. OVCEARENKO, N.I., DOROGUNTEV, V.G., BASS, F.I., BUDKIN, V.V. Primenenie galvanomagnitnykh elementov v releinoi zasčite i avtomatike, Moskva, 1966.
118. PINSKER, A.P., Primeneniia poluprovodnikovih generatorov Holla v avtomatike, Kiev, 1961.
119. PRACHE, P.M., Structures granulaires ferromagnétiques, Cables et Transmission, 11, 1, 32 (1957).
120. PRUDHOM, M., Gyrateurs et systèmes à sens unique, Cables et Transmission, 11, 1, 84 (1957).
121. PUTLEY, S.H., The Hall effect and related phenomena, London, Butterworth, 1960.
122. PUTLEY, S.H., The Hall effect and its applications, Contemp, Phys., 16, 2, 101-126 (1975).
123. RADULET, R., TUGULEA, A., Asupra regulilor de asociație a sensurilor de referință în electrotehnică, Electro-tehnica, 9, 319, (1959).
124. RÎJIC, I.M., Gradstein, I.S., Tabele de integrale, sume, serii și produse (trad. din l. rusă), București, Edit. tehnică, 1955.
125. RODOT, M., VERIE, C., COHEN-SOLAL, G., Effet Hall des semiconducteurs homogènes dans des champs magnétiques non uniformes et de couches minces non homogènes dans les champs uniformes, Solid-State Electronics, 9, 389 (1966).
126. ROJANKOVSKI, R.V., Elektriceskoe pole v datchikah Holla. Avtomaticeskii kontrol i izmeritelnaia tehnika, Kiev, 7, 47, (1963)
127. ROJANKOVSKI, R.V., Opredelenie parametrov datchika Holla metodom elektriceskovo modelirovaniia, Avtomaticeskii kontrol i izmeritelnaia tehnika, Kiev, 8, 46, (1964).
128. ROJANKOVSKI, R.V., Modelirovanie elektroceskovo polea datchika Holla, Matematiceskoe modelirovanie i elektriceskie țepi, Kiev, 253 (1966).
129. ROSS, H., KUKK, V., Rasčiotnoe opredelenie nekořtorih parametrov datchika Holla. Trudı Tallinskovo Pol. Inst., seria A, 213, 13 (1964).

130. SAINT-MLEUX, M., Amplificateur à effet Hall et diode à effet tunnel, thèse, Paris, 1965.
131. SAVENKO, V., Primenenie effekta Holla v tehnikе sveazi, Sveazizdat, Moskva, 1963.
132. SCHWAIBOLD, E., Der Halleffekt und seine technische Anwendung, ATM, 246, 153, (1956).
133. SIGORSKII, V.P., Obščeaia teoria cetirehpoliusnika, USSR, 1955.
134. STRUTT, M.J.O., WILLISEN, F.K., Berechnung der Frequenzabhängigkeit der magnetischen Widerstnadesänderung, Scientia electrica, 6, 153 (1960).
135. SORA, C., Despre nereziprocitya generatorului Hall, Bul. Inst. politehnic Timișoara, 5(19), 1-2, 129 (1960).
136. SORA, C., Admitanțele echivalente ale cuadripolilor alimentați pe la ambele capete. Dis. 1961.
137. SORA, C., Despre Scheme cuadripolare unidirecționale folosind generatorul Hall, Bul. Inst. politehnic Timișoara, 7(21), 1, 170 (1962).
138. SORA, C., Cuadripolul electric, București, edit. tehnică, 1964.
139. SORA, C., Despre condițiile de putere maximă și randament maxim la generatorul Hall, Bul. Inst. politehnic Timișoara, 9 (23), 1, 207 (1964).
140. SORA, C., Asupra calculului unor mărimi referitoare la plăcile Hall dreptunghiulare plecând de la spectrul cîmpului electric, Electrotehnica, 10, 384 (1967).
141. SORA, C., DOBRE, S., WAGNER, E., DABA, D., Determinarea factorului de corecție al tensiunii Hall la plăcile semiconductoare dreptunghiulare pe bază de modelare, Bul. Inst. politehnic Timișoara, 12/26, 553 (1967).
142. SORA, C., Introducere în studiul generatorului Hall, ed. Acad. RSR, București, 1969.
143. SORA, C., Untersuchung des elektrischen Feldes in einem rechteckigen Hallplättchen mittels eines elektrokinetischen Modells, ETZ-A, 90, 1, 17 (1969).
144. SORA, C., DOBRE, S., Studiul cîmpului electric din plăci Hall avînd o formă oarecare cu ajutorul unei modelări electrocinetice, Electrotehnica, 1 (1969).
145. SORA, C., Über die Antireziprozitätsbedingung bei Hallplättchen beliebiger Geometrie, Rev. Roum. Sci. Techn. - Electrotechnique et énergétique, 16, 4, 679 (1971).

146. SCHEA, C., Über die K_{11} -Standserhöhung bei Halbleiterplatten als Folge des geometrischen magnetischerstandseffekt, *Solid-State Electronics*, 14, 445 (1971).
147. SCHEA, C., VSTREB, I., Unele considerații privind determinarea rezistivității și coeficientului Hall la materiale semiconductoare prin metoda Van der Pauw, *Bul.Inst.politehnic Timișoara* 19 (33), 131 (1974).
148. SCHEA, C., DOBEE, S., On transfer resistances of a Hall Plate, *Bul.Inst.politehnic Timișoara*, 19(33), 139 (1974).
149. SCHEA, C., DOBEE, S., Study on the Hall generator behaviour on the basis of parameters introduced by supply through both terminal pairs, *Bul.Inst.politehnic Timișoara*, 20(34), 183 (1975).
150. SCHEA, C., DOBEE, S., Contribuții privind aplicarea teoriei cuadripolului general la studiul generatorului Hall. *Lucrările sesiunii științifice a Inst. politehnic Timișoara*, mai 1977.
151. TELLEGEN, B.D.E., The gyrator a new electric network element. *Philips Res.Rep.*, 3, 8 (1948).
152. VALLESE, L.M., Understanding the gyrator, *Proc.IRE*, 43, 4, 483 (1955).
153. WEISS, E., Der Hallgenerator und seine Anwendung, *Solid-State Electronics*, 7, 279 (1964).
154. WEISS, E., *Physik und Anwendung galvanomagnetischer Bauelemente*. Braunschweig, Vieweg, 1969.
155. WICK, R.F., Solution of the field problem of the germanium gyrator, *J.Appl.Phys*, 25, 6, 741 (1954).
156. VON WILLISEN, F.L., Über den Einfluss statischer transversaler Magnetfelder auf die Stromverdrängung in Halbleitern hoher Trägerbeweglichkeit. *Mis.*, ETH Zurich, 1960.

C U P R I N S

	pag.
Introducere	1
Cap.1. Relații generale privind comportarea generatorului Hall ca element de circuit pasiv neregiproc.	
1.1. Forma locală și integrală a condiției de neregiprocitate. Relații de bază	7
1.2. Componentele impedanțelor (rezistențelor) de transfer în gol, în funcție de inducția magnetică	14
1.3. Componentele admitanțelor de transfer în scurtcircuit, în funcție de inducția magnetică	19
1.4. Studiul comportării generatorului Hall pe baza parametrilor introduși prin alimentarea pe la ambele perechi de borne	
1.4.1. Sistemul de parametri considerat	22
1.4.2. Exprimarea sistemului de parametri considerat în funcție de parametrii Y	25
1.5. Relații între componentele parametrilor de transfer și diferitele sisteme de parametri ai cuadripolului	26
1.6. Rezultate experimentale	
1.6.1. Rezistențele de transfer în gol și componentele acestora	29
1.6.2. Admitanțele de transfer în scurtcircuit și componentele corespunzătoare	41
1.6.3. Parametrii determinați prin alimentarea pe la ambele perechi de borne	41
Cap.2. Noi scheme echivalente ale generatorului Hall	
2.1. Scheme echivalente corespunzătoare matricii impedanță	50
2.2. Scheme echivalente corespunzătoare matricii admitanță	53

Cap.3. Studiul schemelor unidirecționale cu generator Hall pe baza teoriei cuadripolului general	
3.1. Unele considerații generale	60
3.2. Ecuațiile generatorului Hall și schemele echivalente în cadrul teoriei cuadripolului general	64
3.3. Ecuațiile giratorului Hall dreptunghiular cu electrozii Hall situați simetric față de electrozii de comandă, în cadrul teoriei cuadripolului general	74
3.4. Condiția de unidirecționalitate în cadrul teoriei cuadripolului general	79
3.5. Scheme unidirecționale cu generator Hall	
3.5.1. Scheme unidirecționale obținute prin conectarea unor rezistențe neegale în paralel cu generatorul Hall	81
3.5.2. Scheme unidirecționale obținute prin conectarea unor rezistențe egale în paralel cu generatorul Hall	84
3.5.3. Circuit unidirecțional realizat dintr-o placă Hall având electrozii Hall corespunzători deplasați	90
3.6. Rezultate experimentale	
3.6.1. Placă Hall din InSb de formă oarecare cu tensiune de zero	93
3.6.2. Placă Hall din InSb de formă dreptunghiulară fără tensiune de zero ..	98
Cap.4. Unele probleme de câmp în legătură cu comportarea generatorului Hall ca element de circuit	
4.1. Aspecte generale	101
4.2. Aplicarea metodei modelizării electrocinetice	
4.2.1. Plăci de formă oarecare și dreptunghiulare	105
4.2.2. Componentele rezistențelor de transfer în gol deduse din spectrul de câmp	112

4.3. Aplicarea metodei reprezentărilor conforme	
4.3.1. Unele considerații generale	115
4.3.2. Relația de corespondență dintre punctele frontierelor neacoperite de electrozi situate în planele Z și \bar{Z}	120
4.3.3. Soluția exactă a potențialului pe fețele libere ale unei plăci Hall dreptunghiulare	123
4.3.4. Determinarea factorului tensiunii Hall în cazul unei plăci de formă dreptun- ghiulară, pentru orice poziție a elec- trozilor Hall considerați punctiformi ...	133
4.3.5. Aplicații numerice. Rezultate experi- mentale	134
Concluzii	159
Bibliografie	162